



TUGAS AKHIR - (MO141326)

**MANAJEMEN INSPEKSI PADA *ELBOW SECTION* MILIK PT.
PERTAMINA EP *FIELD SANGASANGA KALIMANTAN TIMUR* AKIBAT
INTERNAL CORROSION-EROSION MENGGUNAKAN METODE *RISK
BASED INSPECTION (RBI)***

Herlan

NRP. 4312 100 052

Dosen Pembimbing

Dr. Eng. Yeyes Mulyadi, S.T., M.Sc.

Nur Syahroni, S.T., M.T., Ph.D.

JURUSAN TEKNIK KELAUTAN

Fakultas Teknologi Kelautan

Institut Teknologi Sepuluh November

Surabaya 2016



FINAL PROJECT - (MO141326)

**INSPECTION MANAGEMENT OF PT. PERTAMINA EP FIELD
SANGASANGA EAST BORNEO'S ELBOW SECTION DUE TO
INTERNAL CORROSION-EROSION BY USING RISK BASED
INSPECTION (RBI) METHOD**

Herlan

NRP. 4312 100 052

Supervisors

Dr. Eng. Yeyes Mulyadi, S.T., M.Sc.

Nur Syahroni, S.T., M.T., Ph.D.

OCEAN ENGINEERING DEPARTMENT

Faculty of Marine Technology

Sepuluh Nopember Institute of Technology

Surabaya 2016

**MANAJEMEN INSPEKSI PADA *ELBOW SECTION* MILIK PT.
PERTAMINA EP FIELD SANGASANGA KALIMANTAN
TIMUR AKIBAT *INTERNAL CORROSION-EROSION*
MENGGUNAKAN METODE *RISK BASED INSPECTION (RBI)***

TUGAS AKHIR

Diajukan untuk Memenuhi Salah Satu Syarat Memperoleh Gelar Sarjana Teknik
Pada Program Studi S-1 Jurusan Teknik Kelautan Fakultas Teknologi Kelautan

Institut Teknologi Sepuluh Nopember

Oleh:

HERLAN

NRP. 4312 100 052

Disetujui oleh:

1. Dr. Eng. Yeyes Mulyadi, S.T., M.Sc. (Pembimbing 1)

2. Nur Syahroni, S.T., M.T., Ph.D. (Pembimbing 2)

3. Dr. Eng. Rudi W. Prastianto, S.T., M.T. (Penguji 1)

4. Agro Wisudawan, S.T., M.T. (Penguji 2)

SURABAYA, JULI 2016

**MANAJEMEN INSPEKSI PADA *ELBOW SECTION* MILIK PT.
PERTAMINA EP FIELD SANGASANGA KALIMANTAN TIMUR
AKIBAT INTERNAL CORROSION-EROSION MENGGUNAKAN
METODE RISK BASED INSPECTION (RBI)**

Nama Mahasiswa : Herlan
NRP : 4312100052
Jurusan : Teknik Kelautan - FTK ITS
Dosen Pembimbing : Dr. Eng. Yeyes Mulyadi, S.T., M.Sc.
Nur Syahroni, S.T., M.T., Ph.D.

ABSTRAK

Lekukan pipa (*elbow section*) memiliki potensi kerusakan akibat fenomena korosi-erosi internal lebih besar dari pada bagian lurus pipa. Hal tersebut disebabkan karena aliran fluida pada *elbow section* mengalami percepatan akibat perubahan arah penampang alir secara drastis. Semakin tinggi kecepatan aliran fluida yang melewati dinding dalam sebuah pipa, maka semakin tinggi pula laju korosi-erosi internal pada pipa tersebut. Korosi-erosi internal dapat menyebabkan penipisan pada dinding dalam *elbow section* sehingga pada akhirnya dapat mengakibatkan bencana ledakan pipa saat beroperasi. Salah satu upaya mengurangi risiko ledakan tersebut adalah dengan melakukan inspeksi secara berkala. Tugas akhir ini bertujuan untuk menentukan manajemen inspeksi pada *elbow section* yang berisiko mengalami kegagalan akibat korosi-erosi internal. Manajemen inspeksi yang direncanakan berdasarkan pada API 581 *Base Resource Document* tentang *Risk Based Inspection (RBI)*. Pemodelan aliran fluida dengan *software ANSYS CFX* dilakukan untuk mengetahui nilai perubahan kecepatan lokal aliran fluida pada *elbow section*. Metode Montecarlo digunakan untuk menghitung nilai PoF sedangkan metode *semi-quantitative RBI* digunakan untuk menentukan *likelihood category* dan *consequence category*. Hasil yang didapatkan adalah keempat *elbow section* yang dievaluasi masuk kedalam kategori risiko rendah.

Kata Kunci: Manajemen Inspeksi, *Elbow Section*, *Field Sangasanga Kaltim*, Korosi-Erosi Internal, *Risk Based Inspection (RBI)*.

**INSPECTION MANAGEMENT OF PT. PERTAMINA EP
FIELD SANGASANGA EAST BORNEO'S ELBOW SECTION
DUE TO INTERNAL CORROSION-EROSION BY USING
RISK BASED INSPECTION (RBI) METHOD**

Name : Herlan
NRP : 4312100052
Department : Ocean Engineering - FTK ITS
Supervisors : Dr. Eng. Yeyes Mulyadi, S.T., M.Sc.
 Nur Syahroni, S.T., M.T., Ph.D.

ABSTRACT

Elbow section has greater potential of damage caused by internal corrosion-erosion phenomenon than the straight section of pipe. This is because the fluid flow in the elbow section is accelerating due to changes in cross-sectional flow direction drastically. The higher the flow rate of fluid passing through the inner wall of a pipe, the higher the rate of internal corrosion-erosion in the pipe. Internal corrosion-erosion can cause thinning of the walls of the elbow section which in turn can lead to catastrophic burst pipe during operation. One effort to reduce the risk of the explosion is to perform periodic inspection. This final project aims to determine the management inspection at the elbow section at risk of failure due to internal corrosion-erosion. Management planned inspection based on API 581 Base Resource Document on Risk Based Inspection (RBI). Modeling of fluid flow with ANSYS CFX software was conducted to determine the value of the local velocity changes in the fluid flow in the elbow section. Montecarlo method used to calculate the value PoF while semi-quantitative RBI methods used to determine the likelihood category and consequence level. The results obtained are evaluated four elbow section into the low risk category.

Keywords: Inspection Management, Elbow Section, East Borneos's Sangasanga Field, Internal Corrosion-Erosion, Risk Based Inspection (RBI).

DAFTAR ISI

| | |
|--|-------------|
| HALAMAN JUDUL | i |
| LEMBAR PENGESAHAN | iii |
| ABSTRAK | iv |
| ABSTRACT | v |
| KATA PENGANTAR | vi |
| UCAPAN TERIMA KASIH | vii |
| DAFTAR ISI | viii |
| DAFTAR GAMBAR | xi |
| DAFTAR TABEL | xiii |
| DAFTAR LAMPIRAN | xv |
| BAB I PENDAHULUAN | 1 |
| 1.1. Latar Belakang | 1 |
| 1.2. Rumusan Masalah | 5 |
| 1.3. Tujuan | 6 |
| 1.4. Manfaat | 6 |
| 1.5. Batasan Masalah | 6 |
| 1.6. Sistematika Penulisan | 7 |
| BAB II TINJAUAN PUSTAKA DAN DASAR TEORI | 9 |
| 2.1. Tinjauan Pustaka | 9 |
| 2.2. Dasar Teori | 14 |
| 2.2.1. Pembebanan | 12 |
| 2.2.1.1. Aliran Laminar..... | 16 |
| 2.2.1.2. <i>Secondary Flow</i> | 16 |
| 2.2.1.3. <i>Pressure Drop</i> | 17 |
| 2.2.1.4. <i>Head Loss</i> | 17 |
| 2.2.1.5. <i>Vortex</i> | 18 |
| 2.2.1.6. Aliran Turbulen | 18 |
| 2.2.1.7. Tegangan Geser | 19 |
| 2.2.1.8. Korosi dan Erosi Internal | 20 |
| 2.2.2. Peluang Kegagalan | 25 |

| | |
|---|----|
| 2.2.2.1. Moda Kegagalan | 25 |
| 2.2.2.2. Simulasi Montecarlo | 26 |
| 2.2.2.3. Konsekuensi Kegagalan | 27 |
| 2.2.2.3.1. Menentukan Fluida Representatif dan sifat-Sifatnya | 28 |
| 2.2.2.3.2. Pemilihan Ukuran Lubang Kebocoran | 29 |
| 2.2.2.3.3. Estimasi Jumlah Total fluida yang Terlepas | 29 |
| 2.2.2.3.4. Estimasi Laju Kebocoran | 31 |
| 2.2.2.3.5. Menentukan Tipe Kebocoran..... | 32 |
| 2.2.2.3.6. Penentuan Fasa Fluida Setelah Terlepas | 33 |
| 2.2.3 Risiko Kegagalan | 34 |
| 2.2.4 Manajemen Inspeksi | 35 |
| 2.2.5 <i>Metode Risk Based Inspection (RBI)</i> | 37 |
| 2.2.4 Pengembangan Rencana Inspeksi | 40 |
| 2.2.6.1. Penentuan Metode Inspeksi | 41 |
| BAB III METODOLOGI PENELITIAN | 43 |
| 3.1. Metode Penelitian | 43 |
| 3.2. Prosedur Penelitian | 45 |
| 3.2.1. Studi Literatur..... | 45 |
| 3.2.2. Pengumpulan Data | 45 |
| 3.2.3. Pemodelan Menggunakan <i>Software ANSYS FLUID FLOW CFX.</i> .. | 45 |
| 3.2.4. Perhitungan Laju Korosi-Erosi | 45 |
| 3.2.5. Menghitung Peluang Kegagalan | 46 |
| 3.2.6. Analisa Konsekuensi dengan Metode Semi-Kuantitatif RBI | 46 |
| 3.2.7. Kesimpulan | 47 |
| 3.2.8. Menyusun laporan | 47 |
| BAB IV ANALISIS DAN PEMBAHASAN | 49 |
| 4.1. Data Utama | 49 |
| 4.2. Identifikasi Bahaya (<i>Hazard Identification</i>) | 51 |
| 4.3. Skenario | 52 |
| 4.3.1 Pemodelan Proses Korosi-Erosi Internal | 52 |
| 4.3.2 Menghitung Nilai PoF dengan Simulasi Montecarlo | 53 |

| | |
|---|-----------|
| 4.4. Pemodelan Struktur dengan Bantuan <i>Software</i> AutoCAD 2014 | 54 |
| 4.5. Pemodelan Numerik Metode CFD dengan <i>Software</i> ANSYS 14.5 | 55 |
| 4.6. Perhitungan Laju Korosi-Erosi | 59 |
| 4.7. Perhitungan Moda Kegagalan | 63 |
| 4.7.1. Penentuan Persamaan Moda Kegagalan | 63 |
| 4.7.2. Penentuan Variabel Acak dan parameter Statistik Variabel Acak | 65 |
| 4.7.3. Simulasi Montecarlo | 66 |
| 4.8. Analisa Konsekuensi dengan Metode Semi-Kuantitatif RBI | 70 |
| 4.8.1. Analisa Laju Pelepasan Fluida | 72 |
| 4.8.2. Penentuan Jenis Pelepasan Fluida | 72 |
| 4.8.3. Penentuan Luas Daerah kebocoran | 74 |
| 4.8.4. Penentuan Konsekuensi Kegagalan | 76 |
| 4.9. <i>Likelihood Analysis</i> | 77 |
| 4.10. Penentuan Tingkat Risiko Semi-Kuantitatif | 78 |
| 4.11. Perencanaan Inspeksi | 80 |
| BAB V KESIMPULAN DAN SARAN | 83 |
| 5.1. Kesimpulan | 83 |
| 5.2. Saran | 84 |
| DAFTAR PUSTAKA | 85 |

DAFTAR GAMBAR

| | |
|--|----|
| Gambar 1.1 Distribusi Kecepatan Aliran Fluida pada <i>Elbow Section</i> | 2 |
| Gambar 1.2 Jaringan Pipa Milik PT. Pertamina EP Field Sangasanga, Kaltim..... | 4 |
| Gambar 1.3 Road Crossing pada Jaringan Pipa PT. Pertamina Sangasanga..... | 5 |
| Gambar 2.1 Alur pembebanan pada Inner Wall Pipa Akibat Aliran Fluida..... | 15 |
| Gambar 2.2 Pola Aliran laminar..... | 16 |
| Gambar 2.3 Bilangan <i>Reynolds</i> dan Pola <i>Secondary flow</i> | 17 |
| Gambar 2.4 Pola Aliran Turbulen..... | 19 |
| Gambar 2.5 Ilustrasi Tegangan Geser pada Fluida Non-Newtonian..... | 19 |
| Gambar 2.6 Orientasi Pengukuran Laju Korosi-Erosi..... | 20 |
| Gambar 2.7 Distribusi kecepatan Aliran Fluida pada <i>Elbow section</i> | 21 |
| Gambar 2.8 Variasi Kecepatan Aliran Fluida pada <i>Cross-Section Elbow</i> | 22 |
| Gambar 2.9 Distribusi Laju Korosi-Erosi Metode <i>Array Electrodes</i> | 22 |
| Gambar 2.10 Proses Kimia Terjadinya Korosi Internal Pada Pipa | 23 |
| Gambar 2.11 Matriks Risiko Metode Semi-Kuantitatif..... | 35 |
| Gambar 3.1 Diagram Alir Penelitian..... | 44 |
| Gambar 4.1 <i>Elbow</i> Pada Jaringan Pipa PT. Pertamina <i>Field Sangasanga</i> | 49 |
| Gambar 4.2 Dimensi Utama <i>Elbow Hot Bend Long Radian 45°</i> | 54 |
| Gambar 4.3 Model CAD Pipa <i>Road Crossing Section</i> tampak Melintang..... | 55 |
| Gambar 4.4 Model CAD Pipa <i>Road Crossing Section</i> tampak Isometrik..... | 55 |
| Gambar 4.5 Grafik Hasil <i>Meshing Sensitivity Analysis</i> pada <i>Elbow Section 2</i> | 56 |
| Gambar 4.6 <i>Meshing</i> Pada Struktur Pipa <i>Road Crossing</i> | 57 |
| Gambar 4.7 Model Inlet Pada <i>Road Crossing Pipeline</i> | 58 |
| Gambar 4.8 Model Outlet Pada <i>Road Crossing Pipeline</i> | 58 |
| Gambar 4.9 Output Analisa CFD Berupa Kecepatan Pada <i>Elbow Section</i> | 59 |
| Gambar 4.10 Hubungan Kecepatan Rerata terhadap kecepatan fluida di <i>Elbow</i> | 61 |
| Gambar 4.11 Hubungan Kecepatan Rerata terhadap Laju Korosi-Erosi di <i>Elbow</i> | 61 |
| Gambar 4.12 Hubungan Variasi Kecepatan Fluida terhadap Ketebalan <i>Elbow</i> | 63 |
| Gambar 4.13 Hasil Simulasi Montecarlo pada <i>Elbow 1</i> dengan Variasi RNG.... | 67 |

| | |
|--|----|
| Gambar 4.14 Hasil Simulasi Montecarlo pada <i>Elbow 2</i> dengan Variasi RNG..... | 68 |
| Gambar 4.15 Hasil Simulasi Montecarlo pada <i>Elbow 3</i> dengan Variasi RNG..... | 68 |
| Gambar 4.16 Hasil Simulasi Montecarlo pada <i>Elbow 4</i> dengan Variasi RNG..... | 69 |
| Gambar 4.17 Matriks Risiko untuk Seluruh <i>Elbow Section</i> yang Ditinjau | 79 |
| Gambar 4.18 Pengukuran Ketebalan Pelat Menggunakan Metode <i>U.T testing</i> | 81 |

DAFTAR TABEL

| | |
|---|----|
| Tabel 2.1. Ukuran Lubang Kebocoran dan Harga representatifnya..... | 29 |
| Tabel 2.2. Jumlah Fluida yang Dapat Terlepas Berdasarkan Jenis Peralatan..... | 30 |
| Tabel 2.3. Penentuan Fasa Fluida Setelah Terlepas | 33 |
| Tabel 2.4. Syarat-Syarat Minimal Ruang Lingkup Penilaian Internal | 40 |
| Tabel 2.5. Metode Inspeksi NDT..... | 41 |
| Tabel 4.1. Data Utama <i>Elbow Hot Bend Long Radian 45°</i> | 49 |
| Tabel 4.2. Data Tekanan, Kecepatan Rata-Rata Aliran Serta Suhu Operasional.... | 50 |
| Tabel 4.3. Data Operasional, Properti material Pipa dan Properti Fluida | 50 |
| Tabel 4.4. Data Spesifik Properti Fluida..... | 51 |
| Tabel 4.5. Data Utama <i>Elbow Hot Bend Long Radian 45°</i> | 54 |
| Tabel 4.6. Hasil Meshing Sensitivity Analysis pada Elbow Section 2..... | 56 |
| Tabel 4.7. Perhitungan Laju Korosi-Erosi Menggunakan Kecepatan di <i>Elbow</i> ... | 60 |
| Tabel 4.8. Ketebalan <i>Elbow Section</i> Masa Operasi Satu Tahun..... | 62 |
| Tabel 4.9. Nilai <i>Equivalent Stress</i> Masing-Masing <i>Elbow</i> untuk 20 Pemodelan.. | 65 |
| Tabel 4.10. Jenis Distribusi dan Parameter Statistik <i>Equivalent Stress Elbow</i> | 66 |
| Tabel 4.11. Hasil Simulasi Montecarlo pada <i>Elbow Section 1</i> | 67 |
| Tabel 4.12. Hasil Simulasi Montecarlo pada <i>Elbow Section 2</i> | 67 |
| Tabel 4.13. Hasil Simulasi Montecarlo pada <i>Elbow Section 3</i> | 68 |
| Tabel 4.14. Hasil Simulasi Montecarlo pada <i>Elbow Section 2</i> | 69 |
| Tabel 4.15. Properti Fluida | 71 |
| Tabel 4.16. Laju Pelepasan Fluida pada Setiap <i>Elbow Section</i> yang Ditinjau..... | 72 |
| Tabel 4.17. Jenis Pelepasan Fluida pada <i>Elbow Section 1</i> | 73 |
| Tabel 4.18. Jenis Pelepasan Fluida pada <i>Elbow Section 2</i> | 73 |
| Tabel 4.19. Jenis Pelepasan Fluida pada <i>Elbow Section 3</i> | 73 |
| Tabel 4.20. Jenis Pelepasan Fluida pada <i>Elbow Section 4</i> | 73 |
| Tabel 4.21. Persamaan <i>Probability-Weighted Affected Area</i> | 74 |
| Tabel 4.22. <i>Probability-Weighted Affected Area</i> Daerah Kerusakan..... | 74 |

| | |
|---|----|
| Tabel 4.23. <i>Probability-Weighted Affected Area</i> Daerah Berbahaya..... | 75 |
| Tabel 4.24. Luas Kombinasi Untuk Kategori Luas daerah Kerusakan..... | 75 |
| Tabel 4.25. Luas Kombinasi Untuk Kategori Luas daerah Berbahaya..... | 76 |
| Tabel 4.26. Luas Daerah Kebocoran..... | 76 |
| Tabel 4.27. Luas Daerah Kebocoran dan Kategori Konsekuensi Setiap <i>Elbow</i> ... | 76 |
| Tabel 4.28. Nilai Konstanta Reduksi Ketebalan Material Setiap <i>Elbow Section</i> .. | 77 |
| Tabel 4.29. Nilai TMSF untuk Masing-Masing <i>Elbow Section</i> | 78 |
| Tabel 4.30. <i>Likelihood Category</i> untuk Masing-Masing <i>Elbow Section</i> | 78 |
| Tabel 4.31. Rangkuman <i>Consequence Level</i> dan <i>Likelihood Category</i> semua <i>elbow</i> | 79 |
| Tabel 4.32. Integritas Inspeksi pada Peralatan Statis RBI..... | 80 |
| Tabel 4.33. Metode Inspeksi, Durasi Inspeksi serta Luas Area Inspeksi Berdasarkan API 581..... | 81 |
| Tabel 4.34. Perencanaan Inspeksi untuk Keempat <i>Elbow Section</i> yang Dievaluasi..... | 82 |

DAFTAR LAMPIRAN

LAMPIRAN A Output Pemodelan CFD

LAMPIRAN B Simulasi Montecarlo

LAMPIRAN C Analisa Konsekuensi

BAB I

PENDAHULUAN

1.1 Latar Belakang

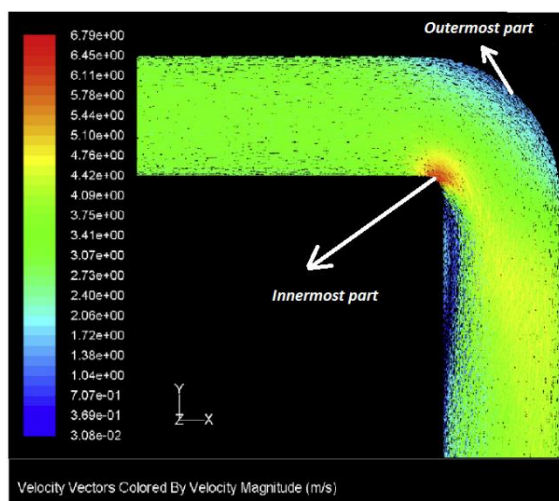
Jaringan pipa memegang peranan penting dalam industri minyak dan gas alam. Sampai saat ini jaringan pipa masih menjadi media penyalur masal paling ekonomis untuk minyak mentah dan gas alam jika dibandingkan dengan kereta api, *truck*, dan kapal *tanker* (Iman dan Kusmono, 2014). Namun demikian, salah satu kelemahan dari jaringan pipa adalah rawan terjadinya korosi internal (*internal corrosion*). Beberapa tahun belakangan ini, penelitian mengenai proses korosi internal pada jaringan pipa menjadi topik yang sangat penting. Hal tersebut dikarenakan dampak ekonomis dan teknis yang ditimbulkannya (Huang dan Ji, 2008). Lebih lanjut, Allahkaram dkk (2015) dalam laporan penelitiannya menyebutkan bahwa *pipeline* sebagai media transportasi minyak, gas dan produk petroleum memegang peranan sangat luar biasa dalam perekonomian suatu negara sehingga upaya perlindungan *pipeline* dari serangan korosi internal sangat vital.

Dalam laporan penelitiannya Shabarchin (2016) mengutip bahwa di British Columbia, Kanada, terdapat sepanjang 40.000 km *pipelines* dalam kondisi beroperasi. Lebih dari 37 kasus kegagalan pada *pipelines* terjadi disana setiap tahunnya menyebabkan tumpahan *liquid* dan terlepasnya gas berbahaya ke udara yang dapat merusak lingkungan maupun properti yang ada disekitarnya. Badan Pengawas minyak dan gas British Columbia (BCOGS) mengindikasi bahwa salah satu penyebab utama terjadinya kegagalan-kegagalan pada *pipelines* tersebut adalah korosi internal. Oleh karenanya, menjadi hal paling penting untuk secara berkala melakukan pengecekan terhadap integritas struktur *pipelines* dari ancaman korosi internal. Pengecekan integritas struktur *pipelines* secara berkala bertujuan untuk mengurangi risiko korosi dan sebagai strategi perawatan *pipelines* sehingga meminimalkan peluang kegagalan.

Seiring dengan peningkatan jumlah bencana pada *pipelines*, maka keamanan dan keselamatan *pipelines* mendapat perhatian lebih diseluruh dunia. Fenomena

erosi yang menimpa bagian dalam dinding perpipaan menjadi salah satu faktor utama penyebab kegagalan pada *pipelines*. Berdasarkan pertimbangan tersebut, Lin dkk (2015) melakukan sebuah penelitian yang menghasilkan sebuah usulan berupa model proses erosi yang merupakan kombinasi dari model teoritis dan fase diskrit Lagrange. Objek penelitian yang digunakan adalah *elbow section* milik Daqing Oil and Gas Company, China. Penelitian tersebut menghasilkan kesimpulan bahwa pada kondisi tekanan tinggi akibat aliran fluida berupa campuran fasa gas dan solid, terjadi erosi pada bagian *elbow section*. Penelitian tersebut juga menghasilkan kesimpulan bahwa kecepatan erosi meningkat seiring dengan peningkatan kecepatan aliran fluida didalamnya.

Untuk mempelajari fenomena korosi-erosi serta kaitannya dengan perilaku aliran fluida didalam *elbow section* berbahan baja karbon, Zhang dkk (2013) melakukan sebuah penelitian dengan menggabungkan dua buah metode yaitu metode *array electrode technique* dan *computational fluid dynamics* (CFD). Dari penelitian tersebut didapatkan kesimpulan bahwa distribusi laju korosi-erosi yang terjadi pada dinding dalam *elbow section* bersesuaian dengan distribusi laju aliran fluida didalamnya. Terdapat kecenderungan dimana laju korosi-erosi dan laju aliran fluida pada bagian *inner wall* lebih tinggi dibanding pada bagian *outer wall*. Laju korosi-erosi dan laju aliran fluida maksimum terjadi pada bagian *innermost* sedangkan laju korosi-erosi dan laju aliran fluida minimum terjadi pada bagian *outermost* dari *elbow section*.



Gambar 1.1 Distribusi kecepatan aliran fluida pada *elbow section* (Zhang dkk, 2013)

Fenomena korosi-erosi adalah salah satu moda kegagalan paling sering terjadi pada *pipelines*. Korosi-erosi bisa menyebabkan degradasi kekuatan struktur *pipelines* penyalur minyak dan gas. Korosi-erosi juga dapat menyebabkan terjadinya kerusakan struktur *pipelines* lebih awal dari umur desainnya. Biaya yang sangat besar tiap tahunnya dikucurkan untuk mengurangi terjadinya korosi-erosi pada *pipelines* (Zeng dkk, 2014). Korosi-erosi internal dapat menyebabkan penipisan dinding dalam perpipaan. Fenomena penipisan dinding dalam ini dapat mengurangi integritas struktur perpipaan yang pada akhirnya dapat menimbulkan kerusakan parah (*catastrophic*) ketika menghadapi kondisi tekanan operasi oleh fluida didalamnya (Khalajestani dkk, 2015).

Seiring dengan semakin maraknya peristiwa kegagalan pada pipa akibat adanya kerusakan yang tanda-tanda awalnya tidak terdeteksi dengan baik, maka perlu adanya peraturan resmi terkait pemeriksaan atau inspeksi pada alat-alat industri minyak dan gas bumi termasuk pada *elbow section*. Peraturan resmi terkait pentingnya pemeriksaan atau inspeksi ini salah satunya tercantum dalam Peraturan Menteri Pertambangan dan Energi No.84.K/38/DJM/1998 tentang '*Pedoman dan Tatacara Pemeriksaan Keselamatan Kerja atas Instalasi, Peralatan dan Teknik yang Dipergunakan Dalam Usaha Pertambangan Minyak dan Gas Bumi dan Pengusahaan Sumberdaya Panas Bumi*'. Secara spesifik, peraturan resmi mengenai pentingnya pemeriksaan atau inspeksi khusus untuk pipa penyalur minyak dan gas bumi tercantum dalam Peraturan Menteri Pertambangan dan Energi Republik Indonesia No.300.K/38/M.PE/1997 tentang '*Keselamatan Kerja Pipa Penyalur Minyak dan Gas Bumi*'.

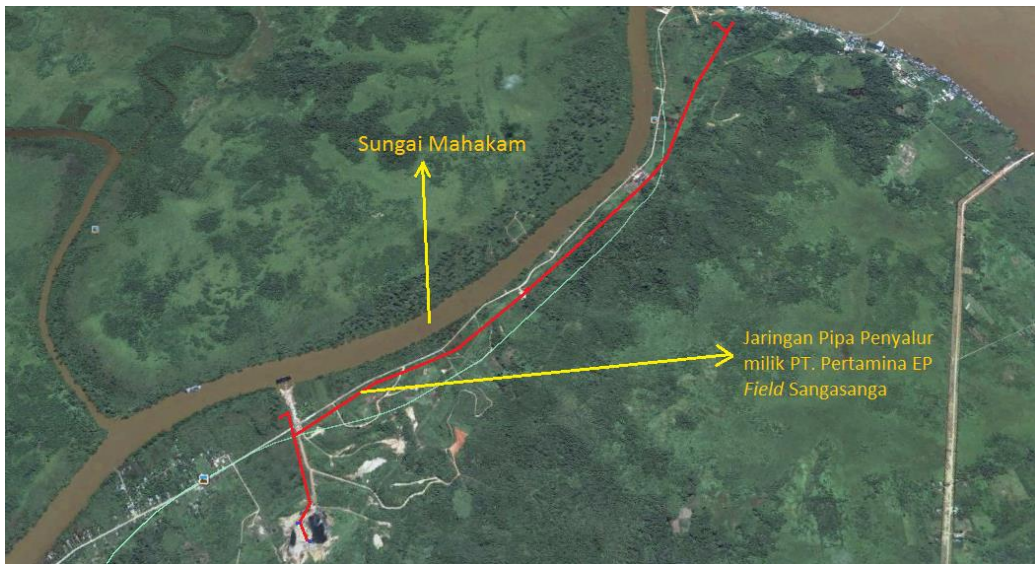
Mengingat pentingnya pelaksanaan inspeksi pada jaringan pipa penyalur minyak dan gas bumi, maka sudah semestinya dilakukan perencanaan program inspeksi berkala. Perencanaan program inspeksi tersebut harus disesuaikan dengan kondisi dari pipa penyalur yang bersangkutan. Pertimbangan faktor tingkat kebutuhan dan faktor ekonomis harus menjadi prioritas utama agar menghasilkan program inspeksi yang efektif dan efisien.

RBI (*Risk Based Inspection*) merupakan metode inspeksi yang paling relevan dan efisien untuk diterapkan saat ini. Metode RBI menggunakan kombinasi dua

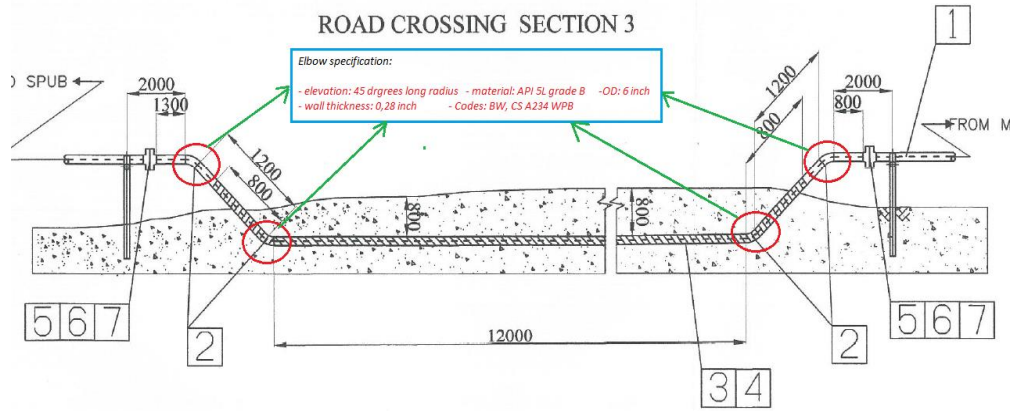
parameter yaitu kemungkinan kegagalan dan konsekuensi kegagalan. Kedua parameter tersebut sangat cocok dijadikan acuan untuk menentukan jenis inspeksi seperti apa yang dibutuhkan oleh suatu peralatan karena terdapat kesesuaian antara tingkat risiko dari struktur itu sendiri dengan metode inspeksi yang akan dipilih.

Taufik (2014) dalam artikelnya menyatakan bahwa saat ini metode RBI sudah dalam fase *mature* dan hampir seluruh perusahaan migas global menggunakan RBI untuk mengelola *integrity assetnya*. Beberapa perusahaan bahkan mengembangkan sendiri metodologi RBI berikut *softwarenya* seperti Shell, Total EP, Chevron, ConocoPhilips, dan sebagainya.

RBI merupakan perwujudan dari metode terkini dalam pendekatan inspeksi terkait penjadwalan inspeksi. Fokus RBI pada peralatan-peralatan perlengkapan dan kegagalan mekanis yang merupakan risiko paling banyak dialami oleh fasilitas-fasilitas produksi (Shishesaz, 2013). Maka dari itu, penelitian ini menggunakan metode RBI untuk menentukan metode inspeksi yang cocok (efektif dan efisien) bagi *elbow section* pada jaringan pipa darat milik PT. Pertamina EP asset 5 Field Sanga-Sanga, Kalimantan Timur



Gambar 1.2 Jaringan pipa penyalur milik PT. Pertamina EP *Field Sangasanga*, Kaliantan Timur.



Gambar 1.3 Road crossing elbow section pada jaringan pipa penyalur milik PT. Pertamina EP Field Sangasanga, Kalimantan Timur.

Karena terdapat *elbow section* pada jaringan pipa tersebut, maka sangat rawan terjadi korosi-erosi internal. Oleh karenanya penelitian ini menggunakan jaringan pipa penyalur milik PT. Pertamina EP *Field* Sangasanga, kalimantan Timur, sebagai objek penelitian.

1.2 Rumusan Masalah

Berdasarkan latar belakang diatas dapat disimpulkan bahwa terdapat beberapa permasalahan yang akan dibahas dalam penelitian ini, yaitu:

1. Bagaimana kondisi pembebanan pada dinding dalam *elbow section* yang terkena korosi-erosi internal akibat aliran fluida berupa hidrokarbon cair?.
2. Bagaimana peluang kegagalan dan konsekuensi yang dapat ditimbulkan serta tingkat risiko dari *elbow section* yang terkena korosi-erosi internal dalam batas yang masih diperbolehkan secara *structural integrity*?.
3. Bagaimana manajemen inspeksi dari *elbow section* yang terkena korosi-erosi internal tersebut jika dikaji menggunakan metode *Risk Based Inspection (RBI)*?.

1.3 Tujuan

Tujuan yang ingin dicapai dalam penelitian ini adalah sebagai berikut:

1. Mengetahui kondisi pembebahan pada dinding dalam *elbow section* yang terkena korosi-erosi internal akibat aliran fluida berupa hidrokarbon cair.
2. Mengetahui peluang kegagalan dan konsekuensi yang dapat ditimbulkan serta tingkat risiko dari *elbow section* yang terkena korosi-erosi internal dalam batas yang masih diperbolehkan secara *structural integrity*.
3. Mengetahui jenis manajemen inspeksi yang cocok dan sesuai dengan kondisi tingkat risiko *elbow section* yang terkena korosi-erosi internal berdasarkan metode *Risk Based Inspection* (RBI).

1.4 Manfaat

Manfaat utama dari penelitian ini adalah mendapatkan informasi mengenai manajemen inspeksi paling efektif dan efisien yang dapat diterapkan pada *elbow section* milik PT. Pertamina EP *Field Sangasanga*, Kalimantan Timur, yang terkena korosi-erosi internal akibat aliran hidrokarbon cair didalamnya. Pemilihan manajemen inspeksi dilakukan menggunakan metode *Risk Based Inspection* (RBI), sehingga memungkinkan untuk menentukan metode inspeksi, teknologi inspeksi, dan interval inspeksi sesuai dengan tingkat risiko dari *elbow section* yang bersangkutan. Manfaat lain dari penelitian ini adalah dapat memberikan rekomendasi bagi perusahaan pemilik *elbow section* terkait manajemen inspeksi yang efektif dan efisien dalam hal pembiayaan dan waktu pelaksanaan inspeksi.

1.5 Batasan Masalah

Agar permasalahan yang akan dibahas lebih terfokus pada tujuan yang ingin dicapai, maka ditentukan batasan-batasan masalah sebagai berikut:

1. Jenis struktur yang akan dianalisa pada penelitian ini adalah *elbow section* yang merupakan bagian dari jaringan pipa penyalur milik PT. Pertamina EP *Field Sangasanga*, kalimantan Timur.
2. Dimensi dan properti *elbow section* disesuaikan dengan data pipa penyalur milik PT. Pertamina EP *Field Sangasanga*.

3. Analisa RBI semi-kuantitatif berlaku pada analisa konsekuensi dan penentuan tingkat risiko *elbow section* yang terkena korosi-erosi internal.
4. Analisa peluang kegagalan *elbow section* yang terkena korosi-erosi internal menggunakan persamaan *stress based* dalam DNV OSF 101.
5. Perhitungan nilai peluang kegagalan *elbow section* yang terkena korosi-erosi internal menggunakan metode Simulasi Montecarlo.
6. *Code* yang digunakan adalah API 581 *Risk-Based Inspection Base Resource Documents, First Edition* dan API 580 *First Edition*.
7. Korosi eksternal diabaikan.
8. Jenis aliran fluida pada bagian *pipeline* berkonfigurasi lurus diasumsikan berupa aliran laminar.

1.6 Sistematika Penulisan

Sistematika yang akan digunakan dalam penulisan penelitian ini adalah sebagai berikut:

1. Pendahuluan

Berisikan tentang latar belakang masalah, rumusan masalah, tujuan dan manfaat dari penelitian, batasan masalah serta sistematika penulisan laporan.

2. Tinjauan Pustaka dan Dasar Teori

Berisikan landasan teori yang berhubungan dengan penelitian yang dilakukan oleh penulis. Tinjauan pustaka diambil dari literatur-literatur yang sudah ada, baik dari jurnal, buku teks, internet dan referensi lain yang digunakan sebagai dasar dalam melakukan penelitian.

3. Metodologi Penelitian

Berisikan tentang penjelasan mengenai bagaimana penelitian ini dilakukan mulai dari *start* penelitian, pengumpulan data, penggerjaan analisis, baik analisis struktur maupun analisis fluida, hingga penarikan kesimpulan. Tahapan dalam melakukan penelitian diperlihatkan dalam sebuah diagram alir penggerjaan (*flow chart*).

4. Analisis dan Pembahasan

Berisikan pembahasan mengenai hasil pemodelan *elbow section* beserta mekanisme perusakan struktur oleh korosi-erosi internal akibat adanya aliran turbulen. Bab ini juga berisikan tentang simulasi Montecarlo untuk mencari nilai peluang kegagalan masing-masing *elbow section* serta analisa konsekuensi kegagalan menggunakan metode semi-kuantitatif RBI. Akhir dari bab ini adalah penentuan tingkat risiko serta penentuan manajemen inspeksi yang sesuai dengan tingkat risiko masing-masing *elbow section*.

5. Kesimpulan dan Saran

Bab ini merupakan bab terakhir. Apabila penelitian telah selesai dianalisis dan dibahas, maka dapat ditarik kesimpulan dari penelitian dengan melihat perumusan masalah dan tujuan dari penelitian ini. Selanjutnya bisa diketahui kekurangan-kekurangan dari penelitian ini yang dapat dijadikan sebagai saran untuk penelitian selanjutnya.

BAB II

TINJAUAN PUSTAKA DAN DASAR TEORI

2.1 Tinjauan Pustaka

Beberapa tahun belakangan ini, penelitian mengenai proses korosi internal pada jaringan pipa menjadi topik yang sangat penting. Hal tersebut dikarenakan dampak ekonomis dan teknis yang ditimbulkannya (Huang dan Ji, 2008). Lebih lanjut, Allahkaram dkk (2015) dalam laporan penelitiannya menyebutkan bahwa *pipeline* sebagai media transportasi minyak, gas dan produk *petroleum* memegang peranan sangat luar biasa dalam perekonomian suatu negara sehingga upaya perlindungan *pipeline* dari serangan korosi internal sangat vital.

Iman dan Kusmono (2014) telah menganalisa korosi internal pada jaringan pipa bawah laut milik *CNOOC SES Ltd*. Kesimpulan dari penelitian tersebut adalah bahwa penyebab utama terjadinya korosi internal pada jaringan pipa bawah laut diakibatkan karena adanya *flow induced* dari hidrokarbon dan air pengotornya. Dalam penelitian tersebut, Iman dan Kusmono menggunakan jaringan pipa bawah laut milik *CNOOC SES Ltd*. sebagai objek penelitian. Fokus utama penelitian adalah kebocoran yang terjadi pada bagian horizontal pipeline di dekat *elbow* menuju ke *riser* akibat adanya korosi internal.

Salah satu kelemahan dari penelitian tersebut adalah Iman dan Kusmono hanya melakukan analisa terhadap jaringan pipa yang berkonfigurasi lurus. Sedangkan pada kenyataan di lapangan, jaringan pipa tidak hanya memiliki konfigurasi lurus. Salah satu komponen pada jaringan pipa selain komponen lurus adalah *elbow section*. Perbedaan konfigurasi antara jaringan pipa yang lurus saja dengan jaringan pipa yang memiliki bagian *elbow* mengakibatkan adanya perbedaan perilaku aliran fluida pada masing-masing konfigurasi pipa tersebut.

Dalam laporan penelitiannya Shabarchin (2016) mengutip bahwa di British Columbia, Kanada, terdapat sepanjang 40.000 km *pipelines* dalam kondisi beroperasi. Lebih dari 37 kasus kegagalan pada *pipelines* terjadi disana setiap tahunnya menyebabkan tumpahan *liquid* dan terlepasnya gas berbahaya ke udara

yang dapat merusak lingkungan maupun properti yang ada disekitarnya. Badan Pengawas minyak dan gas British Columbia (BCOGS) mengindikasi bahwa salah satu penyebab utama terjadinya kegagalan-kegagalan pada *pipeliness* tersebut adalah korosi internal. Oleh karenanya, menjadi hal paling penting untuk secara berkala melakukan pengecekan terhadap integritas struktur *pipelines* dari ancaman korosi internal. Pengecekan integritas struktur *pipelines* secara berkala bertujuan untuk mengurangi risiko korosi dan sebagai strategi perawatan *pipelines* sehingga meminimalkan peluang kegagalan.

Seiring dengan peningkatan jumlah bencana pada *pipelines*, maka keamanan dan keselamatan *pipelines* mendapat perhatian lebih diseluruh dunia. Fenomena erosi yang menimpa bagian dalam dinding perpipaan menjadi salah satu faktor utama penyebab kegagalan pada *pipelines*. Berdasarkan pertimbangan tersebut, Lin dkk (2015) melakukan sebuah penelitian yang menghasilkan sebuah usulan berupa model proses erosi yang merupakan kombinasi dari model teoritis dan fase diskrit Lagrange untuk erosi. Objek penelitian yang digunakan adalah *elbow section* milik Daqing Oil and Gas Company, China. Penelitian tersebut menghasilkan kesimpulan bahwa pada kondisi tekanan tinggi akibat aliran fluida berupa campuran fasa gas dan solid, erosi paling parah terjadi pada area dekat dengan *outlet elbow*. Penelitian tersebut juga menghasilkan kesimpulan bahwa kecepatan erosi meningkat seiring dengan peningkatan kecepatan aliran fluida didalamnya.

Harus diakui bahwa fenomena korosi-erosi adalah salah satu moda kegagalan paling sering terjadi pada *pipelines*. Korosi-erosi bisa menyebabkan degradasi kekuatan struktur *pipelines* penyalur minyak dan gas. Korosi-erosi juga dapat menyebabkan terjadinya kerusakan struktur *pipelines* lebih awal dari umur desainnya. Biaya yang sangat besar tiap tahunnya dikucurkan untuk mengurangi terjadinya korosi-erosi pada *pipelines* (Zeng dkk, 2014). Korosi-erosi internal dapat menyebabkan penipisan dinding dalam perpipaan. Fenomena penipisan dinding dalam ini dapat mengurangi integritas struktur perpipaan yang pada akhirnya dapat menimbulkan kerusakan parah (*catastrophic*) ketika menghadapi kondisi tekanan operasi oleh fluida didalamnya (Khalajestani dkk, 2015). Korosi-erosi terjadi akibat

kecepatan aliran fluida yang tinggi dan turbulensi dari fluida. Penyebab tambahan terjadinya korosi-erosi adalah suhu, pH, kuantitas oksigen yang terlarut dalam fluida, dan komposisi dari material (Ryu dkk, 2011).

Khalajestani dkk (2015) dalam jurnal penelitiannya menyatakan bahwa terdapat perbedaan distribusi tekanan pada bagian pipa dengan konfigurasi lurus dengan bagian pipa berbentuk lengkung (*elbow section*). Menurut penelitian tersebut, bagian pipa berbentuk lengkung (*elbow section*) cenderung lebih lemah dalam menahan tekanan internal akibat airan fluida jika dibanding dengan bagian pipa berkonfigurasi lurus. Pada bagian lurus dari jaringan pipa, aliran fluida hampir mendekati bentuk laminar. Akibat pengaruh dinding pipa, aliran tersebut kemudian berubah menjadi aliran turbulen yang kompleks karena adanya inersia aliran fluida pada bagian lengkungan pipa (*elbow*). Turbulensi ini meningkatkan korosi-erosi pada dinding pipa, dan menjadi penyebab utama dari penipisan dinding pipa. *Elbow section* adalah komponen penting dalam konfigurasi jaringan *pipelines* sebagai media transportasi minyak dan gas. Bagaimanapun juga perubahan arah aliran secara tiba-tiba pada *elbow section* dapat mengakibatkan perubahan luar biasa pada pergerakan dan distribusi partikel solid yang terlarut dalam aliran tersebut, sehingga dapat menyebabkan perbedaan perilaku korosi-erosi pada masing-masing daerah pada *elbow section* (Zeng dkk, 2014).

Ryu dkk (2011) telah melakukan penelitian terkait proses penipisan dinding dalam *elbow section*. Penelitian dilakukan dengan fluida berupa air yang mengalir melewati elbow 90° . Dalam penelitian tersebut, suhu dibuat konstant sebesar 50°C , kecepatan aliran sebesar 5 m/s , dan material yang digunakan adalah baja karbon KSD 3507 dengan P dan S bernilai $< 0,04$. Pemodelan dilakukan dengan menggunakan ANSYS CFX. Dari penelitian tersebut dihasilkan kesimpulan bahwa tekanan tinggi terjadi akibat inersia dari aliran dengan dinding *elbow*. Karena terjadi perubahan dari aliran laminar pada bagian lurus pipa menjadi aliran turbulen pada bagian *elbow*, mengakibatkan korosi-erosi lebih aktif dibanding pada bagian lurus pipa. Pengaruh tekanan pada *elbow* meningkat seiring dengan meningkatnya kecepatan. Dengan meningkatnya kecepatan aliran, derajat turbulensi pun meningkat, sehingga fenomena korosi-erosi bisa meningkat.

Pada *elbow section* nilai *pressure drop* aliran lebih besar daripada aliran yang mengalir pada saluran lurus dengan panjang yang sama. Hal tersebut dikarenakan aliran yang mengalir pada *elbow* mengalami *friction loss*, *separation loss*, dan *secondary flow*. Bentuk *elbow* yang melengkung mengakibatkan distribusi tekanan didalam *elbow* bervariasi disepanjang *streamline*.

Pada *elbow section* terjadi *friction loss*, separasi aliran, dan *secondary flow*. *Friction loss* terjadi karena adanya gesekan antara fluida dengan *inner surface*. Sementara separasi aliran terjadi karena ketidakmampuan aliran melawan *adverse pressure gradient* sehingga sebagian aliran akan terpisah dan berbalik arah dari aliran utamanya membentuk *vortex* dan mengurangi energi aliran. Sedangkan *secondary flow* terjadi karena perbedaan distribusi energi antara daerah *inner* dan *outer wall* pada *elbow section*. Terbentuknya *vortex* mengakibatkan adanya turbulensi pada aliran. Turbulensi mengakibatkan peningkatan nilai bilangan Reynold, peningkatan bilangan Reynold mengakibatkan peningkatan kecepatan aliran, peningkatan kecepatan aliran mengakibatkan peningkatan nilai tegangan geser, dan akhirnya tegangan geser mengakibatkan korosi internal.

Friction loss terjadi karena adanya gesekan antara fluida dengan *inner surface*. Sementara separasi aliran terjadi karena ketidakmampuan aliran melawan *adverse pressure gradient* sehingga sebagian aliran akan terpisah dan berbalik arah dari aliran utamanya membentuk *vortex* dan mengurangi energi aliran. Sedangkan *secondary flow* terjadi karena perbedaan distribusi energi antara daerah *inner* dan *outer wall* pada *elbow section* (Muslimu, 2012). Adanya *separasi* dan *secondary flow* sangat mempengaruhi timbulnya penurunan tekanan (*pressure drop*) aliran. Secara tidak langsung, terjadinya *pressure drop* dapat menyebabkan terjadinya *headloss*.

Secara umum terdapat dua jenis *headloss*, yaitu *headloss* mayor dan minor. *Headloss* minor adalah kehilangan energi akibat perubahan penampang dan aksesoris lainnya yang salah satunya akibat *elbow section*. *Headloss* minor mengakibatkan adanya tumbukan antara partikel zat cair dan meningkatkan gesekan karena turbulensi serta tidak seragamnya distribusi kecepatan pada suatu penampang pipa. Adanya lapisan batas terpisah dari dinding pipa maka akan terjadi

tolakan pusaran air (*vortex*). Adanya tolakan ini akan mengganggu pola aliran laminar sehingga meningkatkan turbulensi. Turbulensi mengakibatkan tegangan geser, tegangan geser mengakibatkan korosi internal (Negara, 2007).

Seiring dengan semakin maraknya peristiwa kegagalan pada pipa akibat adanya kerusakan yang tanda-tanda awalnya tidak terdeteksi dengan baik, maka perlu adanya peraturan resmi terkait pemeriksaan atau inspeksi pada alat-alat industri minyak dan gas bumi termasuk pada *elbow section*. Peraturan resmi terkait pentingnya pemeriksaan atau inspeksi ini salah satunya tercantum dalam Peraturan Menteri Pertambangan dan Energi No.84.K/38/DJM/1998 tentang '*Pedoman dan Tatacara Pemeriksaan Keselamatan Kerja atas Instalasi, Peralatan dan Teknik yang Dipergunakan Dalam Usaha Pertambangan Minyak dan Gas Bumi dan Pengusahaan Sumberdaya Panas Bumi*'. Secara spesifik, peraturan resmi mengenai pentingnya pemeriksaan atau inspeksi khusus untuk pipa penyalur minyak dan gas bumi tercantum dalam Peraturan Menteri Pertambangan dan Energi Republik Indonesia No.300.K/38/M.PE/1997 tentang '*Keselamatan Kerja Pipa Penyalur Minyak dan Gas Bumi*'.

Mengingat pentingnya pelaksanaan inspeksi pada jaringan pipa penyalur minyak dan gas bumi, maka sudah semestinya dilakukan perencanaan program inspeksi berkala. Perencanaan program inspeksi tersebut harus disesuaikan dengan kondisi dari pipa penyalur yang bersangkutan. Pertimbangan faktor tingkat kebutuhan dan faktor ekonomis harus menjadi prioritas utama agar menghasilkan program inspeksi yang efektif dan efisien.

Taufik (2014) dalam artikelnya menjelaskan tentang sejarah penggunaan metode RBI didunia. Menurut studi yang dilakukannya RBI mulai dikembangkan tahun 1993 yang dimotori oleh 21 perusahaan migas, petrokomia dan industri proses lainnya. Tujuan dari dikembangkannya metode ini adalah untuk menjawab tantangan *aging facility*. Hasil dari konsesi itu menghasilkan rujukan utama dunia terkait metodologi RBI yakni API 581 (*RBI resources based document*). Dokumen tersebut menampilkan teknologi dan latar belakang perhitungan *scientific* dan *engineering judgement* bagaimana melakukan kajian RBI *step by step*, lengkap dengan *worksheetnya*.

Risk Based Inspection (RBI) adalah pendekata berbasis risiko untuk menentukan prioritas dan perencanaan inspeksi peralatan-peralatan industri, terutama dalam industri minyak dan gas. Metode inspeksi ini menganalisis kemungkinan terjadinya kegagalan dan kerugian sejenis lainnya sebagai acuan bagi penentuan jenis inspeksi yang akan diterapkan (Zhaoyang dkk, 2011). Konsep perencanaan RBI adalah untuk mengambil kesimpulan-kesimpulan dengan menganggap program penjadwalan inspeksi rutin didasarkan pada kemungkinan kegagalan dan konsekuensi dari kegagalan tersebut. Perhitungan kemungkinan tersebut harus termasuk didalamnya analisis potensi keretakan dan ketidakpastian didalam teknik inspeksi yang sudah direncanakan (Lassen, 2013).

RBI merupakan metode yang paling relevan dan efisien untuk diterapkan saat ini. Metode RBI menggunakan kombinasi dua parameter yaitu kemungkinan kegagalan dan konsekuensi kegagalan. Kedua parameter tersebut sangat cocok dijadikan acuan untuk menentukan jenis inspeksi seperti apa yang dibutuhkan oleh suatu peralatan karena terdapat kesesuaian antara tingkat risiko dari struktur itu sendiri dengan metode inspeksi yang akan dipilih.

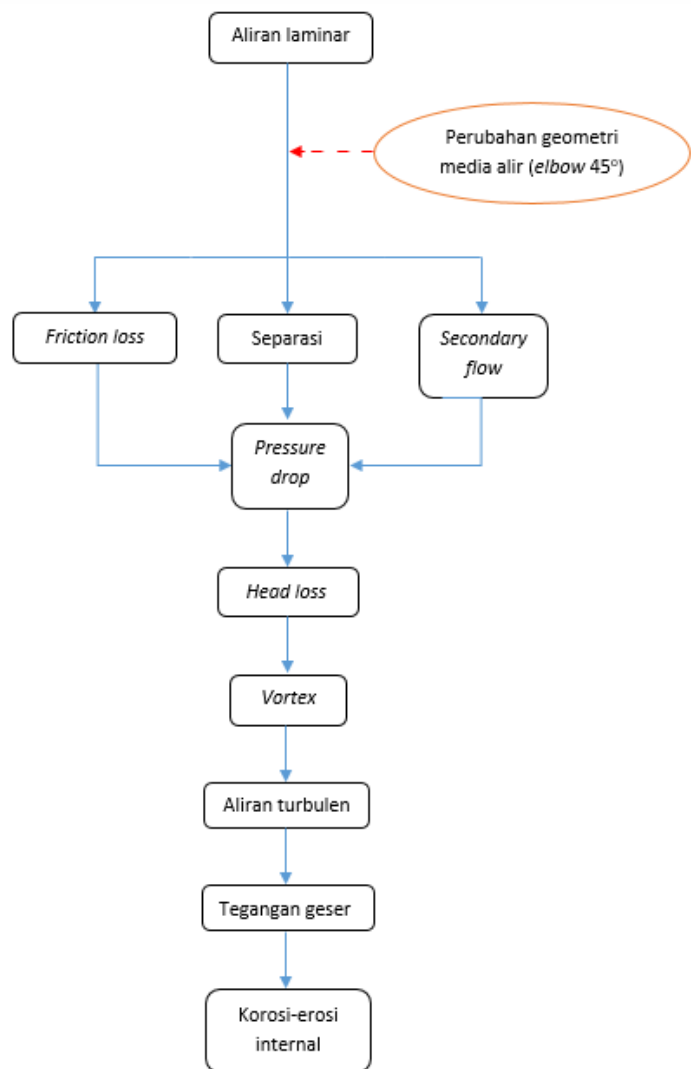
2.2 Dasar Teori

2.2.1 Pembebanan

Berdasarkan tinjauan pustaka yang telah dilakukan oleh peneliti, dapat disimpulkan bahwa pembebanan yang bekerja pada dinding dalam *elbow section* yang ditinjau adalah berupa kecepatan aliran fluida dan tekanan operasional. Karena adanya perubahan konfigurasi secara mendadak pada jaringan perpipaan dari konfigurasi pipa lurus menuju belokan 45° (*elbow section*) maka aliran fluida didalamnya pun mengalami perubahan arah aliran. Karena adanya perubahan arah aliran yang mendadak, maka terjadi anomali aliran.

Anomali aliran paling utama yang terjadi adalah berupa perubahan jenis aliran dari aliran laminar menjadi aliran turbulen. Selain itu, fenomena lain yang terjadi akibat adanya perubahan arah aliran yang mendadak pada *elbow section* 45° ini adalah terjadinya perubahan distribusi tekanan dan distribusi kecepatan

disepanjang sisi dalam *elbow section*, terbentuknya separasi dan *secondari flow*, terjadinya *pressure drop* dan *headloss*, terbentuknya *vortex* dan turbulensi aliran. Hasil akhir dari fenomena aliran berupa *vortex* dan turbulensi yang pada akhirnya menyebabkan terjadinya pembebahan pada dinding dalam *elbow section* ini. Pembebahan ini mengakibatkan terbentuknya tegangan geser yang merupakan penyebab utama terjadinya korosi-erosi internal. Untuk lebih memudahkan dalam memahami pembebahan pada dinding dalam pipa sampai terjadinya korosi-erosi internal, berikut disajikan diagram alir pembebahan pada *inner wall* pipa oleh aliran fluida dalam **gambar 2.1**.

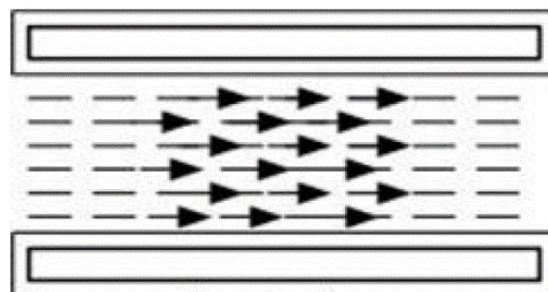


Gambar 2.1 Alur pembebahan pada *inner wall* pipa oleh aliran fluida.

Gambar 2.1 menunjukan diagram alir proses terjadinya korosi-erosi internal akibat pembebangan pada dinding dalam pipa oleh aliran fluida. Untuk lebih memahami sifat-sifat aliran fluida seperti dalam diagram alir diatas, maka perlu dikaji lebih lanjut masing-masing dari sifat aliran tersebut. Berikut disajikan dasar teori untuk masing-masing sifat aliran tersebut.

2.2.1.1 Aliran Laminar

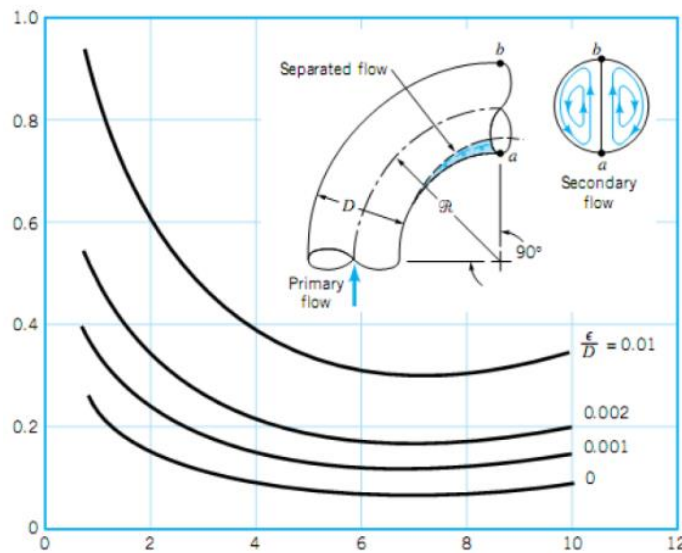
Aliran laminar adalah aliran fluida yang bergerak dalam lapisan-lapisan atau lamina-lamina dengan satu lapisa meluncur secara lancar. Dalam aliran laminar ini viskositas berfungsi untuk meredam kecenderungan terjadinya gerakan relatif antar lapisan. Fluida biasanya memasuki pipa dengan profil kecepatan yang hampir seragam. Disaat fluida bergerak melewati pipa, efek viskos menyebabkan fluida menempel pada dinding pipa (kondisi lapisan batas tanpa slip). Hal tersebut berlaku jika fluida adalah udara yang relatif *invicid* ataupun minyak yang sangat viskos.



Gambar 2.2 Pola aliran laminar (digilib.unila.ac.id)

2.2.1.2 Secondary Flow

Secondary flow terjadi karena perbedaan distribusi energi antara daerah *inner wall* dan *outer wall*. Belokan dalam pipa (*elbow section*) menghasilkan *head loss* yang lebih besar daripada pipa yang lurus. *Head loss* disebabkan daerah yang terpisah dari aliran dekat bagian dalam belokan dan aliran sekunder (*secondary flow*) berputar yang terjadi karena adanya ketidakseimbangan gaya sentripetal akibat kelengkungan garis tengah pipa.



Gambar 2.3 Bilangan *Reynolds* dan pola *secondary flow* (eprints.undip.ac.id)

2.2.1.3 Pressure Drop

Pressure drop yang terjadi pada *elbow section* disebabkan oleh beberapa faktor yaitu *friction loss*, *separasi aliran*, serta *secondary flow*. Kenaikan angka *Reynolds* memberikan pengaruh yang besar kepada *pressure drop* aliran dalam *elbow section*. Semakin besar angka *Reynolds* maka kecepatan aliran akan semakin tinggi dan tegangan geser disepanjang dinding *elbow* juga semakin besar. Tegangan geser yang semakin besar menyebabkan *pressure drop* akibat nya *friction loss* juga semakin besar. Kenaikan bilangan *Reynolds* juga akan memperbesar perbedaan nilai *coefficient pressure* (*Cp*) antara *inner wall* dan *outer wall* sehingga menimbulkan perbedaan distribusi tekanan yang semakin besar.

2.2.1.4 Head Loss

Adanya kekentalan pada fluida akan menyebabkan terjadinya tegangan geser pada waktu fluida tersebut bergerak. Tegangan geser ini akan merubah sebagian energi aliran menjadi bentuk energi lain seperti panas, suara, dan sebagainya. Pengubahan energi aliran tersebut mengakibatkan terjadinya kehilangan *energi* (*head loss*). Secara khusus, kehilangan energi aliran yang terjadi pada *elbow section* disebut *head loss minor*. Kehilangan energi sekunder atau *head loss minor* ini akan mengakibatkan adanya tumbukan antara partikel zat cair dan meningkatnya

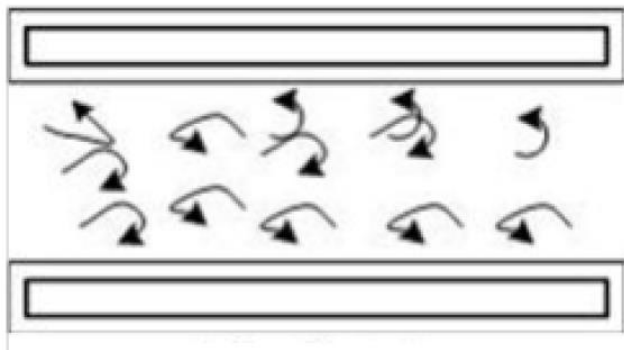
gesekan karena turbulensi serta tidak seragamnya distribusi kecepatan pada suatu penampang pipa. Adanya lapisan batas terpisah dari dinding pipa maka akan terjadi tolakan atau pusaran aliran. Adanya tolakan ini akan mengganggu aliran laminar sehingga akan meningkatkan tingkat turbulensi aliran.

2.2.1.5 Vortex

Bila suatu medan aliran fluida (air atau udara, misalnya) terhalang oleh sebuah benda maka pola aliran fluida tersebut akan terganggu dari kondisi stasionernya lalu akan mencari kondisi kesetimbangan barunya. Misalkan pada kasus sebuah silinder yang berada dalam aliran steady, maka akan terjadilah suatu pola aliran tertentu di sekeliling permukaan silinder tersebut. Berdasarkan banyak percobaan visualisasi aliran yang telah dilakukan, nilai Re (*Reynolds Number*) akan menentukan bagaimana bentuk pola aliran yang akan terjadi. Beberapa diantaranya misalnya, bila nilai $Re < 5$, maka akan terjadi pola aliran yang mulus, tanpa terjadi pusaran-pusaran lokal fluida (*vortex*) dan tidak terjadi pula pemisahan aliran pada saat aliran sudah melewati silinder (*creeping flow*). Selanjutnya bila kecepatan aliran dinaikan, yang berarti nilai Re makin bertambah besar, misalnya untuk rentang $5 < Re < 40$, maka akan memulai bentuk *vortex*. Namun ketika nilai Re ini terus dinaikan, maka medan aliran makin menjadi tidak stabil, yang mana lambat laut formasi *vortex* yang terbentuk mulai berantakan dengan pola-pola yang tertentu. Maka pada saat itulah akan timbul fenomena yang dinamakan pelepasan *vortex* (*Vortex shedding*), yang mulai terjadi pada saat nilai $Re > 40$. Fenomena ini adalah terlepasnya *vortex* secara bolak-balik sisi-sisi silinder dengan pola dan frekuensi tertentu. Pola pelepasan *vortex* ini pun secara lebih detail akan memiliki bentuk tertentu sesuai dengan rentang angka Re -nya.

2.2.1.6 Aliran Turbulen

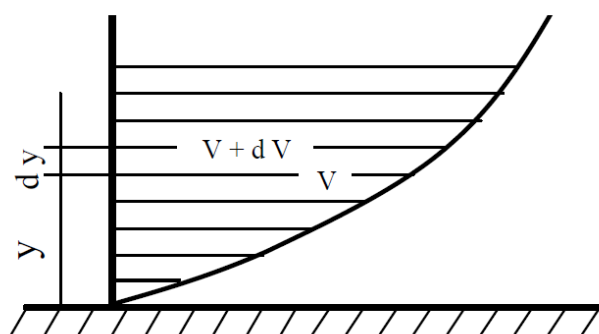
Aliran turbulen adalah aliran fluida dimana pergerakan dari partikel-partikel fluida sangat tidak menentu akibat percampuran serta putaran partikel antar lapisan. Percampuran dan putaran partikel antar lapisan mengakibatkan terjadinya saling tukar momentum dari satu bagian fluida kebagian fluida yang lain dalam skala besar.



Gambar 2.4 Pola aliran turbulen (diglib.unila.ac.id)

2.2.1.7 Tegangan Geser

Tegangan geser pada suatu titik adalah nilai batas perbandingan gaya geser terhadap luas dengan berkurangnya luas sehingga menjadi titik tersebut. Sedangkan benda padat akan mempertahankan bentuknya sampai dengan gaya yang mengenainya melebihi elastisitas benda tersebut. Fluida yang bergerak (cair maupun gas) disepanjang dinding akan mengalami *shear stress* pada dinding tersebut. Kondisi *non slip* berarti bahwa kecepatan fluida pada dinding pipa (kecepatan relatif) adalah nol, akan tetapi pada jarak tertentu dari dinding, kecepatan fluida akan sama. Area antara dua titik itulah yang disebut dengan lapisan batas (*boundary layer*). Untuk semua fluida Newtonian besarnya *shear stress* proporsional dengan regangan rata-rata pada fluida yang viskositasnya konstan. Akan tetapi untuk fluida non-Newtonian, besarnya tidak akan sama dengan regangan rata-rata dan viskositasnya juga tidak konstan. *Shear stress* yang terjadi pada dinding pipa adalah hasil dari hilangnya kecepatan fluida.

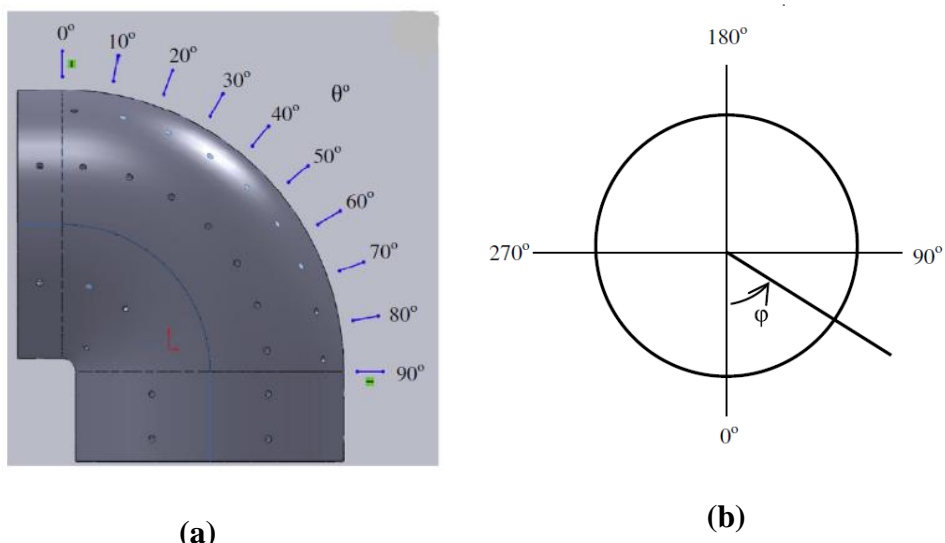


Gambar 2.5 Ilustrasi tegangan geser pada fluida non-Newtonian

Apabila cairan kental mengalir terhadap bidang padat maka terjadi perubahan kecepatan (dalam arah tegak lurus) terhadap arah aliran, hal tersebut disebabkan oleh viskositas dari cairan. Makin dekat lapisan terhadap bidang padat, kecepatan lapisan (v) semakin kecil; Pada $y = 0$, maka $v = 0$. Jadi tiap lapisan bergeser terhadap yang lainnya, sehingga timbul gaya gesek atau gaya geseran. Menurut hipotesa Isaac Newton (1986) yang kemudian dibuktikan oleh N.P. Petrov (1983), tegangan geser (*shear stress*) tergantung pada jenis fluida dan jenis aliran.

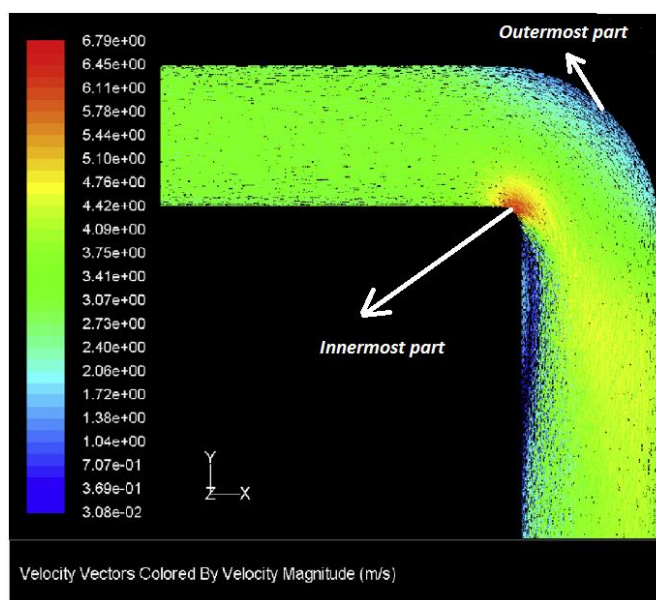
2.2.1.8 Korosi dan Erosi Internl

Zhang dkk (2013) telah melakukan studi tentang perilaku korosi-erosi pada dinding dalam *elbow section* akibat aliran fluida. Dalam Penelitian tersebut mereka menggabungkan metode pengukuran rangkaian elektroda (*array electrode technique*) dengan metode *computational fluid dynamic* (CFD) untuk mengukur laju korosi-erosi serta hubungannya dengan fenomena peningkatan aliran fluida pada dinding dalam *elbow section*. Konfigurasi rangkaian elektroda yang digunakan untuk mengukur laju korosi-erosi dan laju aliran fluida pada dinding dalam *elbow section* yang ditinjau dalam penelitian Zhang dkk ditunjukan dalam gambar 2.6 dibawah ini:



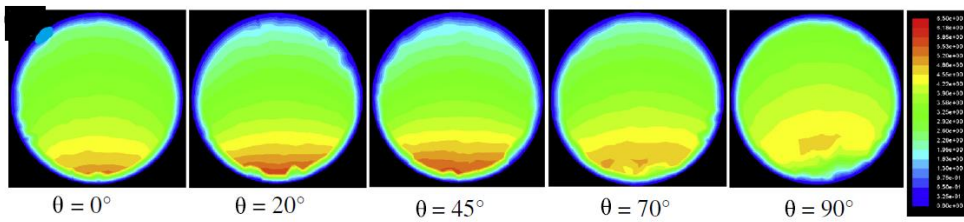
Gambar 2.6 Orientasi pengukuran laju korosi-erosi pada *elbow section* arah (a) longitudinal (b) transversal (Zhang dkk, 2013).

Dari penelitian tersebut didapatkan kesimpulan bahwa distribusi laju korosi-erosi yang terjadi pada dinding dalam *elbow section* bersesuaian dengan distribusi laju aliran fluida didalamnya yang artinya, semakin tinggi laju aliran fluida yang melewati dinding dalam sebuah *elbow section* maka semakin tinggi pula laju korosi-erosi pada dinding dalam *elbow section* tersebut. Terdapat kecenderungan dimana laju korosi-erosi dan laju aliran fluida pada bagian *inner wall* lebih tinggi dibanding pada bagian *outer wall*. Laju korosi-erosi dan laju aliran fluida maksimum terjadi pada bagian *innermost* sedangkan laju korosi-erosi dan laju aliran fluida minimum terjadi pada bagian *outermost* dari *elbow section*.

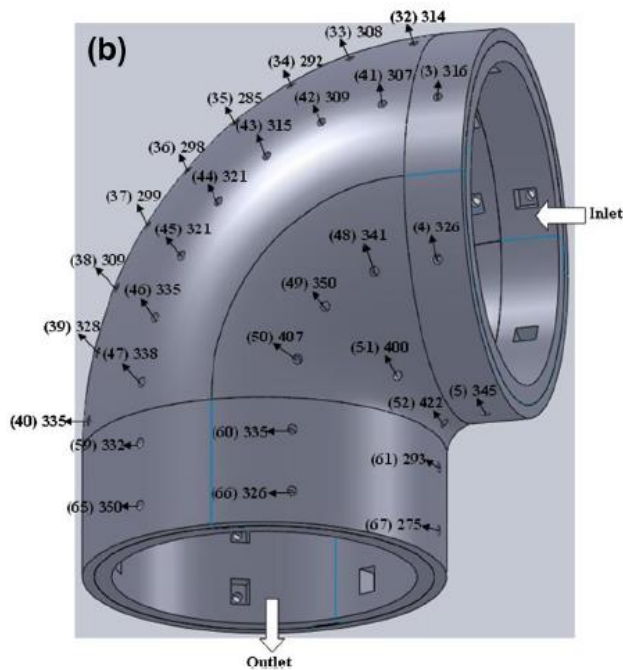


Gambar 2.7 Distribusi kecepatan aliran fluida pada *elbow section* (Zhang dkk, 2013)

Dari penelitian yang dilakukan Zhang (2013) tersebut dapat disimpulkan bahwa laju aliran fluida menurun dari daerah *inner wall* menuju daerah *outer wall* (seiring peningkatan besar sudut ϕ). Pada daerah *outer wall* ($\phi = 116^\circ, 148^\circ, 180^\circ$), laju aliran fluida pada awalnya mengalami penurunan, namun kemudian meningkat sepanjang permukaan *elbow section* sesuai arah aliran fluida (sesuai peningkatan sudut θ). Karakteristik variasi laju korosi-erosi sama dengan karakteristik variasi laju aliran fluida tersebut. Laju korosi-erosi meningkat sepanjang arah aliran fluida (sesuai peningkatan sudut θ).



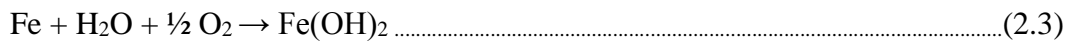
Gambar 2.8 Variasi kecepatan aliran fluida pada *cross-section* disepanjang *elbow section* (Zhang dkk, 2013)



Gambar 2.9 Distribusi laju aliran fluida berdasarkan pengukuran metode rangkaian elektrode (*array electrodes*) pada *elbow section* (Zhang dkk, 2013)

Memperhatikan fakta diatas, maka perlu adanya suatu sistem pemeriksaan (inspeksi) kondisi jaringan pipa sebagai upaya pencegahan terjadinya kegagalan yang tidak diinginkan. Untuk memonitor korosi, baik yang sudah diprediksi akan terjadi ataupun yang diluar prediksi, sebuah program inspeksi yang didasarkan pada *visual and non-destructive test* (NDT) harus dimasukan kedalam perencanaan. Aktivitas inspeksi harus direncanakan secara maksimal untuk menghasilkan keamanan, keandalan, produktivitas dan *profitability* yang optimal (Perumal, 2014). Shanbi dan Zhaoxiang (2015) telah melakukan penelitian mengenai korosi internal pada jaringan pipa bawah laut milik *Petro China Southwest Pipeline Company* yang

Jika kedua persamaan reaksi kimia (2.1) dan (2.2) digabungkan, maka didapatkan persamaan;



Produk korosi *ferrous hydroxyde* [Fe(OH)_2] membentuk lapisan penghalang disekitar mulut lubang yang terkorosi. Selanjutnya, lapisan terluar dari Fe(OH)_2 akan bereaksi dengan oksigen yang terlarut dalam fluida membentuk *ferric hydroxyde*, persamaan reaksi kimia tersebut adalah sebagai berikut:



ferric hydroxyde [Fe(OH)_3] berwarna coklat kemerahan. Perhitungan laju korosi-erosi menggunakan persamaan yang terdapat pada buku *Subsea Pipeline Engineering 2nd Edition* yang disusun oleh Andrew C., Palmer A., dan Roger A., King. Berikut persamaan yang digunakan dalam menentukan laju korosi-erosi pada tiap-tiap *elbow section*:

$$CR_{erosion} = \frac{K(0.65W)U^2\beta}{gP(\frac{\pi}{4}D^2)} \cdot L \quad \dots \dots \dots \quad (2.5)$$

dengan,

$CR_{erosion}$ = *erosion corrosion rate*, (mm/year)

K = *Rabinowicz wear constant*, (untuk *pipelines* baja dengan penyesuaian terhadap tipe *sliding* menggunakan nilai $6,565 \times 10^{-7}$)

W = kecepatan produksi partikel terlarut (bbl/month); 1 bbl partikel adalah 945 lb

U = kecepatan aliran fluida, (ft/s)

β = koefisien sudut tubrukan partikel (untuk pipelines 0.75)

g = konstanta gravitasi (32,2 ft/s²)

P = *material penetration hardness*, (untuk baja 1.55×10^7 psi)

D = diameter dalam pipa, (in)

L = faktor koreksi, (menggunakan nilai 1.36×10^8)

2.2.2 Peluang Kegagalan

2.2.2.1 Moda Kegagalan

Peluang kegagalan *elbow section* yang terkena korosi-erosi diformulasikan sebagai fungsi dari tegangan *equivalent* terhadap tegangan *yield strength* pada *elbow section* yang ditinjau. *Elbow section* dinyatakan mengalami kegagalan jika tegangan *equivalent* melebihi tegangan *yield strength*. Moda kegagalan yang digunakan dalam tugas akhir ini berdasarkan DNV OS F 101 *Submarine Pipeline System* yang diformulasikan sebagai berikut:

$$P_f = P[\sigma_e > \sigma_{ys}] \dots \dots \dots \quad (2.6)$$

dengan,

σ_e = *equivalent stress, (psi)*

σ_{ys} = *yield stress, (psi)*

= 0.9 SMYS

Untuk mencari *equivalent stress* dapat menggunakan persamaan sebagai berikut:

$$\sigma_e = \sqrt{\sigma_h^2 + \sigma_l^2 - \sigma_h \sigma_l} \dots \dots \dots \quad (2.7)$$

dengan,

σ_h = *hoop stress, (psi)*

σ_l = *longitudinal stress, (psi)*

Nilai *hoop stress* dan *longitudinal stress* dapat dicari menggunakan persamaan sebagai berikut:

$$\sigma_h = (P_i - P_e) \frac{D e - t}{2t} \dots \dots \dots \quad (2.8)$$

$$\sigma_l = \frac{2v(Pi.Ai - Pe.Ae)}{As} - E\alpha(Tp - Ta) \dots \dots \dots \quad (2.9)$$

dengan,

- P_i = tekanan internal pipa, (psi)
 P_e = Tekanan luar pipa, (psi)
 D_e = diameter luar pipa, (in)
 t = ketebalan dinding pipa, (in)
 ν = nilai *poisson's ratio*, (0,3 for carbon steel)
 A_e = *external area of pipe*, (in^2)
 A_i = *internal bore area of pipe*, (in^2)
 A_s = *pipe cross section area*, (in^2)
 E = *young's modulus*, (3×10^7 psi)
 α = *thermal expansion coefficient*, (tipically $7,3 \times 10^{-6}$ for carbon steel)
 T_p = *temperature of pipe wall*, (F)
 T_a = *ambient temperature*, (F)

Sehingga persamaan moda kegagalan menjadi:

$$g(X) = 0.9 \text{ SMYS} - (\sqrt{\sigma_h^2 + \sigma_l^2 - \sigma_h \sigma_l}) \dots \dots \dots (2.10)$$

Sistem dinyatakan gagal jika $g(X) < 0$, dinyatakan berhasil jika $g(X) > 0$ dan dinyatakan failure surface jika $g(X) = 0$. Variabel acak dasar terdiri dari variabel fisik yang menggambarkan ketidakpastian dalam beberapa variabel seperti tekanan operasional dan kedalaman korosi.

2.2.2.2 Simulai Monte Carlo

Simulasi *Monte Carlo* adalah salah satu metode *risk assesment* kuantitatif yang dapat digunakan untuk berbagai sistem manajemen risiko, terutama dalam tahapan analisis risiko atau evaluasi risiko yang memiliki fenomena variabel acak (*random number*). Metode ini disebut pula dengan *Monte Carlo Sampling*, yaitu suatu metode statistik iterasi berulang. Unsur pokok yang diperlukan dalam simulasi *Monte Carlo* adalah sebuah *random number generator* (RNG). Hal ini karena secara teknis, prinsip dasar metode simulasi *Monte Carlo* adalah sampling sistem dengan bantuan RNG, dimana simulasi dilakukan dengan mengambil

beberapa sampel dan perubah acak yang terlibat dalam sistem yang sedang dipelajari. Nilai sampel dan perubah acak dalam simulasi ini dapat diasumsikan atau telah diketahui.

Dengan menggunakan metode ini kita dapat memprediksi *probability of failure* dengan tingkat keakuratan cukup tinggi sesuai dengan *limit state function* yang telah ditentukan sebelumnya, oleh karena banyaknya trial yang dapat dilakukan dengan jumlah iterasi yang tak terhingga. Semakin banyak iterasi yang dilakukan maka *error* yang terjadi akan semakin kecil, akan tetapi waktu yang diperlukan untuk proses simulasi akan semakin lama.

2.2.2.3 Konsekuensi Kegagalan (Analisa Semi-Kuantitatif)

Konsekuensi kegagalan merupakan nilai dampak yang ditimbulkan akibat gagalnya suatu peralatan. Untuk menentukan konsekuensi maka dipilih kriteria kerusakan yang dapat menyebabkan kerusakan *hazardous*. *Pitting corrosion* merupakan jenis korosi paling berbahaya karena bisa menyebabkan konsekuensi tingkat *hazard* dalam tingkatan risiko korosi pada perpipaan. Oleh karena hal tersebut, maka *pitting corrosion* bisa digunakan sebagai jenis korosi paling bahaya (Seo dkk, 2015). Secara umum, konsekuensi kegagalan bisa dinyatakan berupa jumlah manusia yang menjadi korban, jumlah kerusakan *property*, luasnya area yang terkena tumpahan, *outage time*, *mission delay*, kerugian uang, dan lain-lain. Biasanya konsekuensi dibagi menjadi tiga, yaitu kategori keamanan, ekonomi, dan lingkungan. Didalam RBI terdapat 4 jenis risiko yang didefinisikan, yaitu:

1. Konsekuensi keterbakaran (*flamable consequence*),
2. Konsekuensi racun (*toxic consequence*),
3. Konsekuensi lingkungan (*environmental consequence*),
4. Konsekuensi bisnis (*bussiness consequence*).

Namun demikian, dalam perhitungan RBI semikuantitatif hanya melibatkan konsekuensi keterbakaran dan konsekuensi racun.

Langkah-langkah yang termasuk perhitungan konsekuensi adalah sebagai berikut:

Analisis konsekuensi untuk senyawa hidrokarbon berdasarkan berat molekulnya dianggap kurang tepat karena untuk senyawa hidrokarbon yang mempunyai berat molekul yang sama, sifat *disperse* serta kalor pembakarannya akan sama. Hal ini berlaku untuk hidrokarbon berantai alkana lurus dan kurang bisa diterapkan di senyawa hidrokarbon sejenis aromatik.

2.2.2.3.2 Pemilihan Ukuran Lubang Kebocoran

Metode RBI menggunakan definisi yang tetap tentang ukuran lubang kebocoran. Pendekatan seperti ini dilakukan dengan pertimbangan bahwa jika ukuran lubang telah didefinisikan terlebih dahulu dengan ukuran tetap, maka akan dapat diketahui kemampuan reduksi fluida kerja yang ada dalam peralatan yang dianalisis serta dapat menjaga konsistensi untuk analisis lebih lanjut. RBI menggunakan empat ukuran lubang, yaitu kecil, sedang, besar, dan kondisi pecah. Spesifikasi ukuran lubang menurut RBI lebih lanjut dapat dilihat pada tabel 2.1 dibawah ini.

Tabel 2.1 Ukuran lubang kebocoran dan harga representatifnya

| No | Ukuran Lubang | Range (in) | Harga Representatif (in) |
|----|---------------|-------------------|----------------------------------|
| 1 | Kecil | 0 - $\frac{1}{4}$ | $\frac{1}{4}$ |
| 2 | Sedang | $\frac{1}{4}$ - 2 | 1 |
| 3 | Besar | 2 - 6 | 4 |
| 4 | Pecah | >6 | Sesuai dengan diameter peralatan |

Berdasarkan jenis peralatan yang dianalisis, maka keempat ukuran lubang tersebut tidak semuanya dipakai. Ukuran lubang yang dipakai dalam analisis disesuaikan dengan jenis peralatannya. Untuk sistem perpipaan, RBI memakai standar keempat ukuran lubang diatas dengan batasan ukuran lubang kebocoran yang terjadi pada kasus sebenarnya dan diameter pipa itu sendiri.

2.2.2.3.3 Estimasi Jumlah Total Fluida yang Dapat Terlepas

Metode RBI menggunakan acuan batas atas untuk jumlah fluida yang dapat terlepas dari sebuah peralatan yang dianalisis. Pendekatan RBI secara semi-kuantitatif tidak menggunakan model fluida secara hidrolik dan detail untuk

menentukan jumlah terbesar fluida yang dapat terlepas, tetapi menggunakan metode yang lebih sederhana yang secara pasti dapat diperkirakan jumlah fluida terbesar yang dapat terlepas yang dipengaruhi juga oleh susunan peralatan yang tersambung dengan jenis peralatan yang dalam RBI disebut dengan kelompok peralatan (*inventory group*). Prosedur untuk mengestimasi jumlah massa fluida yang dapat keluar adalah nilai terkecil dari:

1. Massa total yang dapat ditampung oleh peralatan yang dianalisis dan ditambah dengan massa fluida yang mengalir selama tiga menit dari kelompok peralatan (*inventory group*).
2. Massa total dari fluida yang terdapat dalam kelompok peralatan (*inventory group*).

Estimasi jumlah terbesar fluida yang terlepas untuk setiap peralatan yang dianalisis berdasarkan beberapa kriteria, yaitu:

1. Jumlah atau jenis peralatan

Jumlah fluida yang dapat terlepas berdasarkan jenis peralatan yang dianalisis dan presentasenya dapat dilihat pada **tabel 2.2** dibawah ini:

Tabel 2.2 Jumlah fluida yang dapat terlepas berdasarkan jenis peralatan

| No | Jenis Peralatan | Volume (%) |
|-------------------------------------|-------------------------------------|---|
| 1 | Kolom (fluida cair) | 50% dari setiap fluida yang ada |
| <i>Tray Coloumn</i> , terdiri atas: | | |
| 2 | Bagian atas | 50% uap |
| | Bagian bawah | 50% cairan |
| 3 | <i>Knock-out Pots</i> dan Pengering | 10% cairan |
| 4 | <i>Accumulators</i> dan <i>Drum</i> | 50% cairan |
| 5 | <i>Separators</i> (pemisah) | 50% dari volume tiap fluida yang ada atau fasa yang terjadi |
| 6 | Pompa dan kompressor | Diabaikan |
| 7 | <i>Heat exchanger</i> | 50% dari bagian shell dan 25% dari bagian tube |
| 8 | Tungku | 50% cairan atau uap dalam <i>tube</i> |
| 9 | Sistem Perpipaan | 100% total |

2. Sistem cair

Untuk analisis berdasarkan sistem cair, peralatan yang dianalisis dikelompokan berdasarkan keamanan konsekuensi yang ditanggung,

contohnya: bagian bawah dari kolom distilasi dan pipa penghubung, atau tangki penyimpan dan pipa keluaran dan sebagainya.

3. Sistem uap

Untuk analisis berdasarkan sistem uap, beberapa peralatan yang biasanya dikelompokan dalam sistem uap termasuk:

- Bagian atas dari kolom distilasi, bagian atas kondensor, serta pipa yang menghubungkannya.
- Lubang ventilasi dan saluran keluar

4. Sistem dua fasa

Untuk sistem dua fasa pada umumnya diasumsikan jenis fluida yang keluar adalah kebocoran kontinyu merupakan tipe kebocoran yang fluida cair dan kebocoran yang terjadi biasanya pada bagian bawah dari peralatan yang dianalisis. Dapat juga menggunakan metoda yang lebih konservatif yaitu jika peralatan yang dianalisis fluida kerja mayoritasnya adalah cairan, maka ditentukan jumlah dari fluida cair yang dapat terlepas. Sebaliknya, jika fluida kerjanya adalah gas atau uap, maka dapat ditentukan juga jumlah uap atau gas yang dapat terlepas setelah dikurangi porsi dari fluida cairan.

2.2.2.3.4. Estimasi Laju Kebocoran

Dalam metode RBI digunakan dua tipe kebocoran yang terjadi, yaitu:

- a. Kebocoran secara cepat atau seketika
- b. Kebocoran yang lebih lambat atau kontinyu

Kebocoran secara cepat merupakan tipe kebocoran yang terjadi sangat cepat/seketika dimana fluida yang terlepas akan membentuk ‘awan’ jika fluidanya berupa gas dan akan membentuk genangan jika fluidanya berbentuk cairan. Sementara itu kebocoran secara kontinyu memerlukan waktu lebih lama daripada kebocoran secara cepat, dimana fluida yang terlepas akan berbentuk elips (masih bergantung pada kondisi lingkungan sekitar). Laju kebocoran suatu fluida sangat bergantung pada sifat fisik material atau fluida yang bersangkutan, fasa awal fluida dan kondisi proses yang dialami. Untuk memilih jenis

persamaan yang dipakai dalam menghitung laju kebocoran, dapat dipakai dua parameter utama yaitu fasa fluida kerja saat berada didalam peralatan yang diamati dan fasa keluarnya (sonik atau sub-sonik). Informasi tentang fasa awal fluida kerja dibutuhkan untuk menentukan fasa apa yang akan terbentuk ketika fluida kerja tersebut terlepas ke atmosfir. Untuk sistem dua fasa, beberapa asumsi dapat dipakai untuk menentukan fasa awal dari fluida dua fasa tersebut, tetapi akan lebih baik jika diasumsikan fasa awal dari fluida kerjanya adalah fasa cair. Persamaan dari RBI 581 yang dapat digunakan untuk menentukan laju aliran fluida cair yang terlepas adalah sebagai berikut:

$$Q_l = C_d A^2 \sqrt{2\rho - \rho_{144}} \quad \dots \dots \dots \quad (2.12)$$

dengan,

Q_l = Laju keluar fluida cair (lb/s)

C_d = Koefisien keluaran (0,60 – 0,64)

A = Luas penampang lubang kebocoran (in^2)

DP = Perbedaan tekanan antara hulu dan atmosfer (psig)

ρ = Berat jenis fluida (lb/ft^3)

g_c = Faktor konversi untuk merubah lbf ke lbm ($32,2 \text{ lbm}\cdot\text{ft}/\text{lbf}\cdot\text{s}^2$)

2.2.2.3.5 Menentuka Tipe Kebocoran

Beberapa metode digunakan untuk menghitung efek dari terlepasnya fluida baik secara keketika atau kontinyu. Oleh karena itu penting untuk menentukan tipe pelepasan fluida (seketika atau kontinyu). Kriteria yang dipakai metode RBI mengacu pada catatan kegagalan yang pernah terjadi disebabkan oleh kebakaran dan ledakan. Suatu jenis kebocoran dikatakan termasuk kedalam jenis kebocoran seketika adalah jika fluida kerjanya dapat keluar semuanya dalam waktu yang

cukup singkat (3 menit) atau dalam waktu 3 menit tersebut dapat membebaskan sekitar 10000 lb fluida kerja yang ada dalam peralatan yang dianalisis. Secara sistematis penentuan tipe terlepasnya fluida adalah sebagai berikut:

- a. Semua kebocoran yang lubang kebocorannya termasuk kedalam kriteria bocor kecil atau berukuran $\frac{1}{4}$ in, dikelompokan kedalam kebocoran dengan tipe kebocoran kontinyu.
- b. Jika kebocoran yang terjadi mengakibatkan terlepasnya fluida sejumlah 10000 lb dalam waktu tiga menit, maka kebocoran yang terjadi dapat dikategorikan kedalam kebocoran seketika.
- c. Semua tipe terlepasnya fluida kerja lambat (memerlukan waktu relatif lama), tergolong kebocoran kontinyu.

2.2.2.3.6 Penentuan Fase Fluida Setelah Terlepas

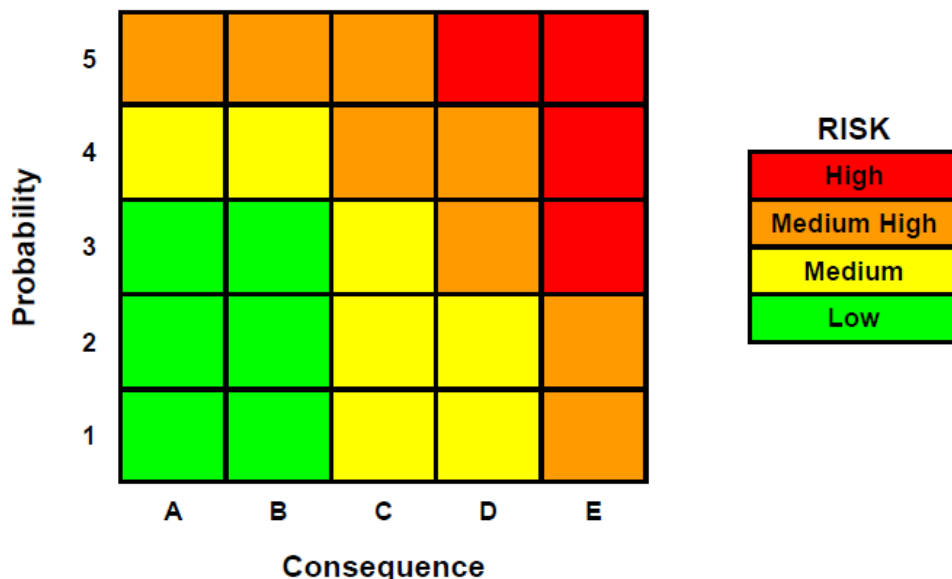
Karakteristik *disperse* dari fluida yang terlepas sangat bergantung pada fasa fluida tersebut jika dilepas ke lingkungan. Jika tidak terjadi perubahan antara fasa setelah terlepas ke lingkungan dengan fasa pada saat kondisi operasi, maka fasa yang dipakai dalam analisis adalah fasa awal fluida tersebut. Untuk lebih memudahkan dalam menentukan fase fluida saat terlepas ke lingkungan, dapat dilihat pada tabel 2.3 berikut:

Tabel 2.3 Penentuan fase fluida setelah terlepas

| No | Fase fluida saat kondisi <i>steady state</i> (kondisi operasi) | Fase fluida pada saat kondisi <i>steady state</i> (kondisi lingkungan) | Fase final fluida yang terlepas |
|----|--|--|---|
| 1 | Gas | Gas | Dimodelkan sebagai gas |
| 2 | Gas | Cair | Dimodelkan sebagai gas |
| 3 | Gas | Gas | Dimodelkan sebagai gas kecuali titik didih fluida pada kondisi suhu lingkungan diatas 80° F |
| 4 | Cair | Cair | Dimodelkan sebagai cair |

2.2.3 Risiko Kegagalan

Menurut API 581, analisis perhitungan risiko peralatan dalam konsep RBI menurut standar API 581 dapat dilaksanakan dalam tiga tingkatan analisis. Tingkatan-tingkatan tersebut yaitu analisis kualitatif, analisis semikuantitatif dan analisis kuantitatif. Dalam penelitian ini analisa risiko dilakukan dengan metode semi-kuantitatif. Perhitungan risiko dalam analisis semikuantitatif dilakukan mengikuti buku kerja yang terdapat dalam standar API 581. Langkah-langkah yang dimuat dalam buku kerja berupa isian yang memerlukan data keadaan kilang dan peralatan. Parameter-parameter yang terlibat (dihitung berdasarkan data dan masukan) hingga akhir perhitungan. Data masukan yang diperlukan lebih banyak berupa data kuantitatif. Dibandingkan analisis kualitatif, analisa semikuantitatif berbeda (selain jenis data masukan) dalam hal konsekuensi yang dihitung. Konsekuensi keterbakaran dihitung sebagai konsekuensi kerusakan peralatan (*damage consequence*) dan konsekuensi kematian (*fatality consequence*) yang kemudian dipilih yang terbesar diantara kedua konsekuensi tersebut. Konsekuensi keterbakaran kemudian dibandingkan dengan konsekuensi racun dan yang harganya terbesar menjadi harga konsekuensi. Analisis semikuantitatif merupakan penyederhanaan analisis kuantitatif sehingga mengurangi usaha dan lamanya pengambilan data serta perhitungan risiko. Dalam penelitian ini, konsekuensi kegagalan (CoF) dicari menggunakan analisa semi-kuantitatif RBI 581, sedangkan peluang kegagalan (POF) menggunakan metode Montecarlo. Setelah nilai CoF dan PoF didapatkan, selanjutnya tingkat risiko dinyatakan sebagai hasil kali antara COF dan PoF sehingga risiko dapat dikategorikan melalui matrix 5 x 5 seperti ditunjukkan dalam gambar 2.1 dibawah:



Gambar 2.11 Matriks risiko metode semi-kuantitatif RBI (*sumber: API 581*)

2.2.4 Manajemen Inspeksi

Inspeksi secara umum diartikan sebagai suatu pengujian yang terorganisir atau suatu evaluasi formal yang melibatkan suatu pengukuran dan pengujian yang diterapkan pada karakteristik tertentu yang ditujukan pada objek atau aktifitas. Hasil dari pengujian kemudian dibandingkan dengan standar dan persyaratan tertentu untuk menentukan apakah item atau aktifitas tersebut sesuai dengan target yang disyaratkan.

Hameed dkk (2016) Tujuan utama dari inspeksi dan perawatan adalah untuk memastikan bahwa fasilitas-fasilitas atau peralatan dioptimalkan tidak hanya dengan meningkatkan keandalan dan ketersediaannya dalam sistem tapi juga mengurangi risiko secara keseluruhan. Risiko, keandalan, dan ketersediaan adalah tiga hal yang saling berkesinambungan dan saling berhubungan satu sama lain. Risiko tinggi biasanya menandakan bahwa fasilitas memiliki keandalan dan ketersediaan rendah. Inspeksi biasanya bersifat tidak merusak (*Non-destructive*), *Non-Destructive Examination* (NDE) atau *Non-Destructive Testing* (NDT) atau pengujian tanpa merusak menguraikan sejumlah teknologi yang digunakan untuk

analisa material dari indikasi cacat yang tidak terpisahkan atau kerusakan karena penggunaan. Beberapa metode yang biasanya digunakan adalah *visual*, *liquid or dye penetrant* (PT), *magnetic particle inspection* (MPI), *Radiography*, *Ultrasonic*, *Eddy Current*, *Acoustic Emission* dan *Thermography*. NDT adalah hal penting dalam pembangunan dan pemeliharaan semua jenis komponen dan struktur. Untuk mendeteksi cacat yang berbeda seperti *cracking* dan korosi, ada metode pengujian berbeda yang tersedia, seperti *X-ray* (dimana crack diperlihatkan pada film) dan *ultrasonic* (dimana *crack* ditampilkan dalam bentuk *echo blip* pada layar monitor). Pemeriksaan pada lasan (*weld*) dan besi (*mold*) sangat sulit, suatu objek padat yang memiliki risiko kerusakan pada saat digunakan, sehingga pengujian pada waktu pembuatan dan selama digunakan adalah sangat penting.

Selama masa penggunaan, banyak komponen industri perlu mendapatkan NDT regular untuk mendeteksi kerusakan yang mungkin sulit dan mahal untuk ditemukan dengan setiap metode. Beberapa contoh cakupan pengujian NDT sebagai berikut:

- Pengujian NDT pada jaringan pipa bawah tanah biasanya diutamakan pada korosi dan *stress corrosion cracking*.
- Pengujian NDT pada pipa-pipa perindustrian (pabrik) diutamakan pada erosi dan korosi dari produk yang dialirkan (korosi-erosi internal).
- Pengujian NDT pada bejana tekan untuk *crack* pada lasan.

Secara umum terdapat dua jenis metode inspeksi yang biasanya digunakan, yaitu *Time Based Inspection* dan *Risk Based Inspection* (RBI). Menurut Taufik (2014) banyak fasilitas migas di dunia memasuki masa aging atau penuaan, termasuk di Indonesia, dimana awal eksplorasi dan produksi migas terjadi pada tahun 1970 dan 1980 an, artinya saat ini banyak fasilitas yang sudah beroperasi melewati umur desainnya. Namun demikian karena produksi migas secara ekonomi masih menguntungkan maka operator tidak dapat serta merta menutup atau mengganti fasilitas produksi mereka.

Fasilitas yang sudah tua, terutama peralatan sistem bertekanan seperti pressure vessels, piping dan pipeline, ditandai dengan meningkatnya kerusakan, utamanya korosi, erosi, wear, dan kelelahan struktural. Mekanisme kerusakan tersebut yang berjalan untuk waktu yang lama, menyebabkan kegagalan peralatan baik berupa kebocoran (*leak*) atau pecah (*rupture*). Jadi fasilitas yang aging menghadapi masalah integrity dan risiko yang tinggi karena dampak kegagalan peralatan bertekanan bisa berupa *fire and explosion* yang memiliki implikasi terhadap keselamatan manusia, lingkungan, kerugian bisnis serta *asset* yang besar.

Dalam kurun waktu 15 tahun terakhir banyak kegagalan atau kecelakaan di industri migas, petrokimia, dan industri proses, terkait dengan masalah *integrity* seperti ledakan dan kebakaran *refinery* dan *process plants* di USA (2001-2006), *pipeline* (Eropa, USA, Asia). Hampi setiap tahun terjadi kebocoran pipa minyak dan gas yang tidak jarang diikuti oleh ledakan dan kebakaran besar. Berbagai kejadian kecelakaan di industri migas di dunia tersebut memberikan indikasi kuat bahwa mengelola *asset* berbasis waktu sudah tidak memadai, sehingga strategi inspeksi dan *maintenance* sudah harus berubah *dari time base (perspective)* ke *risk based (perspective)*, yakni secara bersamaan mempertimbangkan peluang atau laju kegagalan peralatan dengan konsekuensi kegagalannya baik terkait keselamatan manusia, kerugian bisnis dan *asset*, maupun keselamatan dan kesehatan lingkungan. Oleh karenanya metode RBI masuk menggantikan inspeksi berbasis waktu.

2.2.5 Metode *Risk Based Inspection (RBI)*

Taufik (2014) dalam artikelnya menjelaskan tentang sejarah penggunaan metode RBI didunia. Menurut studi yang dilakukannya RBI mulai dikembangkan tahun 1993 yang dimotori oleh 21 perusahaan migas, petrokimia dan industri proses lainnya. Tujuan dari dikembangkannya metode ini adalah untuk menjawab tantangan *aging facility*. Hasil dari konsesi itu menghasilkan rujukan utama dunia terkait metodologi RBI yakni API 581 (*RBI resources based document*). Dokumen tersebut menampilkan teknologi dan latar belakang perhitungan *scientific* dan

engineering judgement bagaimana melakukan kajian RBI *step by step*, lengkap dengan *worksheetnya*.

Menurut artikel tersebut, keuntungan yang dapat diambil dari pengaplikasian metode RBI adalah sebagai berikut:

1. Meningkatkan aspek keandalan (*reliability*) dan keselamatan (*safety*) dari peralatan dan fasilitas migas sehingga otomatis menurunkan peluang terjadinya *unplanned shutdown* dan saat bersamaan meningkatkan *availability*.
2. Meningkatkan efektivitas dan efisiensi dalam inspeksi dan pemeliharaan, sehingga terjadi penurunan biaya sampai 25% (*cost effectiveness*).
3. Menambah umur peralatan (*life extension plan*), karena selalu dilakukan identifikasi dan deteksi risiko lebih awal dan penanganan risiko dengan lebih terfokus berdasarkan skala prioritas.
4. Meningkatkan kepercayaan publik dan para pemangku kepentingan terhadap kinerja operator/pemilik karena adanya transparansi dalam pengelolaan risiko dan *assets integrity*.
5. Meningkatkan nilai perusahaan karena telah terujinya kehandalan peralatannya dan dapat menurunkan premi asuransi (*control insurance cost*).

Kajian RBI dimulai dengan mengembangkan metodologi yang meliputi *probability of failure* (PoF), *consequence of failure* (CoF), dan pembuatan *risk matrix*.

Risiko yang didefinisikan sebagai fungsi peluang kegagalan (*probability of failure*) dan fungsi konsekuensi akibat kegagalan (*consequence of failure*) diformasikan sebagai berikut (API RBI 581, 2001):

$$\text{Risk} = \text{CoF} \times \text{PoF} \dots \dots \dots \dots \dots \quad (2.13)$$

dengan: CoF = *consequence of failure*

$PoF = probability\ of\ failure$

Pada kedua fungsi risiko tersebut, perlu dilakukan identifikasi terhadap bobot kontribusi atau peranan masing-masing guna mengetahui batasan dan penilaianya. Pada umumnya perhitungan dengan RBI dibagi dengan 3 jenis, yaitu kualitatif, semi kuantitatif, dan kuantitatif.

Untuk mewujudkan tujuan tersebut, analisa *corrosion risk* sangat penting dilakukan untuk mengetahui tingkatan kategori *corrosion risk* apakah terasuk kedalam ‘*low risk*’, ‘*medium risk*’, ataupun ‘*high risk*’. Oleh sebab itu, dapat dilakukan intensifikasi inspeksi terhadap bagian-bagian yang diprediksi dalam kondisi *high risk* dan *medium risk*. Tahapan-tahapan dalam *Risk Based Inspection* secara umum adalah sebagai berikut:

- a. Mengklasifikasikan secara kualitatif seluruh *operating units*, peralatan, sistem-sistem, perpipaan, dan lain-lain kedalam kategori berisiko rendah, sedang, ataupun tinggi.
- b. Membuat penilaian detail korosi untuk semua item apakah termasuk kedalam risiko menengah atau tinggi dan estimasikan tingkat risiko yang disesuaikan dengan *process parameters*, *variations*, dan konsekuensi jika terjadi kebocoran.
- c. Buat prioritas berdasarkan tingkat risiko masing-masing
- d. Buat desain *Risk Based Inspection* yang cocok untuk memonitor korosi dimana alat-alat yang tergolong berisiko sedang dan tinggi mendapatkan perhatian yang lebih.
- e. Buat sistem monitoring aktivitas *Risk Based Inspection*.
- f. Modifikasi *database* berdasarkan penemuan dari inspeksi dan ulangi proses untuk mengurangi risiko kegagalan.

Terdapat begitu banyak metode inspeksi yang dapat diterapkan untuk tujuan tersebut, tentu saja dengan kelebihan dan kekurangan masing-masing. Namun,

berdasarkan banyak bukti penelitian, metode inspeksi yang paling efektif dan efisien adalah metode RBI (*Risk Based Inspection*).

Dengan dilakukannya analisa risiko ini maka akan didapatkan kesimpulan mengenai metode inspeksi seperti apa yang efektif dan efisien sesuai dengan tingkat risiko dari *elbow section* tersebut. Diharapkan dengan adanya inspeksi ini maka akan mengurangi risiko kerugian akibat kegagalan pada pipeline akibat korosi internal.

2.2.6 Pengembangan Rencana Inspeksi

Menurut Solihin (2003), proses RBI memberikan tiga tingkat kebebasan dalam mengembangkan rencana inspeksi, yaitu:

- *Rating* kekritisan, dalam kombinasi dengan indeks keyakinan digunakan untuk menentukan interval mayoritas inspeksi;
- Konsekuensi kegagalan digunakan untuk menurunkan ruang lingkup inspeksi;
- Peluang terjadinya kegagalan mengidentifikasi mekanisme kegagalan yang diharapkan dan dipakai untuk pengujian dengan menggunakan metode NDT.

Tabel 2.4 Syarat-syarat minimal ruang lingkup terbatas, umum dan detail pada penilaian internal

| No | Konsekuensi Kegagalan Rendah-Penilaian Terbatas | Konsekuensi Kegagalan Menengah-Penilaian Umum | Konsekuensi Kegagalan Tinggi-Penilaian Umum |
|----|---|---|---|
| 1 | Borescope | Borescope dan NDT eksternal | NDT eksternal dan pemantauan korosi dan review proses |
| 2 | NDT eksternal | Entry internal | Entry internal |
| 3 | Review proses | Review proses dan NDT eksternal | - |

2.2.6.1 Penentuan Metode Inspeksi

Pilihan atas metode inspeksi NDT didasarkan atas peluang kegagalan. Tabel 2.5 dibawah ini digunakan sebagai petunjuk. Seleksi terakhir atas metode yang harus dibuat pada saat inspeksi direncanakan atas aspek teknologi yang tersedia dengan aspek pilihan ekonomis.

Tabel 2.5 Metode inspeksi NDT

| No | Jenis Kerusakan | Mekanisme Perusakan | Metode Inspeksi |
|----|---------------------------|--|--|
| 1 | Penipisan dinding dalam | Korosi internal | <i>Ultrasonic, Radiography</i> |
| | | Erosi | |
| | | Kavitasi | |
| | | Korosi pengelasan | |
| 2 | Penipisan dinding luar | Korosi eksternal | <i>Inspeksi visual, Radiography, Thermography</i> |
| | | Korosi dibawah isolasi | |
| 3 | Retak (<i>Cracking</i>) | Kelelahan (<i>fatigue</i>) | <i>Ultrasonic, Radiography, Magnetic particle liquid penetrant</i> |
| | | Retak akibat korosi tegangan (SCC) | |
| | | Retak akibat hidrogen (<i>Wet hydrogen cracking</i>) | |
| 4 | Lain-lain | Creep | <i>Ultrasonic, Radiography, Magnetic particle inspection (MPI)</i> |
| | | Pengelasan suhu tinggi (<i>Hot hydrogen damage</i>) | |

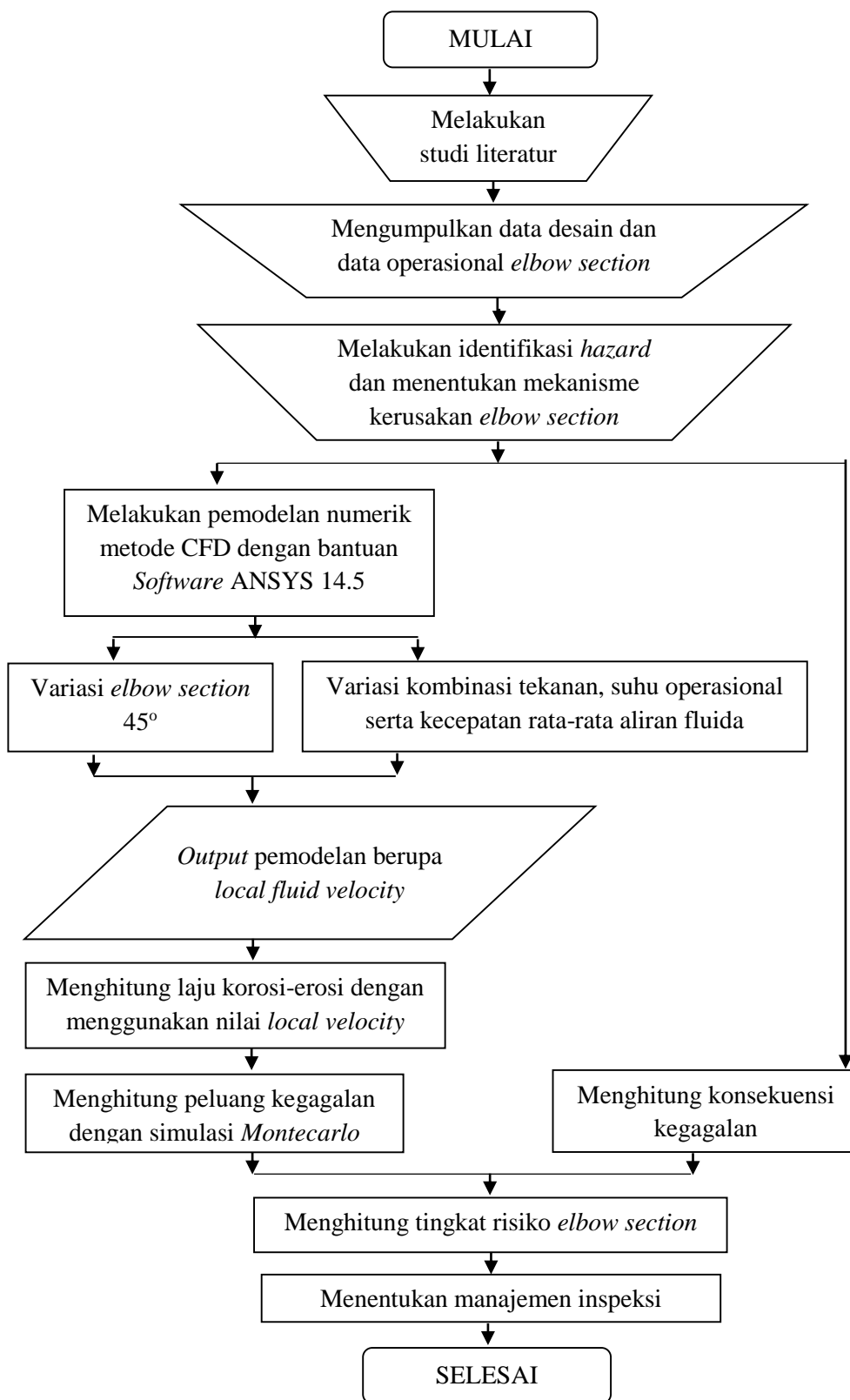
(halaman ini sengaja dikosongkan)

BAB III

METODOLOGI PENELITIAN

3.1 Metode Penelitian

Metode penelitian yang digunakan menggunakan metode *Risk based inspection* (RBI). Metode ini banyak digunakan dalam sebuah proyek untuk menganalisa tingkat risiko yang dimiliki masing-masing peralatan untuk selanjutnya dilakukan inspeksi yang disesuaikan dengan tingkat risiko masing-masing peralatan tersebut. Proses penelitian diawali dengan menentukan jenis peralatan yang akan diinspeksi yaitu berupa *elbow section* pada jaringan pipa penyulur milik PT Pertamina EP *Field Sangasanga*, Kalimantan Timur. Selanjutnya melakukan studi literatur yang bertujuan mencari informasi terkait penelitian sejenis yang sudah dilakukan yang nantinya akan dijadikan sebagai referensi dalam penelitian ini. Selanjutnya adalah melakukan pengumpulan data desain *elbow section* dan data operasional *elbow section*. Langkah selanjutnya adalah melakukan identifikasi *hazard* dan menentukan mekanisme kerusakan *elbow section* akibat korosi-erosi internal. Langkah selanjutnya adalah melakukan pemodelan numerik dengan menggunakan bantuan *software ANSYS FLUID FLOW CFX* untuk mendapatkan *local velocity*. Setelah data *local velocity* didapatkan, maka selanjutnya nilai *local velocity* digunakan untuk menghitung nilai laju korosi-erosi. Setelah itu menghitung indeks keandalan dengan simulasi Montecarlo. Selanjutnya menghitung konsekuensi kegagalan dan menghitung tingkat risiko dari masing-masing *elbow* yang ditinjau. Setelah diketahui tingkat risiko dari masing-masing *elbow section* maka selanjutnya dapat menentukan manajemen inspeksi yang sesuai dengan tingkat risiko masing-masing *elbow section* dengan metode semi-kuantitatif RBI. Terakhir adalah melakukan penarikan kesimpulan. Keseluruhan langkah-langkah dalam penelitian ini disajikan dalam diagram alir sebagai berikut:



Gambar 3.1 Diagram alir penelitian

- f. Membuat matrik risiko.
- g. Merencanakan inspeksi yang sesuai dengan tingkat risiko dari masing-masing *elbow section*.

3.2.7 Kesimpula

Tahapan ini menyimpulkan mengenai peluang kegagalan pada *elbow section* yang terkorosi, tingkat risiko pada *elbow section* setelah dikaji menggunakan metod RBI, serta metode pemeriksaan/inspeksi yang sesuai dengan kondisi tingkat risiko dari masing-masing *elbow section* yang dimiliki oleh PT. Pertamina EP *Field Sangasanga*.

3.2.8 Menyusun Laporan

Penyusunan laporan dilakukan secara sistematis agar segala rekam jejak analisa proses menggunakan metode RBI ini dapat disampaikan sebagai rekomendasi pemilihan proses inspeksi yang efektif dan efisien.

(halaman ini sengaja dikosongkan)

BAB IV

ANALISIS DAN PEMBAHASAN

4.1 Data Utama

Data utama yang digunakan dalam penelitian ini merupakan data operasional dan desain basis dari pipa penyalur minyak mentah milik PT. Pertamina EP *Field* Sangasanga, Kalimantan Timur. Data tersebut disajikan dalam **tabel 4.1** sampai **tabel 4.4** sebagai berikut:



Gambar 4.1 *Elbow section* pada jaringan pipa penyalur milik PT. Pertamina EP *Field* Sangasanga, Kalimantan Timur (*Sumber: PT.Marindotech*).

Tabel 4.1 Data utama *elbow hot bend long radian 45°*

| No | Bagian Struktur | Material | Diameter luar, OD (in) | Diameter Dalam, ID (in) | Ketebalan, T (in) | Elevasi (°) | Kelengkungan, B (in) |
|----|-----------------|--------------------------------------|------------------------|-------------------------|-------------------|-------------|----------------------|
| 1 | <i>Elbow 1</i> | <i>Elbow Hot Bend 5D Long Radian</i> | 6 | 5,72 | 0,28 | 45 | 3,808 |
| 2 | <i>Elbow 2</i> | <i>Elbow Hot Bend 5D Long Radian</i> | 6 | 5,72 | 0,28 | 45 | 3,808 |
| 3 | <i>Elbow 3</i> | <i>Elbow Hot Bend 5D Long Radian</i> | 6 | 5,72 | 0,28 | 45 | 3,808 |
| 4 | <i>Elbow 4</i> | <i>Elbow Hot Bend 5D Long Radian</i> | 6 | 5,72 | 0,28 | 45 | 3,808 |

(Sumber: PT. Marindotech)

Tabel 4.2 Data tekanan operasional, kecepatan rata-rata aliran serta suhu operasional fluida

| No | Kondisi | Tekanan operasional (psi) | Kecepatan rata-rata aliran fluida (ft/s) | Suhu operasional fluida (°F) |
|----|---------|---------------------------|--|------------------------------|
| 1 | A | 2400 | 3,21 | 110,00 |
| 2 | B | 2420 | 3,34 | 113,68 |
| 3 | C | 2478 | 3,76 | 114,99 |
| 4 | D | 2512 | 4,88 | 115,77 |
| 5 | E | 2580 | 5,73 | 116,19 |
| 6 | F | 2686 | 7,33 | 124,22 |
| 7 | G | 2734 | 8,20 | 127,11 |
| 8 | H | 2809 | 9,01 | 127,76 |
| 9 | I | 2856 | 9,34 | 131,09 |
| 10 | J | 2901 | 9,56 | 131,73 |
| 11 | K | 2955 | 9,97 | 133,39 |
| 12 | L | 3025 | 10,45 | 133,52 |
| 13 | M | 3114 | 10,98 | 135,75 |
| 14 | N | 3236 | 11,49 | 139,14 |
| 15 | O | 3321 | 11,83 | 141,46 |
| 16 | P | 3375 | 12,55 | 143,86 |
| 17 | Q | 3420 | 13,79 | 144,15 |
| 18 | R | 3445 | 14,24 | 145,22 |
| 19 | S | 3468 | 14,63 | 146,28 |
| 20 | T | 3500 | 14,85 | 150,00 |

(Sumber: PT. Marindotech)

Tabel 4.3 Data operasional, properti material pipa dan properti fluida

| No | Kelompok Data | Jenis Data | Keterangan |
|----|-------------------|---|--|
| 1 | Data Operasional | Tipe fluida | <i>Well fluid</i> (campuran minyak mentah dan air) |
| 2 | | Kapasitas produksi | 30.000 BFPD |
| 3 | | Temperatur operasi rata-rata | 130 °F |
| 4 | Properti Material | Jenis Material | API 5L Grade B |
| 5 | | Diameter pipa (OD) | 6 inch NPS sch. 40 |
| 6 | | <i>Density</i> (ρ) | 490 lb/ft ³ |
| 7 | | <i>Young modulus</i> (E) | 3×10^7 psi |
| 8 | | <i>Poisson's ratio</i> (μ) | 0,3 |
| 9 | | <i>Material penetration hardness</i> | $1,55 \times 10^5$ psi |
| 10 | | <i>Thermal expansion coefficient</i> (α) | $7,3 \times 10^{-6}$ |
| 11 | | <i>Specified minimum yield strength</i> (SMYS) | 35.000 psi |
| 12 | Properi Fluida | <i>Specific gravity</i> (SG) | 0,7981 |
| 13 | | <i>Water content</i> | 0,10 % volume |
| 14 | | Kandungan partikel pengotor | 0,20 % volume |
| 15 | | <i>Salt Content as NaCl</i> | 5 Lbs/1.000 bbl |
| 16 | | <i>Sulphur content</i> | 0,04 % weight |

(Sumber: PT. Marindotech)

Tabel 4.4 Data spesifik properti fluida

| No | Properti Fluida | Nilai | Satuan |
|----|-----------------------------------|-----------|--------------------|
| 1 | Berat molekul | 280 | gram/mol |
| 2 | Berat jenis | 49,83 | lb/ft ³ |
| 3 | Jenis rantai hidrokarbon | C17 - C25 | |
| 4 | Tingkat keadaan | Liquid | |
| 5 | Temperatur <i>autoignition</i> | 396 | °F |
| 6 | <i>Normal Boiling Point</i> (NBP) | 651 | °F |

(Sumber: PT. Marindotech)

4.2 Identifikasi Bahaya (*Hazard Identification*)

Lekukan pipa atau biasa disebut *elbow section* memiliki potensi kerusakan akibat fenomena korosi-erosi internal lebih besar daripada bagian lurus pipa. Hal tersebut disebabkan karena pada *elbow section*, aliran fluida didalamnya mengalami percepatan (Zhang dkk, 2013) akibat adanya perubahan arah aliran fluida secara mendadak yang akhirnya mengakibatkan turbulensi aliran. Berdasarkan penelitian para ahli diketahui bahwa semakin tinggi kecepatan aliran fluida yang melewati dinding dalam sebuah pipa, maka semakin tinggi pula laju korosi-erosi internal pada pipa tersebut. Korosi-erosi dapat menyebabkan penipisan pada dinding dalam pipa (khususnya pada *elbow section*) sehingga pada akhirnya dapat mengakibatkan bencana ledakan pipa saat beroperasi. Ledakan pipa tersebut disebabkan karena semakin tinggi laju korosi-erosi pada dinding dalam sebuah pipa, maka semakin tinggi pula laju penipisan dinding pipa tersebut sehingga pada suatu ketika dinding/ketebalan pipa tidak lagi mampu menahan tekanan dari dalam pipa (tekanan operasional fluida) dan akhirnya pipa meledak.

Allahkaram dkk (2015) dalam laporan penelitiannya menyebutkan bahwa *pipeline* sebagai media transportasi minyak, gas dan produk petroleum memegang peranan sangat luar biasa dalam perekonomian suatu negara sehingga upaya perlindungan *pipeline* dari serangan korosi-erosi internal sangat vital. Salah satu upaya perlindungan pipeline dari bahaya kerusakan akibat adanya korosi-erosi internal adalah dengan melakukan inspeksi secara berkala terhadap jaringan pipa tersebut. Hameed dkk (2016) menyatakan bahwa tujuan utama dari inspeksi dan

perawatan adalah untuk memastikan bahwa fasilitas-fasilitas atau peralatan dioptimalkan tidak hanya dengan meningkatkan keandalan dan ketersediaannya dalam sistem tapi juga mengurangi risiko secara keseluruhan.

Terdapat beberapa jenis manajemen inspeksi yang dapat diterapkan terhadap peralatan-peralatan industri, namun para ahli semakin merekomendasikan metode *Risk Based Inspection* (RBI) sebagai metode manajemen inspeksi yang paling relevan untuk diterapkan saat ini. Metode RBI menggunakan kombinasi dua parameter yaitu kemungkinan kegagalan dan konsekuensi kegagalan. Kedua parameter tersebut sangat cocok dijadikan acuan untuk menentukan jenis inspeksi seperti apa yang dibutuhkan oleh suatu peralatan karena terdapat kesesuaian antara tingkat risiko dari struktur itu sendiri dengan metode inspeksi yang akan dipilih. Taufik (2014) dalam artikelnya menyatakan bahwa saat ini metode RBI sudah dalam fase *mature* dan hampir seluruh perusahaan migas global menggunakan RBI untuk mengelola *integrity assetnya*. Beberapa perusahaan bahkan mengembangkan sendiri metodologi RBI berikut *softwarenya* seperti Shell, Total EP, Chevron, ConocoPhilips, dan sebagainya.

4.3 Skenario

Skenario diperlukan untuk mempermudah dalam mencapai tujuan dari penelitian ini. Penelitian ini menggunakan serangkaian proses kerja, baik yang dilakukan secara berurutan maupun yang dilakukan secara paralel (bersamaan). Fokus utama dari penelitian ini adalah pemodelan proses korosi-erosi pada dinding dalam *elbow section* yang disebabkan oleh aliran hidrokarbon cair didalamnya. Fokus lain dari penelitian ini adalah menentukan nilai peluang kegagalan (PoF) pada masing-masing *elbow section* yang ditinjau dengan menggunakan metode simulasi Montecarlo. Berikut penjelasan singkat mengenai skenario dari kedua fokus penelitian diatas:

4.3.1 Pemodelan Proses Korosi-Erosi Internal

Pemodelan proses korosi-erosi dilakukan dengan langkah-langkah sebagai berikut:

- a. Membuat model geometri struktur *road crossing pipeline* yang terdapat *elbow section* padanya. Model geometri dilakukan dengan bantuan *software* AutoCAD 3D.
- b. Melakukan analisa laju aliran fluida pada *elbow section* menggunakan metode *computational fluid dynamics* (CFD). Pemodelan dilakukan sebanyak 20 buah dengan masing-masing pemodelan melibatkan satu variasi kombinasi input data berupa laju aliran fluida rata-rata, tekanan operasional serta suhu operasional. Dari pemodelan ini didapatkan *output* berupa 20 buah nilai kecepatan aliran fluida pada *elbow section* untuk masing-masing *elbow* yang ditinjau, sehingga data kecepatan fluida pada *elbow section* yang didapat adalah sebanyak 80 buah dengan masing-masing *elbow section* (*elbow section 1-4*) sebanyak 20 buah data. Peneliti memilih melakukan pemodelan sebanyak 20 buah dengan tujuan untuk mendapatkan data yang cukup akurat dan representatif.
- c. Menghitung nilai laju korosi-erosi internal dengan menggunakan rumus Andrew dkk dalam buku *Subsea Pipeline Engineering*. Peneliti memilih persamaan tersebut karena mampu merepresentasikan kasus yang diteliti. Dalam rumus tersebut melibatkan variabel kecepatan aliran fluida dan banyaknya kandungan partikel pengotor dalam hidrokarbon. Kedua variable tersebut merupakan penyebab utama terjadinya korosi-erosi pada dinding dalam *elbow section*, sehingga sangat cocok untuk digunakan sebagai persamaan yang representatif.

4.3.2 Menghitung Nilai PoF dengan Simulasi Montecarlo

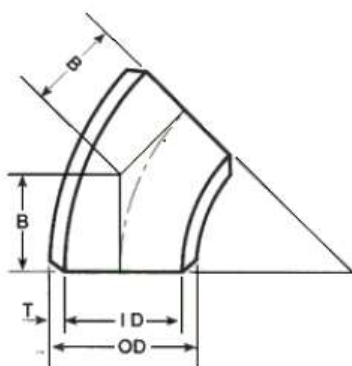
Nilai PoF didapatkan dengan mengikuti langkah-langkah sebagai berikut:

- a. Menentukan moda kegagalan struktur *elbow section*. Moda kegagalan yang digunakan mengikuti persamaan yang terdapat dalam DNV OS F101 tentang *Submarine Pipeline System*. Dalam persamaan tersebut melibatkan variabel bebas *equivalent stress* dan variabel kontrol berupa nilai SMYS dari struktur *elbow section*. Variabel bebas tersebut didapatkan dengan melibatkan nilai *hoop stress* dan *longitudinal stress*.

- b. Melakukan simulasi Montecarlo untuk masing-masing *elbow section*. Simulasi dilakukan secara berulang-ulang untuk setiap *elbow section* dengan jumlah *Random Number Generator* (RNG) bervariasi. Variasi jumlah RNG bertambah untuk setiap simulasi, dengan jumlah penambahan sebanyak 1000 RNG. Tujuan dari simulasi yang berulang-ulang dengan jumlah RNG terus bertambah adalah sebagai validasi untuk mendapatkan nilai PoF yang konstan dan mampu merepresentasikan kondisi sesungguhnya.

4.4 Pemodelan Struktur dengan Batuan Software AutoCAD 2014

Pemodelan struktur dengan menggunakan *software* AutoCAD 3D dilakukan untuk mendapatkan input awal dalam analisa numerik menggunakan *software* ANSYS 14.5. Data yang dibutuhkan dalam pemodelan menggunakan *software* AutoCAD adalah berupa dimensi struktur sebagai berikut:



Gambar 4.2 Dimensi utama *elbow hot bend long radian 45°* (www.alibaba.com)

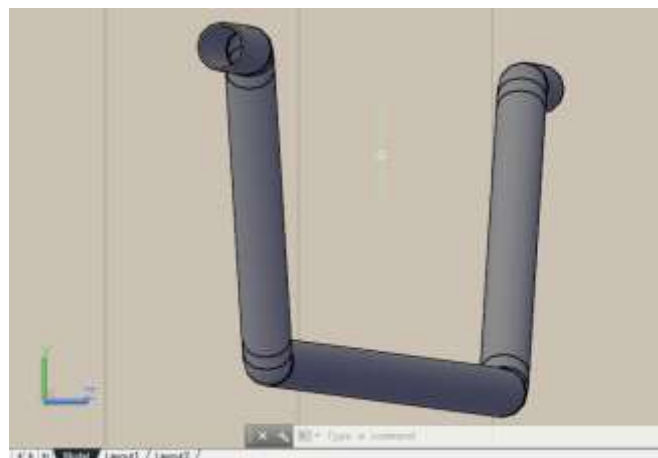
Tabel 4.5 Data utama *elbow hot bend long radian 45°*

| No | Bagian Struktur | Material | Diameter luar, OD (in) | Diameter Dalam, ID (in) | Ketebalan, T (in) | Elevasi | Kelengkungan, B (in) |
|----|-----------------|--------------------------------------|------------------------|-------------------------|-------------------|---------|----------------------|
| 1 | Elbow 1 | <i>Elbow Hot Bend 5D Long Radian</i> | 6 | 5,72 | 0,28 | 45 | 3,808 |
| 2 | Elbow 2 | <i>Elbow Hot Bend 5D Long Radian</i> | 6 | 5,72 | 0,28 | 45 | 3,808 |
| 3 | Elbow 3 | <i>Elbow Hot Bend 5D Long Radian</i> | 6 | 5,72 | 0,28 | 45 | 3,808 |
| 4 | Elbow 4 | <i>Elbow Hot Bend 5D Long Radian</i> | 6 | 5,72 | 0,28 | 45 | 3,808 |

Berikut hasil pemodelan AutoCAD 3D untuk struktur yang ditinjau:



Gambar 4.3 Model CAD struktur pipa *road crossing section* tampak melintang



Gambar 4.4 Model CAD struktur pipa *road crossing section* tampak isometrik

4.5 Pemodelan Numerik Metode CFD dengan *Software ANSYS 14.5*

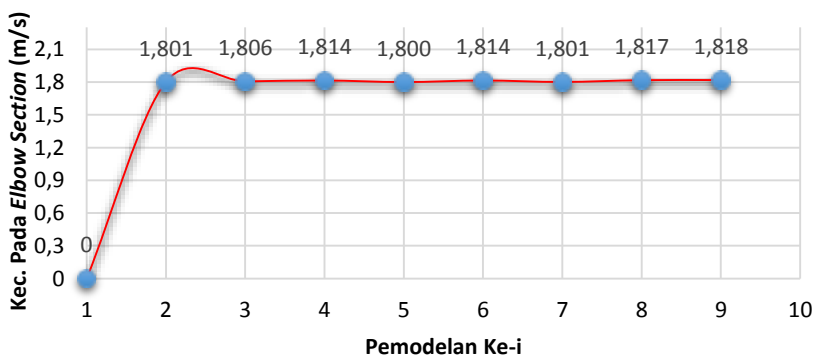
Pemodelan numerik dengan menggunakan bantuan *software ANSYS ICEM CFD* dilakukan untuk mendapatkan nilai kecepatan relatif fluida pada masing-masing *elbow section*. Langkah pertama dalam pemodelan ini adalah menentukan ukuran *meshing* yang optimal sehingga hasil dari pemodelan mampu merepresentasikan kondisi sesungguhnya. Penentuan *meshing* yang optimal ini dapat dilakukan dengan *meshing sensitivity analysis*. Secara sederhana *meshing sensitivity analysis* dapat dijelaskan sebagai serangkaian pemodelan yang dilakukan terhadap sebuah objek yang sama dengan melibatkan berbagai variabel input terkait. Keseluruhan variabel input dalam pemodelan-pemodelan tersebut dibuat

konstan, kecuali variabel *meshing* yang sengaja dibuat berubah-ubah untuk mendapatkan kesimpulan mengenai ukurang meshing mana yang menghasilkan *output* yang konstan. Pada saat *output* yang dihasilkan sudah mencapai angka konstan, maka ukuran meshing tersebutlah yang mampu menghasilkan *output* yang representatif dan ukuran mesing tersebutlah yang akan digunakan untuk keseluruhan pemodelan CFD pada penelitian ini. Dalam penelitian ini menggunakan *elbow section 2* sebagai objek dalam *meshing sensitivity analysis* dengan tiga inputan utama berupa input kecepatan pada *inlet* sebesar 3.34 ft/s atau 1.02 m/s, inputan pada *outlet* berupa tekanan operasional sebesar 2420 psi dan inputan pada domain berupa suhu operasional sebesar 113.68 °F. Berikut hasil *meshing sensitivity analysis* yang dilakukan terhadap *elbow section 2*.

Tabel 4.6 Hasil *meshing sensitivity analysis* pada *elbow section 2*

| No | Ukuran Meshing (m) | Kecepatan pada <i>Elbow section</i> (m/s) |
|----|--------------------|---|
| 1 | 0,82 | 1,801 |
| 2 | 0,09 | 1,806 |
| 3 | 0,08 | 1,814 |
| 4 | 0,07 | 1,800 |
| 5 | 0,06 | 1,814 |
| 6 | 0,05 | 1,801 |
| 7 | 0,04 | 1,817 |
| 8 | 0,03 | 1,818 |

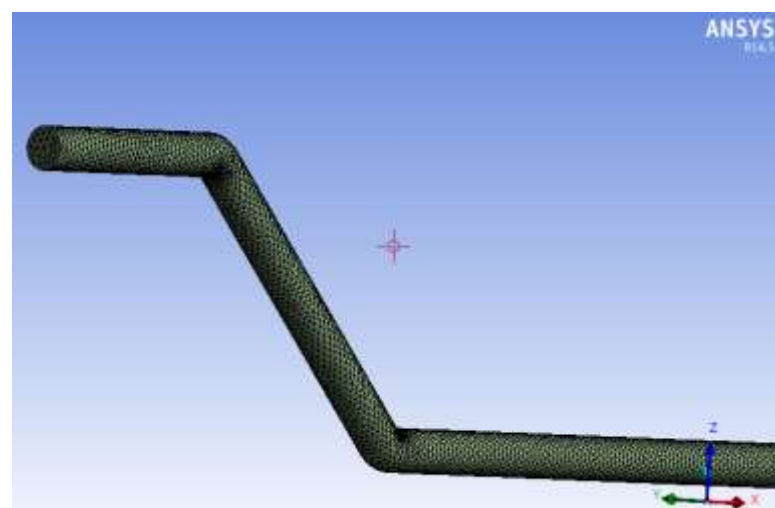
***Meshing Sensitivity Analysis* pada *elbow section 2* (kec. rata-rata 1.02 m/s; tekanan operasional 2420 psi; suhu operasional 113,68 F)**



Gambar 4.5 Grafik hasil *meshing sensitivity analysis* pada *elbow section 2*

Dari tabel dan grafik *meshing sensitivity analysis* diatas dapat disimpulkan bahwa nilai *output* berupa kecepatan aliran fluida di *elbow section 2* mencapai angka konstan pada umuran *meshing* sebesar 0,04 m dengan nilai kecepatan sebesar 1,17 m/s. Hal tersebut menandakan bahwa pada ukuran *meshing* 0,04 m sudah mampu menghasilkan model yang representatif dengan kondisi sesungguhnya. Oleh karena hal tersebut, keseluruhan pemodelan numerik CFD pada penelitian ini menggunakan ukuran *meshing* 0,04 m sebagai salah satu variabel input.

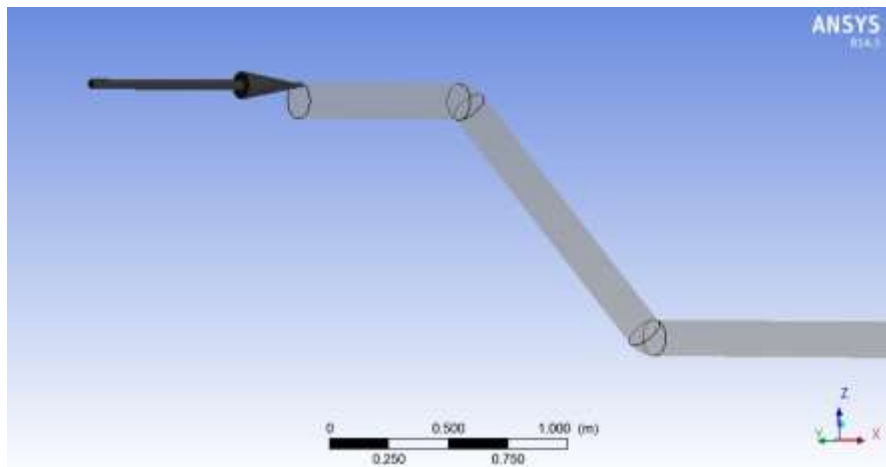
Setelah didapatkan ukuran *meshing* yang akan digunakan, maka selanjutnya adalah melakukan pemodelan CFD untuk seluruh kondisi variasi. Langkah-langkah dalam pemodelan tersebut sebagaimana langkah-langkah dalam membuat model pada *meshing sensitivity analysis* adalah model CAD struktur yang sudah dibuat selanjutnya di-*import* kedalam software ANSYS ICEM CFX. Setelah model di-*import*, selanjutnya adalah melakukan *editing* pada geometri. *Editing* dilakukan untuk memberikan nama pada bagian-bagian struktur, yaitu: *elbow 1*, *elbow 2*, *elbow 3*, *elbow 4*, *inlet*, dan *outlet*. Selanjutnya adalah memberikan *meshing* terhadap struktur dengan ukuran *meshing* sebesar 0,04 m. Pada **gambar 4.6** berikut ditunjukan contoh hasil *meshing* pada struktur yang ditinjau:



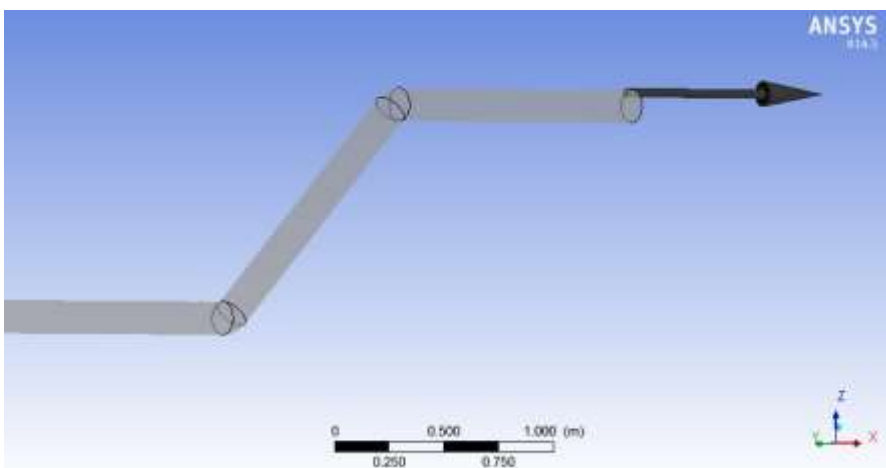
Gambar 4.6 Meshing pada struktur pipa road crossing

Langkah selanjutnya adalah memberikan *boundary condition* pada ANSYS CFX-Pre. Langkah ini bertujuan untuk memberikan batasan yang jelas terhadap analisa

yang dilakukan. Input berupa data properti fluida (massa molar, *density* dll) dibuat konstan, sedangkan input berupa data kecepatan fluida, tekanan operasional, serta suhu operasional dibuat sebanyak 20 pasang variasi. Input kecepatan fluida, tekanan operasional serta suhu operasional dibuat sebanyak 20 buah variasi dengan rentang masing-masing variabel input yaitu rentang kecepatan 3 sampai 15 ft/s, rentang tekanan operasional 2400 sampai 3500 psi, dan rentang suhu operasional 110 sampai 150 °F. Data kecepatan rata-rata fluida digunakan sebagai input pada *inlet* sedangkan data tekanan operasional digunakan sebagai input pada *outlet* model pada *software ANSYS ICEM CFD*. Hasil pemberian *boundary condition* pada struktur dapat dilihat dalam **gambar 4.7** dan **4.8** berikut:

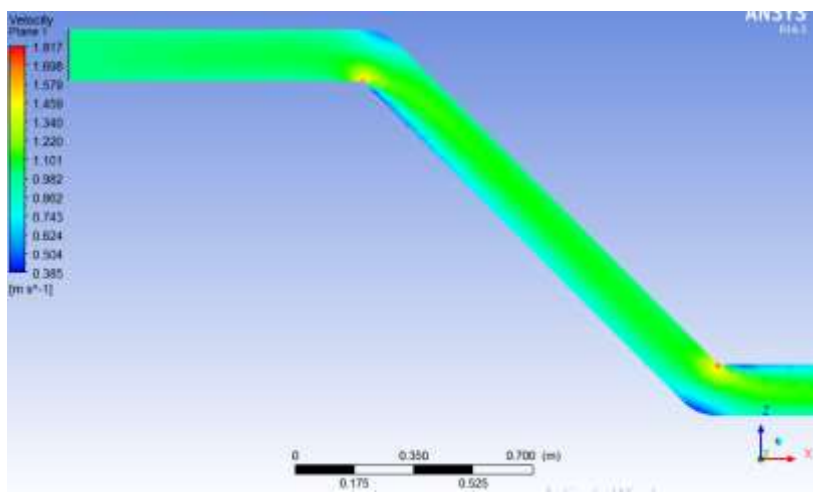


Gambar 4.7 Model *inlet* pada *road crossing pipeline*



Gambar 4.8 Model *outlet* pada *road crossing pipeline*

Setelah melakukan *running* pada ANSYS CFX-Pre, selanjutnya adalah melakukan analisa pada ANSYS CFX-Post untuk mendapatkan *output* yang dibutuhkan dalam langkah selanjutnya. Dengan membuat *plane* maka kita dapat menganalisis pola aliran fluida pada *elbow section* yang ditinjau. Dari analisa yang dilakukan maka didapatkan nilai kecepatan fluida yang dibutuhkan untuk mencari nilai laju korosi-erosi. Berikut disajikan contoh *output* berupa kecepatan fluida pada *elbow section* dengan input kecepatan rata-rata sebesar 3.34 ft/s, tekanan operasional 2420 psi dan suhu operasional sebesar 113,68 °F:



Gambar 4.9 Output analisa CFD berupa Kecepatan pada *elbow section*

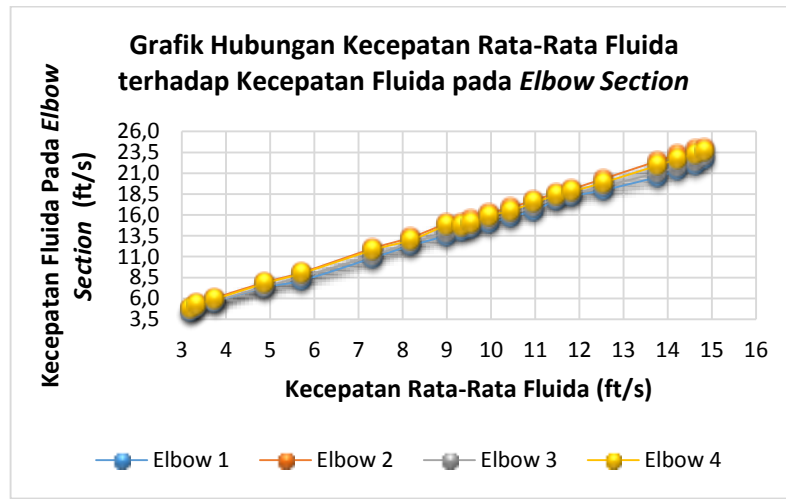
Hasil running CFX-Post untuk keseluruhan variasi input kecepatan rata-rata dapat dilihat pada LAMPIRAN A .

4.6 Perhitungan Laju Korosi-Erosi

Perhitungan laju korosi-erosi menggunakan persamaan yang terdapat pada buku *Subsea Pipeline Engineering 2nd Edition* yang disusun oleh Andrew C., Palmer A., dan Roger A. King. Berikut persamaan yang digunakan dalam menentukan laju korosi-erosi pada tiap-tiap *elbow section*:

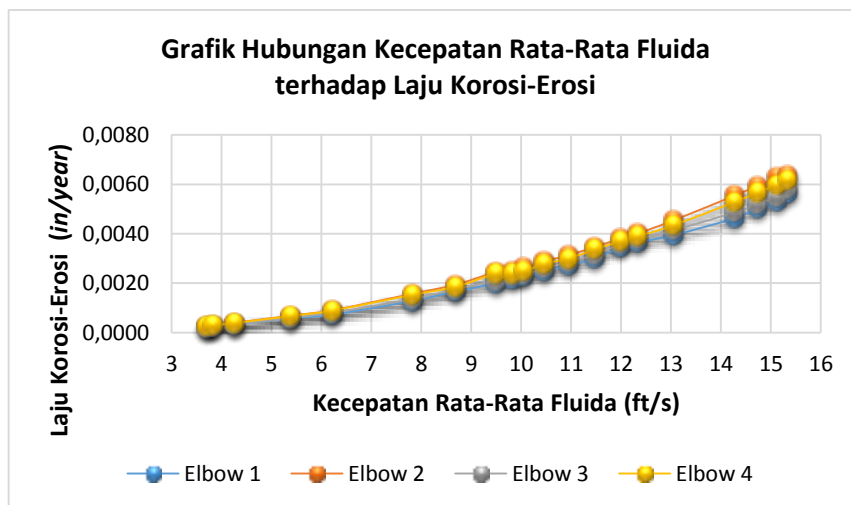
$$CR_{erosion} = \frac{K(0.65W)U^2\beta}{gP(\frac{\pi}{4}D^2)} \cdot L \quad \text{(4.1)}$$

dengan,



Gambar 4.10 Grafik hubungan kecepatan rata-rata fluida terhadap kecepatan fluida pada *Elbow Section*

Gambar 4.10 menunjukkan kecenderungan hubungan antara kecepatan rata-rata fluida terhadap kecepatan fluida pada *elbow section*. Dari gambar tersebut dapat disimpulkan bahwa terdapat perbedaan nilai antara kecepatan rata-rata fluida dengan kecepatan fluida pada *elbow section*. Dapat dilihat bahwa kecepatan fluida pada *elbow section* lebih besar jika dibandingkan dengan kecepatan fluida rata-rata. Hal tersebut disebabkan karena adanya turbulensi aliran pada daerah *elbow* sebagai akibat dari perubahan geometri struktur secara mendadak.



Gambar 4.11 Grafik hubungan kecepatan rata-rata fluida terhadap kecepatan laju korosi-erosi pada *elbow section*

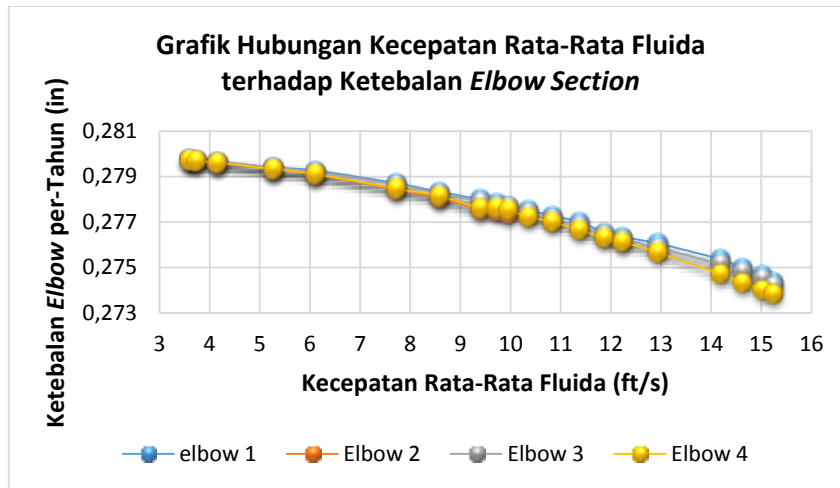
Dari gambar diatas dapat disimpulkan bahwa semakin tinggi kecepatan aliran fluida pada *elbow section*, maka semakin tinggi pula nilai laju korosi-erosi pada *elbow* yang bersangkutan. Hal tersebut dapat difahami lewat persamaan laju korosi-erosi diatas dimana besarnya nilai kecepatan aliran fluida berbanding lurus dengan laju korosi-erosi. Langkah selanjutnya adalah menghitung ketebalan *elbow section* setelah mengalami korosi-erosi. Berikut disajikan tabel ketebalan tiap-tiap *elbow section* setelah mengalami korosi-erosi selama satu tahun operasi:

Tabel 4.8 Ketebalan *elbow section* masa operasi satu tahun.

| No | Kecepatan Rata-rata Fluida (ft/s) | Ketebalan Pipa per-Tahun (in) | | | |
|----|-----------------------------------|-------------------------------|---------|---------|---------|
| | | Elbow 1 | Elbow 2 | Elbow 3 | Elbow 4 |
| 1 | 3,21 | 0,2797 | 0,2797 | 0,2797 | 0,2797 |
| 2 | 3,34 | 0,2797 | 0,2796 | 0,2797 | 0,2796 |
| 3 | 3,76 | 0,2796 | 0,2795 | 0,2796 | 0,2795 |
| 4 | 4,88 | 0,2793 | 0,2792 | 0,2793 | 0,2792 |
| 5 | 5,73 | 0,2791 | 0,2789 | 0,2790 | 0,2789 |
| 6 | 7,33 | 0,2785 | 0,2781 | 0,2784 | 0,2782 |
| 7 | 8,20 | 0,2780 | 0,2777 | 0,2779 | 0,2778 |
| 8 | 9,01 | 0,2776 | 0,2771 | 0,2775 | 0,2771 |
| 9 | 9,34 | 0,2774 | 0,2770 | 0,2773 | 0,2771 |
| 10 | 9,56 | 0,2773 | 0,2768 | 0,2772 | 0,2770 |
| 11 | 9,97 | 0,2770 | 0,2765 | 0,2769 | 0,2767 |
| 12 | 10,45 | 0,2767 | 0,2763 | 0,2766 | 0,2764 |
| 13 | 10,98 | 0,2764 | 0,2759 | 0,2762 | 0,2760 |
| 14 | 11,49 | 0,2758 | 0,2754 | 0,2757 | 0,2756 |
| 15 | 11,83 | 0,2756 | 0,2752 | 0,2755 | 0,2753 |
| 16 | 12,55 | 0,2753 | 0,2746 | 0,2750 | 0,2748 |
| 17 | 13,79 | 0,2745 | 0,2734 | 0,2742 | 0,2737 |
| 18 | 14,24 | 0,2740 | 0,2729 | 0,2738 | 0,2732 |
| 19 | 14,63 | 0,2736 | 0,2725 | 0,2734 | 0,2728 |
| 20 | 14,85 | 0,2733 | 0,2724 | 0,2731 | 0,2726 |

Dapat disimpulkan bahwa keempat *elbow section* cenderung mengalami pengurangan ketebalan dinding dalam akibatkan korosi-erosi yang dipicu oleh kecepatan aliran fluida yang terus meningkat. Untuk mempermudah dalam

memahami hubungan antara variasi kecepatan terhadap ketebalan *elbow section* per-tahun, berikut disajikan grafik hubungan antara keduanya:



Gambar 4.12 Grafik hubungan antara variasi kecepatan rata-rata fluida terhadap ketebalan *elbow section* per-tahun.

4.7 Perhitungan Moda Kegagalan

4.7.1 Penentuan Persamaan Moda Kegagalan

Peluang kegagalan *elbow section* yang terkena korosi-erosi diformulasikan sebagai fungsi dari tegangan *equivalent* terhadap tegangan *yield strength* pada *elbow section* yang ditinjau. *Elbow section* dinyatakan mengalami kegagalan jika tegangan *equivalent* melebihi tegangan *yield strength*. Moda kegagalan yang digunakan dalam tugas akhir ini berdasarkan DNV OS F 101 *Submarine Pipeline System* yang diformulasikan sebagai berikut:

$$P_f = P[\sigma_e > \sigma_{ys}] \dots \dots \dots \quad (4.2)$$

dengan,

σ_e = *equivalent stress*, (psi)

σ_{ys} = *yield strength*, (psi)

$$= 0.9 \text{ SMYS}$$

Untuk mencari *equivalent stress* dapat menggunakan persamaan sebagai berikut:

$$\sigma_e = \sqrt{\sigma_h^2 + \sigma_l^2 - \sigma_h \sigma_l}(4.3)$$

dengan,

$$\sigma_h = \text{hoop stress, (psi)}$$

$$\sigma_l = \text{longitudinal stress, (psi)}$$

Nilai *hoop stress* dan *longitudinal stress* dapat dicari menggunakan persamaan sebagai berikut:

$$\sigma_h = (P_i - P_e) \frac{De - t}{2t}(4.4)$$

$$\sigma_l = \frac{(P_i.Ai - P_e.Ae)}{As} + E\alpha (Tp - Ta) - \frac{2v(Pi.Ai - Pe.Ae)}{As}(4.5)$$

dengan,

Sehingga persamaan moda kegagalan menjadi:

$$P_i = \text{tekanan internal pipa, (psi)}$$

$$P_e = \text{Tekanan luar pipa, (psi)}$$

$$D_e = \text{diameter luar pipa, (in)}$$

$$t = \text{ketebalan dinding pipa, (in)}$$

$$v = \text{nilai poisson's ratio, (0,3 for carbon steel)}$$

$$A_e = \text{external area of pipe, (in}^2)$$

$$A_i = \text{internal bore area of pipe, (in}^2)$$

$$A_s = \text{pipe cross section area, (in}^2)$$

$$E = \text{young's modulus, (3 x 10}^7 \text{ psi)}$$

$$\alpha = \text{thermal expansion coefficient, (tipically } 7,3 \times 10^{-6} \text{ for carbon steel)}$$

$$T_p = \text{temperature of pipe wall, (}^{\circ}\text{F)}$$

$$T_a = \text{ambient temperature, (}^{\circ}\text{F)}$$

Langkah selanjutnya adalah melakukan pengujian distribusi data dan mencari nilai parameter statistik *equivalent stress* dari masing-masing *elbow section*. Nilai parameter statistik yang didapat selanjutnya akan digunakan untuk mendapatkan nilai *random number generator* (RNG). Nilai RNG inilah yang digunakan dalam simulasi Montecarlo untuk mendapatkan nilai peluang kegagalan (PoF) dari masing-masing *elbow section*. Dalam penelitian ini, nilai parameter statistik didapatkan dengan bantuan *software* Minitab. Berikut ini hasil pengolahan data menggunakan *software* Minitab:

Tabel 4.10 Jenis distribusi dan parameter statistik *equivalent stress* masing-masing *elbow section*

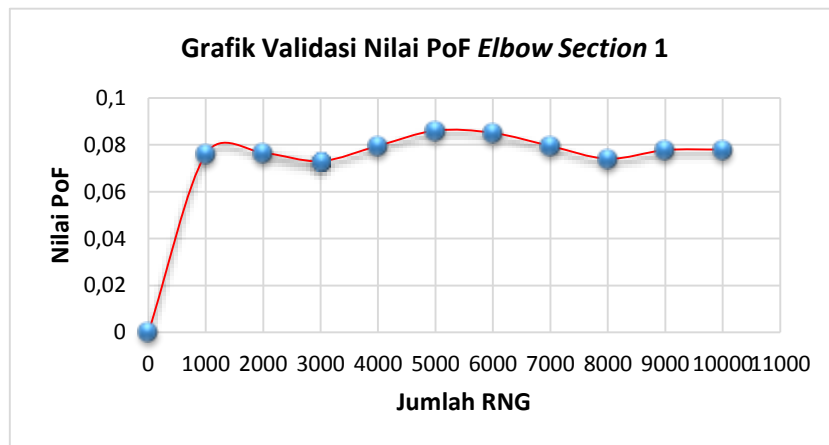
| No | Jenis Variabel | Jenis Distribusi Data | Parameter Statistik | |
|----|---|-----------------------|---------------------|----------|
| | | | μ | σ |
| 1 | <i>Equivalent stress of elbow section 1 (psi)</i> | Normal | 29411 | 3619 |
| 2 | <i>Equivalent stress of elbow section 2 (psi)</i> | Normal | 26454 | 3649 |
| 3 | <i>Equivalent stress of elbow section 3 (psi)</i> | Normal | 26422 | 3626 |
| 4 | <i>Equivalent stress of elbow section 4 (psi)</i> | Normal | 26441 | 3640 |

4.7.3 Simulasi Montecarlo

Setelah diketahui parameter statistik dari masing-masing *equivalent stress* seperti ditampilkan dalam tabel 4.9 diatas, maka selanjutnya adalah melakukan simulasi *Montecarlo* dengan menggunakan moda kegagalan yang telah ditentukan (persamaan 4.6). Simulasi *Montecarlo* dilakukan untuk mendapatkan nilai *probability of failure* (PoF) dari masing-masing *elbow section*. Simulasi dilakukan untuk masing-masing *elbow section* dengan berbagai variasi jumlah *random number generator* (RNG). Variasi jumlah RNG bertujuan sebagai validasi nilai PoF, dengan demikian akan didapatkan nilai PoF yang konstan dan mampu mewakili nilai peluang kegagalan yang sebenarnya dilapangan. Rangkuman hasil simulasi *Montecarlo* yang telah dilakukan disajikan dalam tabel 4.11 sampai tabel 4.14 dan gambar 4.13 sampai gambar 4.16 sebagai berikut:

Tabel 4.11 Hasil simulasi *Montecarlo* pada *elbow section 1*

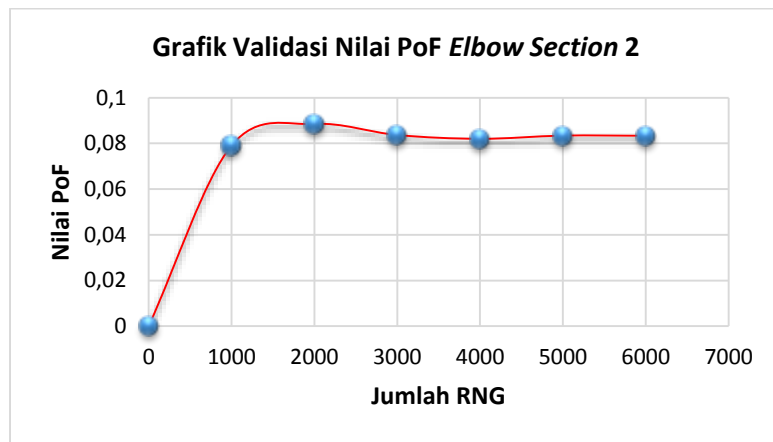
| No | Jumlah RNG | Nilai PoF |
|----|------------|-----------|
| 1 | 0 | 0 |
| 2 | 1000 | 0,076 |
| 3 | 2000 | 0,077 |
| 4 | 3000 | 0,073 |
| 5 | 4000 | 0,080 |
| 6 | 5000 | 0,086 |
| 7 | 6000 | 0,085 |
| 8 | 7000 | 0,079 |
| 9 | 8000 | 0,074 |
| 10 | 9000 | 0,078 |
| 11 | 10000 | 0,078 |



Gambar 4.13 Grafik hasil simulasi *Montecarlo* pada *elbow section 1* dengan berbagai variasi jumlah RNG

Tabel 4.12 Hasil simulasi *Montecarlo* pada *elbow section 2*

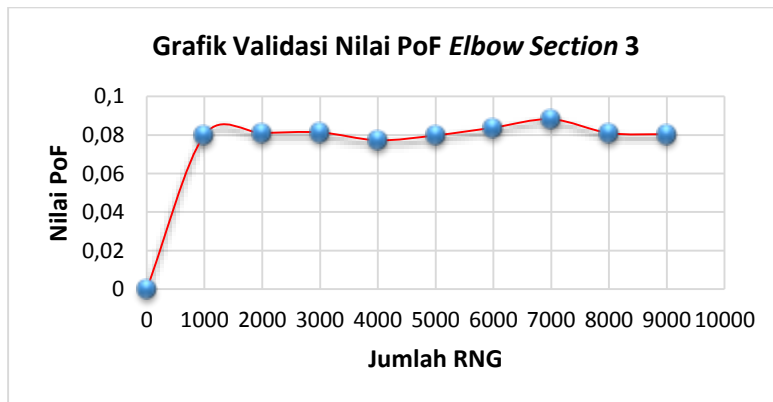
| No | Jumlah RNG | Nilai PoF |
|----|------------|-----------|
| 1 | 0 | 0 |
| 2 | 1000 | 0,079 |
| 3 | 2000 | 0,089 |
| 4 | 3000 | 0,084 |
| 5 | 4000 | 0,082 |
| 6 | 5000 | 0,083 |
| 7 | 6000 | 0,083 |



Gambar 4.14 Grafik hasil simulasi *Montecarlo* pada *elbow section 2* dengan berbagai variasi jumlah RNG

Tabel 4.13 Hasil simulasi *Montecarlo* pada *elbow section 3*

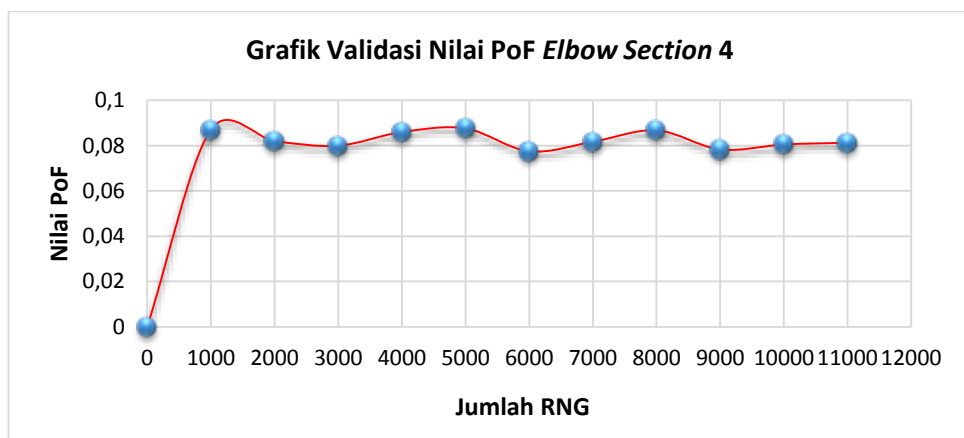
| No | Jumlah RNG | Nilai PoF |
|----|------------|-----------|
| 1 | 0 | 0 |
| 2 | 1000 | 0,080 |
| 3 | 2000 | 0,081 |
| 4 | 3000 | 0,081 |
| 5 | 4000 | 0,077 |
| 6 | 5000 | 0,080 |
| 7 | 6000 | 0,084 |
| 8 | 7000 | 0,088 |
| 9 | 8000 | 0,081 |
| 10 | 9000 | 0,080 |



Gambar 4.15 Grafik hasil simulasi *Montecarlo* pada *elbow section 3* dengan berbagai variasi jumlah RNG

Tabel 4.14 Hasil simulasi *Montecarlo* pada *elbow section 4*

| No | Jumlah RNG | Nilai PoF |
|----|------------|-----------|
| 1 | 0 | 0 |
| 2 | 1000 | 0,087 |
| 3 | 2000 | 0,082 |
| 4 | 3000 | 0,080 |
| 5 | 4000 | 0,086 |
| 6 | 5000 | 0,088 |
| 7 | 6000 | 0,078 |
| 8 | 7000 | 0,082 |
| 9 | 8000 | 0,087 |
| 10 | 9000 | 0,078 |
| 11 | 10000 | 0,081 |
| 12 | 11000 | 0,081 |



Gambar 4.16 Grafik hasil simulasi *Montecarlo* pada *elbow section 4* dengan berbagai variasi jumlah RNG

Untuk mempermudah dalam melihat kestabilan nilai PoF, maka hasil simulasi dari masing-masing *elbow section* ditampilkan dalam bentuk grafik (grafik 4.13 – 4.16). Dari grafik tersebut dapat disimpulkan bahwa masing-masing simulasi untuk setiap *elbow section* mencapai kestabilan pada jumlah RNG yang berbeda. Untuk simulasi pada *elbow section 1* mencapai kestabilan pada jumlah RNG 9000 dengan nilai PoF sebesar 0,078. Simulasi pada *elbow section 2* mencapai kestabilan pada jumlah RNG 5000 dengan nilai PoF sebesar 0,083. Simulasi pada *elbow section 3* mencapai kestabilan pada jumlah RNG 8000 dengan nilai PoF sebesar 0,081. *Elbow section*

4 mencapai kestabilan pada simulasi dengan jumlah RNG 10000 dengan nilai PoF sebesar 0,081. Dapat diketahui bahwa *elbow section 2* memiliki nilai PoF paling besar dari seluruh *elbow section* yang diuji dan *elbow section 1* memiliki nilai PoF paling kecil dengan selisih nilai PoF diantara keduanya sebesar 0,5%. Hal tersebut disebabkan karena pada *elbow section 2*, aliran fluida didalam pipa membelok kebawah (mendekati inti bumi), sehingga pengaruh gravitasi menjadi lebih besar dan searah aliran fluida. Akibat dari pengaruh gravitasi tersebut maka aliran massa fluida menjadi lebih besar, yang berakibat pada laju korosi-erosi *elbow section* yang dilewati massa fluida tersebut. Sebaliknya, nilai PoF paling kecil dimiliki oleh *elbow section 1* tersebut dikarenakan aliran fluida yang menuju *elbow section 1* mengikuti jalur pipa lurus, sehingga aliran fluida cenderung laminar. Ketika aliran fluida tersebut mencapai *elbow section 4*, maka pola aliran fluida baru berubah menjadi aliran turbulen, sehingga kecepatan aliran fluida pada bagian *elbow section 4* menjadi relatif lebih tinggi dibandingkan dengan pada bagian pipa lurus. Namun demikian, kecepatan aliran fluida pada *elbow section 1* relatif paling kecil dibanding *elbow section* lainnya. Sehingga nilai laju korosi-erosi *elbow section 1* merupakan paling kecil dibanding ketiga *elbow section* lainnya, akibatnya nilai PoF *elbow section 1* merupakan paling kecil diantara lainnya. Untuk *elbow section 3* dan *elbow section 4* menunjukkan nilai PoF yang relatif sama.

4.8 Analisa Konsekuensi dengan Metode Semi-Kuantitatif RBI

Analisa konsekuensi dengan metode semi-kuantitatif RBI mencakup beberapa langkah. Langkah pertama adalah menentukan jenis fluida representatif. Berdasarkan data dari PT. Pertamina EP *Field Sangasanga* diketahui bahwa fluida yang mengalir dalam jaringan pipa yang ditinjau memiliki nilai API *Gravity* sebesar 45,8. Untuk mengetahui jenis fluida representatif, data yang dibutuhkan adalah berupa nilai massa jenis (*density*) dari fluida yang ditinjau. Untuk mendapatkan nilai massa jenis dari fluida, bisa menggunakan nilai *specific gravity* (SG) yang bisa diketahui menggunakan persamaan *API Gravity* berikut:

yang keluar lebih besar dari 10.000 lb, maka aliran tersebut termasuk kedalam jenis kebocoran seketika (*instaneous*), sedangkan jika jumlah yang keluar kurang dari 10.000 lb, maka termasuk jenis kebocoran terus-menerus (*continuous*). Berikut disajikan data hasil perhitungan tentang jenis pelepasan fluida pada masing-masing *elbow* yang ditinjau:

Tabel 4.17 Jenis pelepasan fluida pada *elbow section 1*

| No | Ukuran Lubang Kebocoran (inchi) | Jumlah fluida terlepas dalam waktu 3 menit (lbs) | Jenis Pelepasan Fluida |
|----|---------------------------------|--|------------------------|
| 1 | ¼ | 50,68 | Terus menerus |
| 2 | 1 | 817,58 | Terus menerus |
| 3 | 4 | 13187,68 | Seketika |
| 4 | 6 | 30150,86 | Seketika |

Tabel 4.18 Jenis pelepasan fluida pada *elbow section 2*

| No | Ukuran Lubang Kebocoran (inchi) | Jumlah fluida terlepas dalam waktu 3 menit (lbs) | Jenis Pelepasan Fluida |
|----|---------------------------------|--|------------------------|
| 1 | ¼ | 51,51 | Terus menerus |
| 2 | 1 | 830,88 | Terus menerus |
| 3 | 4 | 13400,38 | Seketika |
| 4 | 6 | 30533,73 | Seketika |

Tabel 4.19 Jenis pelepasan fluida pada *elbow section 3*

| No | Ukuran Lubang Kebocoran (inchi) | Jumlah fluida terlepas dalam waktu 3 menit (lbs) | Jenis Pelepasan Fluida |
|----|---------------------------------|--|------------------------|
| 1 | ¼ | 51,93 | Terus menerus |
| 2 | 1 | 834,87 | Terus menerus |
| 3 | 4 | 13442,92 | Seketika |
| 4 | 6 | 30629,44 | Seketika |

Tabel 4.20 Jenis pelepasan fluida pada *elbow section 4*

| No | Ukuran Lubang Kebocoran (inchi) | Jumlah fluida terlepas dalam waktu 3 menit (lbs) | Jenis Pelepasan Fluida |
|----|---------------------------------|--|------------------------|
| 1 | ¼ | 51,10 | Terus menerus |
| 2 | 1 | 828,22 | Terus menerus |
| 3 | 4 | 13357,84 | Seketika |
| 4 | 6 | 30342,29 | Seketika |

4.8.3 Penentuan Luas Daerah Kebocoran

Dalam API 581 *Base Resourced Document* terdapat aturan mengenai penentuan luas daerah kebocoran pada peralatan yang dievaluasi. Untuk menentukan luas daerah kebocoran tersebut pertama-tama menentukan *probability-weighted affected area*. Persamaan untuk mencari *probability-weighted affected area* harus disesuaikan dengan jenis rantai hidrokarbon, tipe pelepasan dan temperatur operasional dari fluida yang ada pada peralatan. Karena temperatur operasional fluida yang ditinjau (130°F) dibawah *autoignition temperature* (396°F) plus 80° F , maka rumus yang digunakan untuk menentukan luas daerah kebocoran terdapat pada tabel 7.8 dan tabel 7.9 API 581. Berikut disajikan rangkuman rumus yang digunakan dalam perhitungan *probability-weighted affected area*..

Tabel 4.21 Persamaan *probability-weighted affected area*.

| No | Jenis Pelepasan Fluida | Konsekuensi kerusakan | Konsekuensi Bahaya |
|----|------------------------------------|-----------------------|---------------------|
| 1 | Terus menerus (<i>Continous</i>) | $A = 20 x^{0,90}$ | $A = 57 x^{0,89}$ |
| 2 | Seketika (<i>instantaneous</i>) | $A = 0,11 x^{0,91}$ | $A = 0,32 x^{0,91}$ |

Dengan:

A = *Probability-weighted affected area* daerah kerusakan / daerah berbahaya (ft^2)

x = Laju pelepasan total (lb/second)

Berikut disajikan tabel *probability-weighted affected area* untuk luas daerah kerusakan dan luas daerah berbahaya.

Tabel 4.22 *Probability-weighted affected area* daerah kerusakan.

| No | Jenis Elbow | Ukuran Lubang Kebocoran (inci) | | | |
|----|-------------|---|-------|------|-------|
| | | ¼ | 1 | 4 | 6 |
| | | Luas Daerah Kerusakan (ft^2) | | | |
| 1 | Elbow 1 | 6,39 | 78,08 | 5,48 | 11,62 |
| 2 | Elbow 2 | 6,49 | 79,23 | 5,56 | 11,76 |
| 3 | Elbow 3 | 6,53 | 79,57 | 5,57 | 11,79 |
| 4 | Elbow 4 | 6,44 | 78,10 | 5,54 | 11,69 |

Tabel 4.23 Probability-weighted affected area daerah berbahaya

| No | Jenis Elbow | Ukuran Lubang Kebocoran (inchi) | | | |
|----|-------------|--|--------|-------|-------|
| | | 1/4 | 1 | 4 | 6 |
| | | Luas Daerah Berbahaya (ft ²) | | | |
| 1 | Elbow 1 | 18,45 | 219,20 | 15,93 | 15,68 |
| 2 | Elbow 2 | 18,72 | 222,37 | 16,16 | 15,83 |
| 3 | Elbow 3 | 18,85 | 223,32 | 16,21 | 15,87 |
| 4 | Elbow 4 | 18,58 | 221,73 | 16,12 | 15,76 |

Nilai konsekuensi keterbakaran terdiri dari luas daerah kerusakan dan luas daerah berbahaya. Dalam menentukan luas daerah keterbakaran, pertama-tama menjumlahkan masing-masing luas daerah kerusakan dan luas daerah berbahaya pada tiap-tiap *elbow* untuk seluruh ukuran lubang kebocoran. Luas daerah yang didapat adalah *probability-weighted affected area*. Selanjutnya *probability-weighted affected area* dikalikan dengan nilai *specific event probability (Probability of Failure)* untuk masing-masing *elbow*. Dari hasil perkalian tersebut didapatkan nilai *combined consequence area* untuk daerah kerusakan dan daerah berbahaya pada masing-masing *elbow*. Langkah terakhir adalah menjumlahkan *combined consequence area* untuk daerah kerusakan dan daerah berbahaya pada masing-masing *elbow*. Jumlah *combined consequence area* tersebut merupakan luas daerah kebocoran untuk masing-masing *elbow*. Berikut disajikan tabel luas daerah kebocoran untuk masing-masing *elbow*:

Tabel 4.24 Luas kombinasi untuk kategori luas daerah kerusakan

| No | Jenis Elbow | Ukuran Lubang Kebocoran (inchi) | | | | Total daerah kerusakan (ft ²) | Probability of Failure (PoF) | Acombination Kerusakan (ft ²) |
|----|-------------|--|-------|------|-------|---|------------------------------|---|
| | | 1/4 | 1 | 4 | 6 | | | |
| | | Luas Daerah Kerusakan (ft ²) | | | | | | |
| 1 | Elbow 1 | 6,39 | 78,08 | 5,48 | 11,62 | 101,57 | 0,078 | 7,89 |
| 2 | Elbow 2 | 6,49 | 79,23 | 5,56 | 11,76 | 103,02 | 0,083 | 8,59 |
| 3 | Elbow 3 | 6,53 | 79,57 | 5,57 | 11,79 | 103,46 | 0,081 | 8,38 |
| 4 | Elbow 4 | 6,44 | 79,00 | 5,54 | 11,69 | 102,67 | 0,081 | 8,27 |

Tabel 4.25 Luas kombinasi untuk kategori luas daerah berbahaya

| No | Jenis Elbow | Ukuran Lubang Kebocoran (inci) | | | | Total daerah berbahaya (ft ²) | Probability of Failure (PoF) | $A_{combination}$ Berbahaya (ft ²) | |
|--|-------------|--------------------------------|---------|--------|--------|---|------------------------------|--|--|
| | | 1/4 | 1 | 4 | 6 | | | | |
| Luas Daerah Berbahaya (ft ²) | | | | | | | | | |
| 1 | Elbow 1 | 18,451 | 219,197 | 15,930 | 15,682 | 269,260 | 0,078 | 20,91 | |
| 2 | Elbow 2 | 18,720 | 222,367 | 16,163 | 15,833 | 273,083 | 0,083 | 22,77 | |
| 3 | Elbow 3 | 18,854 | 223,316 | 16,210 | 15,871 | 274,252 | 0,081 | 22,21 | |
| 4 | Elbow 4 | 18,585 | 221,733 | 16,117 | 15,758 | 272,193 | 0,081 | 21,91 | |

Tabel 4.26 Luas daerah keterbakaran akibat kebocoran

| No | Jenis Elbow | $A_{combination}$ Kerusakan (ft ²) | $A_{combination}$ Berbahaya (ft ²) | A_{comb} (ft ²) |
|----|-------------|--|--|-------------------------------|
| 1 | Elbow 1 | 7,89 | 20,91 | 28,80 |
| 2 | Elbow 2 | 8,59 | 22,77 | 31,37 |
| 3 | Elbow 3 | 8,38 | 22,21 | 30,59 |
| 4 | Elbow 4 | 8,26 | 21,91 | 30,18 |

4.8.4 Penentuan Konsekuensi Kegagalan

Konsekuensi kegagalan ditentukan berdasarkan luas daerah keterbakaran akibat terjadinya kebocoran. Penentuan kategori konsekuensi menggunakan tabel B-3 pada API 581 *Base Resources Document*. Kategori konsekuensi untuk masing-masing *elbow* disajikan dalam **tabel 4.27** berikut:

Tabel 4.27 Luas daerah keterbakaran dan kategori konsekuensi masing-masing *elbow section*

| No | Jenis Elbow | $A_{combination}$ Kerusakan (ft ²) | $A_{combination}$ Berbahaya (ft ²) | A_{comb} (ft ²) | Kategori Konsekuensi |
|----|-------------|--|--|-------------------------------|----------------------|
| 1 | Elbow 1 | 7,89 | 20,91 | 28,80 | B |
| 2 | Elbow 2 | 8,59 | 22,77 | 31,37 | B |
| 3 | Elbow 3 | 8,38 | 22,21 | 30,59 | B |
| 4 | Elbow 4 | 8,26 | 21,91 | 30,18 | B |

Kategori konsekuensi untuk masing-masing *elbow* diketahui dari tabel B-3 API 581 *Base Resources Document* yaitu dengan mencocokan total luas daerah frekuensi kegagalan masing-masing *elbow* dengan rentang luas daerah kerusakan yang ada pada tabel B-3 tersebut. Dari tabel diatas diketahui bahwa keempat *elbow* yang ditinjau memiliki kategori konsekuensi yang sama, yaitu kategori B.

peralatan, sehingga jumlah inspeksi yang dilakukan terhadap struktur sampai saat ini adalah sebanyak 2 kali. Kualitas inspeksi yang dilakukan terhadap peralatan kemungkinan besar termasuk salah satu dari 2 kategori ringan, yaitu kategori *poorly effective* atau *fairly effective*. Setelah didapatkan data-data berikut, maka selanjutnya adalah menentukan nilai TMSF berdasarkan tabel 9-12 API 581 *Base Resource Document*. Berikut nilai TMSF untuk masing-masing *elbow section* yang ditinjau:

Tabel 4.29 Nilai TMSF untuk masing-masing *elbow section*

| No | Jenis Elbow | Nilai TMSF | |
|----|------------------------|------------------|------------------|
| | | Poorly Effective | Fairly Effective |
| 1 | <i>Elbow Section 1</i> | 1 | 1 |
| 2 | <i>Elbow Section 2</i> | 1 | 1 |
| 3 | <i>Elbow Section 3</i> | 1 | 1 |
| 4 | <i>Elbow Section 4</i> | 1 | 1 |

Setelah mendapatkan data-data tersebut, maka selanjutnya kita dapat mengetahui nilai *likelihood category* berdasarkan tabel B-5 API 581. Berikut *likelihood category* untuk masing-masing *elbow section*:

Tabel 4.30 *Likelihood category* untuk masing-masing *elbow section*

| No | Jenis Elbow | Likelihood Category |
|----|------------------------|---------------------|
| 1 | <i>Elbow Section 1</i> | 1 |
| 2 | <i>Elbow Section 2</i> | 1 |
| 3 | <i>Elbow Section 3</i> | 1 |
| 4 | <i>Elbow Section 4</i> | 1 |

Dari tabel 4.30 dapat disimpulkan bahwa keempat *elbow section* yang ditinjau berada pada *likelihood category* yang sama yaitu kategori 1.

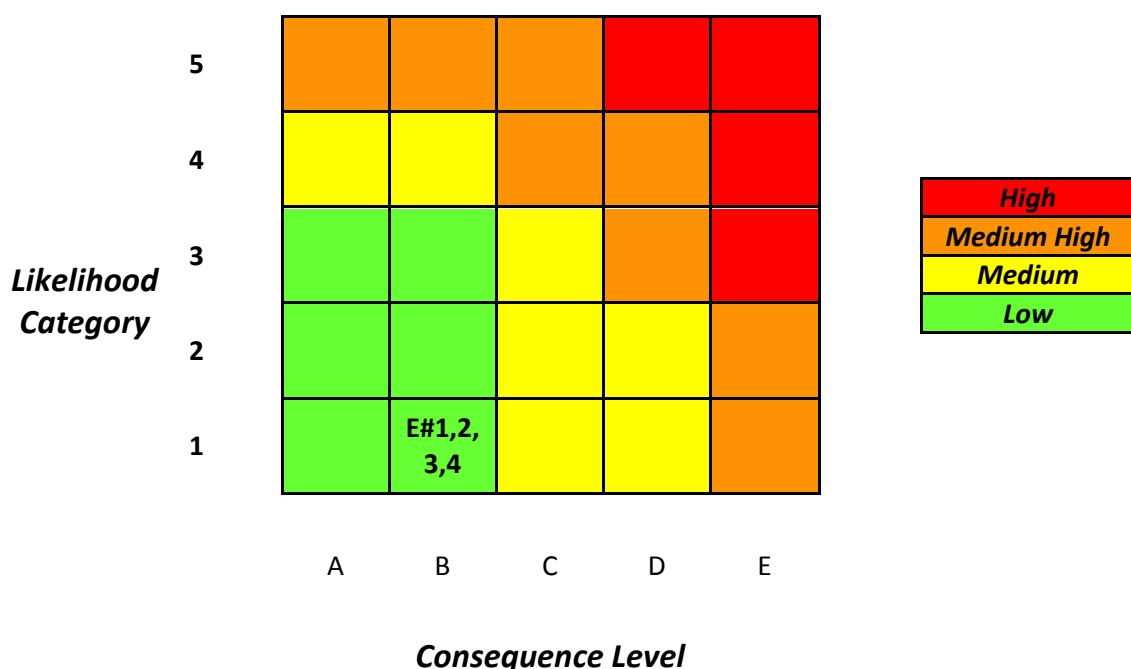
4.10 Penentuan Tingkat Risiko Semi-Kuantitatif

Tingkat risiko untuk metode semi-kuantitatif RBI 581 merupakan kombinasi dari kategori kemungkinan kegagalan (*likelihood category*) dan tingkat konsekuensi

kegagalan (*consequence level*). Tingkat risiko yang didapatkan adalah sebagai berikut:

Tabel 4.31 Rangkuman *Consequence level* dan *likelihood category* untuk masing-masing *elbow section*

| No | Jenis Elbow | Consequence Level | Likelihood Category |
|----|-----------------|-------------------|---------------------|
| 1 | Elbow Section 1 | B | 1 |
| 2 | Elbow Section 2 | B | 1 |
| 3 | Elbow Section 3 | B | 1 |
| 4 | Elbow Section 4 | B | 1 |



Gambar 4.17 Matriks risiko untuk seluruh *elbow section* yang ditinjau

Dari gambar 4.17 dapat disimpulkan bahwa keempat *elbow section* yang ditinjau memiliki tingkatan risiko yang sama yaitu tingkatan risiko rendah (*low risk*).

4.11 Perencanaan Inspeksi

Manajemen inspeksi menggunakan metode RBI memungkinkan sebuah perusahaan untuk mengelola biaya inspeksi secara lebih efektif dan efisien. Dengan mengetahui tingkat risiko dari masing-masing peralatan (*equipment*), maka perusahaan dapat memfokuskan inspeksi pada peralatan-peralatan yang memiliki tingkat risiko tinggi. Sebaliknya, perusahaan juga dapat mereduksi biaya inspeksi untuk peralatan dengan tingkat risiko rendah. Dengan demikian, maka biaya inspeksi yang tersedia akan dapat terkelola dengan efektif dan efisien. Berdasarkan analisa risiko yang telah dilakukan pada *elbow section* milik PT. Pertamina EP *Field Sangasanga*, didapatkan hasil berupa tingkat risiko masing-masing *elbow section* yang dapat dijadikan pertimbangan oleh perusahaan yang bersangkutan dalam penentuan manajemen inspeksi yang paling efektif dan efisien.

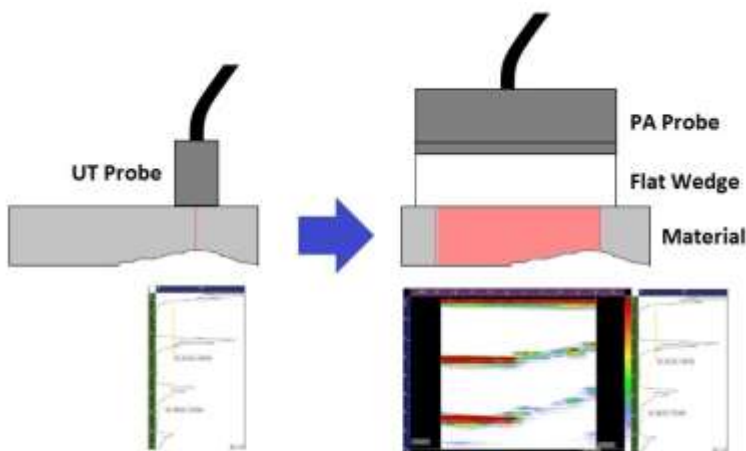
Dalam metode RBI terdapat aturan mengenai integritas inspeksi bagi peralatan statis seperti jaringan pipa yang dikaji dalam penelitian ini. Berikut disajikan tabel integritas inspeksi dalam etode RBI:

Tabel 4.32 Integritas inspeksi pada peralatan statis RBI

| No | Jenis Konsekuensi | Jenis Inspeksi |
|----|-------------------|--|
| 1 | Tinggi | <i>Internal Entry</i> |
| | | <i>External NDT</i> |
| | | <i>Corrosion Monitoring</i> |
| 2 | Menengah | <i>Internal entry</i> |
| | | <i>External NDT with Process</i> dan <i>Corrosion Monitoring</i> |
| | | <i>Limited Internal Inspection with</i> <i>Process Monitoring</i> |
| 3 | Rendah | <i>Limited Internal Inspection</i> |
| | | <i>External Inspection</i> |
| | | <i>Process Review</i> |

Seperti yang dapat dilihat dalam tabel 4.32 diatas, terdapat 3 jenis inspeksi yang bisa diterapkan untuk peralatan dengan kategori konsekuensi rendah. Penentuan jenis inspeksi yang akan diterapkan pada sebuah peralatan harus mempertimbangkan faktor biaya dan kualitas hasil inspeksi. Karena alasan tersebut

maka jenis inspeksi yang disarankan adalah jenis *eksternal inspection*. Jenis *external inspection* yang umum dilakukan untuk mendeteksi ketebalan jaringan pipa adalah metode *ultrasonic straight beam testing* oleh karenanya metode inspeksi ini sangat disarankan untuk kasus penipisan ketebalan peralatan akibat fenomena korosi-erosi internal.



Gambar 4.18 Pengukuran ketebalan pelat menggunakan metode *ultrasonic testing* (*sumber:* <http://torngats.ca>)

Tabel 4.33 Metode inspeksi, durasi inspeksi serta luas area inspeksi berdasarkan API 581 *Base resource Document*

| No | Likelihood Category | Consequence Level | Metode Inspksi | Frekuensi Inspksi | Luas Area inspeksi |
|----|---------------------|-------------------|----------------|-------------------|--------------------|
| 1 | Tinggi | Tinggi | U.T | per-12 Bulan | Penuh |
| 2 | Tinggi | Menengah | U.T | per-12 Bulan | Parsial |
| 3 | Tinggi | Rendah | U.T | per-12 Bulan | Kecil |
| 4 | menengah | Tinggi | U.T | per-24 bulan | Penuh |
| 5 | menengah | Menengah | U.T | per-30 bulan | Parsial |
| 6 | Menengah | Rendah | U.T | per-30 bulan | Kecil |
| 7 | Rendah | Tinggi | U.T | per-30 bulan | Penuh |
| 8 | Rendah | Menengah | U.T | per-36 bulan | Parsial |
| 9 | Rendah | Rendah | U.T | per-48 bulan | Kecil |

Berikut disajikan rangkuman perencanaan inspeksi untuk keempat *elbow section* yang ditinjau:

Tabel 4.34 Perencanaan inspeksi untuk keempat *elbow section* yang dievaluasi

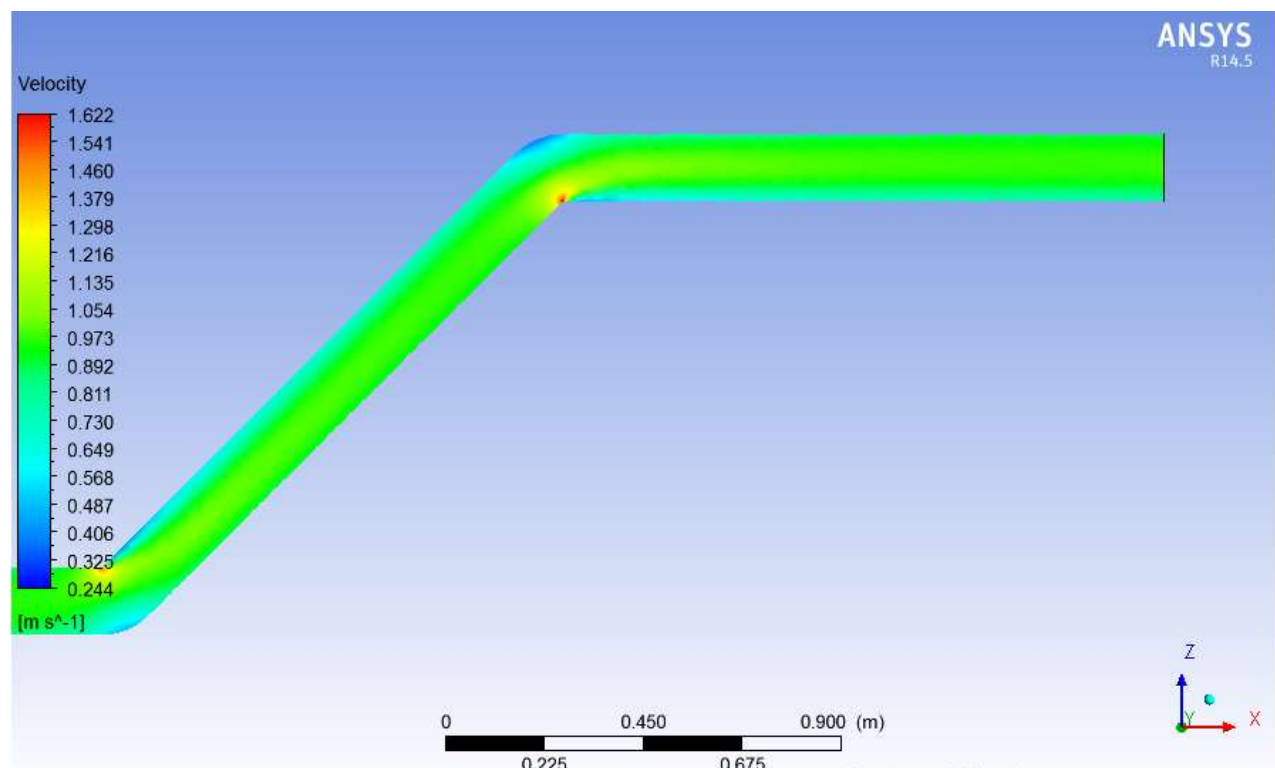
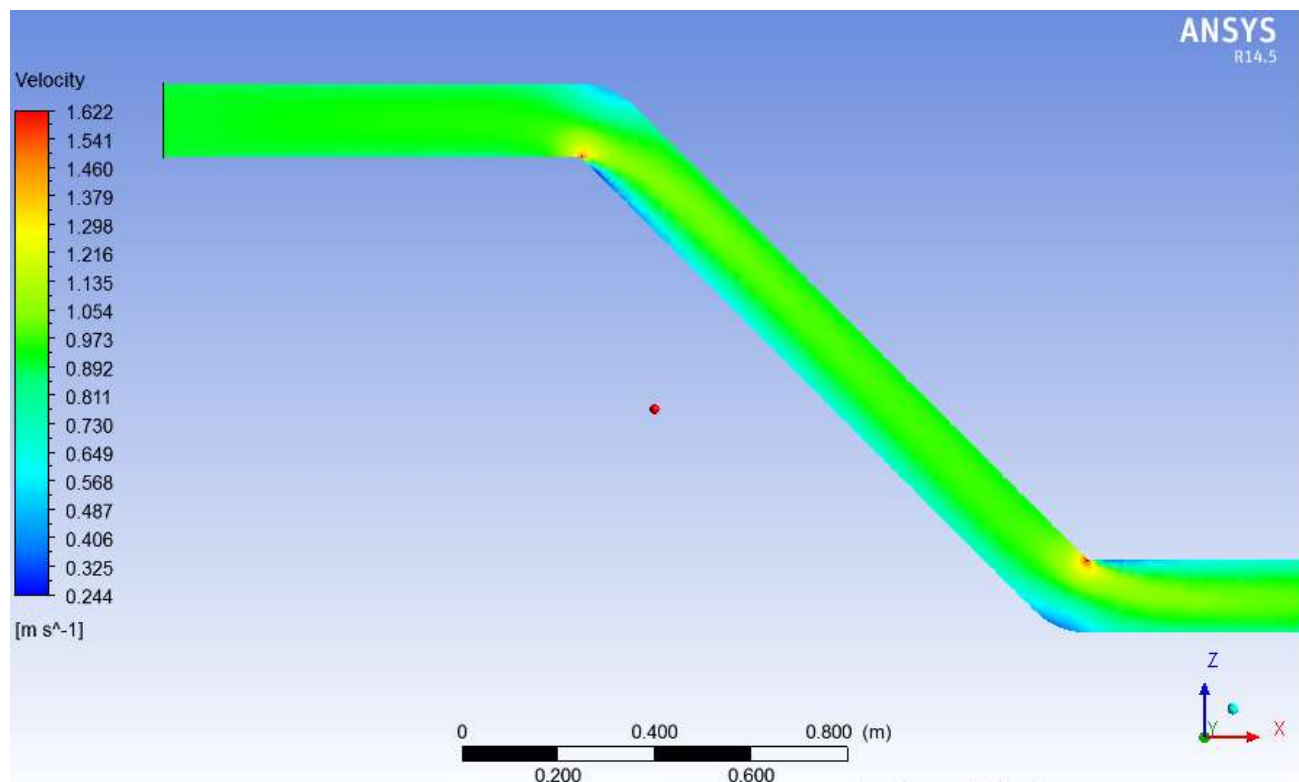
| No | Jenis <i>Elbow</i> | Metode Inspeksi | Frekuensi Inspeksi | Luas Area Inspeksi |
|----|------------------------|-----------------|--------------------|--------------------|
| 1 | <i>Elbow Section 1</i> | U.T | per-48 bulan | Kecil |
| 2 | <i>Elbow Section 2</i> | U.T | per-48 bulan | Kecil |
| 3 | <i>Elbow Section 3</i> | U.T | per-48 bulan | Kecil |
| 4 | <i>Elbow Section 4</i> | U.T | per-48 bulan | Kecil |

Berdasarkan tabel 4.34 dapat disimpulkan bahwa untuk peralatan dengan *likelihood category* rendah dan *consequence level* rendah menggunakan metode inspeksi ultrasonic testing (U.T) dengan frekuensi inspeksi sebanyak 48 bulan (4 tahun) sekali dan luas area inspeksi kecil.

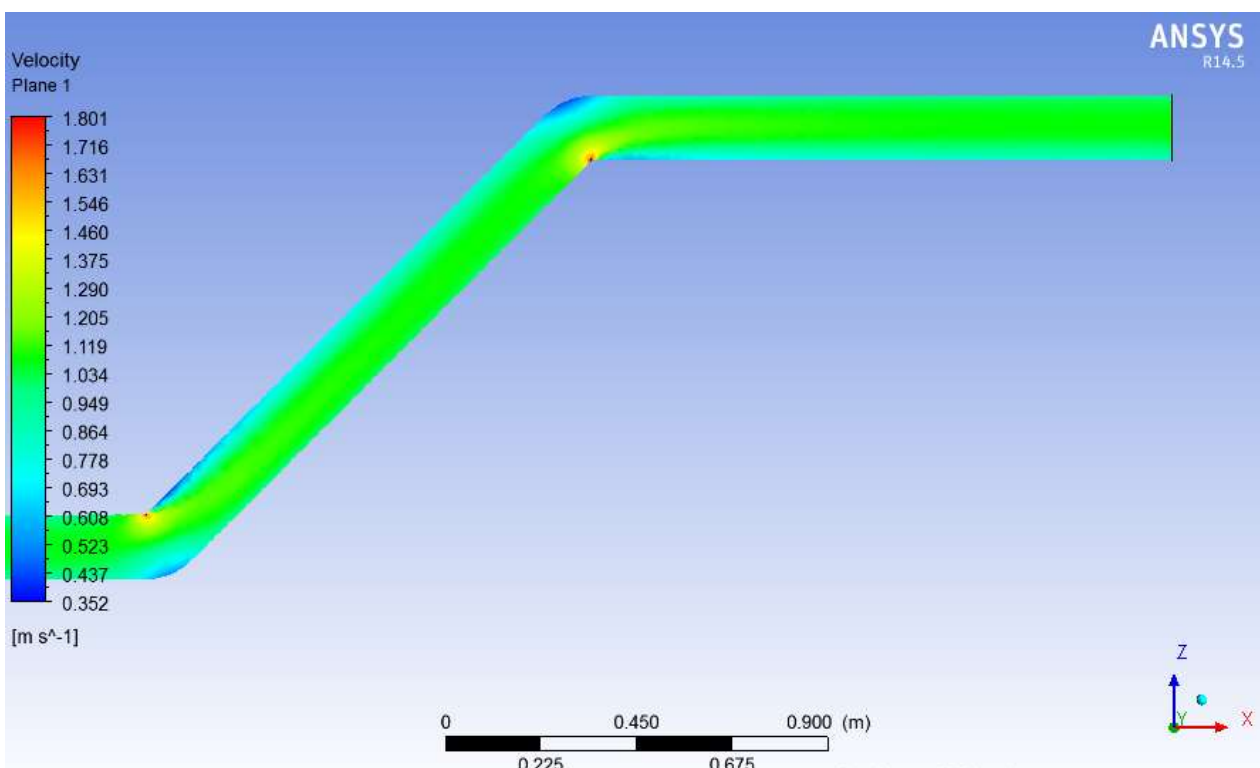
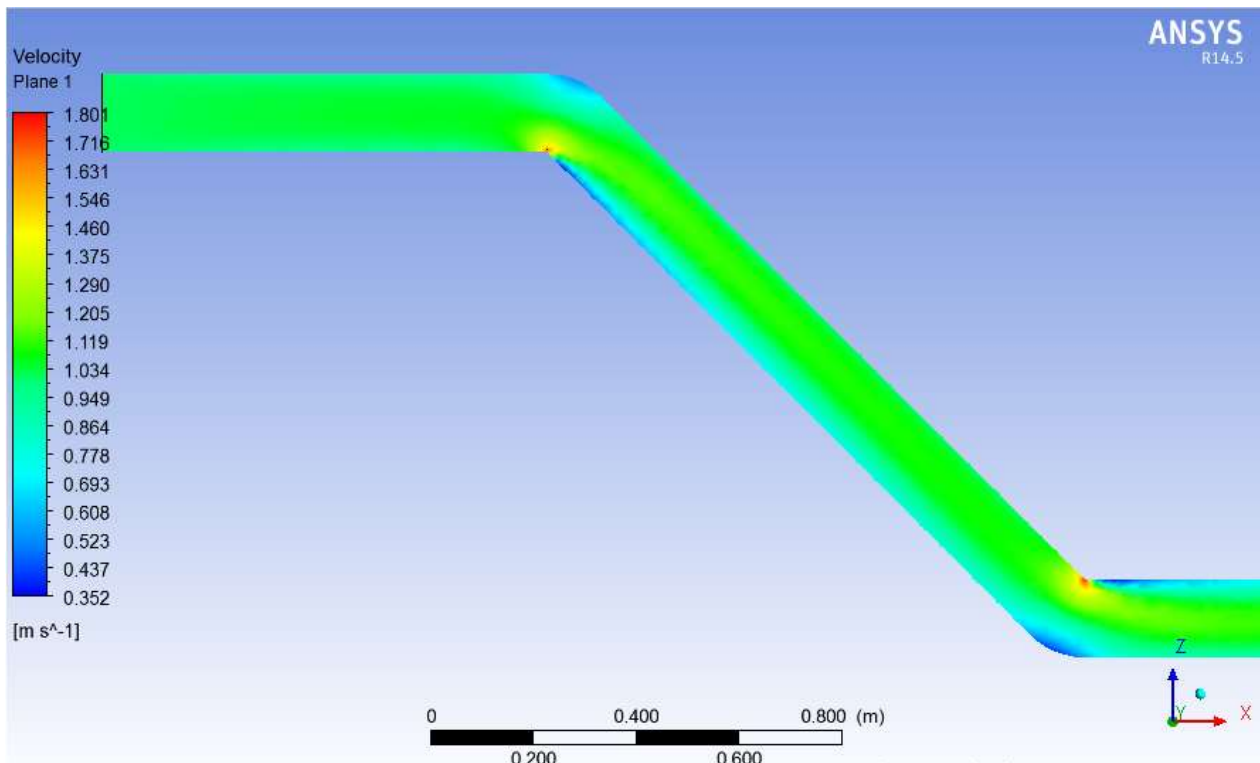
Lampiran A

Output Pemodelan CFD Pada *Software ANSYS 14.5*

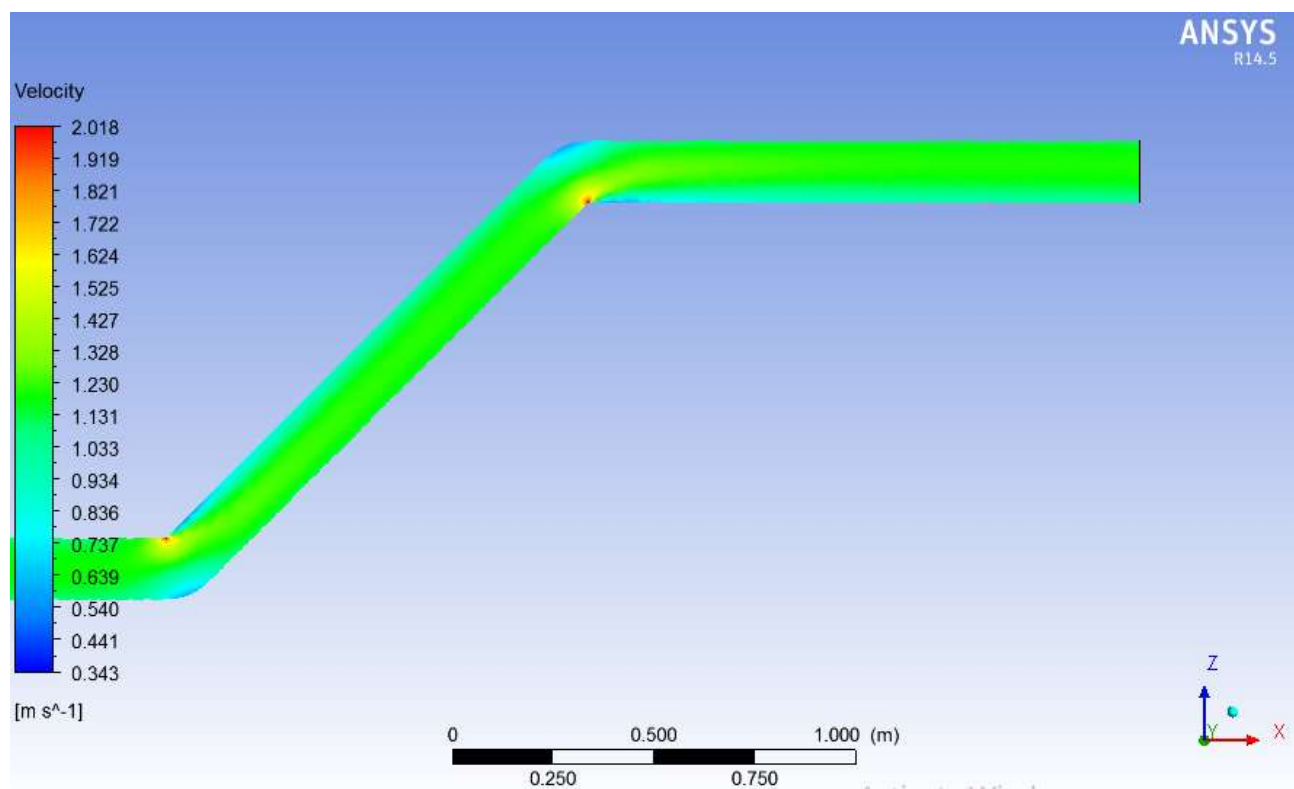
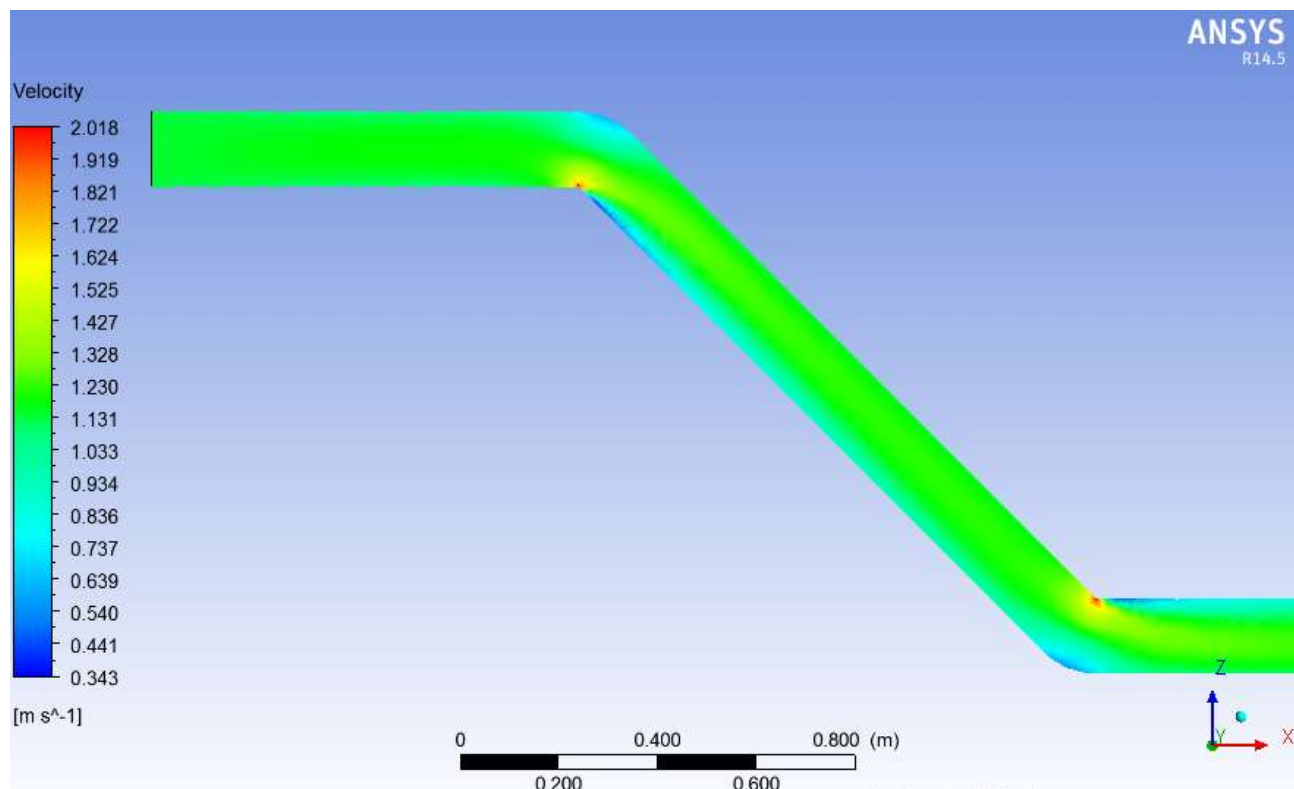
Kecepatan rata-rata fluida (ft/s) = 3,21
Tekanan operasional fluida (psi) = 2400
Temperatur operasional fluida ($^{\circ}$ F) = 110



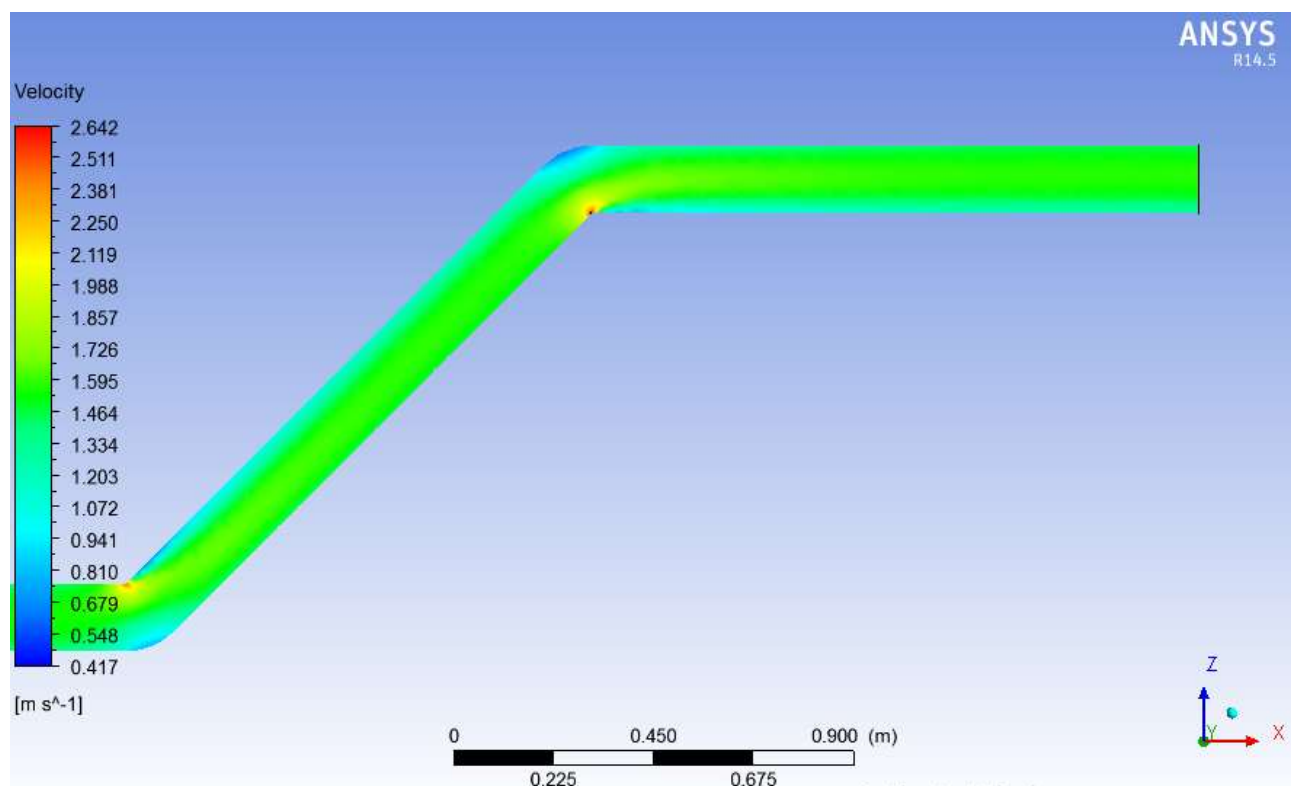
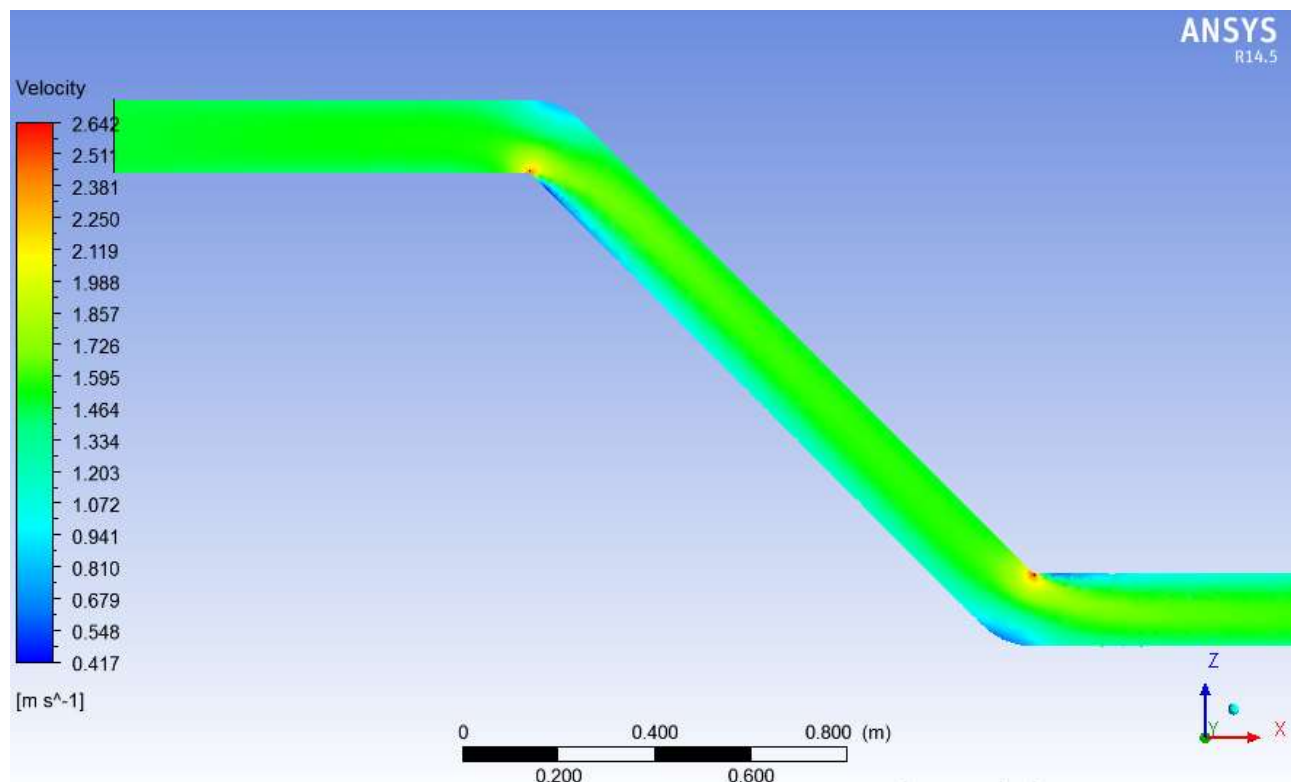
Kecepatan rata-rata fluida (ft/s) = 3,34
Tekanan operasional fluida (psi) = 2420
Temperatur operasional fluida ($^{\circ}$ F) = 113,68



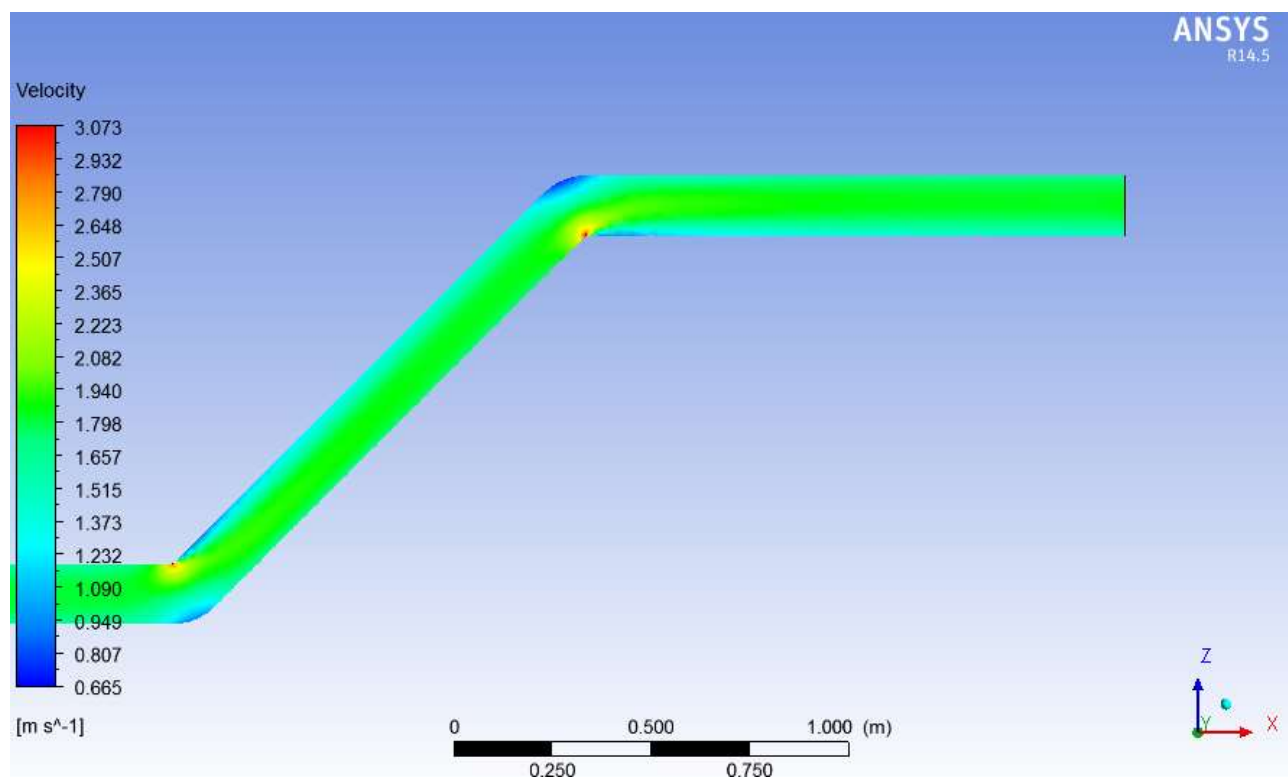
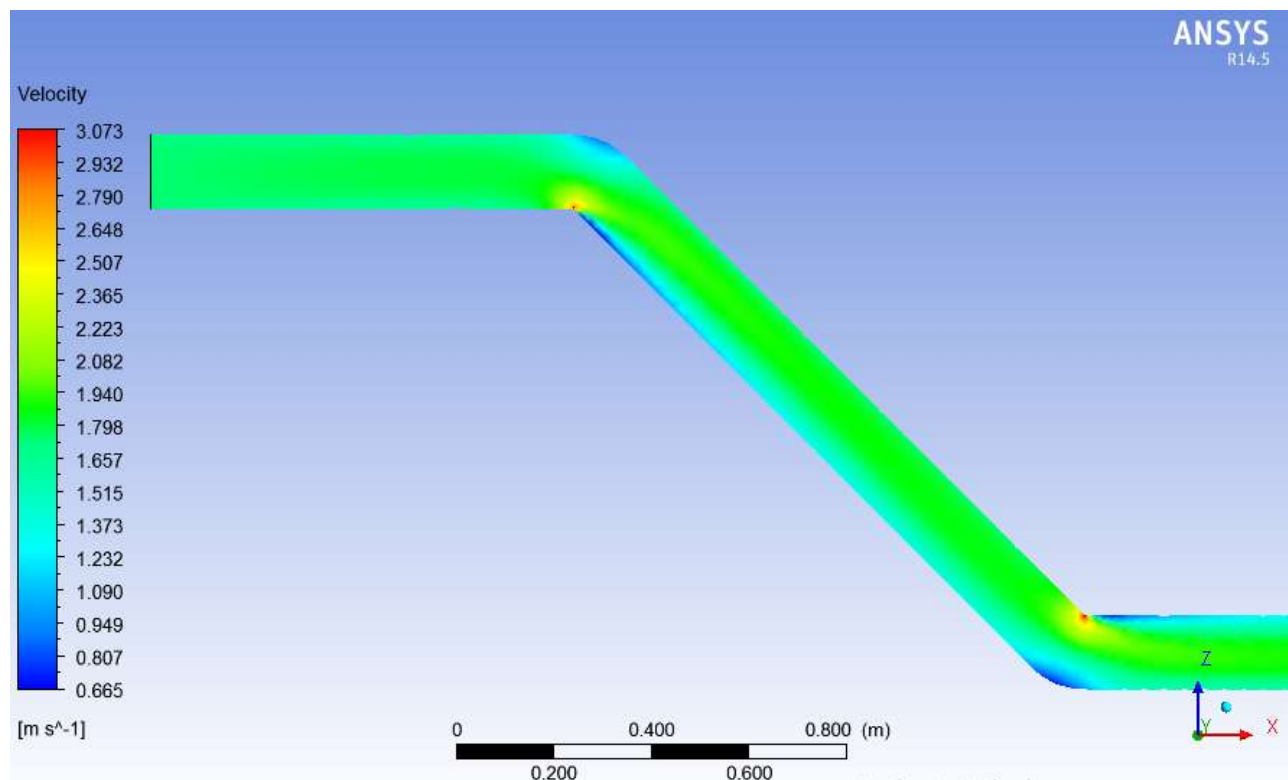
Kecepatan rata-rata fluida (ft/s) = 3,76
Tekanan operasional fluida (psi) = 2478
Temperatur operasional fluida ($^{\circ}$ F) = 114,99



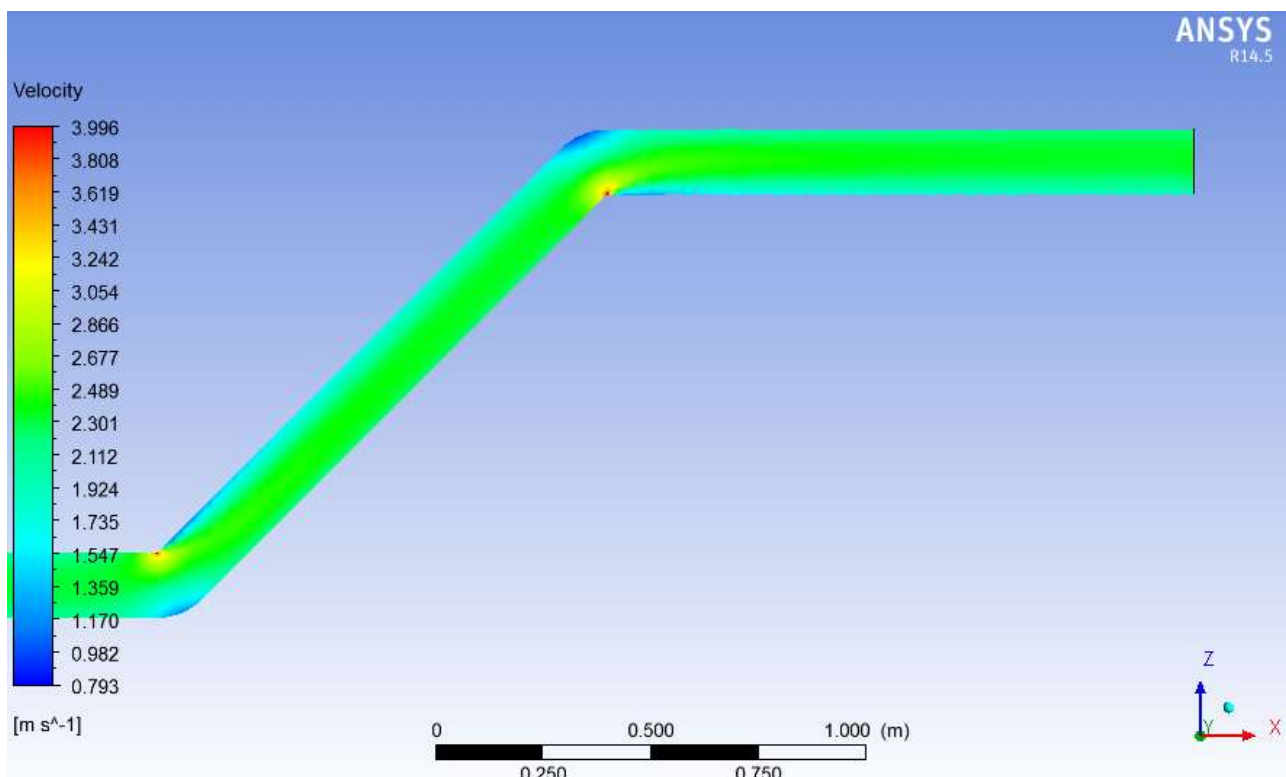
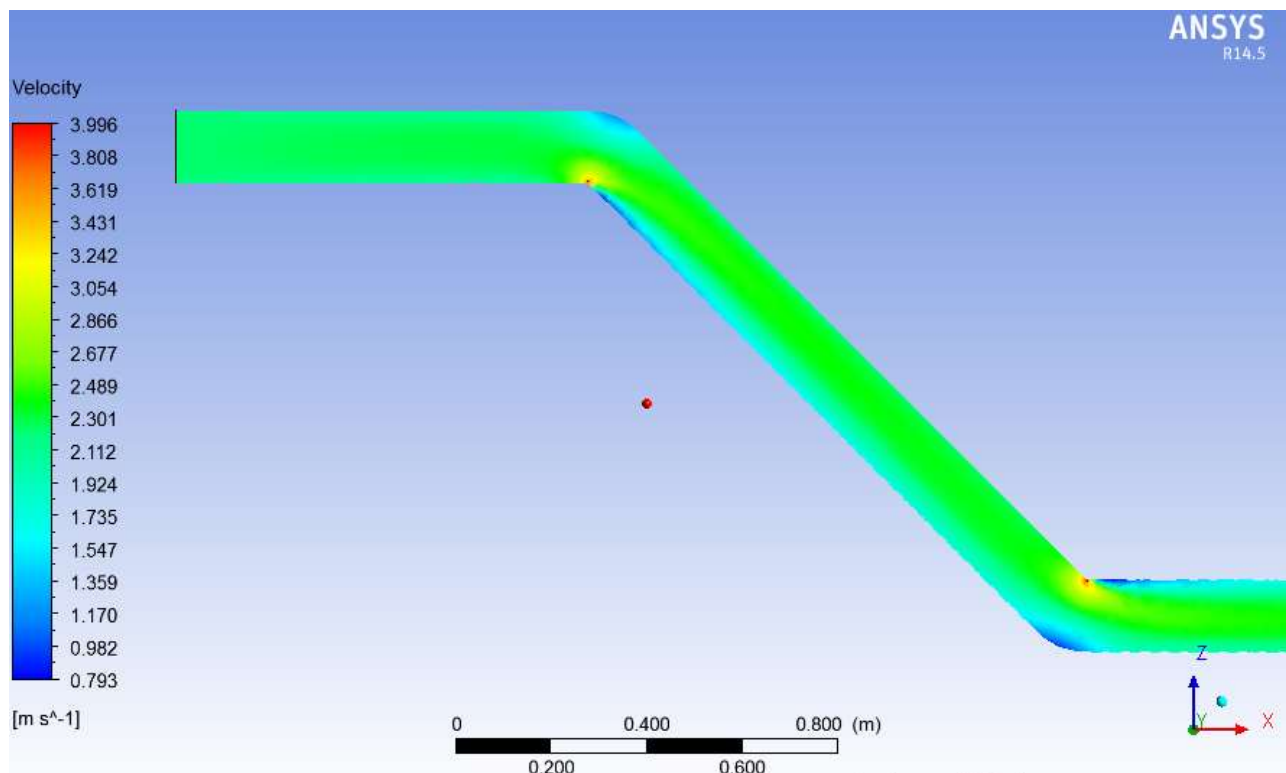
Kecepatan rata-rata fluida (ft/s) = 4,88
Tekanan operasional fluida (psi) = 2512
Temperatur operasional fluida ($^{\circ}$ F) = 115,77



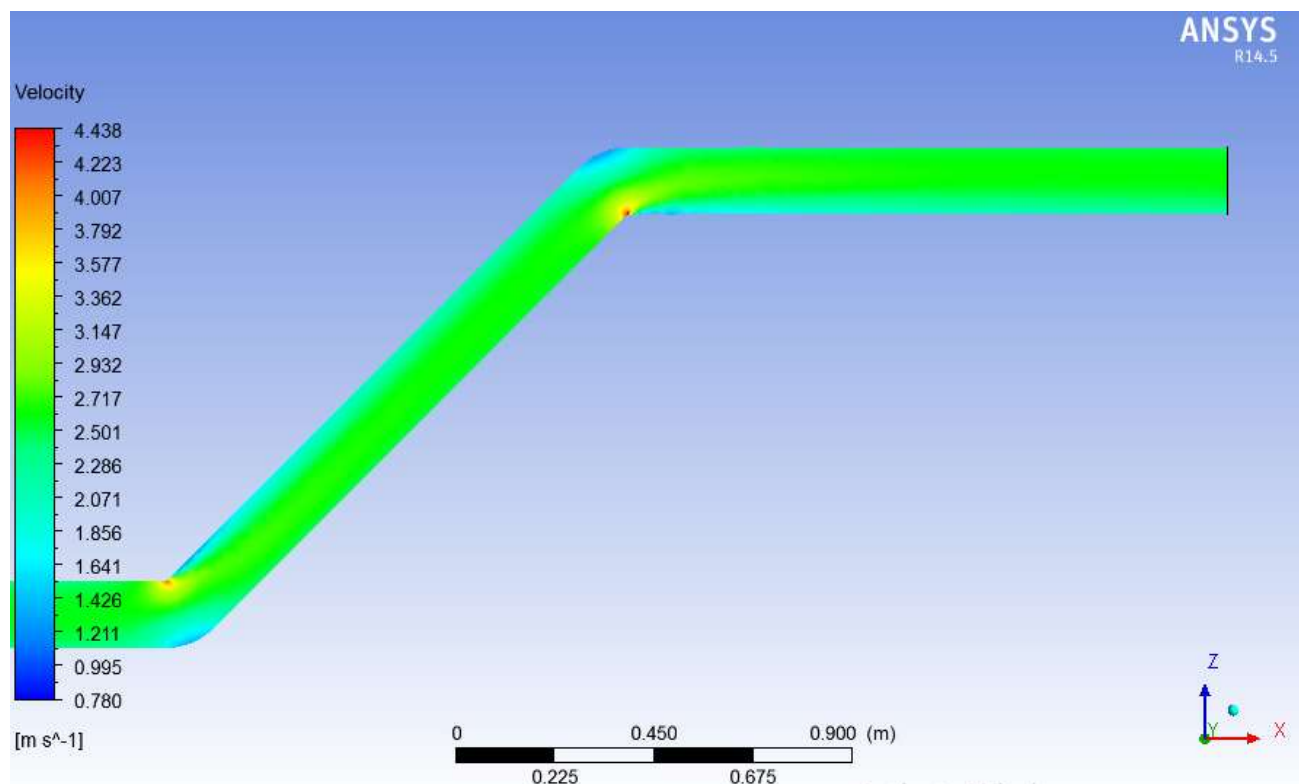
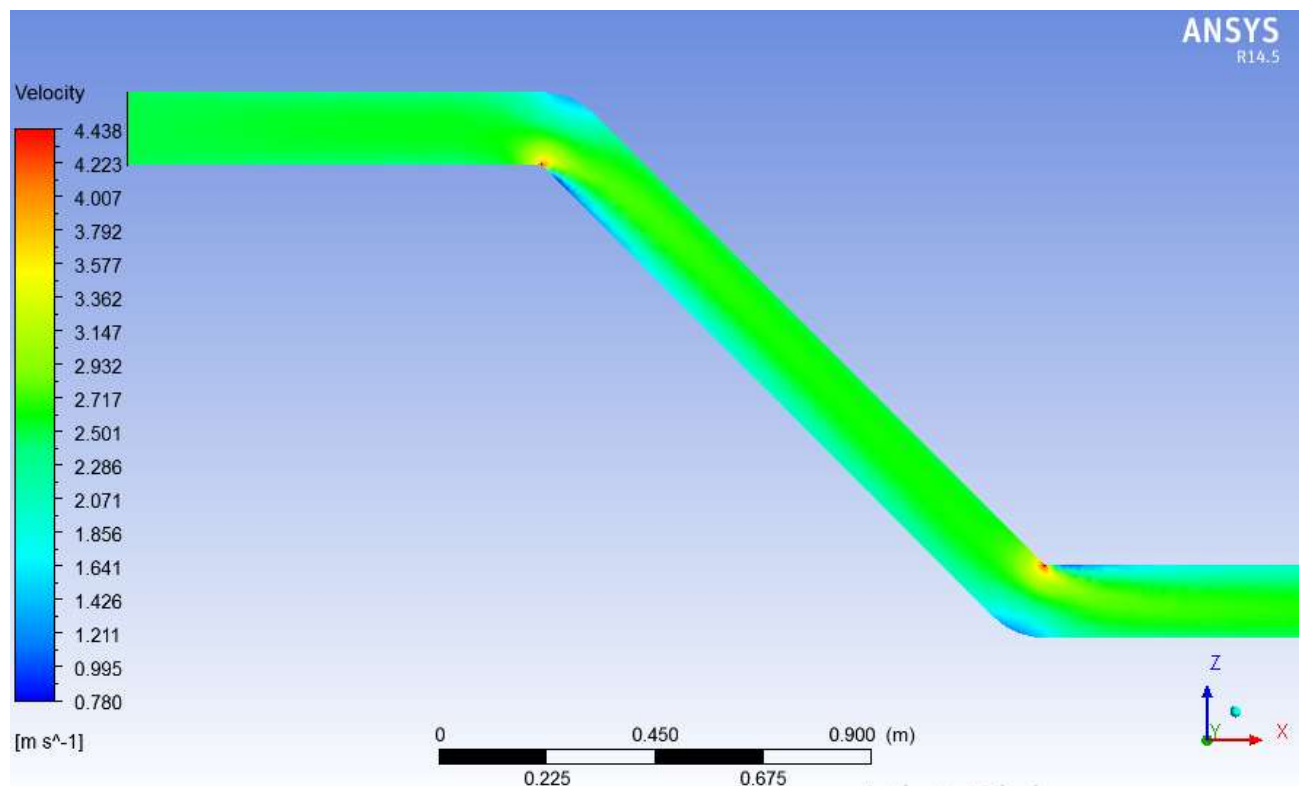
Kecepatan rata-rata fluida (ft/s) = 5,73
Tekanan operasional fluida (psi) = 2580
Temperatur operasional fluida ($^{\circ}$ F) = 116,19



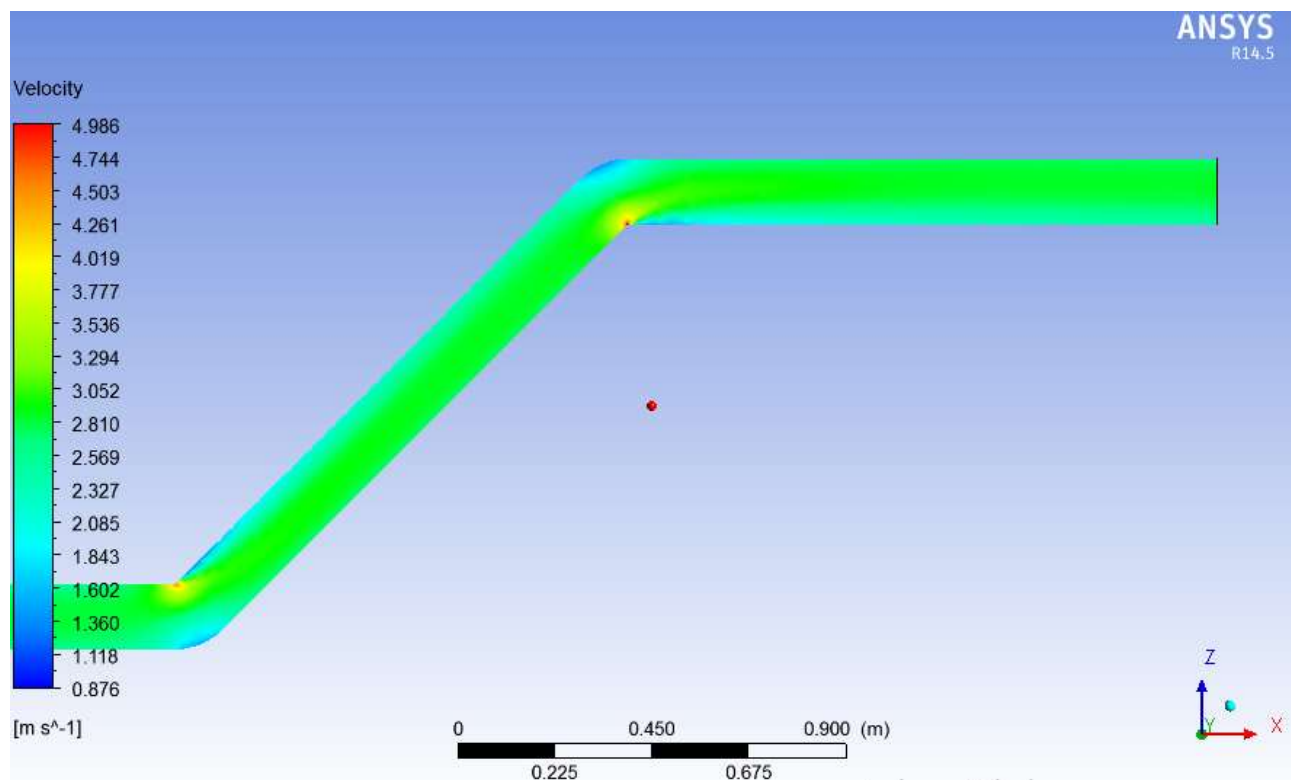
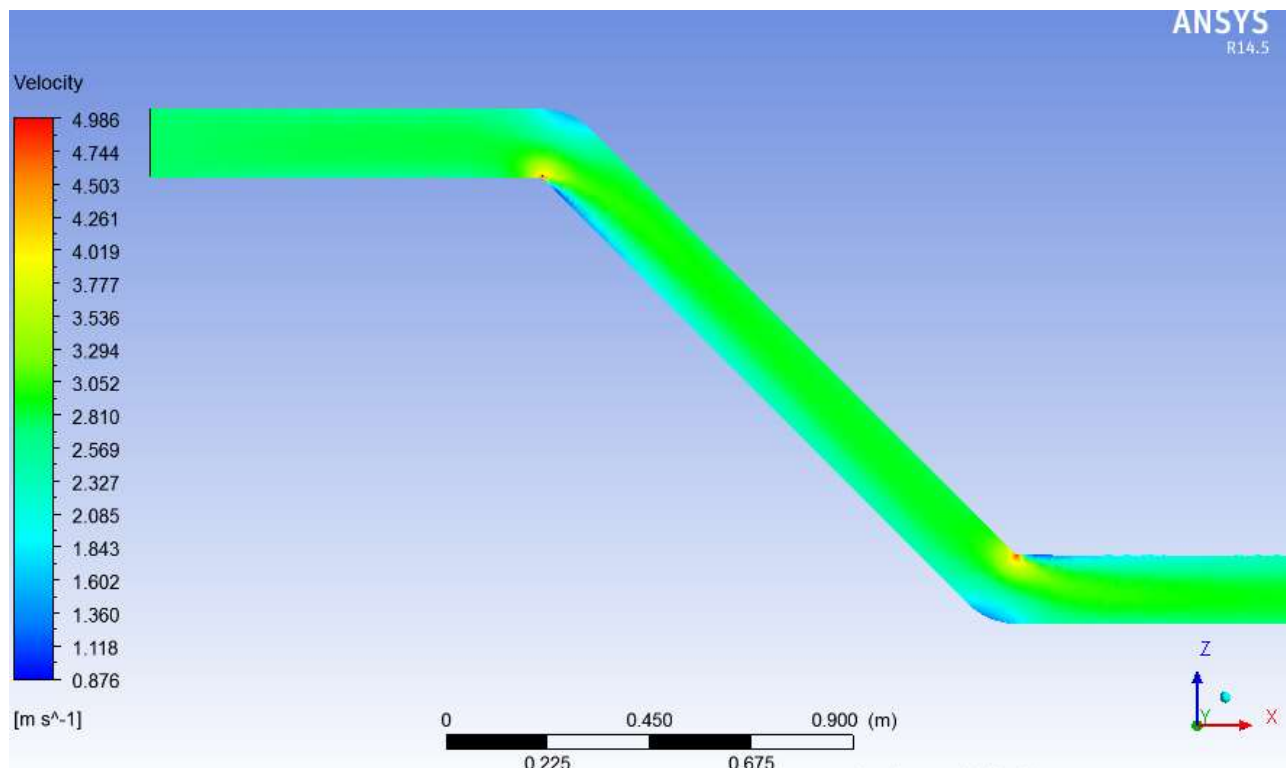
Kecepatan rata-rata fluida (ft/s) = 7,33
Tekanan operasional fluida (psi) = 2686
Temperatur operasional fluida ($^{\circ}$ F) = 124,22



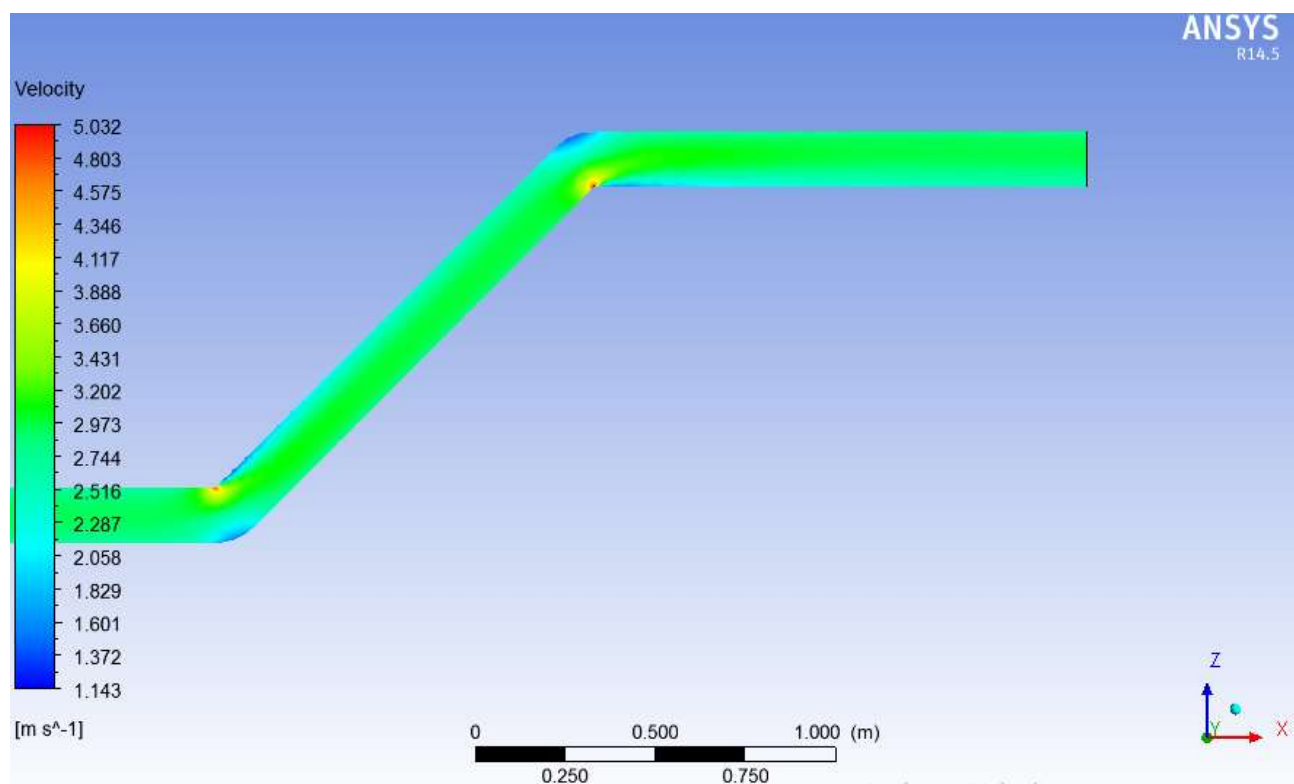
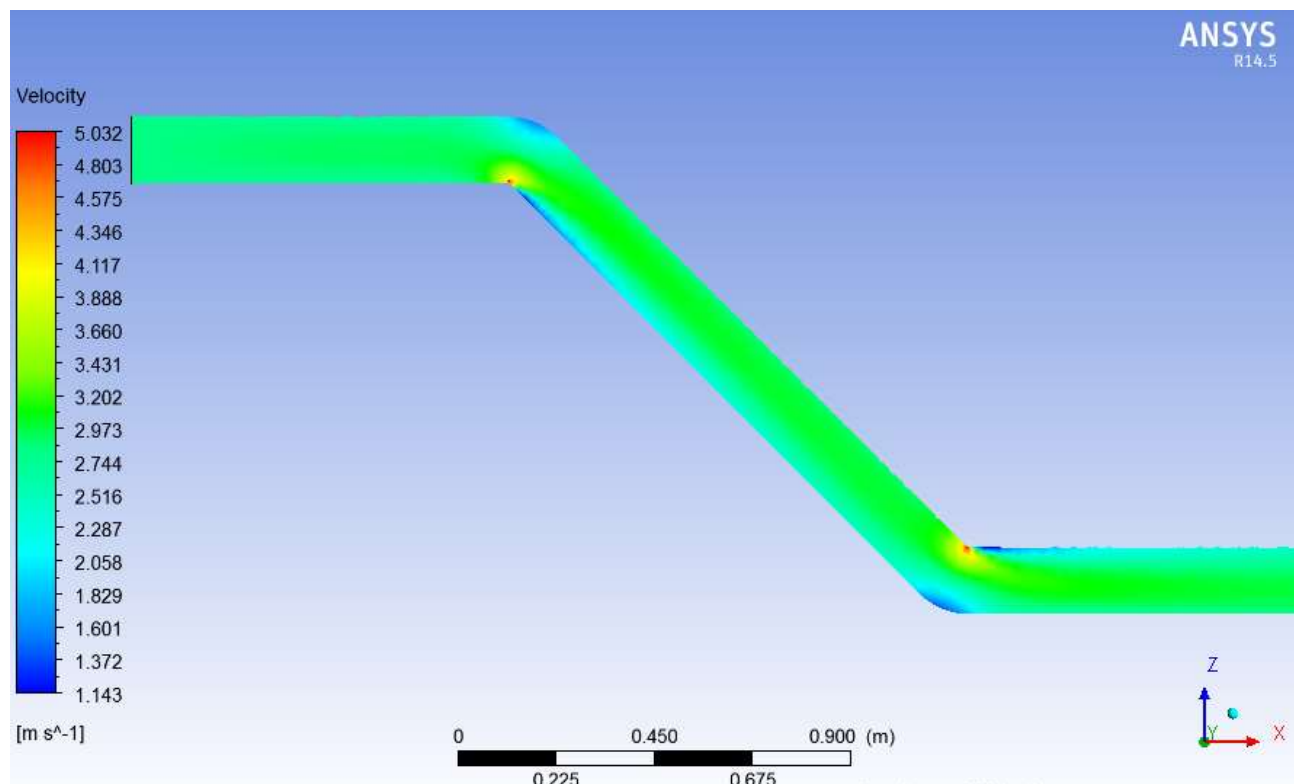
Kecepatan rata-rata fluida (ft/s) = 8,20
Tekanan operasional fluida (psi) = 2734
Temperatur operasional fluida ($^{\circ}$ F) = 127,11



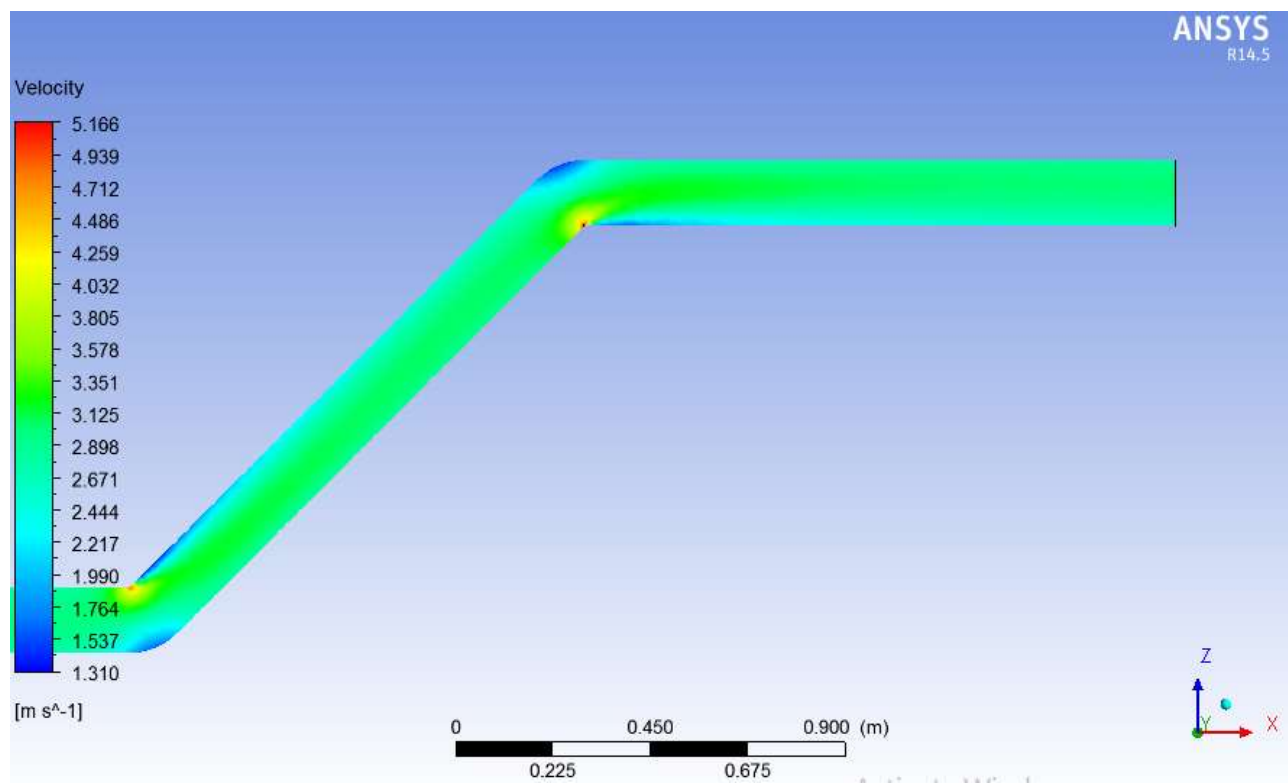
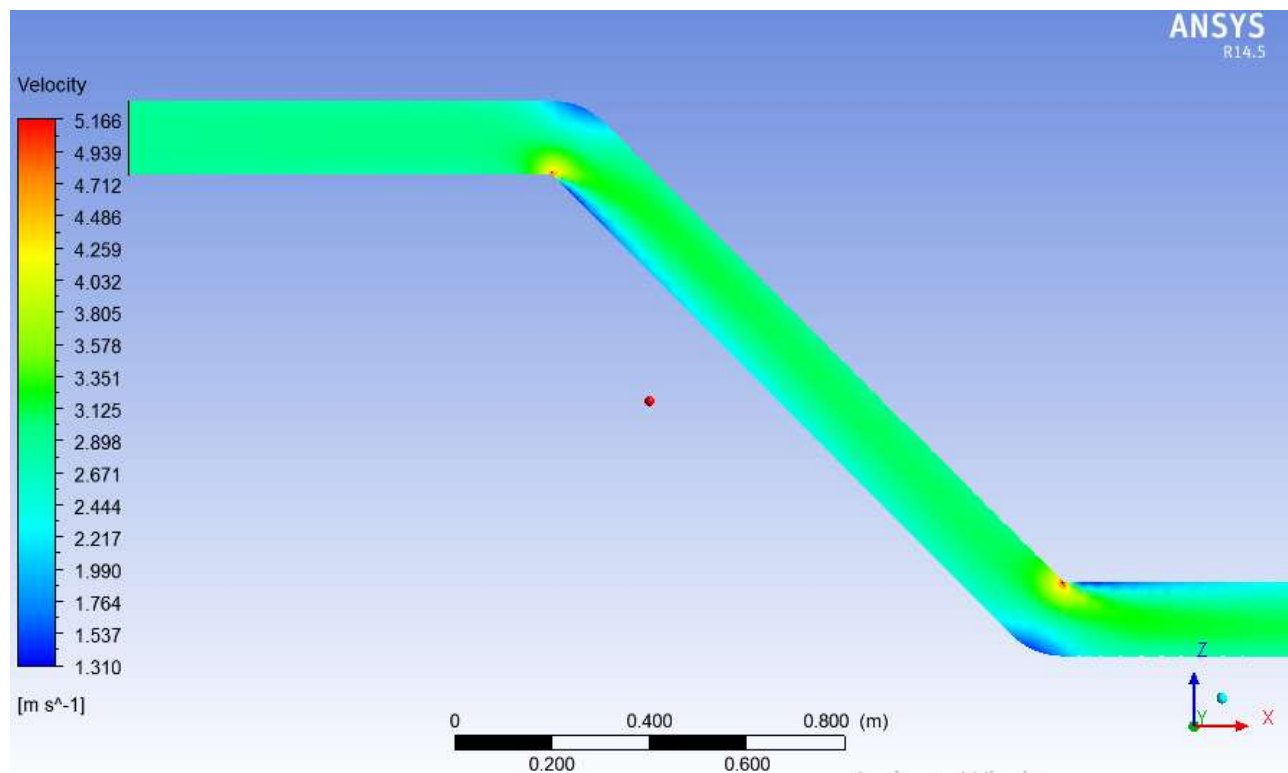
Kecepatan rata-rata fluida (ft/s) = 9,01
Tekanan operasional fluida (psi) = 2809
Temperatur operasional fluida ($^{\circ}$ F) = 127,76



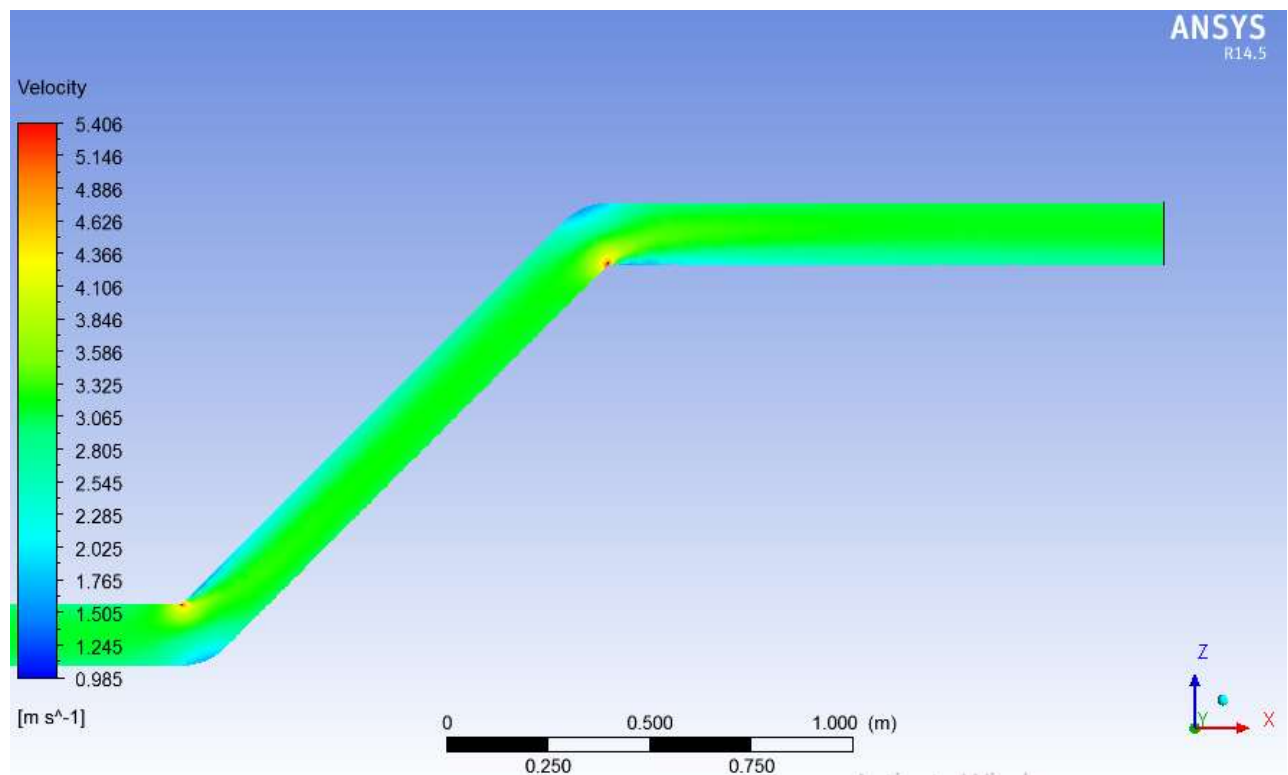
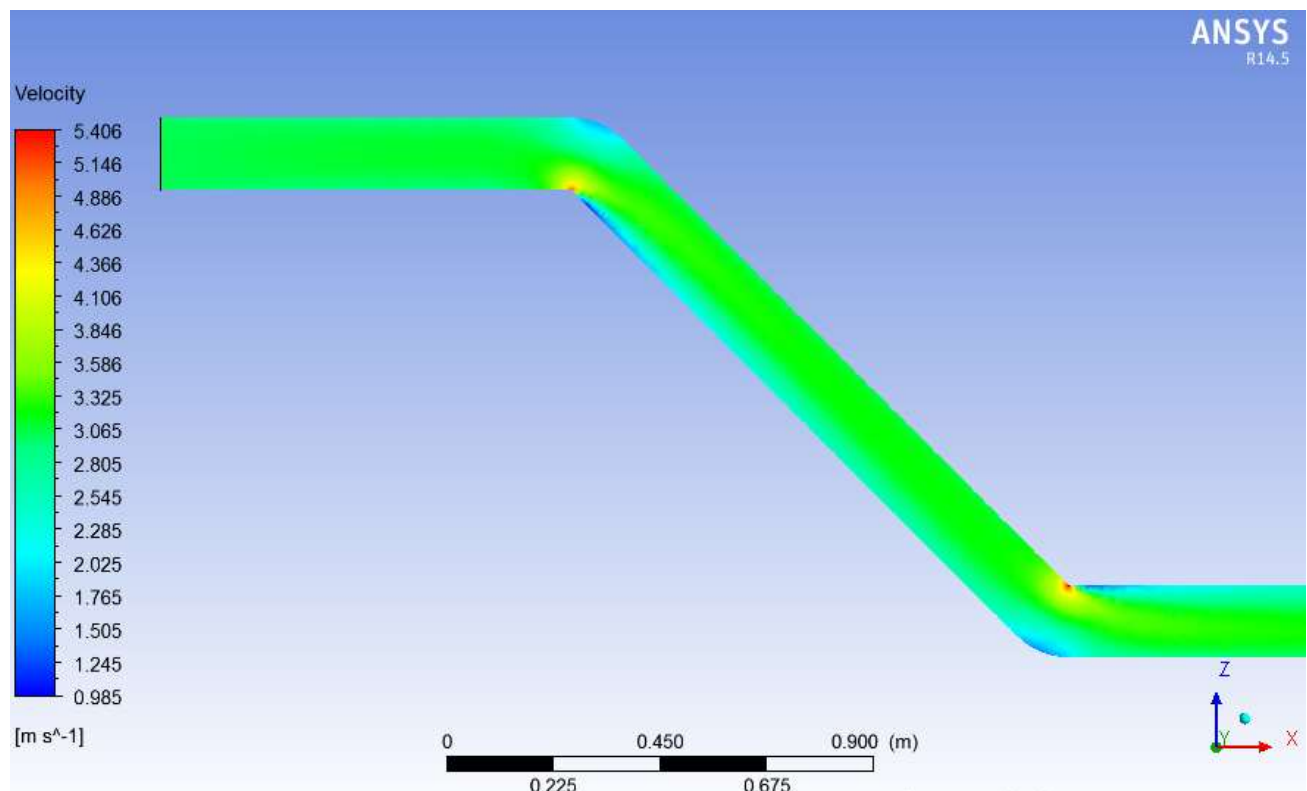
Kecepatan rata-rata fluida (ft/s) = 9,34
Tekanan operasional fluida (psi) = 2856
Temperatur operasional fluida ($^{\circ}$ F) = 131,09



Kecepatan rata-rata fluida (ft/s) = 9,56
Tekanan operasional fluida (psi) = 2901
Temperatur operasional fluida ($^{\circ}$ F) = 131,73



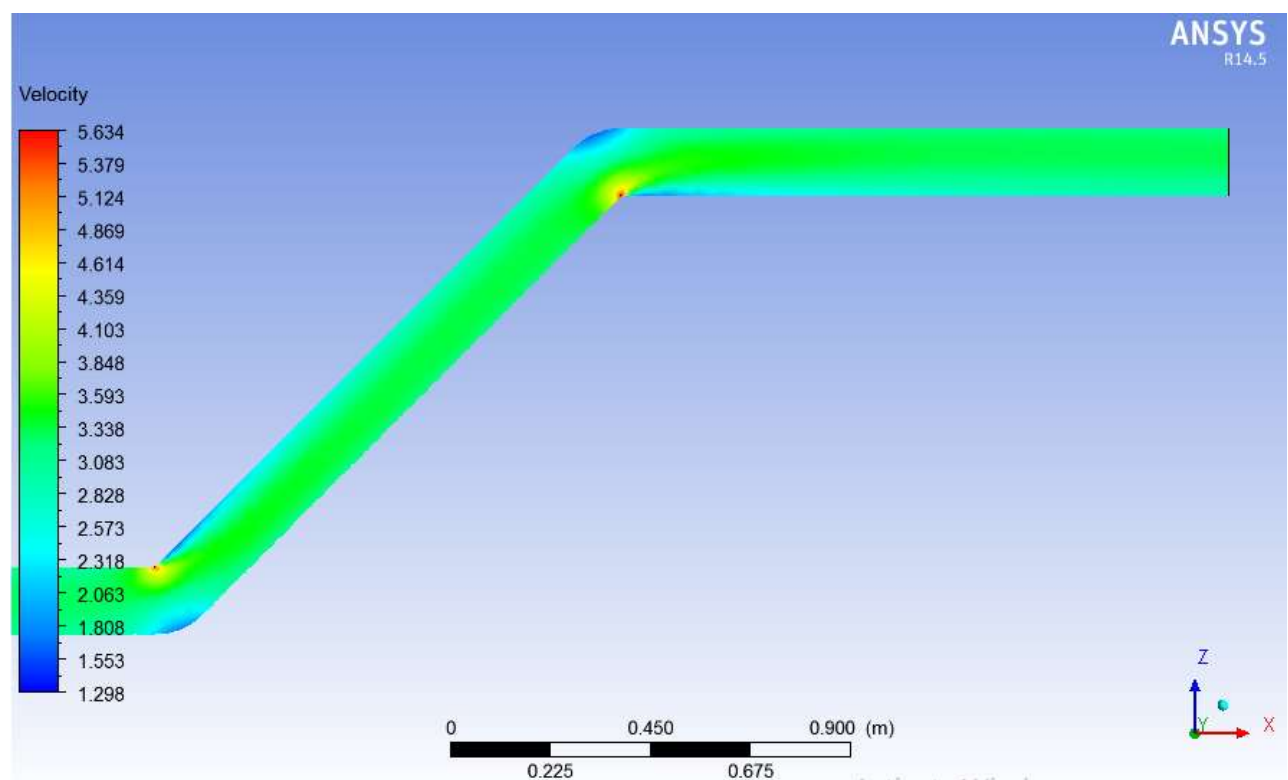
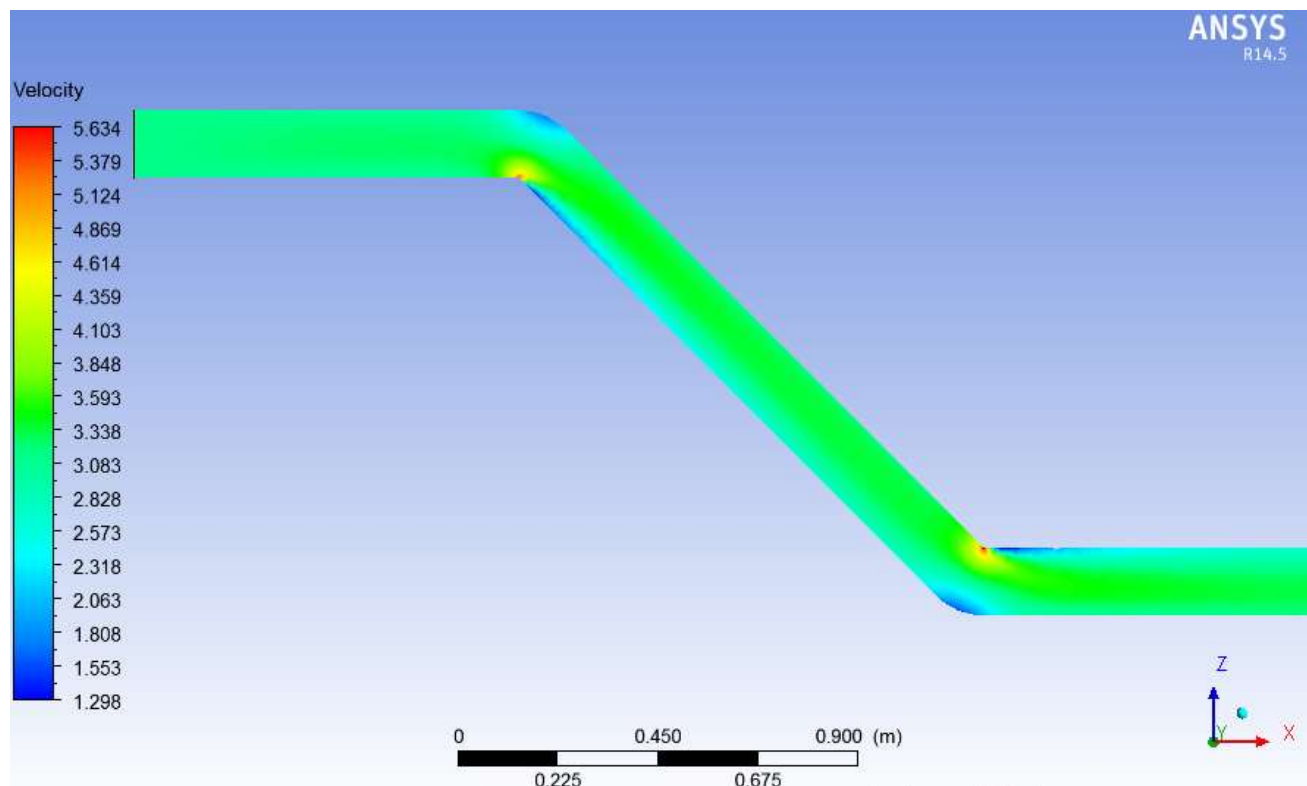
Kecepatan rata-rata fluida (ft/s) = 9,97
Tekanan operasional fluida (psi) = 2955
Temperatur operasional fluida ($^{\circ}$ F) = 133,39



Kecepatan rata-rata fluida (ft/s) = 10,45

Tekanan operasional fluida (psi) = 3025

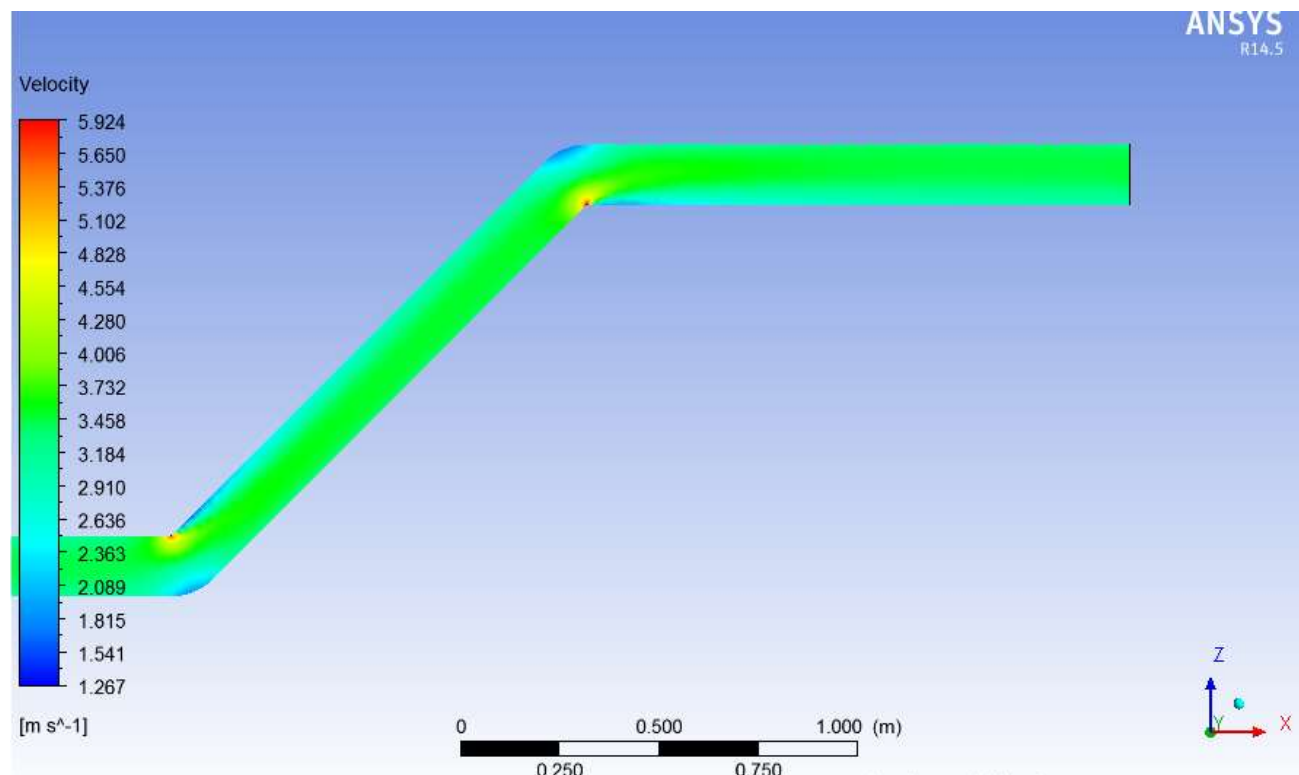
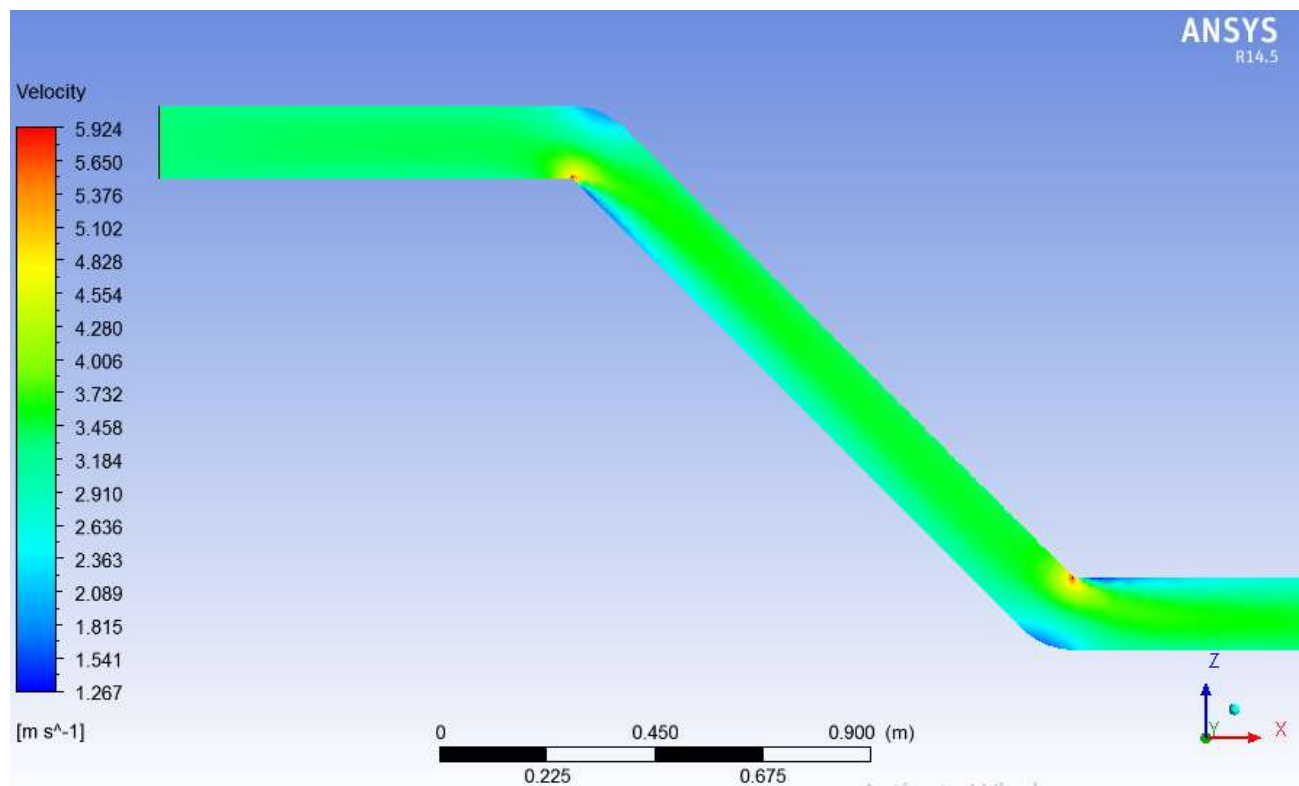
Temperatur operasional fluida ($^{\circ}$ F) = 133,52



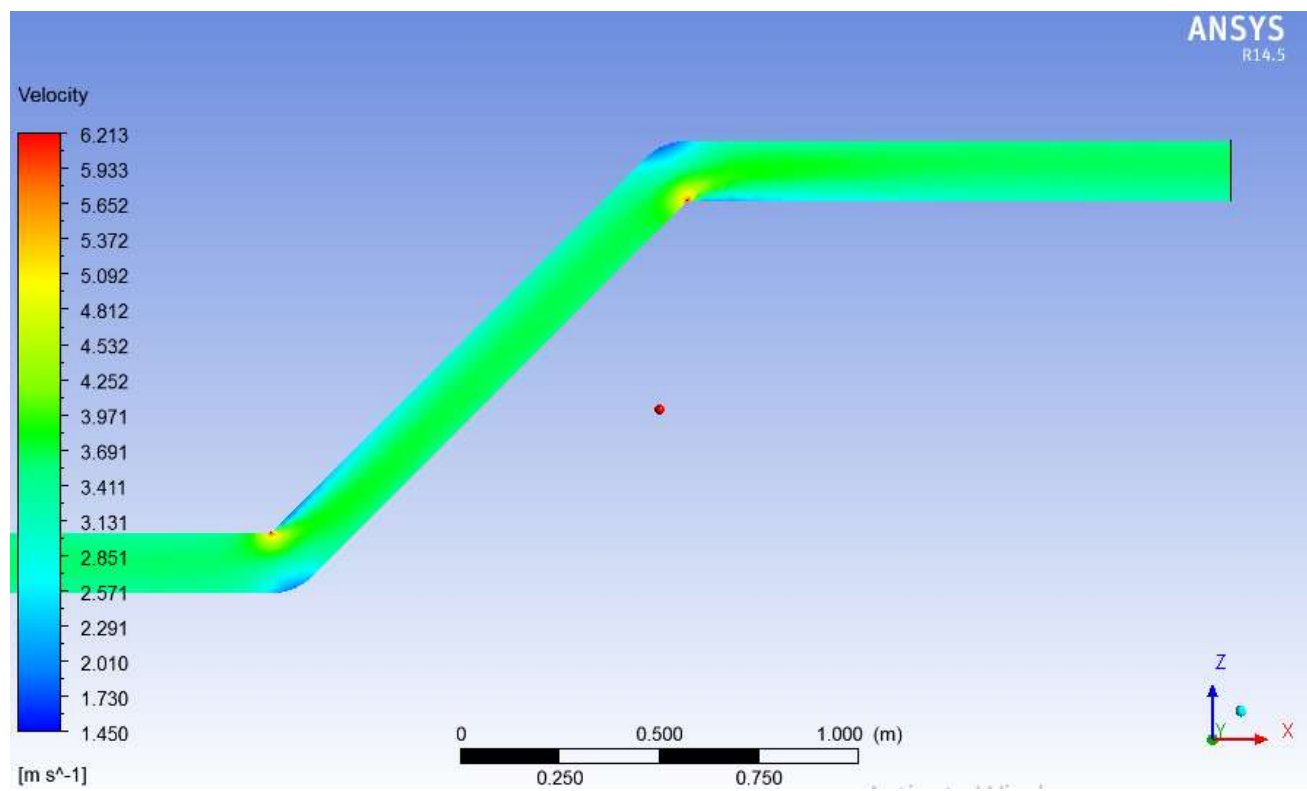
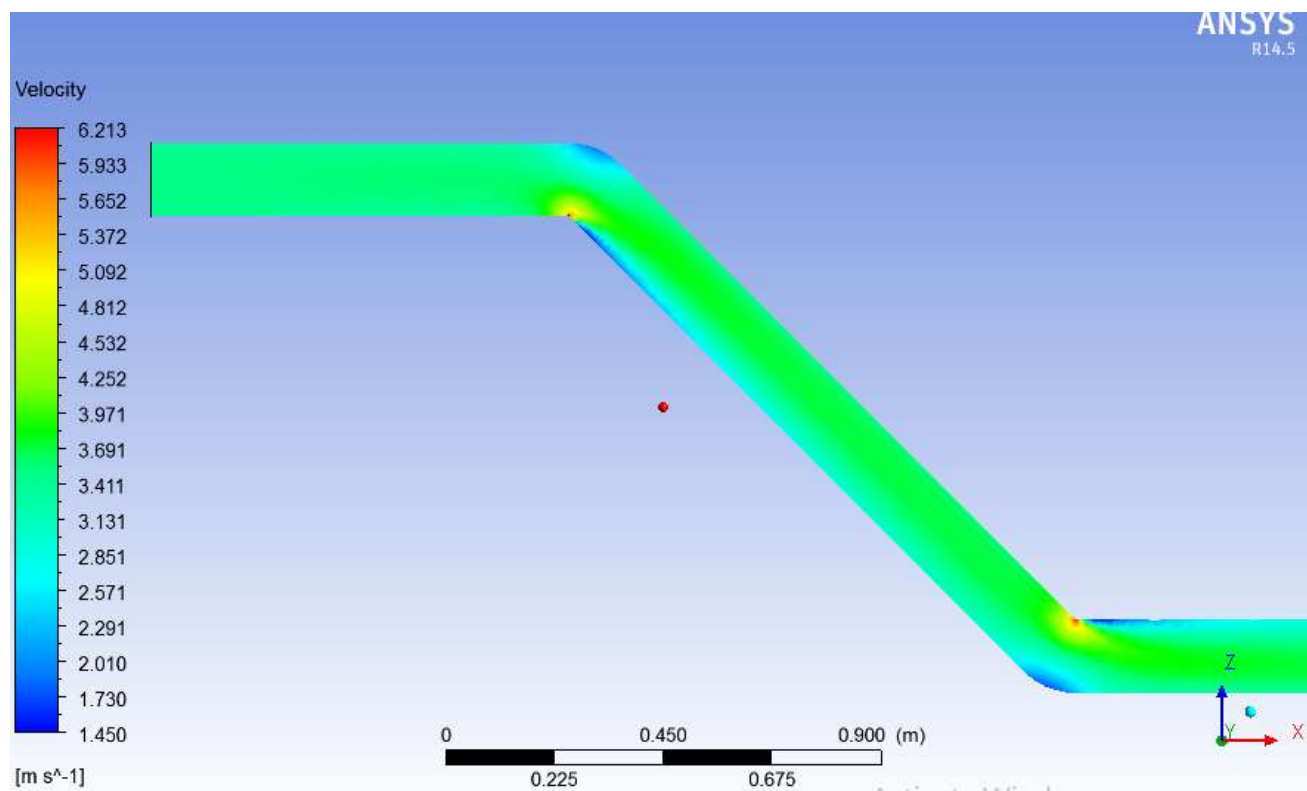
Kecepatan rata-rata fluida (ft/s) = 10,98

Tekanan operasional fluida (psi) = 3114

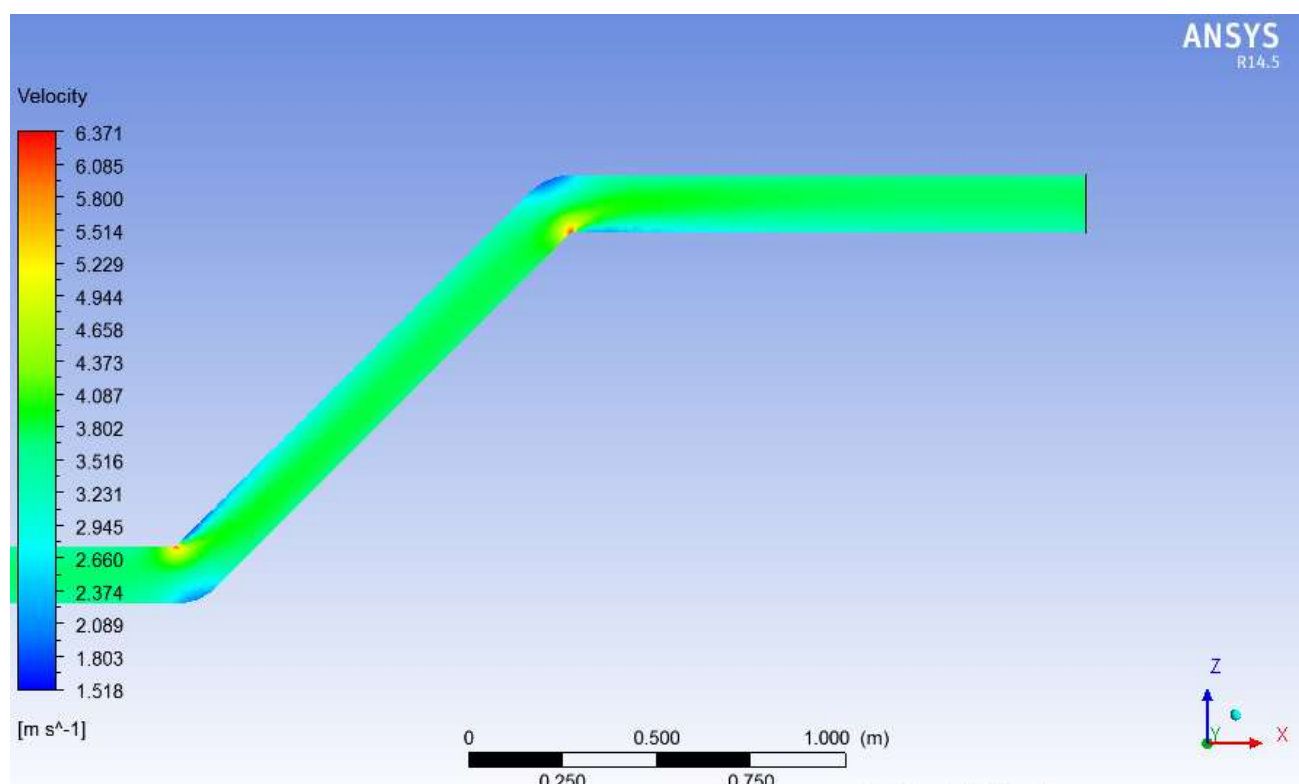
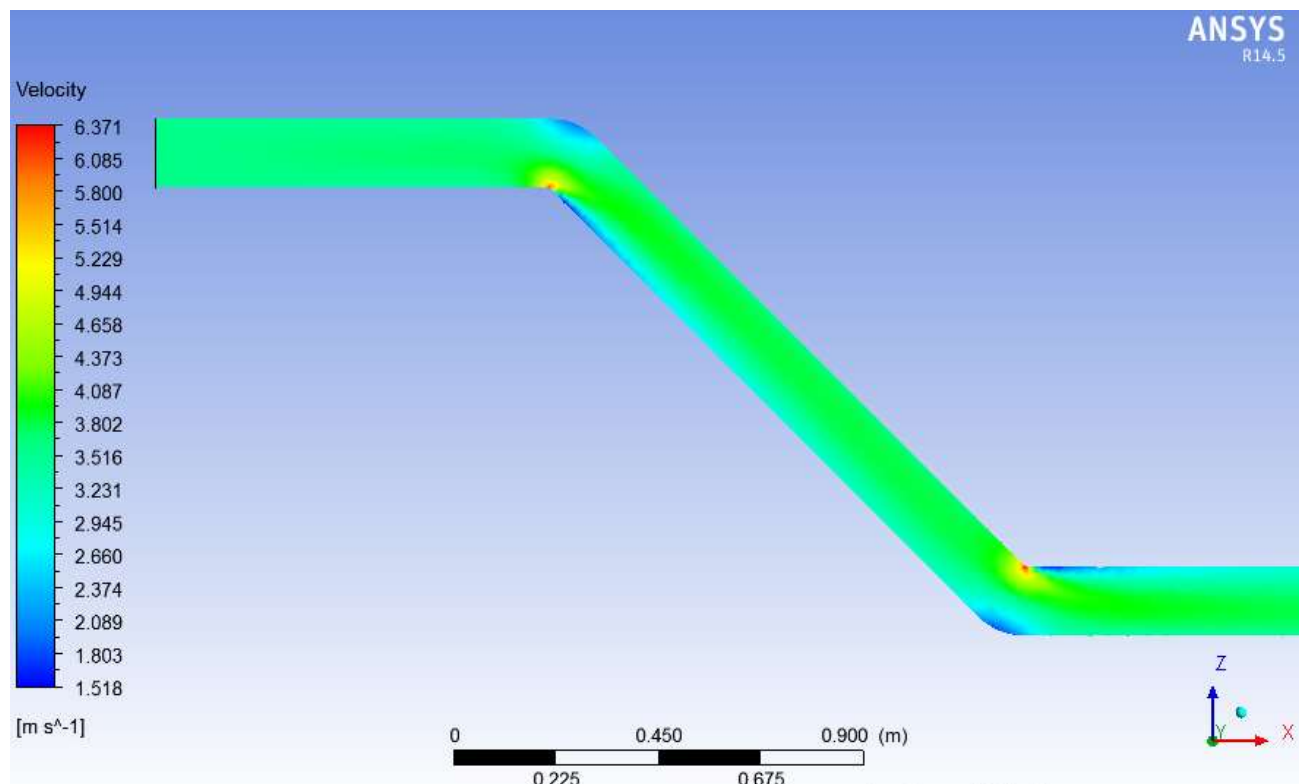
Temperatur operasional fluida ($^{\circ}$ F) = 135,75



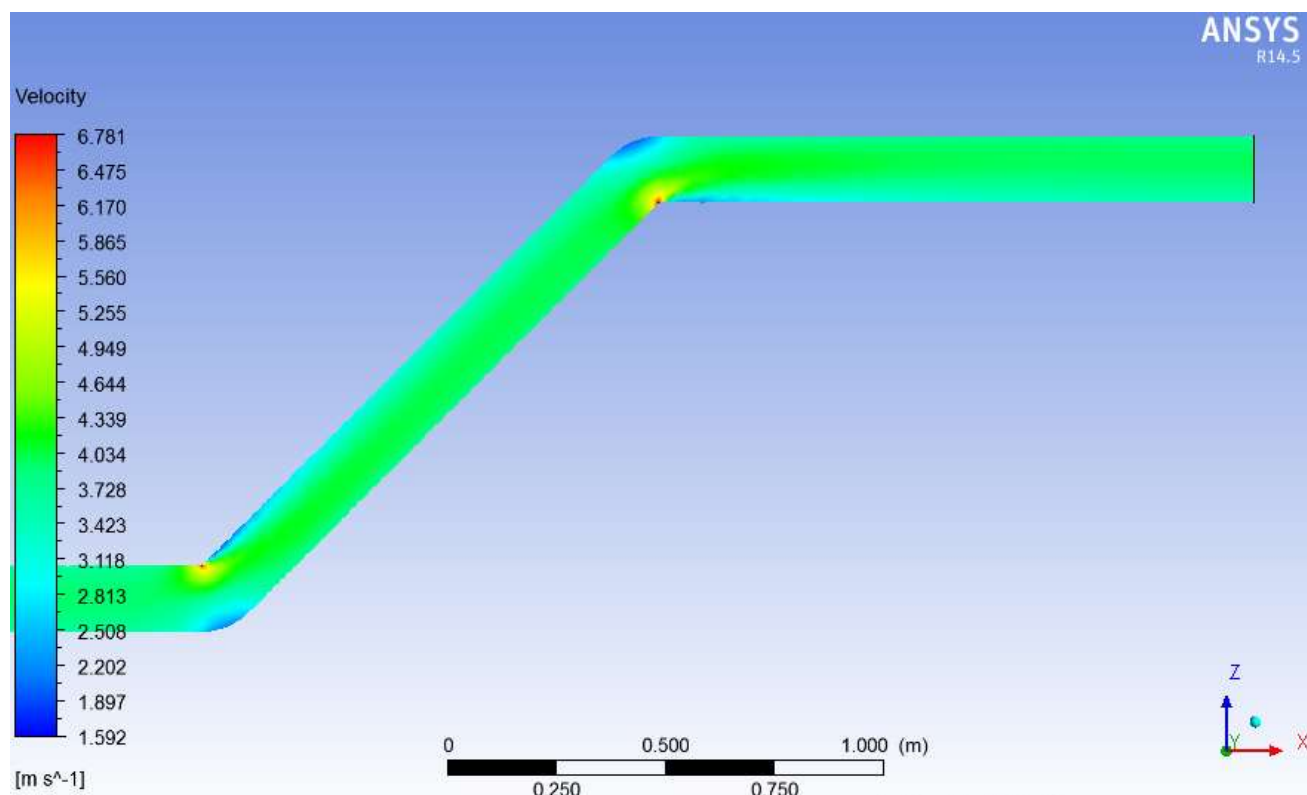
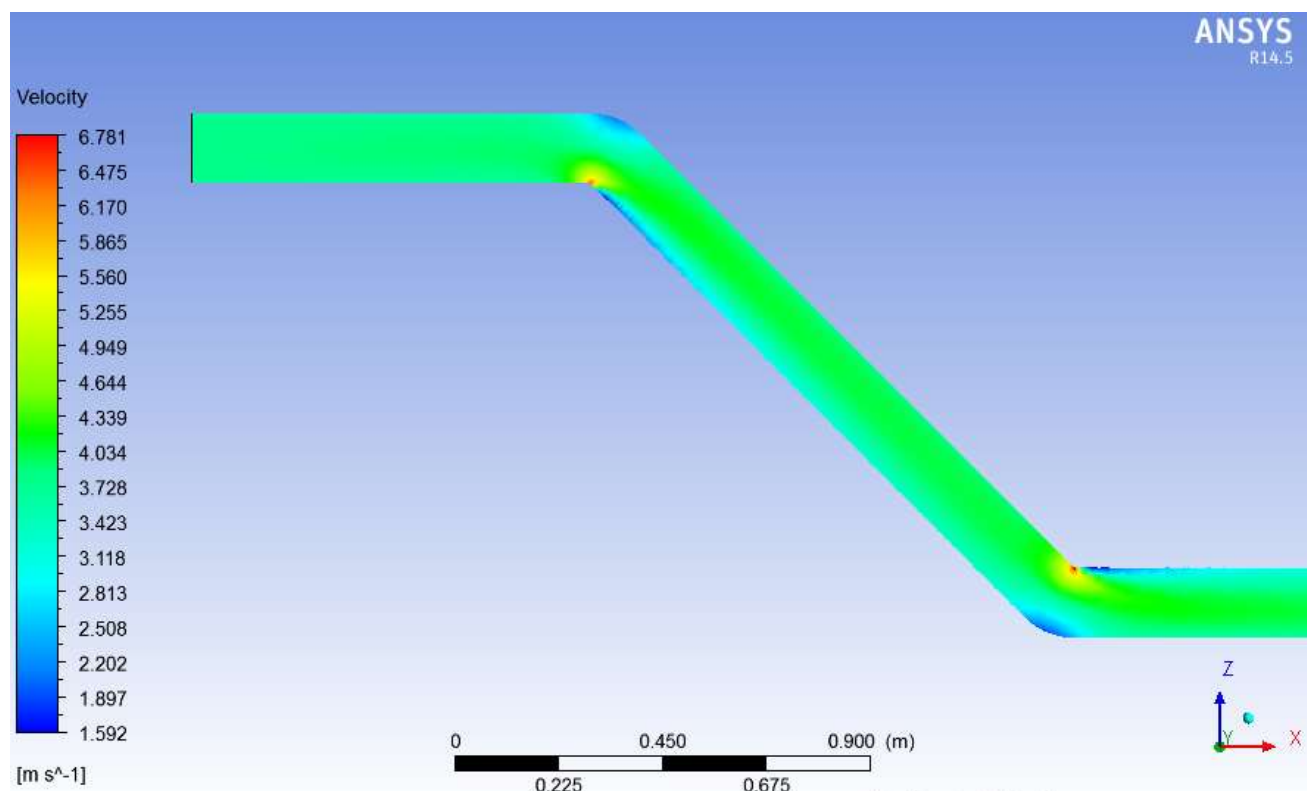
Kecepatan rata-rata fluida (ft/s) = 11,49
Tekanan operasional fluida (psi) = 3236
Temperatur operasional fluida ($^{\circ}$ F) = 139,14



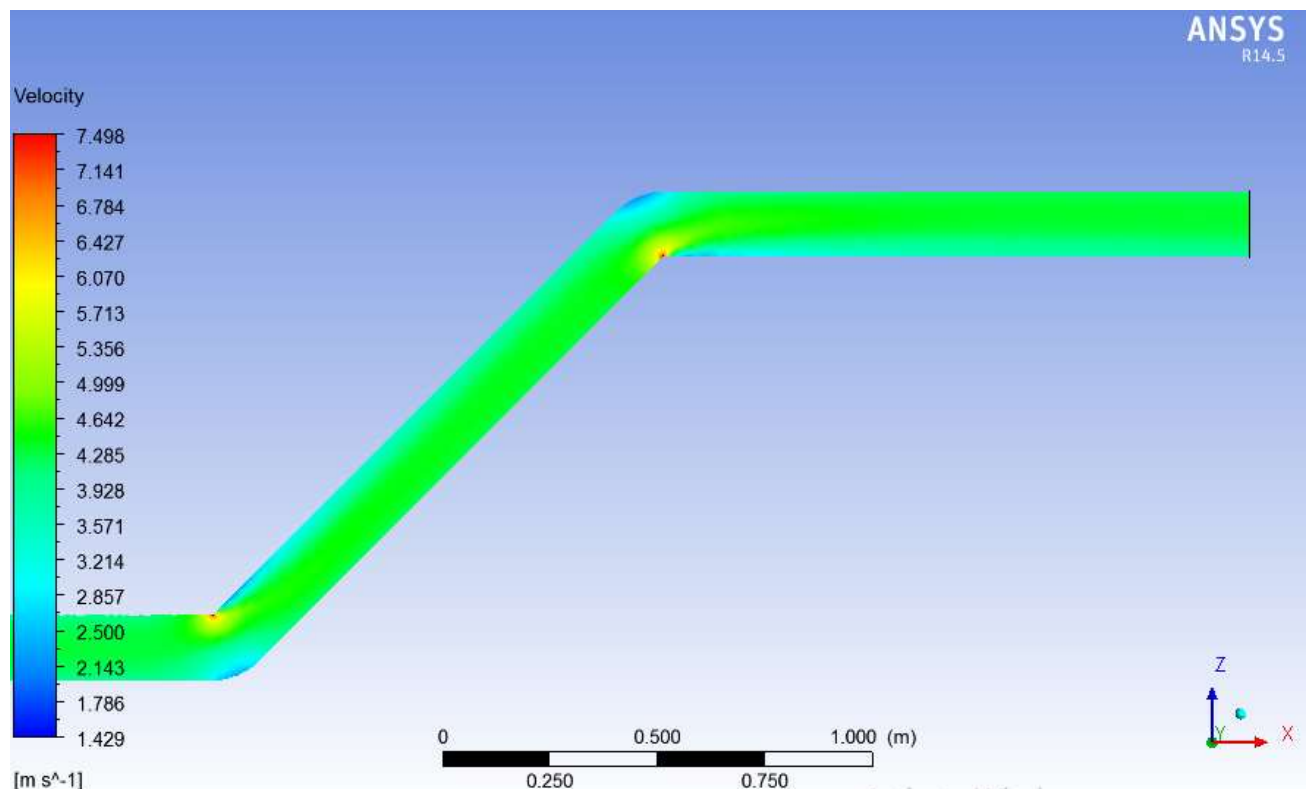
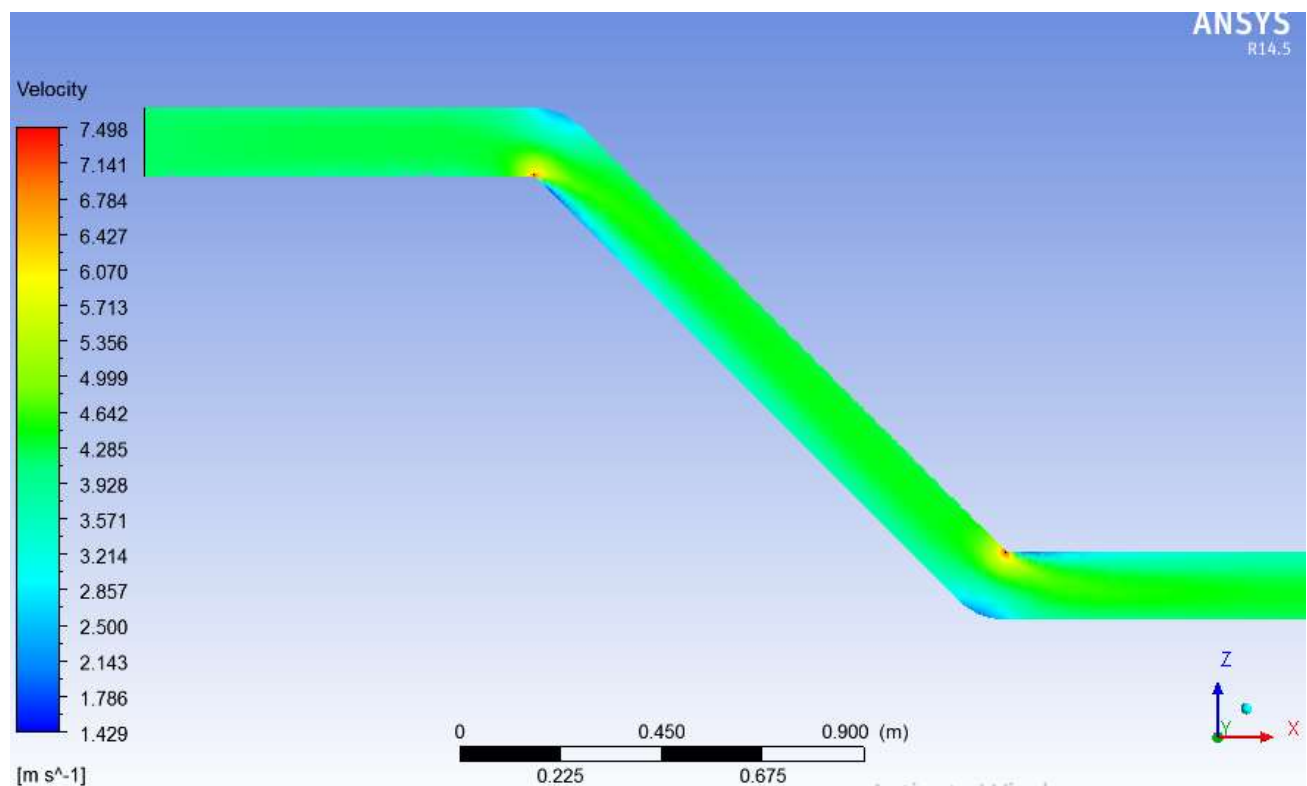
Kecepatan rata-rata fluida (ft/s) = 11,83
Tekanan operasional fluida (psi) = 3321
Temperatur operasional fluida ($^{\circ}$ F) = 141,46



Kecepatan rata-rata fluida (ft/s) = 12,55
Tekanan operasional fluida (psi) = 3375
Temperatur operasional fluida ($^{\circ}$ F) = 143,86



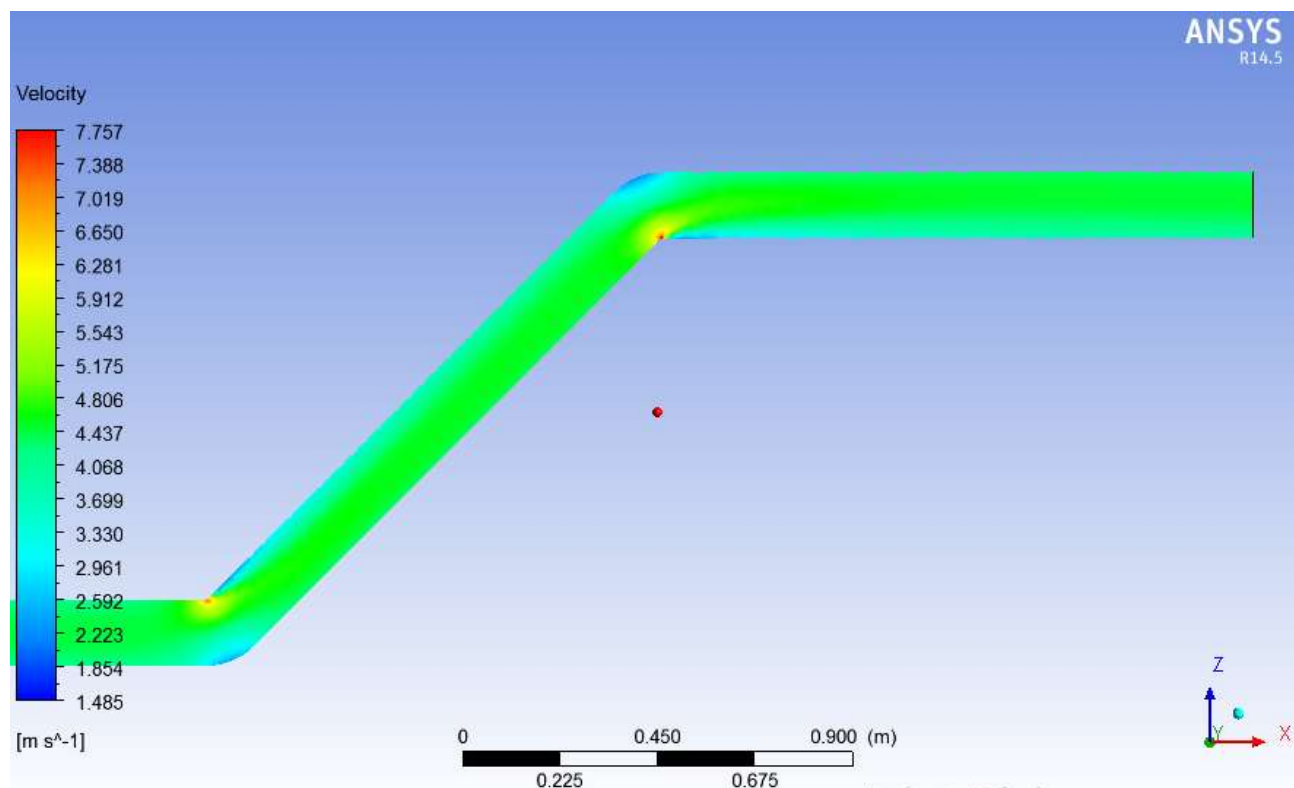
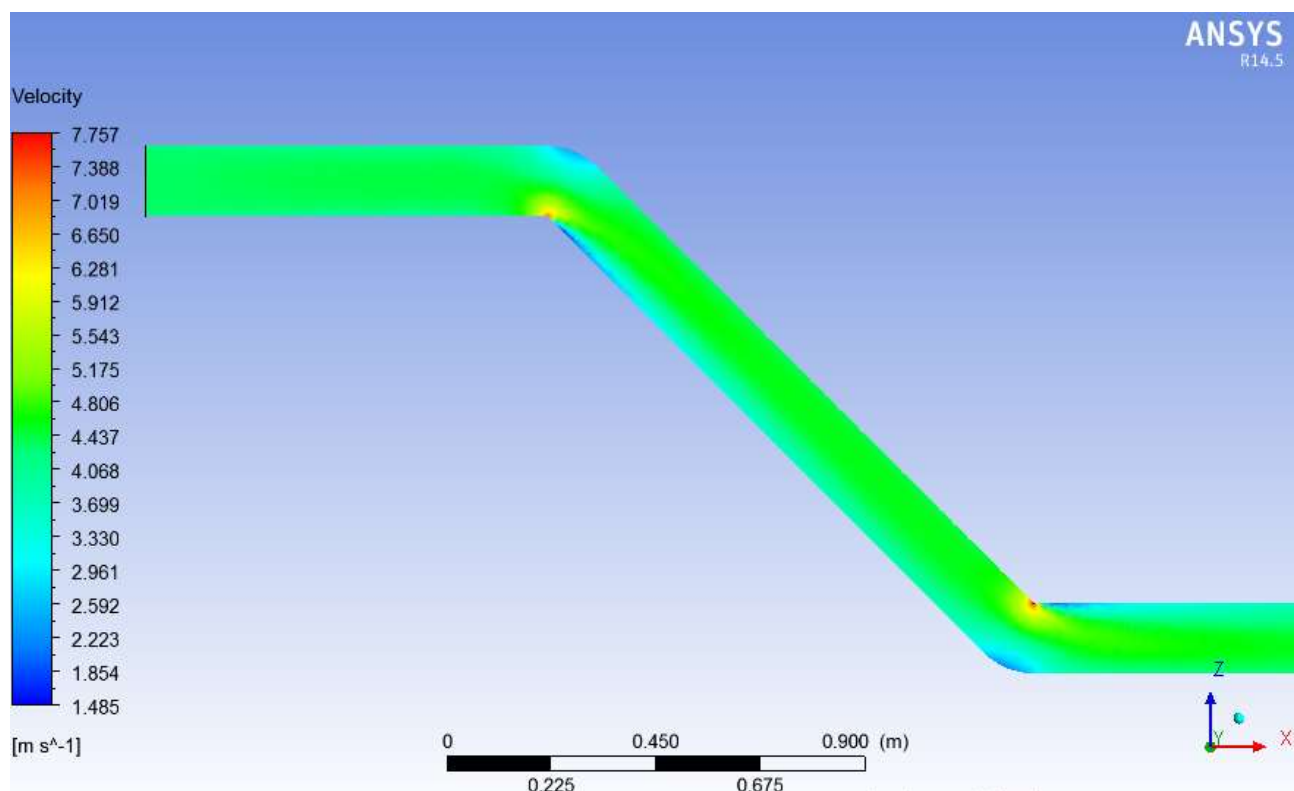
Kecepatan rata-rata fluida (ft/s) = 13,79
Tekanan operasional fluida (psi) = 3420
Temperatur operasional fluida ($^{\circ}$ F) = 144,15



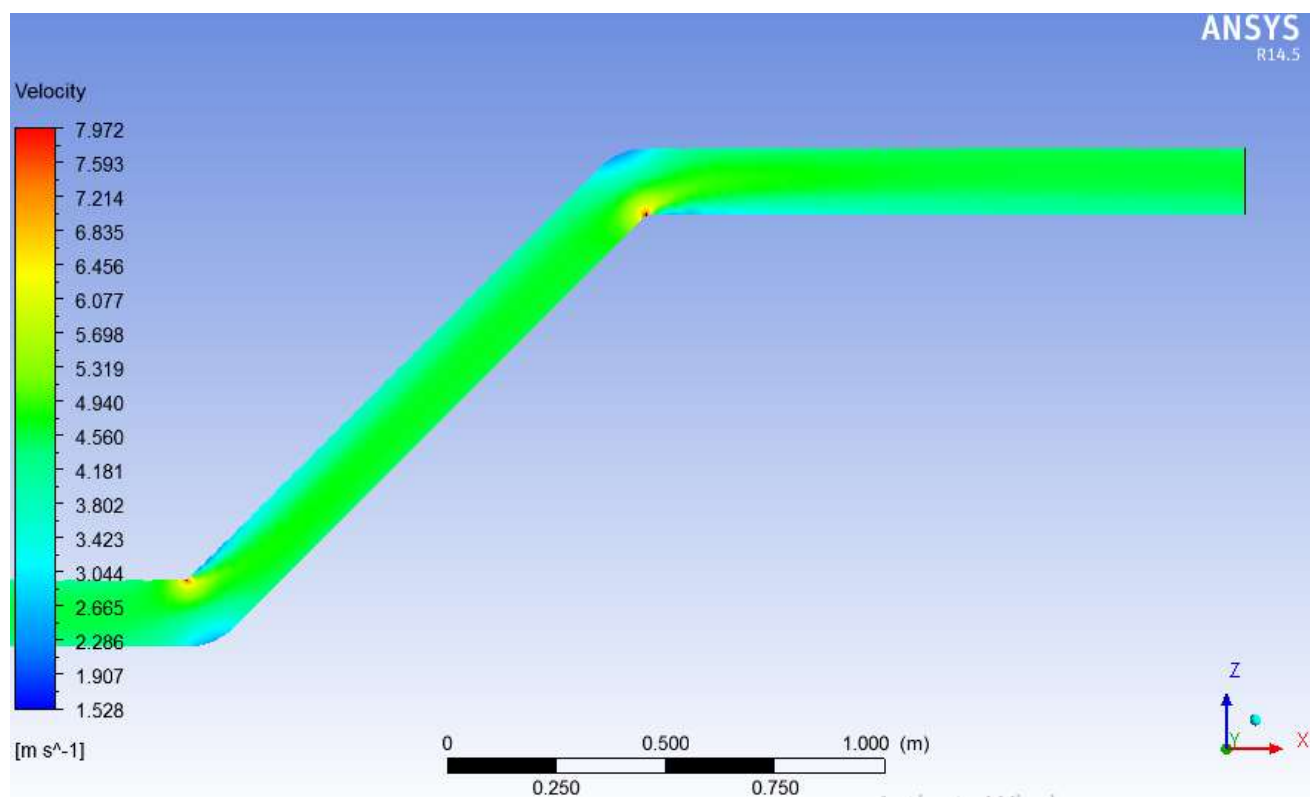
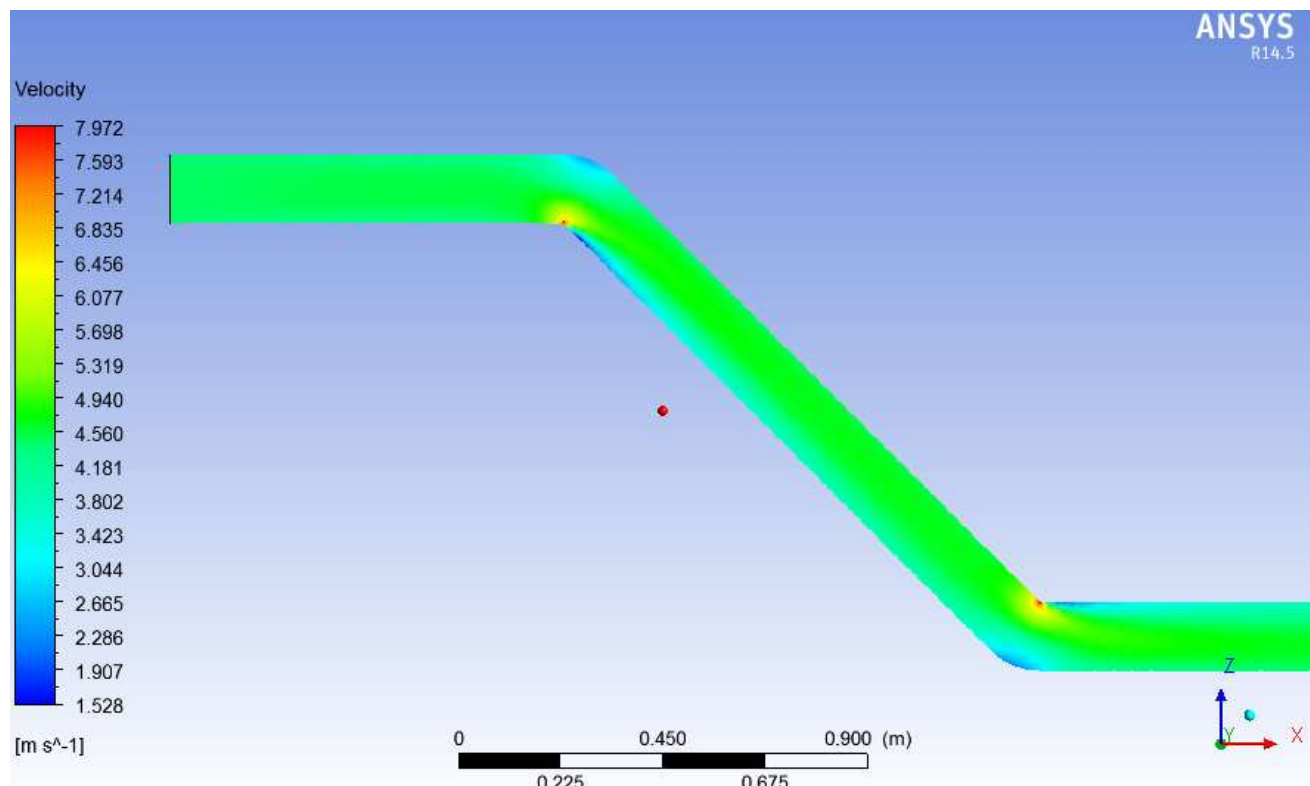
Kecepatan rata-rata fluida (ft/s) = 14,24

Tekanan operasional fluida (psi) = 3445

Temperatur operasional fluida ($^{\circ}$ F) = 145,22



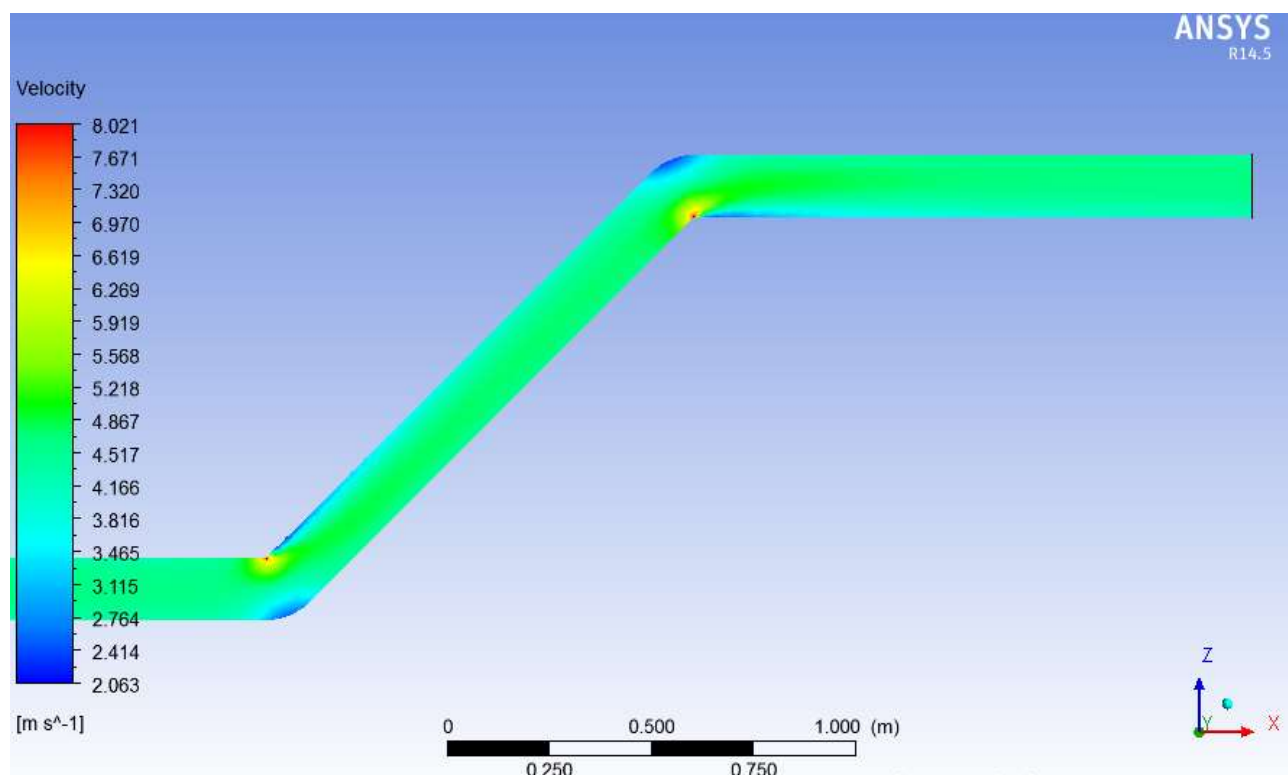
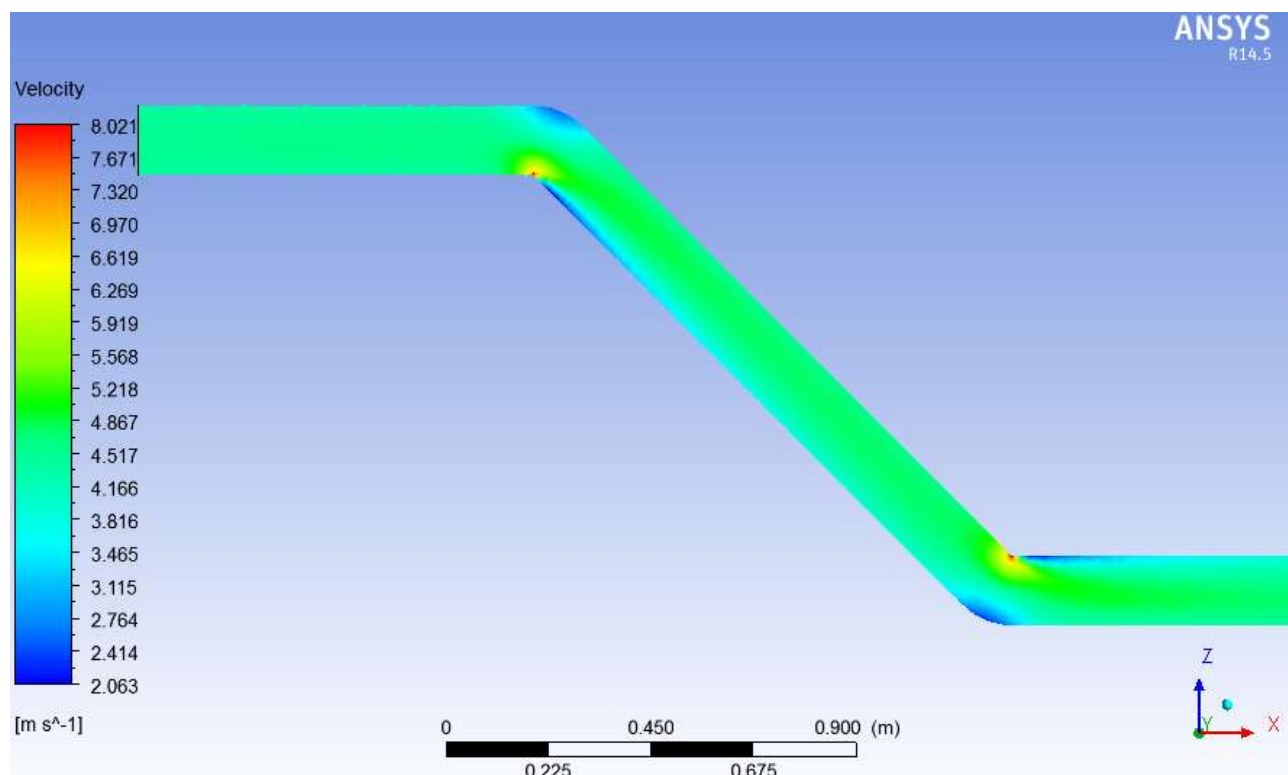
| | |
|---|----------|
| Kecepatan rata-rata fluida (ft/s) | = 14,63 |
| Tekanan operasional fluida (psi) | = 3468 |
| Temperatur operasional fluida ($^{\circ}$ F) | = 146,28 |



Kecepatan rata-rata fluida (ft/s) = 14,85

Tekanan operasional fluida (psi) = 3500

Temperatur operasional fluida ($^{\circ}$ F) = 150



Lampiran B

Simulasi Montecarlo

Equivalent Stress

Elbow Section 1

| No | Tekanan Operasional, Pi (psi) | External Pressure, Pe (psi) | Diameter Luar (in) | t (in) | Poissson's Ratio | Internal Bore Area, Ai (in ²) | Eksternal area of pipe, Ae (in ²) | Pipe cross section area, As (in ²) | Modulus Young (psi) | Temperature of pipe, Ta (°F) | Ambient Temperature, Ta (°F) | Thermal expansion coefficient (α) | Hoop Stress (psi) | Longitudinal stress (psi) | Equivalent Stress (psi) |
|----|-------------------------------|-----------------------------|--------------------|--------|------------------|---|---|--|---------------------|------------------------------|------------------------------|-----------------------------------|-------------------|---------------------------|-------------------------|
| 1 | 2400 | 14,69 | 6 | 0,280 | 0,3 | 23,23 | 28,26 | 5,03 | 3,0E+07 | 110,00 | 80,6 | 7,3E-06 | 24384,55 | 10844,24 | 21160,63 |
| 2 | 2420 | 14,69 | 6 | 0,280 | 0,3 | 23,24 | 28,26 | 5,02 | 3,0E+07 | 113,68 | 80,6 | 7,3E-06 | 24593,71 | 11687,17 | 21307,50 |
| 3 | 2478 | 14,69 | 6 | 0,280 | 0,3 | 23,24 | 28,26 | 5,02 | 3,0E+07 | 114,99 | 80,6 | 7,3E-06 | 25193,55 | 12084,53 | 21824,27 |
| 4 | 2512 | 14,69 | 6 | 0,279 | 0,3 | 23,24 | 28,26 | 5,02 | 3,0E+07 | 115,77 | 80,6 | 7,3E-06 | 25564,84 | 12322,50 | 22144,57 |
| 5 | 2580 | 14,69 | 6 | 0,279 | 0,3 | 23,24 | 28,26 | 5,02 | 3,0E+07 | 116,19 | 80,6 | 7,3E-06 | 26274,69 | 12543,47 | 22762,29 |
| 6 | 2686 | 14,69 | 6 | 0,279 | 0,3 | 23,25 | 28,26 | 5,01 | 3,0E+07 | 124,22 | 80,6 | 7,3E-06 | 27418,39 | 14509,43 | 23758,50 |
| 7 | 2734 | 14,69 | 6 | 0,278 | 0,3 | 23,26 | 28,26 | 5,00 | 3,0E+07 | 127,11 | 80,6 | 7,3E-06 | 27950,91 | 15239,22 | 24239,17 |
| 8 | 2809 | 14,69 | 6 | 0,278 | 0,3 | 23,27 | 28,26 | 4,99 | 3,0E+07 | 127,76 | 80,6 | 7,3E-06 | 28757,60 | 15527,33 | 24931,28 |
| 9 | 2856 | 14,69 | 6 | 0,278 | 0,3 | 23,27 | 28,26 | 4,99 | 3,0E+07 | 131,09 | 80,6 | 7,3E-06 | 29259,94 | 16348,08 | 25398,03 |
| 10 | 2901 | 14,69 | 6 | 0,278 | 0,3 | 23,27 | 28,26 | 4,99 | 3,0E+07 | 131,73 | 80,6 | 7,3E-06 | 29737,75 | 16575,02 | 25810,10 |
| 11 | 2955 | 14,69 | 6 | 0,278 | 0,3 | 23,27 | 28,26 | 4,99 | 3,0E+07 | 133,39 | 80,6 | 7,3E-06 | 30315,32 | 17043,38 | 26321,47 |
| 12 | 3025 | 14,69 | 6 | 0,277 | 0,3 | 23,28 | 28,26 | 4,98 | 3,0E+07 | 133,52 | 80,6 | 7,3E-06 | 31065,07 | 17208,95 | 26955,32 |
| 13 | 3114 | 14,69 | 6 | 0,277 | 0,3 | 23,28 | 28,26 | 4,98 | 3,0E+07 | 135,75 | 80,6 | 7,3E-06 | 32017,17 | 17871,35 | 27790,18 |
| 14 | 3236 | 14,69 | 6 | 0,277 | 0,3 | 23,29 | 28,26 | 4,97 | 3,0E+07 | 139,14 | 80,6 | 7,3E-06 | 33337,40 | 18852,23 | 28953,49 |
| 15 | 3321 | 14,69 | 6 | 0,276 | 0,3 | 23,29 | 28,26 | 4,97 | 3,0E+07 | 141,46 | 80,6 | 7,3E-06 | 34240,49 | 19525,94 | 29750,56 |
| 16 | 3375 | 14,69 | 6 | 0,276 | 0,3 | 23,30 | 28,26 | 4,96 | 3,0E+07 | 143,86 | 80,6 | 7,3E-06 | 34838,19 | 20159,37 | 30294,94 |
| 17 | 3420 | 14,69 | 6 | 0,275 | 0,3 | 23,31 | 28,26 | 4,95 | 3,0E+07 | 144,15 | 80,6 | 7,3E-06 | 35397,52 | 20325,37 | 30767,48 |
| 18 | 3445 | 14,69 | 6 | 0,275 | 0,3 | 23,32 | 28,26 | 4,94 | 3,0E+07 | 145,22 | 80,6 | 7,3E-06 | 35711,70 | 20617,94 | 31050,33 |
| 19 | 3468 | 14,69 | 6 | 0,275 | 0,3 | 23,32 | 28,26 | 4,94 | 3,0E+07 | 146,28 | 80,6 | 7,3E-06 | 35990,00 | 20902,83 | 31303,60 |
| 20 | 3500 | 14,69 | 6 | 0,274 | 0,3 | 23,33 | 28,26 | 4,93 | 3,0E+07 | 150,00 | 80,6 | 7,3E-06 | 36367,18 | 21785,80 | 31700,24 |

Equivalent Stress

Elbow Section 2

| No | Tekanan Operasional, Pi (psi) | Tekanan Eksternal, Pe (psi) | Diameter Luar (in) | t (in) | Poisson's Ratio | Internal Bore Area, Ai (in ²) | Eksternal area of pipe, Ae (in ²) | Pipe cross section area, As (in ²) | Modulus Young (psi) | Temperature of pipe, Ta (°F) | Ambient Temperature, Ta (°F) | Thermal expansion coefficient (α) | Hoop Stress (psi) | Longitudinal stress (psi) | Equivalent Stress (psi) |
|----|-------------------------------|-----------------------------|--------------------|--------|-----------------|---|---|--|---------------------|------------------------------|------------------------------|--|-------------------|---------------------------|-------------------------|
| 1 | 2400 | 14,69 | 6 | 0,2797 | 0,3 | 23,24 | 28,26 | 5,025 | 3,0E+07 | 110,00 | 80,6 | 7,3E-06 | 24387,98 | 10844,92 | 21163,65 |
| 2 | 2420 | 14,69 | 6 | 0,2797 | 0,3 | 23,24 | 28,26 | 5,024 | 3,0E+07 | 113,68 | 80,6 | 7,3E-06 | 24598,05 | 11688,03 | 21311,30 |
| 3 | 2478 | 14,69 | 6 | 0,2796 | 0,3 | 23,24 | 28,26 | 5,022 | 3,0E+07 | 114,99 | 80,6 | 7,3E-06 | 25198,93 | 12085,60 | 21828,96 |
| 4 | 2512 | 14,69 | 6 | 0,2793 | 0,3 | 23,24 | 28,26 | 5,017 | 3,0E+07 | 115,77 | 80,6 | 7,3E-06 | 25574,29 | 12324,39 | 22152,82 |
| 5 | 2580 | 14,69 | 6 | 0,2791 | 0,3 | 23,25 | 28,26 | 5,013 | 3,0E+07 | 116,19 | 80,6 | 7,3E-06 | 26292,54 | 12547,03 | 22777,89 |
| 6 | 2686 | 14,69 | 6 | 0,2784 | 0,3 | 23,26 | 28,26 | 5,002 | 3,0E+07 | 124,22 | 80,6 | 7,3E-06 | 27447,68 | 14515,27 | 23783,56 |
| 7 | 2734 | 14,69 | 6 | 0,2781 | 0,3 | 23,26 | 28,26 | 4,996 | 3,0E+07 | 127,11 | 80,6 | 7,3E-06 | 27979,68 | 15244,96 | 24263,60 |
| 8 | 2809 | 14,69 | 6 | 0,2775 | 0,3 | 23,27 | 28,26 | 4,987 | 3,0E+07 | 127,76 | 80,6 | 7,3E-06 | 28806,79 | 15537,15 | 24973,16 |
| 9 | 2856 | 14,69 | 6 | 0,2775 | 0,3 | 23,27 | 28,26 | 4,986 | 3,0E+07 | 131,09 | 80,6 | 7,3E-06 | 29296,36 | 16355,35 | 25428,76 |
| 10 | 2901 | 14,69 | 6 | 0,2774 | 0,3 | 23,28 | 28,26 | 4,984 | 3,0E+07 | 131,73 | 80,6 | 7,3E-06 | 29775,53 | 16582,56 | 25842,00 |
| 11 | 2955 | 14,69 | 6 | 0,2771 | 0,3 | 23,28 | 28,26 | 4,980 | 3,0E+07 | 133,39 | 80,6 | 7,3E-06 | 30361,37 | 17052,57 | 26360,27 |
| 12 | 3025 | 14,69 | 6 | 0,2769 | 0,3 | 23,28 | 28,26 | 4,975 | 3,0E+07 | 133,52 | 80,6 | 7,3E-06 | 31113,45 | 17218,61 | 26996,24 |
| 13 | 3114 | 14,69 | 6 | 0,2765 | 0,3 | 23,29 | 28,26 | 4,970 | 3,0E+07 | 135,75 | 80,6 | 7,3E-06 | 32073,54 | 17882,60 | 27837,76 |
| 14 | 3236 | 14,69 | 6 | 0,2762 | 0,3 | 23,30 | 28,26 | 4,964 | 3,0E+07 | 139,14 | 80,6 | 7,3E-06 | 33379,91 | 18860,71 | 28989,24 |
| 15 | 3321 | 14,69 | 6 | 0,2760 | 0,3 | 23,30 | 28,26 | 4,960 | 3,0E+07 | 141,46 | 80,6 | 7,3E-06 | 34286,27 | 19535,07 | 29788,97 |
| 16 | 3375 | 14,69 | 6 | 0,2755 | 0,3 | 23,31 | 28,26 | 4,951 | 3,0E+07 | 143,86 | 80,6 | 7,3E-06 | 34916,87 | 20175,07 | 30360,68 |
| 17 | 3420 | 14,69 | 6 | 0,2744 | 0,3 | 23,33 | 28,26 | 4,934 | 3,0E+07 | 144,15 | 80,6 | 7,3E-06 | 35521,13 | 20350,04 | 30871,00 |
| 18 | 3445 | 14,69 | 6 | 0,2741 | 0,3 | 23,33 | 28,26 | 4,927 | 3,0E+07 | 145,22 | 80,6 | 7,3E-06 | 35835,31 | 20642,60 | 31153,69 |
| 19 | 3468 | 14,69 | 6 | 0,2737 | 0,3 | 23,34 | 28,26 | 4,922 | 3,0E+07 | 146,28 | 80,6 | 7,3E-06 | 36121,72 | 20929,11 | 31413,55 |
| 20 | 3500 | 14,69 | 6 | 0,2736 | 0,3 | 23,34 | 28,26 | 4,920 | 3,0E+07 | 150,00 | 80,6 | 7,3E-06 | 36467,25 | 21805,77 | 31782,94 |

Equivalent Stress

Elbow Section 3

| No | Tekanan Operasional, Pi (psi) | Tekanan Eksternal, Pe (psi) | Diameter Luar (in) | t (in) | Poisson's Ratio | Internal Bore Area, Ai (in ²) | Eksternal area of pipe, Ae (in ²) | Pipe cross section area, As (in ²) | Modulus Young (psi) | Temperature of pipe, Ta (°F) | Ambient Temperature, Ta (°F) | Thermal expansion coefficient (α) | Hoop Stress (psi) | Longitudinal stress (psi) | Equivalent Stress (psi) |
|----|-------------------------------|-----------------------------|--------------------|--------|-----------------|---|---|--|---------------------|------------------------------|------------------------------|-----------------------------------|-------------------|---------------------------|-------------------------|
| 1 | 2400 | 14,69 | 6 | 0,2798 | 0,3 | 23,23 | 28,26 | 5,03 | 3,0E+07 | 110,00 | 80,6 | 7,3E-06 | 24385,39 | 10844,41 | 21161,36 |
| 2 | 2420 | 14,69 | 6 | 0,2797 | 0,3 | 23,24 | 28,26 | 5,02 | 3,0E+07 | 113,68 | 80,6 | 7,3E-06 | 24594,01 | 11687,23 | 21307,77 |
| 3 | 2478 | 14,69 | 6 | 0,2796 | 0,3 | 23,24 | 28,26 | 5,02 | 3,0E+07 | 114,99 | 80,6 | 7,3E-06 | 25194,11 | 12084,64 | 21824,76 |
| 4 | 2512 | 14,69 | 6 | 0,2794 | 0,3 | 23,24 | 28,26 | 5,02 | 3,0E+07 | 115,77 | 80,6 | 7,3E-06 | 25565,81 | 12322,69 | 22145,43 |
| 5 | 2580 | 14,69 | 6 | 0,2792 | 0,3 | 23,24 | 28,26 | 5,02 | 3,0E+07 | 116,19 | 80,6 | 7,3E-06 | 26282,41 | 12545,01 | 22769,04 |
| 6 | 2686 | 14,69 | 6 | 0,2786 | 0,3 | 23,25 | 28,26 | 5,01 | 3,0E+07 | 124,22 | 80,6 | 7,3E-06 | 27425,45 | 14510,84 | 23764,54 |
| 7 | 2734 | 14,69 | 6 | 0,2782 | 0,3 | 23,26 | 28,26 | 5,00 | 3,0E+07 | 127,11 | 80,6 | 7,3E-06 | 27960,29 | 15241,09 | 24247,13 |
| 8 | 2809 | 14,69 | 6 | 0,2779 | 0,3 | 23,27 | 28,26 | 4,99 | 3,0E+07 | 127,76 | 80,6 | 7,3E-06 | 28769,24 | 15529,66 | 24941,19 |
| 9 | 2856 | 14,69 | 6 | 0,2777 | 0,3 | 23,27 | 28,26 | 4,99 | 3,0E+07 | 131,09 | 80,6 | 7,3E-06 | 29271,75 | 16350,44 | 25408,00 |
| 10 | 2901 | 14,69 | 6 | 0,2776 | 0,3 | 23,27 | 28,26 | 4,99 | 3,0E+07 | 131,73 | 80,6 | 7,3E-06 | 29744,60 | 16576,39 | 25815,88 |
| 11 | 2955 | 14,69 | 6 | 0,2774 | 0,3 | 23,28 | 28,26 | 4,98 | 3,0E+07 | 133,39 | 80,6 | 7,3E-06 | 30328,41 | 17045,99 | 26332,50 |
| 12 | 3025 | 14,69 | 6 | 0,2771 | 0,3 | 23,28 | 28,26 | 4,98 | 3,0E+07 | 133,52 | 80,6 | 7,3E-06 | 31080,80 | 17212,09 | 26968,63 |
| 13 | 3114 | 14,69 | 6 | 0,2768 | 0,3 | 23,29 | 28,26 | 4,97 | 3,0E+07 | 135,75 | 80,6 | 7,3E-06 | 32036,65 | 17875,24 | 27806,63 |
| 14 | 3236 | 14,69 | 6 | 0,2764 | 0,3 | 23,29 | 28,26 | 4,97 | 3,0E+07 | 139,14 | 80,6 | 7,3E-06 | 33351,38 | 18855,02 | 28965,24 |
| 15 | 3321 | 14,69 | 6 | 0,2762 | 0,3 | 23,30 | 28,26 | 4,96 | 3,0E+07 | 141,46 | 80,6 | 7,3E-06 | 34255,44 | 19528,92 | 29763,10 |
| 16 | 3375 | 14,69 | 6 | 0,2759 | 0,3 | 23,30 | 28,26 | 4,96 | 3,0E+07 | 143,86 | 80,6 | 7,3E-06 | 34863,71 | 20164,46 | 30316,26 |
| 17 | 3420 | 14,69 | 6 | 0,2751 | 0,3 | 23,31 | 28,26 | 4,95 | 3,0E+07 | 144,15 | 80,6 | 7,3E-06 | 35428,76 | 20331,61 | 30793,63 |
| 18 | 3445 | 14,69 | 6 | 0,2748 | 0,3 | 23,32 | 28,26 | 4,94 | 3,0E+07 | 145,22 | 80,6 | 7,3E-06 | 35735,54 | 20622,70 | 31070,26 |
| 19 | 3468 | 14,69 | 6 | 0,2745 | 0,3 | 23,33 | 28,26 | 4,93 | 3,0E+07 | 146,28 | 80,6 | 7,3E-06 | 36015,44 | 20907,90 | 31324,83 |
| 20 | 3500 | 14,69 | 6 | 0,2742 | 0,3 | 23,33 | 28,26 | 4,93 | 3,0E+07 | 150,00 | 80,6 | 7,3E-06 | 36391,64 | 21790,68 | 31720,45 |

Equivalent Stress

Elbow Section 4

| No | Tekanan Operasional, Pi (psi) | Tekanan Eksternal, Pe (psi) | Diameter Luar (in) | t (in) | Poisson's Ratio | Internal Bore Area, Ai (in ²) | Eksternal area of pipe, Ae (in ²) | Pipe cross section area, As (in ²) | Modulus Young (psi) | Temperature of pipe, Ta (°F) | Ambient Temperature, Ta (°F) | Thermal expansion coefficient (α) | Hoop Stress (psi) | Longitudinal stress (psi) | Equivalent Stress (psi) |
|----|-------------------------------|-----------------------------|--------------------|--------|-----------------|---|---|--|---------------------|------------------------------|------------------------------|-----------------------------------|-------------------|---------------------------|-------------------------|
| 1 | 2400 | 14,69 | 6 | 0,2797 | 0,3 | 23,235 | 28,26 | 5,025 | 3,0E+07 | 110,00 | 80,6 | 7,3E-06 | 24387,20 | 10844,77 | 21162,96 |
| 2 | 2420 | 14,69 | 6 | 0,2797 | 0,3 | 23,236 | 28,26 | 5,024 | 3,0E+07 | 113,68 | 80,6 | 7,3E-06 | 24596,67 | 11687,76 | 21310,09 |
| 3 | 2478 | 14,69 | 6 | 0,2796 | 0,3 | 23,238 | 28,26 | 5,022 | 3,0E+07 | 114,99 | 80,6 | 7,3E-06 | 25197,08 | 12085,23 | 21827,35 |
| 4 | 2512 | 14,69 | 6 | 0,2793 | 0,3 | 23,242 | 28,26 | 5,018 | 3,0E+07 | 115,77 | 80,6 | 7,3E-06 | 25572,11 | 12323,95 | 22150,91 |
| 5 | 2580 | 14,69 | 6 | 0,2791 | 0,3 | 23,246 | 28,26 | 5,014 | 3,0E+07 | 116,19 | 80,6 | 7,3E-06 | 26290,51 | 12546,63 | 22776,12 |
| 6 | 2686 | 14,69 | 6 | 0,2785 | 0,3 | 23,257 | 28,26 | 5,003 | 3,0E+07 | 124,22 | 80,6 | 7,3E-06 | 27442,58 | 14514,25 | 23779,19 |
| 7 | 2734 | 14,69 | 6 | 0,2781 | 0,3 | 23,263 | 28,26 | 4,997 | 3,0E+07 | 127,11 | 80,6 | 7,3E-06 | 27969,86 | 15243,00 | 24255,26 |
| 8 | 2809 | 14,69 | 6 | 0,2776 | 0,3 | 23,272 | 28,26 | 4,988 | 3,0E+07 | 127,76 | 80,6 | 7,3E-06 | 28799,87 | 15535,77 | 24967,27 |
| 9 | 2856 | 14,69 | 6 | 0,2776 | 0,3 | 23,272 | 28,26 | 4,988 | 3,0E+07 | 131,09 | 80,6 | 7,3E-06 | 29283,71 | 16352,83 | 25418,09 |
| 10 | 2901 | 14,69 | 6 | 0,2775 | 0,3 | 23,273 | 28,26 | 4,987 | 3,0E+07 | 131,73 | 80,6 | 7,3E-06 | 29757,89 | 16579,04 | 25827,11 |
| 11 | 2955 | 14,69 | 6 | 0,2772 | 0,3 | 23,278 | 28,26 | 4,982 | 3,0E+07 | 133,39 | 80,6 | 7,3E-06 | 30348,14 | 17049,93 | 26349,12 |
| 12 | 3025 | 14,69 | 6 | 0,2770 | 0,3 | 23,282 | 28,26 | 4,978 | 3,0E+07 | 133,52 | 80,6 | 7,3E-06 | 31096,93 | 17215,31 | 26982,27 |
| 13 | 3114 | 14,69 | 6 | 0,2766 | 0,3 | 23,288 | 28,26 | 4,972 | 3,0E+07 | 135,75 | 80,6 | 7,3E-06 | 32060,63 | 17880,02 | 27826,87 |
| 14 | 3236 | 14,69 | 6 | 0,2763 | 0,3 | 23,294 | 28,26 | 4,966 | 3,0E+07 | 139,14 | 80,6 | 7,3E-06 | 33365,50 | 18857,84 | 28977,12 |
| 15 | 3321 | 14,69 | 6 | 0,2761 | 0,3 | 23,297 | 28,26 | 4,963 | 3,0E+07 | 141,46 | 80,6 | 7,3E-06 | 34270,74 | 19531,98 | 29775,94 |
| 16 | 3375 | 14,69 | 6 | 0,2757 | 0,3 | 23,305 | 28,26 | 4,955 | 3,0E+07 | 143,86 | 80,6 | 7,3E-06 | 34889,96 | 20169,70 | 30338,20 |
| 17 | 3420 | 14,69 | 6 | 0,2747 | 0,3 | 23,321 | 28,26 | 4,939 | 3,0E+07 | 144,15 | 80,6 | 7,3E-06 | 35485,73 | 20342,97 | 30841,34 |
| 18 | 3445 | 14,69 | 6 | 0,2743 | 0,3 | 23,328 | 28,26 | 4,932 | 3,0E+07 | 145,22 | 80,6 | 7,3E-06 | 35797,07 | 20634,97 | 31121,71 |
| 19 | 3468 | 14,69 | 6 | 0,2740 | 0,3 | 23,333 | 28,26 | 4,927 | 3,0E+07 | 146,28 | 80,6 | 7,3E-06 | 36080,99 | 20920,98 | 31379,54 |
| 20 | 3500 | 14,69 | 6 | 0,2738 | 0,3 | 23,337 | 28,26 | 4,923 | 3,0E+07 | 150,00 | 80,6 | 7,3E-06 | 36441,57 | 21800,64 | 31761,71 |

Montecarlo

Elbow Section 1

| RNG Equivalent stress (psi) | Yield Strength, 0,9 SMYS (psi) | MK (psi) | Status | |
|-----------------------------|--------------------------------|----------|--------|-----|
| 25858,65 | 31500 | 5641,35 | 0 | 1 |
| 26837,24 | 31500 | 4662,76 | 0 | 1 |
| 26858,70 | 31500 | 4641,30 | 0 | 1 |
| 18454,30 | 31500 | 13045,70 | 0 | 1 |
| 27570,83 | 31500 | 3929,17 | 0 | 1 |
| 28974,45 | 31500 | 2525,55 | 0 | 1 |
| 28882,55 | 31500 | 2617,45 | 0 | 1 |
| 30510,96 | 31500 | 989,04 | 0 | 1 |
| 21079,69 | 31500 | 10420,31 | 0 | 1 |
| 24042,92 | 31500 | 7457,08 | 0 | 1 |
| 25510,10 | 31500 | 5989,90 | 0 | 1 |
| 24445,94 | 31500 | 7054,06 | 0 | 1 |
| 23712,59 | 31500 | 7787,41 | 0 | 1 |
| 27396,85 | 31500 | 4103,15 | 0 | 1 |
| 24750,17 | 31500 | 6749,83 | 0 | 1 |
| 28888,52 | 31500 | 2611,48 | 0 | 1 |
| 22287,54 | 31500 | 9212,46 | 0 | 1 |
| 28414,80 | 31500 | 3085,20 | 0 | 1 |
| 28004,32 | 31500 | 3495,68 | 0 | 1 |
| 26325,92 | 31500 | 5174,08 | 0 | 1 |
| 27707,78 | 31500 | 3792,22 | 0 | 1 |
| 32644,07 | 31500 | -1144,07 | 0 | 0 |
| 26470,63 | 31500 | 5029,37 | 0 | 1 |
| 33117,82 | 31500 | -1617,82 | 0 | 0 |
| 21543,50 | 31500 | 9956,50 | 0 | 1 |
| 24296,86 | 31500 | 7203,14 | 0 | 1 |
| 26798,91 | 31500 | 4701,09 | 0 | 1 |
| 24606,98 | 31500 | 6893,02 | 0 | 1 |
| 24236,38 | 31500 | 7263,62 | 0 | 1 |
| ... | ... | ... | ... | ... |
| ... | ... | ... | ... | ... |
| ... | ... | ... | ... | ... |
| ... | ... | ... | ... | ... |
| 19505,07 | 31500 | 11994,93 | 0 | 1 |
| 29335,40 | 31500 | 2164,60 | 0 | 1 |
| 21305,13 | 31500 | 10194,87 | 0 | 1 |

| | |
|-----------------|-------|
| Jumlah RNG | 1000 |
| Jumlah Berhasil | 924 |
| Jumlah Gagal | 76 |
| PoF | 0,076 |

| RNG Equivalent stress (psi) | Yield Strength, 0,9 SMYS (psi) | MK (psi) | Status | |
|-----------------------------|--------------------------------|----------|--------|-----|
| 27832,37943 | 31500 | 3667,621 | 0 | 1 |
| 26317,0166 | 31500 | 5182,983 | 0 | 1 |
| 28341,05727 | 31500 | 3158,943 | 0 | 1 |
| 28907,15592 | 31500 | 2592,844 | 0 | 1 |
| 23342,08552 | 31500 | 8157,914 | 0 | 1 |
| 24400,57041 | 31500 | 7099,43 | 0 | 1 |
| 26964,38289 | 31500 | 4535,617 | 0 | 1 |
| 26563,52657 | 31500 | 4936,473 | 0 | 1 |
| 27862,2361 | 31500 | 3637,764 | 0 | 1 |
| 30774,02519 | 31500 | 725,9748 | 0 | 1 |
| 24298,13246 | 31500 | 7201,868 | 0 | 1 |
| 24094,97093 | 31500 | 7405,029 | 0 | 1 |
| 26354,19691 | 31500 | 5145,803 | 0 | 1 |
| 26400,05554 | 31500 | 5099,944 | 0 | 1 |
| 27150,42492 | 31500 | 4349,575 | 0 | 1 |
| 22132,75884 | 31500 | 9367,241 | 0 | 1 |
| 24835,10618 | 31500 | 6664,894 | 0 | 1 |
| 24516,58625 | 31500 | 6983,414 | 0 | 1 |
| 24882,36579 | 31500 | 6617,634 | 0 | 1 |
| 22373,97498 | 31500 | 9126,025 | 0 | 1 |
| 23790,71582 | 31500 | 7709,284 | 0 | 1 |
| 25121,72554 | 31500 | 6378,274 | 0 | 1 |
| 27348,71643 | 31500 | 4151,284 | 0 | 1 |
| 24030,94081 | 31500 | 7469,059 | 0 | 1 |
| 28618,55687 | 31500 | 2881,443 | 0 | 1 |
| 27896,80883 | 31500 | 3603,191 | 0 | 1 |
| 27240,13998 | 31500 | 4259,86 | 0 | 1 |
| 32629,69203 | 31500 | -1129,69 | 0 | 0 |
| 20961,78685 | 31500 | 10538,21 | 0 | 1 |
| ... | ... | ... | ... | ... |
| ... | ... | ... | ... | ... |
| ... | ... | ... | ... | ... |
| ... | ... | ... | ... | ... |
| 27032,66921 | 31500 | 4467,331 | 0 | 1 |
| 21223,56805 | 31500 | 10276,43 | 0 | 1 |
| 31569,92941 | 31500 | -69,9294 | 0 | 0 |

| | |
|-----------------|-------|
| Jumlah RNG | 2000 |
| Jumlah Berhasil | 1847 |
| Jumlah Gagal | 153 |
| PoF | 0,077 |

| RNG Equivalent stress (psi) | Yield Strength, 0,9 SMYS (psi) | MK (psi) | Status | |
|-----------------------------|--------------------------------|----------|--------|-----|
| 31950,66 | 31500 | -450,664 | 0 | 0 |
| 29456,11 | 31500 | 2043,888 | 0 | 1 |
| 29968,24 | 31500 | 1531,758 | 0 | 1 |
| 27050,6 | 31500 | 4449,398 | 0 | 1 |
| 29252,63 | 31500 | 2247,372 | 0 | 1 |
| 27164,48 | 31500 | 4335,52 | 0 | 1 |
| 24977,18 | 31500 | 6522,819 | 0 | 1 |
| 27725,58 | 31500 | 3774,419 | 0 | 1 |
| 24499,44 | 31500 | 7000,563 | 0 | 1 |
| 21718,71 | 31500 | 9781,289 | 0 | 1 |
| 26617,85 | 31500 | 4882,148 | 0 | 1 |
| 28168,17 | 31500 | 3331,832 | 0 | 1 |
| 32436,96 | 31500 | -936,958 | 0 | 0 |
| 30459,53 | 31500 | 1040,473 | 0 | 1 |
| 29064,59 | 31500 | 2435,414 | 0 | 1 |
| 28809,66 | 31500 | 2690,343 | 0 | 1 |
| 22350,36 | 31500 | 9149,643 | 0 | 1 |
| 23211,06 | 31500 | 8288,938 | 0 | 1 |
| 26683,1 | 31500 | 4816,901 | 0 | 1 |
| 25362,64 | 31500 | 6137,356 | 0 | 1 |
| 29343,14 | 31500 | 2156,858 | 0 | 1 |
| 22495,97 | 31500 | 9004,03 | 0 | 1 |
| 24374,94 | 31500 | 7125,062 | 0 | 1 |
| 22531,46 | 31500 | 8968,542 | 0 | 1 |
| 24659,58 | 31500 | 6840,422 | 0 | 1 |
| 33303,62 | 31500 | -1803,62 | 0 | 0 |
| 30840,14 | 31500 | 659,8558 | 0 | 1 |
| 25343,19 | 31500 | 6156,807 | 0 | 1 |
| 22568,69 | 31500 | 8931,312 | 0 | 1 |
| 29742,1 | 31500 | 1757,897 | 0 | 1 |
| 34091,99 | 31500 | -2591,99 | 0 | 0 |
| ... | ... | ... | ... | ... |
| ... | ... | ... | ... | ... |
| ... | ... | ... | ... | ... |
| ... | ... | ... | ... | ... |
| 27898,87 | 31500 | 3601,132 | 0 | 1 |
| 22789,2 | 31500 | 8710,797 | 0 | 1 |
| 25293,24 | 31500 | 6206,758 | 0 | 1 |

| | |
|-----------------|-------|
| Jumlah RNG | 3000 |
| Jumlah Berhasil | 2781 |
| Jumlah Gagal | 219 |
| PoF | 0,073 |

| | |
|-----------------|-------|
| Jumlah RNG | 4000 |
| Jumlah Berhasil | 3682 |
| Jumlah Gagal | 318 |
| PoF | 0,080 |

| RNG Equivalent stress (psi) | Yield Strength, 0,9 SMYS (psi) | MK (psi) | Status | |
|-----------------------------|--------------------------------|----------|--------|-----|
| 27185,4 | 31500 | 4314,602 | 0 | 1 |
| 22561,09 | 31500 | 8938,913 | 0 | 1 |
| 27059,37 | 31500 | 4440,633 | 0 | 1 |
| 27344,29 | 31500 | 4155,715 | 0 | 1 |
| 26769,62 | 31500 | 4730,379 | 0 | 1 |
| 30634,66 | 31500 | 865,3397 | 0 | 1 |
| 27567,33 | 31500 | 3932,672 | 0 | 1 |
| 27646,76 | 31500 | 3853,239 | 0 | 1 |
| 26936,56 | 31500 | 4563,443 | 0 | 1 |
| 23863,95 | 31500 | 7636,049 | 0 | 1 |
| 25588,91 | 31500 | 5911,09 | 0 | 1 |
| 20809,3 | 31500 | 10690,7 | 0 | 1 |
| 25954,71 | 31500 | 5545,287 | 0 | 1 |
| 28332,11 | 31500 | 3167,891 | 0 | 1 |
| 16308,66 | 31500 | 15191,34 | 0 | 1 |
| 21267,94 | 31500 | 10232,06 | 0 | 1 |
| 32055,12 | 31500 | -555,115 | 0 | 0 |
| 24334,52 | 31500 | 7165,484 | 0 | 1 |
| 26488,02 | 31500 | 5011,978 | 0 | 1 |
| 22524,38 | 31500 | 8975,624 | 0 | 1 |
| 27592,1 | 31500 | 3907,904 | 0 | 1 |
| 30346,27 | 31500 | 1153,732 | 0 | 1 |
| 28069,49 | 31500 | 3430,51 | 0 | 1 |
| 32616,77 | 31500 | -1116,77 | 0 | 0 |
| 24068,99 | 31500 | 7431,009 | 0 | 1 |
| 23442,09 | 31500 | 8057,913 | 0 | 1 |
| 29294,63 | 31500 | 2205,371 | 0 | 1 |
| 29856,11 | 31500 | 1643,892 | 0 | 1 |
| 26191,55 | 31500 | 5308,445 | 0 | 1 |
| 23645,36 | 31500 | 7854,639 | 0 | 1 |
| 21963,06 | 31500 | 9536,94 | 0 | 1 |
| ... | ... | ... | ... | ... |
| ... | ... | ... | ... | ... |
| ... | ... | ... | ... | ... |
| ... | ... | ... | ... | ... |
| 27133,74 | 31500 | 4366,265 | 0 | 1 |
| 20766,06 | 31500 | 10733,94 | 0 | 1 |
| 28268,14 | 31500 | 3231,855 | 0 | 1 |
| 27710,02 | 31500 | 3789,983 | 0 | 1 |
| 25932,99 | 31500 | 5567,008 | 0 | 1 |

| | |
|-----------------|-------|
| Jumlah RNG | 5000 |
| Jumlah Berhasil | 4570 |
| Jumlah Gagal | 430 |
| PoF | 0,086 |

| RNG Equivalent stress (psi) | Yield Strength, 0,9 SMYS (psi) | MK (psi) | Status | | Jumlah RNG | 6000 |
|-----------------------------|--------------------------------|----------|--------|-----|-----------------|-------|
| | | | 0 | 1 | | |
| 25718,47 | 31500 | 5781,533 | 0 | 1 | Jumlah Berhasil | 5490 |
| 29628,22 | 31500 | 1871,782 | 0 | 1 | Jumlah Gagal | 510 |
| 26051,24 | 31500 | 5448,756 | 0 | 1 | PoF | 0,085 |
| 25730,94 | 31500 | 5769,061 | 0 | 1 | | |
| 27187,57 | 31500 | 4312,429 | 0 | 1 | | |
| 19089,15 | 31500 | 12410,85 | 0 | 1 | | |
| 25921,83 | 31500 | 5578,167 | 0 | 1 | | |
| 28880,11 | 31500 | 2619,893 | 0 | 1 | | |
| 26054,23 | 31500 | 5445,772 | 0 | 1 | | |
| 28239,22 | 31500 | 3260,779 | 0 | 1 | | |
| 23035,48 | 31500 | 8464,522 | 0 | 1 | | |
| 28975,52 | 31500 | 2524,479 | 0 | 1 | | |
| 20598,22 | 31500 | 10901,78 | 0 | 1 | | |
| 20949,97 | 31500 | 10550,03 | 0 | 1 | | |
| 27378,8 | 31500 | 4121,199 | 0 | 1 | | |
| 25595,88 | 31500 | 5904,121 | 0 | 1 | | |
| 26836,51 | 31500 | 4663,487 | 0 | 1 | | |
| 26180,55 | 31500 | 5319,449 | 0 | 1 | | |
| 28362,95 | 31500 | 3137,049 | 0 | 1 | | |
| 22834,74 | 31500 | 8665,255 | 0 | 1 | | |
| 30034,68 | 31500 | 1465,319 | 0 | 1 | | |
| 24016,85 | 31500 | 7483,147 | 0 | 1 | | |
| 26749,8 | 31500 | 4750,195 | 0 | 1 | | |
| 31555,64 | 31500 | -55,6354 | 0 | 0 | | |
| 24052,48 | 31500 | 7447,522 | 0 | 1 | | |
| 25857,33 | 31500 | 5642,668 | 0 | 1 | | |
| 22231,18 | 31500 | 9268,825 | 0 | 1 | | |
| 19761,07 | 31500 | 11738,93 | 0 | 1 | | |
| 19913,67 | 31500 | 11586,33 | 0 | 1 | | |
| 21824,7 | 31500 | 9675,3 | 0 | 1 | | |
| 20562,17 | 31500 | 10937,83 | 0 | 1 | | |
| ... | ... | ... | ... | ... | | |
| ... | ... | ... | ... | ... | | |
| ... | ... | ... | ... | ... | | |
| ... | ... | ... | ... | ... | | |
| 24874,92 | 31500 | 6625,084 | 0 | 1 | | |
| 27016,53 | 31500 | 4483,47 | 0 | 1 | | |
| 29674,21 | 31500 | 1825,791 | 0 | 1 | | |

| RNG Equivalent stress (psi) | Yield Strength, 0,9 SMYS (psi) | MK (psi) | Status | |
|-----------------------------|--------------------------------|----------|--------|-----|
| 26196,9 | 31500 | 5303,1 | 0 | 1 |
| 24034,51 | 31500 | 7465,493 | 0 | 1 |
| 23089,11 | 31500 | 8410,894 | 0 | 1 |
| 23768,42 | 31500 | 7731,583 | 0 | 1 |
| 25315,79 | 31500 | 6184,211 | 0 | 1 |
| 26444,11 | 31500 | 5055,889 | 0 | 1 |
| 28127,05 | 31500 | 3372,947 | 0 | 1 |
| 27531,44 | 31500 | 3968,563 | 0 | 1 |
| 25444,24 | 31500 | 6055,759 | 0 | 1 |
| 28344,19 | 31500 | 3155,805 | 0 | 1 |
| 22794,32 | 31500 | 8705,683 | 0 | 1 |
| 33090,17 | 31500 | -1590,17 | 0 | 0 |
| 27680,59 | 31500 | 3819,414 | 0 | 1 |
| 24990,59 | 31500 | 6509,411 | 0 | 1 |
| 23320,75 | 31500 | 8179,25 | 0 | 1 |
| 32572,97 | 31500 | -1072,97 | 0 | 0 |
| 27911,3 | 31500 | 3588,696 | 0 | 1 |
| 27312,36 | 31500 | 4187,638 | 0 | 1 |
| 21239,53 | 31500 | 10260,47 | 0 | 1 |
| 20126,73 | 31500 | 11373,27 | 0 | 1 |
| 26145,64 | 31500 | 5354,361 | 0 | 1 |
| 28480,16 | 31500 | 3019,842 | 0 | 1 |
| 25393,66 | 31500 | 6106,34 | 0 | 1 |
| 24857,26 | 31500 | 6642,744 | 0 | 1 |
| 34632,1 | 31500 | -3132,1 | 0 | 0 |
| 26593,44 | 31500 | 4906,557 | 0 | 1 |
| 28200,34 | 31500 | 3299,661 | 0 | 1 |
| 27178,89 | 31500 | 4321,11 | 0 | 1 |
| 29394,91 | 31500 | 2105,092 | 0 | 1 |
| 29608,33 | 31500 | 1891,675 | 0 | 1 |
| 23839,77 | 31500 | 7660,23 | 0 | 1 |
| ... | ... | ... | ... | ... |
| ... | ... | ... | ... | ... |
| ... | ... | ... | ... | ... |
| ... | ... | ... | ... | ... |
| 30247,6 | 31500 | 1252,403 | 0 | 1 |
| 21410,39 | 31500 | 10089,61 | 0 | 1 |
| 25004,48 | 31500 | 6495,516 | 0 | 1 |

| | |
|-----------------|-------|
| Jumlah RNG | 7000 |
| Jumlah Berhasil | 6444 |
| Jumlah Gagal | 556 |
| PoF | 0,079 |

| RNG Equivalent stress (psi) | Yield Strength, 0,9 SMYS (psi) | MK (psi) | Status | |
|-----------------------------|--------------------------------|----------|--------|-----|
| 25561,26 | 31500 | 5938,742 | 0 | 1 |
| 28269,79 | 31500 | 3230,211 | 0 | 1 |
| 28785,88 | 31500 | 2714,125 | 0 | 1 |
| 32232,19 | 31500 | -732,186 | 0 | 0 |
| 27328,55 | 31500 | 4171,45 | 0 | 1 |
| 32268,71 | 31500 | -768,707 | 0 | 0 |
| 23785,3 | 31500 | 7714,703 | 0 | 1 |
| 28707,04 | 31500 | 2792,959 | 0 | 1 |
| 23713,48 | 31500 | 7786,524 | 0 | 1 |
| 33098,04 | 31500 | -1598,04 | 0 | 0 |
| 25663,52 | 31500 | 5836,482 | 0 | 1 |
| 24501,92 | 31500 | 6998,083 | 0 | 1 |
| 25435,76 | 31500 | 6064,235 | 0 | 1 |
| 28272,68 | 31500 | 3227,319 | 0 | 1 |
| 29326,93 | 31500 | 2173,068 | 0 | 1 |
| 19315,38 | 31500 | 12184,62 | 0 | 1 |
| 22724,99 | 31500 | 8775,008 | 0 | 1 |
| 25414,48 | 31500 | 6085,524 | 0 | 1 |
| 26536,59 | 31500 | 4963,415 | 0 | 1 |
| 25686,13 | 31500 | 5813,873 | 0 | 1 |
| 28631,38 | 31500 | 2868,616 | 0 | 1 |
| 26200,51 | 31500 | 5299,488 | 0 | 1 |
| 25490,96 | 31500 | 6009,043 | 0 | 1 |
| 23334,15 | 31500 | 8165,852 | 0 | 1 |
| 23627,59 | 31500 | 7872,414 | 0 | 1 |
| 30718,64 | 31500 | 781,3553 | 0 | 1 |
| 24651,2 | 31500 | 6848,798 | 0 | 1 |
| 32086,79 | 31500 | -586,791 | 0 | 0 |
| 27962,87 | 31500 | 3537,132 | 0 | 1 |
| 23498,54 | 31500 | 8001,457 | 0 | 1 |
| 24130,5 | 31500 | 7369,495 | 0 | 1 |
| ... | ... | ... | ... | ... |
| ... | ... | ... | ... | ... |
| ... | ... | ... | ... | ... |
| ... | ... | ... | ... | ... |
| 32191,84 | 31500 | -691,836 | 0 | 0 |
| 30541,29 | 31500 | 958,7116 | 0 | 1 |
| 24781,11 | 31500 | 6718,888 | 0 | 1 |

| | |
|-----------------|-------|
| Jumlah RNG | 8000 |
| Jumlah Berhasil | 7408 |
| Jumlah Gagal | 592 |
| PoF | 0,074 |

| RNG Equivalent stress (psi) | Yield Strength, 0,9 SMYS (psi) | MK (psi) | Status | |
|-----------------------------|--------------------------------|----------|--------|-----|
| 28449,9 | 31500 | 3050,101 | 0 | 1 |
| 23941,86 | 31500 | 7558,142 | 0 | 1 |
| 21804,74 | 31500 | 9695,259 | 0 | 1 |
| 26146,13 | 31500 | 5353,871 | 0 | 1 |
| 25493,08 | 31500 | 6006,916 | 0 | 1 |
| 32716,07 | 31500 | -1216,07 | 0 | 0 |
| 27438,92 | 31500 | 4061,084 | 0 | 1 |
| 28140,3 | 31500 | 3359,701 | 0 | 1 |
| 33290,27 | 31500 | -1790,27 | 0 | 0 |
| 28585,83 | 31500 | 2914,175 | 0 | 1 |
| 30532,76 | 31500 | 967,2368 | 0 | 1 |
| 27437,25 | 31500 | 4062,749 | 0 | 1 |
| 34164,03 | 31500 | -2664,03 | 0 | 0 |
| 23611,9 | 31500 | 7888,105 | 0 | 1 |
| 24653,38 | 31500 | 6846,623 | 0 | 1 |
| 24932,24 | 31500 | 6567,764 | 0 | 1 |
| 26751,23 | 31500 | 4748,772 | 0 | 1 |
| 29502,76 | 31500 | 1997,242 | 0 | 1 |
| 27378,95 | 31500 | 4121,053 | 0 | 1 |
| 23898,15 | 31500 | 7601,848 | 0 | 1 |
| 30533,21 | 31500 | 966,7855 | 0 | 1 |
| 24231,34 | 31500 | 7268,662 | 0 | 1 |
| 32804,34 | 31500 | -1304,34 | 0 | 0 |
| 22190,82 | 31500 | 9309,185 | 0 | 1 |
| 29825,68 | 31500 | 1674,322 | 0 | 1 |
| 21597,4 | 31500 | 9902,596 | 0 | 1 |
| 26066 | 31500 | 5433,997 | 0 | 1 |
| 22585,02 | 31500 | 8914,977 | 0 | 1 |
| 27276,13 | 31500 | 4223,869 | 0 | 1 |
| 29940,76 | 31500 | 1559,243 | 0 | 1 |
| 21396,7 | 31500 | 10103,3 | 0 | 1 |
| ... | ... | ... | ... | ... |
| ... | ... | ... | ... | ... |
| ... | ... | ... | ... | ... |
| ... | ... | ... | ... | ... |
| 24451,84 | 31500 | 7048,164 | 0 | 1 |
| 24232,95 | 31500 | 7267,054 | 0 | 1 |
| 26985,83 | 31500 | 4514,169 | 0 | 1 |

| | |
|-----------------|-------|
| Jumlah RNG | 9000 |
| Jumlah Berhasil | 8301 |
| Jumlah Gagal | 699 |
| PoF | 0,078 |

| RNG Equivalent stress (psi) | Yield Strength, 0,9 SMYS (psi) | MK (psi) | Status | |
|-----------------------------|--------------------------------|----------|--------|-----|
| 22319,58 | 31500 | 9180,419 | 0 | 1 |
| 26333,07 | 31500 | 5166,927 | 0 | 1 |
| 28602,99 | 31500 | 2897,012 | 0 | 1 |
| 23629,14 | 31500 | 7870,856 | 0 | 1 |
| 28969,67 | 31500 | 2530,326 | 0 | 1 |
| 24784,92 | 31500 | 6715,081 | 0 | 1 |
| 22521,22 | 31500 | 8978,784 | 0 | 1 |
| 24949,07 | 31500 | 6550,929 | 0 | 1 |
| 25733,31 | 31500 | 5766,689 | 0 | 1 |
| 25535,82 | 31500 | 5964,184 | 0 | 1 |
| 30247,63 | 31500 | 1252,368 | 0 | 1 |
| 24755,03 | 31500 | 6744,966 | 0 | 1 |
| 24528,2 | 31500 | 6971,799 | 0 | 1 |
| 27042,2 | 31500 | 4457,804 | 0 | 1 |
| 21969,59 | 31500 | 9530,414 | 0 | 1 |
| 26886,3 | 31500 | 4613,702 | 0 | 1 |
| 25202,18 | 31500 | 6297,823 | 0 | 1 |
| 28801,44 | 31500 | 2698,558 | 0 | 1 |
| 32265,01 | 31500 | -765,008 | 0 | 0 |
| 25647,85 | 31500 | 5852,148 | 0 | 1 |
| 24687,93 | 31500 | 6812,075 | 0 | 1 |
| 20141,92 | 31500 | 11358,08 | 0 | 1 |
| 30881,06 | 31500 | 618,9419 | 0 | 1 |
| 32938,27 | 31500 | -1438,27 | 0 | 0 |
| 27210,38 | 31500 | 4289,621 | 0 | 1 |
| 25955,87 | 31500 | 5544,127 | 0 | 1 |
| 28644,65 | 31500 | 2855,349 | 0 | 1 |
| 19697,83 | 31500 | 11802,17 | 0 | 1 |
| 23284,4 | 31500 | 8215,598 | 0 | 1 |
| 25713,01 | 31500 | 5786,991 | 0 | 1 |
| 23022,84 | 31500 | 8477,156 | 0 | 1 |
| ... | ... | ... | ... | ... |
| ... | ... | ... | ... | ... |
| ... | ... | ... | ... | ... |
| ... | ... | ... | ... | ... |
| 21802,17 | 31500 | 9697,826 | 0 | 1 |
| 20048,04 | 31500 | 11451,96 | 0 | 1 |
| 20767,13 | 31500 | 10732,87 | 0 | 1 |

| | |
|-----------------|-------|
| Jumlah RNG | 10000 |
| Jumlah Berhasil | 9221 |
| Jumlah Gagal | 779 |
| PoF | 0,078 |

| RNG Equivalent stress (psi) | Yield Strength, 0,9 SMYS (psi) | MK (psi) | Status | |
|-----------------------------|--------------------------------|----------|--------|-----|
| 32379,88 | 31500 | -879,876 | 0 | 0 |
| 32514,16 | 31500 | -1014,16 | 0 | 0 |
| 28616,17 | 31500 | 2883,834 | 0 | 1 |
| 19274,45 | 31500 | 12225,55 | 0 | 1 |
| 30754,68 | 31500 | 745,3204 | 0 | 1 |
| 29144,1 | 31500 | 2355,905 | 0 | 1 |
| 26160,13 | 31500 | 5339,867 | 0 | 1 |
| 27853,14 | 31500 | 3646,857 | 0 | 1 |
| 26782,19 | 31500 | 4717,806 | 0 | 1 |
| 29390,58 | 31500 | 2109,42 | 0 | 1 |
| 29214,86 | 31500 | 2285,141 | 0 | 1 |
| 30164,11 | 31500 | 1335,885 | 0 | 1 |
| 28421,93 | 31500 | 3078,071 | 0 | 1 |
| 23975,44 | 31500 | 7524,561 | 0 | 1 |
| 26173,8 | 31500 | 5326,198 | 0 | 1 |
| 25579,59 | 31500 | 5920,41 | 0 | 1 |
| 23666,62 | 31500 | 7833,375 | 0 | 1 |
| 26312,67 | 31500 | 5187,326 | 0 | 1 |
| 20296,65 | 31500 | 11203,35 | 0 | 1 |
| 33427,98 | 31500 | -1927,98 | 0 | 0 |
| 26305,72 | 31500 | 5194,275 | 0 | 1 |
| 23636,97 | 31500 | 7863,033 | 0 | 1 |
| 28797,24 | 31500 | 2702,765 | 0 | 1 |
| 24266,67 | 31500 | 7233,334 | 0 | 1 |
| 24960,78 | 31500 | 6539,222 | 0 | 1 |
| 26780,56 | 31500 | 4719,435 | 0 | 1 |
| 29420,87 | 31500 | 2079,134 | 0 | 1 |
| 28613,91 | 31500 | 2886,093 | 0 | 1 |
| 28599,44 | 31500 | 2900,559 | 0 | 1 |
| 25972,87 | 31500 | 5527,129 | 0 | 1 |
| 25420,23 | 31500 | 6079,766 | 0 | 1 |
| 20310,54 | 31500 | 11189,46 | 0 | 1 |
| 25233,13 | 31500 | 6266,872 | 0 | 1 |
| 24089,61 | 31500 | 7410,388 | 0 | 1 |
| ... | ... | ... | ... | ... |
| ... | ... | ... | ... | ... |
| ... | ... | ... | ... | ... |
| ... | ... | ... | ... | ... |
| 22508,74 | 31500 | 8991,262 | 0 | 1 |
| 26083,77 | 31500 | 5416,233 | 0 | 1 |
| 26102,38 | 31500 | 5397,621 | 0 | 1 |

Montecarlo

Elbow Section 2

| | |
|-----------------|-------|
| Jumlah RNG | 1000 |
| Jumlah Berhasil | 921 |
| Jumlah Gagal | 79 |
| PoF | 0,079 |

| RNG Equivalent stress (psi) | Yield Strength, 0,9 SMYS (psi) | MK (psi) | Status | |
|-----------------------------|--------------------------------|----------|--------|-----|
| 20205,18 | 31500 | 11294,82 | 0 | 1 |
| 32562,23 | 31500 | -1062,23 | 0 | 0 |
| 25722,9 | 31500 | 5777,102 | 0 | 1 |
| 35265,36 | 31500 | -3765,36 | 0 | 0 |
| 30944,24 | 31500 | 555,7607 | 0 | 1 |
| 32732,14 | 31500 | -1232,14 | 0 | 0 |
| 23248,28 | 31500 | 8251,718 | 0 | 1 |
| 22820,48 | 31500 | 8679,52 | 0 | 1 |
| 33821,88 | 31500 | -2321,88 | 0 | 0 |
| 22680,8 | 31500 | 8819,202 | 0 | 1 |
| 22113,13 | 31500 | 9386,869 | 0 | 1 |
| 35352,96 | 31500 | -3852,96 | 0 | 0 |
| 21394,04 | 31500 | 10105,96 | 0 | 1 |
| 28190,95 | 31500 | 3309,05 | 0 | 1 |
| 30839,01 | 31500 | 660,9893 | 0 | 1 |
| 29715,58 | 31500 | 1784,425 | 0 | 1 |
| 20056,51 | 31500 | 11443,49 | 0 | 1 |
| 25805,23 | 31500 | 5694,775 | 0 | 1 |
| 25604,79 | 31500 | 5895,212 | 0 | 1 |
| 27885,14 | 31500 | 3614,864 | 0 | 1 |
| 28125,53 | 31500 | 3374,473 | 0 | 1 |
| 21110,18 | 31500 | 10389,82 | 0 | 1 |
| 26817,11 | 31500 | 4682,891 | 0 | 1 |
| 23132,11 | 31500 | 8367,887 | 0 | 1 |
| 26009,52 | 31500 | 5490,483 | 0 | 1 |
| 26645,09 | 31500 | 4854,907 | 0 | 1 |
| 32507,83 | 31500 | -1007,83 | 0 | 0 |
| 31178,14 | 31500 | 321,857 | 0 | 1 |
| 25073,3 | 31500 | 6426,696 | 0 | 1 |
| ... | ... | ... | ... | ... |
| ... | ... | ... | ... | ... |
| ... | ... | ... | ... | ... |
| ... | ... | ... | ... | ... |
| 26839,6 | 31500 | 4660,404 | 0 | 1 |
| 23517,27 | 31500 | 7982,725 | 0 | 1 |
| 22467,05 | 31500 | 9032,95 | 0 | 1 |

| | |
|-----------------|-------|
| Jumlah RNG | 2000 |
| Jumlah Berhasil | 1823 |
| Jumlah Gagal | 177 |
| PoF | 0,089 |

| RNG Equivalent stress (psi) | Yield Strength, 0,9 SMYS (psi) | MK (psi) | Status | |
|-----------------------------|--------------------------------|----------|--------|-----|
| 25733,77 | 31500 | 5766,226 | 0 | 1 |
| 23252,18 | 31500 | 8247,825 | 0 | 1 |
| 16875,73 | 31500 | 14624,27 | 0 | 1 |
| 20934,43 | 31500 | 10565,57 | 0 | 1 |
| 24144,08 | 31500 | 7355,92 | 0 | 1 |
| 22068,29 | 31500 | 9431,713 | 0 | 1 |
| 25511,44 | 31500 | 5988,563 | 0 | 1 |
| 23234,71 | 31500 | 8265,29 | 0 | 1 |
| 21563,38 | 31500 | 9936,616 | 0 | 1 |
| 24823,13 | 31500 | 6676,868 | 0 | 1 |
| 35748,34 | 31500 | -4248,34 | 0 | 0 |
| 26130,12 | 31500 | 5369,878 | 0 | 1 |
| 28380,31 | 31500 | 3119,689 | 0 | 1 |
| 27808,54 | 31500 | 3691,464 | 0 | 1 |
| 23893,47 | 31500 | 7606,533 | 0 | 1 |
| 26711,54 | 31500 | 4788,464 | 0 | 1 |
| 30834,91 | 31500 | 665,093 | 0 | 1 |
| 22538,91 | 31500 | 8961,09 | 0 | 1 |
| 29409,12 | 31500 | 2090,876 | 0 | 1 |
| 33306,02 | 31500 | -1806,02 | 0 | 0 |
| 30811,52 | 31500 | 688,4756 | 0 | 1 |
| 28840,61 | 31500 | 2659,386 | 0 | 1 |
| 26978,7 | 31500 | 4521,302 | 0 | 1 |
| 27955,67 | 31500 | 3544,325 | 0 | 1 |
| 26294,02 | 31500 | 5205,982 | 0 | 1 |
| 26933,24 | 31500 | 4566,762 | 0 | 1 |
| 26178,57 | 31500 | 5321,431 | 0 | 1 |
| 23339,29 | 31500 | 8160,707 | 0 | 1 |
| 32090,45 | 31500 | -590,451 | 0 | 0 |
| ... | ... | ... | ... | ... |
| ... | ... | ... | ... | ... |
| ... | ... | ... | ... | ... |
| ... | ... | ... | ... | ... |
| 27628,92 | 31500 | 3871,079 | 0 | 1 |
| 30381,01 | 31500 | 1118,992 | 0 | 1 |
| 26505,91 | 31500 | 4994,092 | 0 | 1 |

| | |
|-----------------|-------|
| Jumlah RNG | 3000 |
| Jumlah Berhasil | 2749 |
| Jumlah Gagal | 251 |
| PoF | 0,084 |

| RNG Equivalent stress (psi) | Yield Strength, 0,9 SMYS (psi) | MK (psi) | Status | |
|-----------------------------|--------------------------------|----------|--------|-----|
| 25730 | 31500 | 5770 | 0 | 1 |
| 22166,65 | 31500 | 9333,352 | 0 | 1 |
| 16866,77 | 31500 | 14633,23 | 0 | 1 |
| 25469,96 | 31500 | 6030,038 | 0 | 1 |
| 26338,68 | 31500 | 5161,319 | 0 | 1 |
| 32922,37 | 31500 | -1422,37 | 0 | 0 |
| 28787,42 | 31500 | 2712,579 | 0 | 1 |
| 27601,46 | 31500 | 3898,544 | 0 | 1 |
| 24868,28 | 31500 | 6631,723 | 0 | 1 |
| 22750,7 | 31500 | 8749,298 | 0 | 1 |
| 25681,93 | 31500 | 5818,073 | 0 | 1 |
| 27649,32 | 31500 | 3850,678 | 0 | 1 |
| 31393,54 | 31500 | 106,4615 | 0 | 1 |
| 29813,03 | 31500 | 1686,967 | 0 | 1 |
| 26195,44 | 31500 | 5304,562 | 0 | 1 |
| 25960,53 | 31500 | 5539,475 | 0 | 1 |
| 30580,68 | 31500 | 919,3202 | 0 | 1 |
| 27078,95 | 31500 | 4421,05 | 0 | 1 |
| 19227,46 | 31500 | 12272,54 | 0 | 1 |
| 18688,84 | 31500 | 12811,16 | 0 | 1 |
| 24261,53 | 31500 | 7238,468 | 0 | 1 |
| 26805,31 | 31500 | 4694,689 | 0 | 1 |
| 31158,58 | 31500 | 341,4168 | 0 | 1 |
| 25942,71 | 31500 | 5557,293 | 0 | 1 |
| 20461,63 | 31500 | 11038,37 | 0 | 1 |
| 26264,41 | 31500 | 5235,586 | 0 | 1 |
| 30556,98 | 31500 | 943,0171 | 0 | 1 |
| 29588,56 | 31500 | 1911,438 | 0 | 1 |
| 23283,78 | 31500 | 8216,222 | 0 | 1 |
| ... | ... | ... | ... | ... |
| ... | ... | ... | ... | ... |
| ... | ... | ... | ... | ... |
| ... | ... | ... | ... | ... |
| 24755,83 | 31500 | 6744,174 | 0 | 1 |
| 27849,39 | 31500 | 3650,615 | 0 | 1 |
| 27220,35 | 31500 | 4279,649 | 0 | 1 |

| | |
|-----------------|-------|
| Jumlah RNG | 4000 |
| Jumlah Berhasil | 3672 |
| Jumlah Gagal | 328 |
| PoF | 0,082 |

| RNG Equivalent stress (psi) | Yield Strength, 0,9 SMYS (psi) | MK (psi) | Status | |
|-----------------------------|--------------------------------|----------|--------|-----|
| 24882,81 | 31500 | 6617,191 | 0 | 1 |
| 30865,77 | 31500 | 634,2327 | 0 | 1 |
| 28682,96 | 31500 | 2817,036 | 0 | 1 |
| 28744,57 | 31500 | 2755,434 | 0 | 1 |
| 28558,3 | 31500 | 2941,7 | 0 | 1 |
| 15943,05 | 31500 | 15556,95 | 0 | 1 |
| 30445,15 | 31500 | 1054,846 | 0 | 1 |
| 24028,28 | 31500 | 7471,721 | 0 | 1 |
| 24767,3 | 31500 | 6732,705 | 0 | 1 |
| 33612,6 | 31500 | -2112,6 | 0 | 0 |
| 22415,44 | 31500 | 9084,564 | 0 | 1 |
| 27805,92 | 31500 | 3694,08 | 0 | 1 |
| 24759,59 | 31500 | 6740,406 | 0 | 1 |
| 22792,16 | 31500 | 8707,839 | 0 | 1 |
| 33105,17 | 31500 | -1605,17 | 0 | 0 |
| 30574,39 | 31500 | 925,6109 | 0 | 1 |
| 20447,64 | 31500 | 11052,36 | 0 | 1 |
| 24275,41 | 31500 | 7224,594 | 0 | 1 |
| 32780,72 | 31500 | -1280,72 | 0 | 0 |
| 26469,12 | 31500 | 5030,881 | 0 | 1 |
| 26418,55 | 31500 | 5081,448 | 0 | 1 |
| 20378,72 | 31500 | 11121,28 | 0 | 1 |
| 31810,62 | 31500 | -310,616 | 0 | 0 |
| 27968,93 | 31500 | 3531,066 | 0 | 1 |
| 22763,54 | 31500 | 8736,458 | 0 | 1 |
| 26030,74 | 31500 | 5469,264 | 0 | 1 |
| 22790,57 | 31500 | 8709,428 | 0 | 1 |
| 33323,57 | 31500 | -1823,57 | 0 | 0 |
| 26194,25 | 31500 | 5305,755 | 0 | 1 |
| ... | ... | ... | ... | ... |
| ... | ... | ... | ... | ... |
| ... | ... | ... | ... | ... |
| ... | ... | ... | ... | ... |
| 25911,13 | 31500 | 5588,872 | 0 | 1 |
| 23573,47 | 31500 | 7926,531 | 0 | 1 |
| 24809,68 | 31500 | 6690,322 | 0 | 1 |

| | |
|-----------------|-------|
| Jumlah RNG | 5000 |
| Jumlah Berhasil | 4583 |
| Jumlah Gagal | 417 |
| PoF | 0,083 |

| RNG Equivalent stress (psi) | Yield Strength, 0,9 SMYS (psi) | MK (psi) | Status | |
|-----------------------------|--------------------------------|----------|--------|-----|
| 23652,69 | 31500 | 7847,313 | 0 | 1 |
| 22577,44 | 31500 | 8922,559 | 0 | 1 |
| 29903,83 | 31500 | 1596,165 | 0 | 1 |
| 25978,62 | 31500 | 5521,375 | 0 | 1 |
| 27844,7 | 31500 | 3655,298 | 0 | 1 |
| 25663,08 | 31500 | 5836,916 | 0 | 1 |
| 29547,48 | 31500 | 1952,517 | 0 | 1 |
| 30394,33 | 31500 | 1105,667 | 0 | 1 |
| 21838,18 | 31500 | 9661,817 | 0 | 1 |
| 22019,63 | 31500 | 9480,374 | 0 | 1 |
| 30104,83 | 31500 | 1395,172 | 0 | 1 |
| 30428,36 | 31500 | 1071,645 | 0 | 1 |
| 23357,37 | 31500 | 8142,625 | 0 | 1 |
| 34346,05 | 31500 | -2846,05 | 0 | 0 |
| 24475,81 | 31500 | 7024,191 | 0 | 1 |
| 24770,98 | 31500 | 6729,019 | 0 | 1 |
| 24732,12 | 31500 | 6767,881 | 0 | 1 |
| 32642,87 | 31500 | -1142,87 | 0 | 0 |
| 29113,62 | 31500 | 2386,38 | 0 | 1 |
| 28948,54 | 31500 | 2551,457 | 0 | 1 |
| 26996,14 | 31500 | 4503,858 | 0 | 1 |
| 28128,27 | 31500 | 3371,733 | 0 | 1 |
| 27821,47 | 31500 | 3678,53 | 0 | 1 |
| 26546,62 | 31500 | 4953,379 | 0 | 1 |
| 27900,01 | 31500 | 3599,992 | 0 | 1 |
| 24010,6 | 31500 | 7489,4 | 0 | 1 |
| 29170,45 | 31500 | 2329,555 | 0 | 1 |
| 25508,28 | 31500 | 5991,718 | 0 | 1 |
| 21416,69 | 31500 | 10083,31 | 0 | 1 |
| ... | ... | ... | ... | ... |
| ... | ... | ... | ... | ... |
| ... | ... | ... | ... | ... |
| ... | ... | ... | ... | ... |
| 32143,11 | 31500 | -643,106 | 0 | 0 |
| 29855,54 | 31500 | 1644,46 | 0 | 1 |
| 26443,7 | 31500 | 5056,304 | 0 | 1 |

| | |
|-----------------|-------|
| Jumlah RNG | 6000 |
| Jumlah Berhasil | 5500 |
| Jumlah Gagal | 500 |
| PoF | 0,083 |

Montecarlo

Elbow Section 3

| RNG Equivalent stress (psi) | Yield Strength, 0,9 SMYS (psi) | MK (psi) | Status | |
|-----------------------------|--------------------------------|----------|--------|-----|
| 31841,24 | 31500 | -341,24 | 0 | 0 |
| 24075,8 | 31500 | 7424,198 | 0 | 1 |
| 28361,24 | 31500 | 3138,759 | 0 | 1 |
| 25197,54 | 31500 | 6302,457 | 0 | 1 |
| 28140,34 | 31500 | 3359,659 | 0 | 1 |
| 30464,39 | 31500 | 1035,607 | 0 | 1 |
| 23792,61 | 31500 | 7707,393 | 0 | 1 |
| 23725,54 | 31500 | 7774,463 | 0 | 1 |
| 25257,27 | 31500 | 6242,725 | 0 | 1 |
| 25309,61 | 31500 | 6190,389 | 0 | 1 |
| 29807,47 | 31500 | 1692,525 | 0 | 1 |
| 21902,84 | 31500 | 9597,159 | 0 | 1 |
| 26704,47 | 31500 | 4795,528 | 0 | 1 |
| 28303,44 | 31500 | 3196,562 | 0 | 1 |
| 26349,98 | 31500 | 5150,021 | 0 | 1 |
| 30868,43 | 31500 | 631,5663 | 0 | 1 |
| 32239,73 | 31500 | -739,734 | 0 | 0 |
| 22640,72 | 31500 | 8859,284 | 0 | 1 |
| 21664,88 | 31500 | 9835,124 | 0 | 1 |
| 27714,03 | 31500 | 3785,968 | 0 | 1 |
| 27586,31 | 31500 | 3913,688 | 0 | 1 |
| 29399,01 | 31500 | 2100,994 | 0 | 1 |
| 28401,08 | 31500 | 3098,924 | 0 | 1 |
| 27938,66 | 31500 | 3561,335 | 0 | 1 |
| 27505,34 | 31500 | 3994,663 | 0 | 1 |
| 22806,06 | 31500 | 8693,943 | 0 | 1 |
| 31324,29 | 31500 | 175,7104 | 0 | 1 |
| 28666,02 | 31500 | 2833,985 | 0 | 1 |
| 24131,01 | 31500 | 7368,989 | 0 | 1 |
| 24181,09 | 31500 | 7318,907 | 0 | 1 |
| 30214,53 | 31500 | 1285,474 | 0 | 1 |
| ... | ... | ... | ... | ... |
| ... | ... | ... | ... | ... |
| ... | ... | ... | ... | ... |
| ... | ... | ... | ... | ... |
| 28934,93 | 31500 | 2565,069 | 0 | 1 |
| 23757,3 | 31500 | 7742,703 | 0 | 1 |
| 28147,96 | 31500 | 3352,039 | 0 | 1 |

| | |
|-----------------|-------|
| Jumlah RNG | 1000 |
| Jumlah Berhasil | 920 |
| Jumlah Gagal | 80 |
| PoF | 0,080 |

| RNG Equivalent stress (psi) | Yield Strength, 0,9 SMYS (psi) | MK (psi) | Status | |
|-----------------------------|--------------------------------|----------|--------|-----|
| 26382,44 | 31500 | 5117,556 | 0 | 1 |
| 27461,84 | 31500 | 4038,16 | 0 | 1 |
| 24841,13 | 31500 | 6658,867 | 0 | 1 |
| 27223,32 | 31500 | 4276,683 | 0 | 1 |
| 24814,36 | 31500 | 6685,645 | 0 | 1 |
| 27427,81 | 31500 | 4072,188 | 0 | 1 |
| 27494,6 | 31500 | 4005,395 | 0 | 1 |
| 26960,52 | 31500 | 4539,479 | 0 | 1 |
| 30520,97 | 31500 | 979,0309 | 0 | 1 |
| 27674,04 | 31500 | 3825,957 | 0 | 1 |
| 24929,98 | 31500 | 6570,017 | 0 | 1 |
| 20470,44 | 31500 | 11029,56 | 0 | 1 |
| 26840,09 | 31500 | 4659,91 | 0 | 1 |
| 29569,81 | 31500 | 1930,19 | 0 | 1 |
| 28074,16 | 31500 | 3425,836 | 0 | 1 |
| 27750,3 | 31500 | 3749,701 | 0 | 1 |
| 23489,54 | 31500 | 8010,465 | 0 | 1 |
| 24758,99 | 31500 | 6741,012 | 0 | 1 |
| 26289,92 | 31500 | 5210,083 | 0 | 1 |
| 23755,78 | 31500 | 7744,218 | 0 | 1 |
| 32728,08 | 31500 | -1228,08 | 0 | 0 |
| 31759,37 | 31500 | -259,372 | 0 | 0 |
| 28699,18 | 31500 | 2800,816 | 0 | 1 |
| 26478,53 | 31500 | 5021,471 | 0 | 1 |
| 30813,9 | 31500 | 686,1029 | 0 | 1 |
| 21493,57 | 31500 | 10006,43 | 0 | 1 |
| 25118 | 31500 | 6381,996 | 0 | 1 |
| 27210,88 | 31500 | 4289,124 | 0 | 1 |
| 26621,07 | 31500 | 4878,932 | 0 | 1 |
| 22020,96 | 31500 | 9479,037 | 0 | 1 |
| 26446,46 | 31500 | 5053,542 | 0 | 1 |
| 31395,97 | 31500 | 104,0252 | 0 | 1 |
| ... | ... | ... | ... | ... |
| ... | ... | ... | ... | ... |
| ... | ... | ... | ... | ... |
| ... | ... | ... | ... | ... |
| 28127,98 | 31500 | 3372,023 | 0 | 1 |
| 25583,63 | 31500 | 5916,368 | 0 | 1 |
| 23633,85 | 31500 | 7866,147 | 0 | 1 |

| | |
|-----------------|-------|
| Jumlah RNG | 2000 |
| Jumlah Berhasil | 1838 |
| Jumlah Gagal | 162 |
| PoF | 0,081 |

| RNG Equivalent stress (psi) | Yield Strength, 0,9 SMYS (psi) | MK (psi) | Status | |
|-----------------------------|--------------------------------|----------|--------|-----|
| 23396,92 | 31500 | 8103,085 | 0 | 1 |
| 30865,4 | 31500 | 634,6015 | 0 | 1 |
| 23163,58 | 31500 | 8336,419 | 0 | 1 |
| 25027,76 | 31500 | 6472,24 | 0 | 1 |
| 28630,68 | 31500 | 2869,325 | 0 | 1 |
| 20654,68 | 31500 | 10845,32 | 0 | 1 |
| 27135,04 | 31500 | 4364,963 | 0 | 1 |
| 21783,24 | 31500 | 9716,76 | 0 | 1 |
| 24104,46 | 31500 | 7395,544 | 0 | 1 |
| 25226,53 | 31500 | 6273,469 | 0 | 1 |
| 28904,07 | 31500 | 2595,927 | 0 | 1 |
| 29819,69 | 31500 | 1680,309 | 0 | 1 |
| 24980,53 | 31500 | 6519,468 | 0 | 1 |
| 27392,99 | 31500 | 4107,013 | 0 | 1 |
| 21523,12 | 31500 | 9976,875 | 0 | 1 |
| 25220,62 | 31500 | 6279,378 | 0 | 1 |
| 28852,08 | 31500 | 2647,918 | 0 | 1 |
| 28280,73 | 31500 | 3219,272 | 0 | 1 |
| 27325,78 | 31500 | 4174,217 | 0 | 1 |
| 23029,95 | 31500 | 8470,047 | 0 | 1 |
| 26275,06 | 31500 | 5224,936 | 0 | 1 |
| 20714,29 | 31500 | 10785,71 | 0 | 1 |
| 26916,52 | 31500 | 4583,482 | 0 | 1 |
| 27351,64 | 31500 | 4148,355 | 0 | 1 |
| 21551,69 | 31500 | 9948,308 | 0 | 1 |
| 24532,02 | 31500 | 6967,982 | 0 | 1 |
| 20903,19 | 31500 | 10596,81 | 0 | 1 |
| 24548,43 | 31500 | 6951,569 | 0 | 1 |
| 20949,34 | 31500 | 10550,66 | 0 | 1 |
| 24568,92 | 31500 | 6931,085 | 0 | 1 |
| 26770,67 | 31500 | 4729,332 | 0 | 1 |
| ... | ... | ... | ... | ... |
| ... | ... | ... | ... | ... |
| ... | ... | ... | ... | ... |
| ... | ... | ... | ... | ... |
| 28775,72 | 31500 | 2724,28 | 0 | 1 |
| 26126,43 | 31500 | 5373,571 | 0 | 1 |
| 23827,02 | 31500 | 7672,975 | 0 | 1 |

| | |
|-----------------|-------|
| Jumlah RNG | 3000 |
| Jumlah Berhasil | 2756 |
| Jumlah Gagal | 244 |
| PoF | 0,081 |

| RNG Equivalent stress (psi) | Yield Strength, 0,9 SMYS (psi) | MK (psi) | Status | |
|-----------------------------|--------------------------------|----------|--------|-----|
| 25956,09 | 31500 | 5543,905 | 0 | 1 |
| 18522,17 | 31500 | 12977,83 | 0 | 1 |
| 27039 | 31500 | 4460,998 | 0 | 1 |
| 27531,29 | 31500 | 3968,712 | 0 | 1 |
| 28351,46 | 31500 | 3148,541 | 0 | 1 |
| 25248,7 | 31500 | 6251,305 | 0 | 1 |
| 29016,54 | 31500 | 2483,464 | 0 | 1 |
| 21304,61 | 31500 | 10195,39 | 0 | 1 |
| 28253,54 | 31500 | 3246,463 | 0 | 1 |
| 30372,77 | 31500 | 1127,231 | 0 | 1 |
| 27145,01 | 31500 | 4354,987 | 0 | 1 |
| 27717,04 | 31500 | 3782,958 | 0 | 1 |
| 21912,55 | 31500 | 9587,454 | 0 | 1 |
| 24232,43 | 31500 | 7267,568 | 0 | 1 |
| 23524,09 | 31500 | 7975,91 | 0 | 1 |
| 24077,31 | 31500 | 7422,692 | 0 | 1 |
| 30494,62 | 31500 | 1005,384 | 0 | 1 |
| 20980,31 | 31500 | 10519,69 | 0 | 1 |
| 28291,39 | 31500 | 3208,607 | 0 | 1 |
| 29487,54 | 31500 | 2012,459 | 0 | 1 |
| 22743,54 | 31500 | 8756,463 | 0 | 1 |
| 29726,04 | 31500 | 1773,956 | 0 | 1 |
| 28260,59 | 31500 | 3239,41 | 0 | 1 |
| 24437,59 | 31500 | 7062,414 | 0 | 1 |
| ... | ... | ... | ... | ... |
| ... | ... | ... | ... | ... |
| ... | ... | ... | ... | ... |
| ... | ... | ... | ... | ... |
| 28280,37 | 31500 | 3219,631 | 0 | 1 |
| 22268,7 | 31500 | 9231,302 | 0 | 1 |
| 30976,96 | 31500 | 523,0387 | 0 | 1 |

| | |
|-----------------|-------|
| Jumlah RNG | 4000 |
| Jumlah Berhasil | 3691 |
| Jumlah Gagal | 309 |
| PoF | 0,077 |

| RNG Equivalent stress (psi) | Yield Strength, 0,9 SMYS (psi) | MK (psi) | Status | |
|-----------------------------|--------------------------------|----------|--------|-----|
| 25030,3 | 31500 | 6469,702 | 0 | 1 |
| 22114,46 | 31500 | 9385,544 | 0 | 1 |
| 25746,65 | 31500 | 5753,353 | 0 | 1 |
| 22479,46 | 31500 | 9020,537 | 0 | 1 |
| 22696,97 | 31500 | 8803,034 | 0 | 1 |
| 28941,13 | 31500 | 2558,873 | 0 | 1 |
| 21165,13 | 31500 | 10334,87 | 0 | 1 |
| 27425,4 | 31500 | 4074,602 | 0 | 1 |
| 33880,61 | 31500 | -2380,61 | 0 | 0 |
| 33584,87 | 31500 | -2084,87 | 0 | 0 |
| 30374,1 | 31500 | 1125,901 | 0 | 1 |
| 23187,06 | 31500 | 8312,937 | 0 | 1 |
| 25396,14 | 31500 | 6103,857 | 0 | 1 |
| 22743,48 | 31500 | 8756,522 | 0 | 1 |
| 24026,3 | 31500 | 7473,702 | 0 | 1 |
| 28514,52 | 31500 | 2985,476 | 0 | 1 |
| 33603,53 | 31500 | -2103,53 | 0 | 0 |
| 22961,34 | 31500 | 8538,656 | 0 | 1 |
| 29914,58 | 31500 | 1585,42 | 0 | 1 |
| 23514,04 | 31500 | 7985,959 | 0 | 1 |
| 20341,37 | 31500 | 11158,63 | 0 | 1 |
| 30614,62 | 31500 | 885,3775 | 0 | 1 |
| 27778,76 | 31500 | 3721,243 | 0 | 1 |
| 28156,78 | 31500 | 3343,223 | 0 | 1 |
| 23349,88 | 31500 | 8150,123 | 0 | 1 |
| 25595,24 | 31500 | 5904,756 | 0 | 1 |
| 27573,77 | 31500 | 3926,232 | 0 | 1 |
| 28471,41 | 31500 | 3028,588 | 0 | 1 |
| 26855,86 | 31500 | 4644,144 | 0 | 1 |
| ... | ... | ... | ... | ... |
| ... | ... | ... | ... | ... |
| ... | ... | ... | ... | ... |
| ... | ... | ... | ... | ... |
| 25118,17 | 31500 | 6381,832 | 0 | 1 |
| 31404,54 | 31500 | 95,46121 | 0 | 1 |
| 29906,92 | 31500 | 1593,08 | 0 | 1 |

| | |
|-----------------|-------|
| Jumlah RNG | 5000 |
| Jumlah Berhasil | 4601 |
| Jumlah Gagal | 399 |
| PoF | 0,080 |

| RNG Equivalent stress (psi) | Yield Strength, 0,9 SMYS (psi) | MK (psi) | Status | |
|-----------------------------|--------------------------------|----------|--------|-----|
| 23010,34 | 31500 | 8489,657 | 0 | 1 |
| 29270,6 | 31500 | 2229,398 | 0 | 1 |
| 26161,48 | 31500 | 5338,52 | 0 | 1 |
| 34827,62 | 31500 | -3327,62 | 0 | 0 |
| 27216,17 | 31500 | 4283,834 | 0 | 1 |
| 30364,52 | 31500 | 1135,475 | 0 | 1 |
| 25071,37 | 31500 | 6428,628 | 0 | 1 |
| 29106,05 | 31500 | 2393,948 | 0 | 1 |
| 20218,91 | 31500 | 11281,09 | 0 | 1 |
| 29500,82 | 31500 | 1999,185 | 0 | 1 |
| 23504,96 | 31500 | 7995,044 | 0 | 1 |
| 28752,42 | 31500 | 2747,582 | 0 | 1 |
| 26750,62 | 31500 | 4749,376 | 0 | 1 |
| 27509,33 | 31500 | 3990,674 | 0 | 1 |
| 25297,02 | 31500 | 6202,976 | 0 | 1 |
| 26648 | 31500 | 4851,997 | 0 | 1 |
| 23021,25 | 31500 | 8478,745 | 0 | 1 |
| 29467,98 | 31500 | 2032,016 | 0 | 1 |
| 25353,79 | 31500 | 6146,213 | 0 | 1 |
| 21984,4 | 31500 | 9515,599 | 0 | 1 |
| 21220,71 | 31500 | 10279,29 | 0 | 1 |
| 23955,91 | 31500 | 7544,09 | 0 | 1 |
| 28568,9 | 31500 | 2931,096 | 0 | 1 |
| 25465,39 | 31500 | 6034,609 | 0 | 1 |
| 29420,2 | 31500 | 2079,796 | 0 | 1 |
| 27343,63 | 31500 | 4156,366 | 0 | 1 |
| 26145,39 | 31500 | 5354,611 | 0 | 1 |
| 28668,39 | 31500 | 2831,613 | 0 | 1 |
| 29812,08 | 31500 | 1687,917 | 0 | 1 |
| 28028,8 | 31500 | 3471,205 | 0 | 1 |
| 28895,4 | 31500 | 2604,603 | 0 | 1 |
| ... | ... | ... | ... | ... |
| ... | ... | ... | ... | ... |
| ... | ... | ... | ... | ... |
| ... | ... | ... | ... | ... |
| 35975,17 | 31500 | -4475,17 | 0 | 0 |
| 26211,38 | 31500 | 5288,62 | 0 | 1 |
| 24858,99 | 31500 | 6641,011 | 0 | 1 |

| | |
|-----------------|-------|
| Jumlah RNG | 6000 |
| Jumlah Berhasil | 5497 |
| Jumlah Gagal | 503 |
| PoF | 0,084 |

| RNG Equivalent stress (psi) | Yield Strength, 0,9 SMYS (psi) | MK (psi) | Status | |
|-----------------------------|--------------------------------|----------|--------|-----|
| 21051,82 | 31500 | 10448,18 | 0 | 1 |
| 23241,5 | 31500 | 8258,499 | 0 | 1 |
| 24650,64 | 31500 | 6849,358 | 0 | 1 |
| 29041,79 | 31500 | 2458,208 | 0 | 1 |
| 29785,83 | 31500 | 1714,169 | 0 | 1 |
| 22348,55 | 31500 | 9151,448 | 0 | 1 |
| 31850,81 | 31500 | -350,812 | 0 | 0 |
| 23402,78 | 31500 | 8097,219 | 0 | 1 |
| 27278,45 | 31500 | 4221,549 | 0 | 1 |
| 26686,92 | 31500 | 4813,08 | 0 | 1 |
| 27064,23 | 31500 | 4435,767 | 0 | 1 |
| 24763,02 | 31500 | 6736,981 | 0 | 1 |
| 25563,61 | 31500 | 5936,386 | 0 | 1 |
| 23410,92 | 31500 | 8089,077 | 0 | 1 |
| 31440,22 | 31500 | 59,78148 | 0 | 1 |
| 29414,62 | 31500 | 2085,378 | 0 | 1 |
| 27165,05 | 31500 | 4334,946 | 0 | 1 |
| 24645,24 | 31500 | 6854,758 | 0 | 1 |
| 20918,27 | 31500 | 10581,73 | 0 | 1 |
| 29268,89 | 31500 | 2231,108 | 0 | 1 |
| 25670,17 | 31500 | 5829,834 | 0 | 1 |
| 24207,97 | 31500 | 7292,032 | 0 | 1 |
| 32120,17 | 31500 | -620,169 | 0 | 0 |
| 28211,01 | 31500 | 3288,992 | 0 | 1 |
| 32264,97 | 31500 | -764,965 | 0 | 0 |
| 28714,98 | 31500 | 2785,025 | 0 | 1 |
| 23074,52 | 31500 | 8425,475 | 0 | 1 |
| 26013,25 | 31500 | 5486,748 | 0 | 1 |
| 19142,48 | 31500 | 12357,52 | 0 | 1 |
| 23895,95 | 31500 | 7604,049 | 0 | 1 |
| 27306,41 | 31500 | 4193,595 | 0 | 1 |
| ... | ... | ... | ... | ... |
| ... | ... | ... | ... | ... |
| ... | ... | ... | ... | ... |
| ... | ... | ... | ... | ... |
| 24858,19 | 31500 | 6641,81 | 0 | 1 |
| 31475,08 | 31500 | 24,91536 | 0 | 1 |
| 23924,61 | 31500 | 7575,393 | 0 | 1 |

| | |
|-----------------|-------|
| Jumlah RNG | 7000 |
| Jumlah Berhasil | 6383 |
| Jumlah Gagal | 617 |
| PoF | 0,088 |

| RNG Equivalent stress (psi) | Yield Strength, 0,9 SMYS (psi) | MK (psi) | Status | |
|-----------------------------|--------------------------------|----------|--------|-----|
| 24120,4 | 31500 | 7379,599 | 0 | 1 |
| 25797,71 | 31500 | 5702,289 | 0 | 1 |
| 23371,45 | 31500 | 8128,552 | 0 | 1 |
| 34141,91 | 31500 | -2641,91 | 0 | 0 |
| 23965,66 | 31500 | 7534,344 | 0 | 1 |
| 26939,22 | 31500 | 4560,778 | 0 | 1 |
| 23019 | 31500 | 8481 | 0 | 1 |
| 31237,98 | 31500 | 262,0237 | 0 | 1 |
| 30643,95 | 31500 | 856,0482 | 0 | 1 |
| 25434,93 | 31500 | 6065,074 | 0 | 1 |
| 34110,24 | 31500 | -2610,24 | 0 | 0 |
| 26449,63 | 31500 | 5050,373 | 0 | 1 |
| 22910,62 | 31500 | 8589,383 | 0 | 1 |
| 32926,37 | 31500 | -1426,37 | 0 | 0 |
| 23709,87 | 31500 | 7790,135 | 0 | 1 |
| 22243,99 | 31500 | 9256,006 | 0 | 1 |
| 29000,25 | 31500 | 2499,749 | 0 | 1 |
| 26521,4 | 31500 | 4978,596 | 0 | 1 |
| 27273,67 | 31500 | 4226,332 | 0 | 1 |
| 28253,32 | 31500 | 3246,675 | 0 | 1 |
| 22389,91 | 31500 | 9110,09 | 0 | 1 |
| 32250,11 | 31500 | -750,106 | 0 | 0 |
| 28734,73 | 31500 | 2765,267 | 0 | 1 |
| 30254,18 | 31500 | 1245,818 | 0 | 1 |
| 21702,73 | 31500 | 9797,271 | 0 | 1 |
| 26055,57 | 31500 | 5444,434 | 0 | 1 |
| 24581,2 | 31500 | 6918,798 | 0 | 1 |
| 24949,53 | 31500 | 6550,474 | 0 | 1 |
| 29032,06 | 31500 | 2467,938 | 0 | 1 |
| 21704,32 | 31500 | 9795,679 | 0 | 1 |
| 23924,29 | 31500 | 7575,708 | 0 | 1 |
| ... | ... | ... | ... | ... |
| ... | ... | ... | ... | ... |
| ... | ... | ... | ... | ... |
| ... | ... | ... | ... | ... |
| 25290,99 | 31500 | 6209,005 | 0 | 1 |
| 17373,79 | 31500 | 14126,21 | 0 | 1 |
| 25017,63 | 31500 | 6482,367 | 0 | 1 |

| | |
|-----------------|-------|
| Jumlah RNG | 8000 |
| Jumlah Berhasil | 7352 |
| Jumlah Gagal | 648 |
| PoF | 0,081 |

| RNG Equivalent stress (psi) | Yield Strength, 0,9 SMYS (psi) | MK (psi) | Status | |
|-----------------------------|--------------------------------|----------|--------|-----|
| 24942,58 | 31500 | 6557,422 | 0 | 1 |
| 25951,86 | 31500 | 5548,14 | 0 | 1 |
| 34443,74 | 31500 | -2943,74 | 0 | 0 |
| 28639,06 | 31500 | 2860,941 | 0 | 1 |
| 22869,41 | 31500 | 8630,59 | 0 | 1 |
| 25381,98 | 31500 | 6118,018 | 0 | 1 |
| 25527,01 | 31500 | 5972,988 | 0 | 1 |
| 19114,79 | 31500 | 12385,21 | 0 | 1 |
| 23235,59 | 31500 | 8264,415 | 0 | 1 |
| 23313,86 | 31500 | 8186,142 | 0 | 1 |
| 18792,23 | 31500 | 12707,77 | 0 | 1 |
| 19581,07 | 31500 | 11918,93 | 0 | 1 |
| 30707,74 | 31500 | 792,2645 | 0 | 1 |
| 26696,8 | 31500 | 4803,199 | 0 | 1 |
| 29999,98 | 31500 | 1500,018 | 0 | 1 |
| 32702,17 | 31500 | -1202,17 | 0 | 0 |
| 23102,63 | 31500 | 8397,369 | 0 | 1 |
| 32518,97 | 31500 | -1018,97 | 0 | 0 |
| 22561,36 | 31500 | 8938,644 | 0 | 1 |
| 27156,33 | 31500 | 4343,674 | 0 | 1 |
| 28120,42 | 31500 | 3379,584 | 0 | 1 |
| 26766,44 | 31500 | 4733,556 | 0 | 1 |
| 25742,89 | 31500 | 5757,113 | 0 | 1 |
| 31213,61 | 31500 | 286,3944 | 0 | 1 |
| 22303,04 | 31500 | 9196,962 | 0 | 1 |
| 25641,15 | 31500 | 5858,853 | 0 | 1 |
| 28368,4 | 31500 | 3131,597 | 0 | 1 |
| 21581,31 | 31500 | 9918,688 | 0 | 1 |
| 30349,53 | 31500 | 1150,474 | 0 | 1 |
| 19285,95 | 31500 | 12214,05 | 0 | 1 |
| 25737,05 | 31500 | 5762,951 | 0 | 1 |
| ... | ... | ... | ... | ... |
| ... | ... | ... | ... | ... |
| ... | ... | ... | ... | ... |
| ... | ... | ... | ... | ... |
| 22680,29 | 31500 | 8819,708 | 0 | 1 |
| 29837,94 | 31500 | 1662,057 | 0 | 1 |
| 25115,99 | 31500 | 6384,012 | 0 | 1 |

| | |
|-----------------|-------|
| Jumlah RNG | 9000 |
| Jumlah Berhasil | 8277 |
| Jumlah Gagal | 723 |
| PoF | 0,080 |

Montecarlo**Elbow Section 4**

| | |
|-----------------|-------|
| Jumlah RNG | 1000 |
| Jumlah Berhasil | 913 |
| Jumlah Gagal | 87 |
| PoF | 0,087 |

| RNG Equivalent stress (psi) | Yield Strength, 0,9 SMYS (psi) | MK | Status | |
|-----------------------------------|--------------------------------------|----------|--------|-----|
| 24797,56 | 31500 | 6702,435 | 0 | 1 |
| 23148,9 | 31500 | 8351,095 | 0 | 1 |
| 21622,67 | 31500 | 9877,333 | 0 | 1 |
| 26528,2 | 31500 | 4971,802 | 0 | 1 |
| 32469,55 | 31500 | -969,553 | 0 | 0 |
| 24582,78 | 31500 | 6917,223 | 0 | 1 |
| 28554,34 | 31500 | 2945,662 | 0 | 1 |
| 20652,66 | 31500 | 10847,34 | 0 | 1 |
| 22902,08 | 31500 | 8597,92 | 0 | 1 |
| 30316,96 | 31500 | 1183,039 | 0 | 1 |
| 22552,01 | 31500 | 8947,995 | 0 | 1 |
| 32340,82 | 31500 | -840,822 | 0 | 0 |
| 31598,45 | 31500 | -98,4504 | 0 | 0 |
| 35651,78 | 31500 | -4151,78 | 0 | 0 |
| 18790,18 | 31500 | 12709,82 | 0 | 1 |
| 27000,96 | 31500 | 4499,036 | 0 | 1 |
| 24077,4 | 31500 | 7422,598 | 0 | 1 |
| 30108,92 | 31500 | 1391,083 | 0 | 1 |
| 28561,17 | 31500 | 2938,828 | 0 | 1 |
| 26367,96 | 31500 | 5132,04 | 0 | 1 |
| 33198,03 | 31500 | -1698,03 | 0 | 0 |
| 22008,31 | 31500 | 9491,693 | 0 | 1 |
| 21498,55 | 31500 | 10001,45 | 0 | 1 |
| 33224,57 | 31500 | -1724,57 | 0 | 0 |
| 25675,61 | 31500 | 5824,392 | 0 | 1 |
| 24141,68 | 31500 | 7358,318 | 0 | 1 |
| 30711,04 | 31500 | 788,964 | 0 | 1 |
| 23117,04 | 31500 | 8382,965 | 0 | 1 |
| 29735,06 | 31500 | 1764,943 | 0 | 1 |
| ... | ... | ... | ... | ... |
| ... | ... | ... | ... | ... |
| ... | ... | ... | ... | ... |
| ... | ... | ... | ... | ... |
| ... | ... | ... | ... | ... |
| 24593,2 | 31500 | 6906,803 | 0 | 1 |
| 27409,74 | 31500 | 4090,258 | 0 | 1 |
| 30248,02 | 31500 | 1251,984 | 0 | 1 |

| RNG Equivalent stress (psi) | Yield Strength, 0,9 SMYS (psi) | MK (psi) | Status | | Jumlah RNG | 2000 |
|-----------------------------|--------------------------------|----------|--------|-----|-----------------|-------|
| 23456,77 | 31500 | 8043,231 | 0 | 1 | Jumlah Berhasil | 1836 |
| 24468,24 | 31500 | 7031,761 | 0 | 1 | Jumlah Gagal | 164 |
| 28445,47 | 31500 | 3054,53 | 0 | 1 | PoF | 0,082 |
| 27175,73 | 31500 | 4324,268 | 0 | 1 | | |
| 16701,24 | 31500 | 14798,76 | 0 | 1 | | |
| 21183,02 | 31500 | 10316,98 | 0 | 1 | | |
| 26864,42 | 31500 | 4635,58 | 0 | 1 | | |
| 28796,69 | 31500 | 2703,308 | 0 | 1 | | |
| 28707,94 | 31500 | 2792,062 | 0 | 1 | | |
| 23041,53 | 31500 | 8458,473 | 0 | 1 | | |
| 32902,3 | 31500 | -1402,3 | 0 | 0 | | |
| 22265,71 | 31500 | 9234,295 | 0 | 1 | | |
| 32054,86 | 31500 | -554,857 | 0 | 0 | | |
| 26291,39 | 31500 | 5208,611 | 0 | 1 | | |
| 24886,64 | 31500 | 6613,359 | 0 | 1 | | |
| 21281,97 | 31500 | 10218,03 | 0 | 1 | | |
| 29882,73 | 31500 | 1617,265 | 0 | 1 | | |
| 28067,37 | 31500 | 3432,632 | 0 | 1 | | |
| 25339,72 | 31500 | 6160,278 | 0 | 1 | | |
| 22750,25 | 31500 | 8749,747 | 0 | 1 | | |
| 24798,21 | 31500 | 6701,793 | 0 | 1 | | |
| 26253,26 | 31500 | 5246,736 | 0 | 1 | | |
| 26753,54 | 31500 | 4746,458 | 0 | 1 | | |
| 31306,57 | 31500 | 193,4276 | 0 | 1 | | |
| 23298,6 | 31500 | 8201,4 | 0 | 1 | | |
| 32291,65 | 31500 | -791,647 | 0 | 0 | | |
| 28602,39 | 31500 | 2897,606 | 0 | 1 | | |
| 26652,48 | 31500 | 4847,519 | 0 | 1 | | |
| 21922,62 | 31500 | 9577,375 | 0 | 1 | | |
| ... | ... | ... | ... | ... | | |
| ... | ... | ... | ... | ... | | |
| ... | ... | ... | ... | ... | | |
| ... | ... | ... | ... | ... | | |
| 25053,74 | 31500 | 6446,264 | 0 | 1 | | |
| 22213,42 | 31500 | 9286,582 | 0 | 1 | | |
| 26479,06 | 31500 | 5020,945 | 0 | 1 | | |

| RNG Equivalent stress (psi) | Yield Strength, 0,9 SMYS (psi) | MK (psi) | Status | | Jumlah RNG | 3000 |
|-----------------------------|--------------------------------|----------|--------|-----|-----------------|-------|
| 22219,17 | 31500 | 9280,827 | 0 | 1 | Jumlah Berhasil | 2760 |
| 33470,38 | 31500 | -1970,38 | 0 | 0 | Jumlah Gagal | 240 |
| 16011,16 | 31500 | 15488,84 | 0 | 1 | PoF | 0,080 |
| 27975,25 | 31500 | 3524,747 | 0 | 1 | | |
| 28672,07 | 31500 | 2827,934 | 0 | 1 | | |
| 28629,47 | 31500 | 2870,529 | 0 | 1 | | |
| 30687,19 | 31500 | 812,811 | 0 | 1 | | |
| 28646,92 | 31500 | 2853,084 | 0 | 1 | | |
| 27728,79 | 31500 | 3771,215 | 0 | 1 | | |
| 25856,06 | 31500 | 5643,941 | 0 | 1 | | |
| 23635,35 | 31500 | 7864,649 | 0 | 1 | | |
| 26209,84 | 31500 | 5290,16 | 0 | 1 | | |
| 25119,9 | 31500 | 6380,099 | 0 | 1 | | |
| 28353,43 | 31500 | 3146,574 | 0 | 1 | | |
| 26622,12 | 31500 | 4877,884 | 0 | 1 | | |
| 23844,15 | 31500 | 7655,853 | 0 | 1 | | |
| 23019,06 | 31500 | 8480,94 | 0 | 1 | | |
| 26660,01 | 31500 | 4839,988 | 0 | 1 | | |
| 25750,79 | 31500 | 5749,209 | 0 | 1 | | |
| 29409,86 | 31500 | 2090,143 | 0 | 1 | | |
| 23992,79 | 31500 | 7507,212 | 0 | 1 | | |
| 25481,55 | 31500 | 6018,449 | 0 | 1 | | |
| 25649,27 | 31500 | 5850,73 | 0 | 1 | | |
| 28177,51 | 31500 | 3322,494 | 0 | 1 | | |
| 21890,09 | 31500 | 9609,909 | 0 | 1 | | |
| 26719,11 | 31500 | 4780,889 | 0 | 1 | | |
| 27771,25 | 31500 | 3728,749 | 0 | 1 | | |
| ... | ... | ... | ... | ... | | |
| ... | ... | ... | ... | ... | | |
| ... | ... | ... | ... | ... | | |
| ... | ... | ... | ... | ... | | |
| 17927,57 | 31500 | 13572,43 | 0 | 1 | | |
| 24794,95 | 31500 | 6705,046 | 0 | 1 | | |
| 31124,72 | 31500 | 375,2759 | 0 | 1 | | |

| RNG Equivalent stress (psi) | Yield Strength, 0,9 SMYS (psi) | MK (psi) | Status | | Jumlah RNG | 4000 |
|-----------------------------|--------------------------------|----------|--------|-----|-----------------|-------|
| 26055,34 | 31500 | 5444,658 | 0 | 1 | Jumlah Berhasil | 3656 |
| 19420,78 | 31500 | 12079,22 | 0 | 1 | Jumlah Gagal | 344 |
| 29352,51 | 31500 | 2147,495 | 0 | 1 | PoF | 0,086 |
| 24304,28 | 31500 | 7195,722 | 0 | 1 | | |
| 31783,76 | 31500 | -283,757 | 0 | 0 | | |
| 29368,6 | 31500 | 2131,396 | 0 | 1 | | |
| 22858,53 | 31500 | 8641,47 | 0 | 1 | | |
| 25697,22 | 31500 | 5802,777 | 0 | 1 | | |
| 26712,19 | 31500 | 4787,808 | 0 | 1 | | |
| 19493,66 | 31500 | 12006,34 | 0 | 1 | | |
| 25693,6 | 31500 | 5806,401 | 0 | 1 | | |
| 30217,01 | 31500 | 1282,992 | 0 | 1 | | |
| 25883,42 | 31500 | 5616,575 | 0 | 1 | | |
| 31430,78 | 31500 | 69,22294 | 0 | 1 | | |
| 26912,4 | 31500 | 4587,599 | 0 | 1 | | |
| 22377,52 | 31500 | 9122,477 | 0 | 1 | | |
| 27406,2 | 31500 | 4093,8 | 0 | 1 | | |
| 26140,61 | 31500 | 5359,395 | 0 | 1 | | |
| 27403,94 | 31500 | 4096,062 | 0 | 1 | | |
| 23602,08 | 31500 | 7897,917 | 0 | 1 | | |
| 21630,27 | 31500 | 9869,726 | 0 | 1 | | |
| 29932,16 | 31500 | 1567,835 | 0 | 1 | | |
| 25896,28 | 31500 | 5603,723 | 0 | 1 | | |
| 26683,41 | 31500 | 4816,591 | 0 | 1 | | |
| 24087,95 | 31500 | 7412,046 | 0 | 1 | | |
| 24040,4 | 31500 | 7459,604 | 0 | 1 | | |
| 26067,27 | 31500 | 5432,733 | 0 | 1 | | |
| ... | ... | ... | ... | ... | | |
| ... | ... | ... | ... | ... | | |
| ... | ... | ... | ... | ... | | |
| ... | ... | ... | ... | ... | | |
| 27157,18 | 31500 | 4342,825 | 0 | 1 | | |
| 25591,27 | 31500 | 5908,729 | 0 | 1 | | |
| 26424,33 | 31500 | 5075,668 | 0 | 1 | | |

| RNG Equivalent stress (psi) | Yield Strength, 0,9 SMYS (psi) | MK (psi) | Status | | Jumlah RNG | 5000 |
|-----------------------------|--------------------------------|----------|--------|-----|-----------------|-------|
| 24481,91 | 31500 | 7018,09 | 0 | 1 | Jumlah Berhasil | 4562 |
| 26457,82 | 31500 | 5042,181 | 0 | 1 | Jumlah Gagal | 438 |
| 17472,7 | 31500 | 14027,3 | 0 | 1 | PoF | 0,088 |
| 25485,82 | 31500 | 6014,177 | 0 | 1 | | |
| 23838,48 | 31500 | 7661,524 | 0 | 1 | | |
| 35235,45 | 31500 | -3735,45 | 0 | 0 | | |
| 28314,11 | 31500 | 3185,886 | 0 | 1 | | |
| 22347,48 | 31500 | 9152,515 | 0 | 1 | | |
| 23796,96 | 31500 | 7703,038 | 0 | 1 | | |
| 30829,39 | 31500 | 670,6054 | 0 | 1 | | |
| 26528,81 | 31500 | 4971,191 | 0 | 1 | | |
| 26185,35 | 31500 | 5314,654 | 0 | 1 | | |
| 27388,63 | 31500 | 4111,374 | 0 | 1 | | |
| 26648,5 | 31500 | 4851,503 | 0 | 1 | | |
| 32088,32 | 31500 | -588,316 | 0 | 0 | | |
| 30217,29 | 31500 | 1282,707 | 0 | 1 | | |
| 27187,33 | 31500 | 4312,675 | 0 | 1 | | |
| 24643,83 | 31500 | 6856,17 | 0 | 1 | | |
| 27599,25 | 31500 | 3900,751 | 0 | 1 | | |
| 31834,09 | 31500 | -334,086 | 0 | 0 | | |
| 22771,56 | 31500 | 8728,44 | 0 | 1 | | |
| 30312,2 | 31500 | 1187,798 | 0 | 1 | | |
| 29188,61 | 31500 | 2311,385 | 0 | 1 | | |
| 25678,19 | 31500 | 5821,808 | 0 | 1 | | |
| 24891,46 | 31500 | 6608,537 | 0 | 1 | | |
| 26269,92 | 31500 | 5230,085 | 0 | 1 | | |
| 16835,4 | 31500 | 14664,6 | 0 | 1 | | |
| ... | ... | ... | ... | ... | | |
| ... | ... | ... | ... | ... | | |
| ... | ... | ... | ... | ... | | |
| ... | ... | ... | ... | ... | | |
| 24210,19 | 31500 | -24210,2 | 0 | 0 | | |
| 23557,86 | 31500 | -23557,9 | 0 | 0 | | |
| 23450,06 | 31500 | -23450,1 | 0 | 0 | | |

| RNG Equivalent stress (psi) | Yield Strength, 0,9 SMYS (psi) | MK (psi) | Status | |
|-----------------------------|--------------------------------|----------|--------|-----|
| 28237,69 | 31500 | 3262,307 | 0 | 1 |
| 25075,26 | 31500 | 6424,737 | 0 | 1 |
| 25273,68 | 31500 | 6226,318 | 0 | 1 |
| 27132,65 | 31500 | 4367,348 | 0 | 1 |
| 23921,99 | 31500 | 7578,013 | 0 | 1 |
| 23988,14 | 31500 | 7511,858 | 0 | 1 |
| 22612,71 | 31500 | 8887,293 | 0 | 1 |
| 25733,42 | 31500 | 5766,577 | 0 | 1 |
| 21413,15 | 31500 | 10086,85 | 0 | 1 |
| 25652,19 | 31500 | 5847,808 | 0 | 1 |
| 25967,84 | 31500 | 5532,165 | 0 | 1 |
| 25073,47 | 31500 | 6426,535 | 0 | 1 |
| 29447,85 | 31500 | 2052,15 | 0 | 1 |
| 28265,79 | 31500 | 3234,214 | 0 | 1 |
| 24757,46 | 31500 | 6742,538 | 0 | 1 |
| 27157,34 | 31500 | 4342,661 | 0 | 1 |
| 20370,56 | 31500 | 11129,44 | 0 | 1 |
| 23379,92 | 31500 | 8120,077 | 0 | 1 |
| 29095,84 | 31500 | 2404,156 | 0 | 1 |
| 28797,02 | 31500 | 2702,982 | 0 | 1 |
| 28682,22 | 31500 | 2817,781 | 0 | 1 |
| 20779,03 | 31500 | 10720,97 | 0 | 1 |
| 25899,29 | 31500 | 5600,714 | 0 | 1 |
| 28092,01 | 31500 | 3407,991 | 0 | 1 |
| 24133,41 | 31500 | 7366,59 | 0 | 1 |
| 26278,93 | 31500 | 5221,071 | 0 | 1 |
| 27211,12 | 31500 | 4288,878 | 0 | 1 |
| ... | ... | ... | ... | ... |
| ... | ... | ... | ... | ... |
| ... | ... | ... | ... | ... |
| ... | ... | ... | ... | ... |
| 28016,78 | 31500 | 3483,221 | 0 | 1 |
| 29015,47 | 31500 | 2484,529 | 0 | 1 |
| 22433,29 | 31500 | 9066,706 | 0 | 1 |

| | |
|-----------------|-------|
| Jumlah RNG | 6000 |
| Jumlah Berhasil | 5535 |
| Jumlah Gagal | 465 |
| PoF | 0,078 |

| RNG Equivalent stress (psi) | Yield Strength, 0,9 SMYS (psi) | MK (psi) | Status | |
|-----------------------------|--------------------------------|----------|--------|-----|
| 24269 | 31500 | 7230,999 | 0 | 1 |
| 28824,57 | 31500 | 2675,435 | 0 | 1 |
| 29147,24 | 31500 | 2352,76 | 0 | 1 |
| 26488,65 | 31500 | 5011,349 | 0 | 1 |
| 18269,23 | 31500 | 13230,77 | 0 | 1 |
| 26940,18 | 31500 | 4559,821 | 0 | 1 |
| 27940,48 | 31500 | 3559,523 | 0 | 1 |
| 25916,8 | 31500 | 5583,197 | 0 | 1 |
| 24918,02 | 31500 | 6581,981 | 0 | 1 |
| 22935,5 | 31500 | 8564,5 | 0 | 1 |
| 31327,88 | 31500 | 172,1184 | 0 | 1 |
| 26689,59 | 31500 | 4810,407 | 0 | 1 |
| 25907,03 | 31500 | 5592,967 | 0 | 1 |
| 25194,98 | 31500 | 6305,017 | 0 | 1 |
| 30473,37 | 31500 | 1026,627 | 0 | 1 |
| 28405,18 | 31500 | 3094,82 | 0 | 1 |
| 28545,91 | 31500 | 2954,086 | 0 | 1 |
| 30256,83 | 31500 | 1243,174 | 0 | 1 |
| 24729,41 | 31500 | 6770,587 | 0 | 1 |
| 26944,86 | 31500 | 4555,14 | 0 | 1 |
| 26361,73 | 31500 | 5138,271 | 0 | 1 |
| 33338,9 | 31500 | -1838,9 | 0 | 0 |
| 26791,22 | 31500 | 4708,775 | 0 | 1 |
| 26948,65 | 31500 | 4551,349 | 0 | 1 |
| 28073,02 | 31500 | 3426,984 | 0 | 1 |
| 24890,96 | 31500 | 6609,041 | 0 | 1 |
| 35361,06 | 31500 | -3861,06 | 0 | 0 |
| 37867,39 | 31500 | -6367,39 | 0 | 0 |
| 28165,69 | 31500 | 3334,306 | 0 | 1 |
| 23661,16 | 31500 | 7838,843 | 0 | 1 |
| ... | ... | ... | ... | ... |
| ... | ... | ... | ... | ... |
| ... | ... | ... | ... | ... |
| ... | ... | ... | ... | ... |
| 26838,11 | 31500 | 4661,892 | 0 | 1 |
| 24756,85 | 31500 | 6743,149 | 0 | 1 |
| 30026,2 | 31500 | 1473,795 | 0 | 1 |

| | |
|-----------------|-------|
| Jumlah RNG | 7000 |
| Jumlah Berhasil | 6428 |
| Jumlah Gagal | 572 |
| PoF | 0,082 |

| RNG Equivalent stress (psi) | Yield Strength, 0,9 SMYS (psi) | MK (psi) | Status | |
|-----------------------------|--------------------------------|----------|--------|-----|
| | | | 0 | 1 |
| 24874,06 | 31500 | 6625,937 | 0 | 1 |
| 25263,41 | 31500 | 6236,59 | 0 | 1 |
| 26475,67 | 31500 | 5024,325 | 0 | 1 |
| 25694,21 | 31500 | 5805,787 | 0 | 1 |
| 28230,72 | 31500 | 3269,282 | 0 | 1 |
| 20606,25 | 31500 | 10893,75 | 0 | 1 |
| 23857,07 | 31500 | 7642,93 | 0 | 1 |
| 24703,32 | 31500 | 6796,684 | 0 | 1 |
| 32131,26 | 31500 | -631,263 | 0 | 0 |
| 22739,65 | 31500 | 8760,345 | 0 | 1 |
| 24528,96 | 31500 | 6971,036 | 0 | 1 |
| 30639,96 | 31500 | 860,0446 | 0 | 1 |
| 24301,06 | 31500 | 7198,937 | 0 | 1 |
| 30328,51 | 31500 | 1171,488 | 0 | 1 |
| 25948,33 | 31500 | 5551,673 | 0 | 1 |
| 27826,68 | 31500 | 3673,318 | 0 | 1 |
| 21059,37 | 31500 | 10440,63 | 0 | 1 |
| 28437,78 | 31500 | 3062,223 | 0 | 1 |
| 24163,12 | 31500 | 7336,876 | 0 | 1 |
| 19382,52 | 31500 | 12117,48 | 0 | 1 |
| 23720,19 | 31500 | 7779,811 | 0 | 1 |
| 27063,86 | 31500 | 4436,136 | 0 | 1 |
| 20290,75 | 31500 | 11209,25 | 0 | 1 |
| 19443,95 | 31500 | 12056,05 | 0 | 1 |
| 26617,96 | 31500 | 4882,035 | 0 | 1 |
| 26006,22 | 31500 | 5493,781 | 0 | 1 |
| 24943,82 | 31500 | 6556,185 | 0 | 1 |
| 27331,39 | 31500 | 4168,613 | 0 | 1 |
| 29631,72 | 31500 | 1868,28 | 0 | 1 |
| 24564,45 | 31500 | 6935,552 | 0 | 1 |
| ... | ... | ... | ... | ... |
| ... | ... | ... | ... | ... |
| ... | ... | ... | ... | ... |
| ... | ... | ... | ... | ... |
| 35023,59 | 31500 | -3523,59 | 0 | 0 |
| 25371,57 | 31500 | 6128,431 | 0 | 1 |
| 32441,24 | 31500 | -941,243 | 0 | 0 |

| | |
|-----------------|-------|
| Jumlah RNG | 8000 |
| Jumlah Berhasil | 7306 |
| Jumlah Gagal | 694 |
| PoF | 0,087 |

| RNG Equivalent stress (psi) | Yield Strength, 0,9 SMYS (psi) | MK (psi) | Status | |
|-----------------------------|--------------------------------|----------|--------|-----|
| 30361,67 | 31500 | 1138,331 | 0 | 1 |
| 32749,06 | 31500 | -1249,06 | 0 | 0 |
| 25994,28 | 31500 | 5505,716 | 0 | 1 |
| 27868,76 | 31500 | 3631,243 | 0 | 1 |
| 19246,35 | 31500 | 12253,65 | 0 | 1 |
| 24319,29 | 31500 | 7180,712 | 0 | 1 |
| 25641,19 | 31500 | 5858,814 | 0 | 1 |
| 22349,39 | 31500 | 9150,613 | 0 | 1 |
| 24924,93 | 31500 | 6575,067 | 0 | 1 |
| 30648,18 | 31500 | 851,8246 | 0 | 1 |
| 31881,18 | 31500 | -381,177 | 0 | 0 |
| 26589,02 | 31500 | 4910,976 | 0 | 1 |
| 19622,59 | 31500 | 11877,41 | 0 | 1 |
| 24632,81 | 31500 | 6867,195 | 0 | 1 |
| 27154,92 | 31500 | 4345,084 | 0 | 1 |
| 22480,81 | 31500 | 9019,192 | 0 | 1 |
| 26072,42 | 31500 | 5427,577 | 0 | 1 |
| 27512,59 | 31500 | 3987,41 | 0 | 1 |
| 23180,29 | 31500 | 8319,713 | 0 | 1 |
| 26119,61 | 31500 | 5380,388 | 0 | 1 |
| 29656,25 | 31500 | 1843,749 | 0 | 1 |
| 25819,73 | 31500 | 5680,27 | 0 | 1 |
| 30222,26 | 31500 | 1277,741 | 0 | 1 |
| 29867,8 | 31500 | 1632,196 | 0 | 1 |
| 21224,17 | 31500 | 10275,83 | 0 | 1 |
| 19582,66 | 31500 | 11917,34 | 0 | 1 |
| 25878,15 | 31500 | 5621,848 | 0 | 1 |
| 26191,64 | 31500 | 5308,361 | 0 | 1 |
| 23407,58 | 31500 | 8092,423 | 0 | 1 |
| 21557,64 | 31500 | 9942,361 | 0 | 1 |
| ... | ... | ... | ... | ... |
| ... | ... | ... | ... | ... |
| ... | ... | ... | ... | ... |
| ... | ... | ... | ... | ... |
| 32290,68 | 31500 | -790,675 | 0 | 0 |
| 30042,58 | 31500 | 1457,424 | 0 | 1 |
| 33745,04 | 31500 | -2245,04 | 0 | 0 |

| | |
|-----------------|-------|
| Jumlah RNG | 9000 |
| Jumlah Berhasil | 8295 |
| Jumlah Gagal | 705 |
| PoF | 0,078 |

| RNG Equivalent stress (psi) | Yield Strength, 0,9 SMYS (psi) | MK | Status | |
|-----------------------------|--------------------------------|----------|--------|-----|
| 23091,44 | 31500 | 8408,556 | 0 | 1 |
| 24453,94 | 31500 | 7046,063 | 0 | 1 |
| 31535,41 | 31500 | -35,4134 | 0 | 0 |
| 25728,25 | 31500 | 5771,75 | 0 | 1 |
| 29060,44 | 31500 | 2439,561 | 0 | 1 |
| 28004,85 | 31500 | 3495,146 | 0 | 1 |
| 25951,3 | 31500 | 5548,702 | 0 | 1 |
| 27354,65 | 31500 | 4145,347 | 0 | 1 |
| 23238,65 | 31500 | 8261,353 | 0 | 1 |
| 33379,78 | 31500 | -1879,78 | 0 | 0 |
| 22834,6 | 31500 | 8665,4 | 0 | 1 |
| 25253,83 | 31500 | 6246,17 | 0 | 1 |
| 25676,39 | 31500 | 5823,613 | 0 | 1 |
| 20396,84 | 31500 | 11103,16 | 0 | 1 |
| 21891,73 | 31500 | 9608,266 | 0 | 1 |
| 33006,67 | 31500 | -1506,67 | 0 | 0 |
| 28163,64 | 31500 | 3336,357 | 0 | 1 |
| 23274,83 | 31500 | 8225,165 | 0 | 1 |
| 24118,65 | 31500 | 7381,349 | 0 | 1 |
| 26517,64 | 31500 | 4982,36 | 0 | 1 |
| 22976,17 | 31500 | 8523,828 | 0 | 1 |
| 24415,47 | 31500 | 7084,527 | 0 | 1 |
| 28520,93 | 31500 | 2979,069 | 0 | 1 |
| 26461,13 | 31500 | 5038,871 | 0 | 1 |
| 26251,66 | 31500 | 5248,344 | 0 | 1 |
| 24166,74 | 31500 | 7333,256 | 0 | 1 |
| 30231,14 | 31500 | 1268,861 | 0 | 1 |
| 25373,76 | 31500 | 6126,238 | 0 | 1 |
| 25232,95 | 31500 | 6267,049 | 0 | 1 |
| 26857,66 | 31500 | 4642,338 | 0 | 1 |
| ... | ... | ... | ... | ... |
| ... | ... | ... | ... | ... |
| ... | ... | ... | ... | ... |
| ... | ... | ... | ... | ... |
| 25664,75 | 31500 | 5835,253 | 0 | 1 |
| 27598,52 | 31500 | 3901,48 | 0 | 1 |
| 26079,92 | 31500 | 5420,081 | 0 | 1 |

| | |
|-----------------|-------|
| Jumlah RNG | 10000 |
| Jumlah Berhasil | 9195 |
| Jumlah Gagal | 805 |
| PoF | 0,081 |

| RNG Equivalent stress (psi) | Yield Strength, 0,9 SMYS (psi) | MK (psi) | Status | |
|-----------------------------|--------------------------------|----------|--------|-----|
| 29454,01 | 31500 | 2045,986 | 0 | 1 |
| 30541,66 | 31500 | 958,344 | 0 | 1 |
| 27473,7 | 31500 | 4026,296 | 0 | 1 |
| 25329,1 | 31500 | 6170,904 | 0 | 1 |
| 30795,11 | 31500 | 704,8935 | 0 | 1 |
| 28158,38 | 31500 | 3341,622 | 0 | 1 |
| 24250,33 | 31500 | 7249,67 | 0 | 1 |
| 21788,31 | 31500 | 9711,693 | 0 | 1 |
| 23030,44 | 31500 | 8469,561 | 0 | 1 |
| 26876,83 | 31500 | 4623,167 | 0 | 1 |
| 22429,59 | 31500 | 9070,408 | 0 | 1 |
| 27866,69 | 31500 | 3633,309 | 0 | 1 |
| 30632,97 | 31500 | 867,0289 | 0 | 1 |
| 27239,23 | 31500 | 4260,765 | 0 | 1 |
| 29525,19 | 31500 | 1974,808 | 0 | 1 |
| 29192,95 | 31500 | 2307,053 | 0 | 1 |
| 25265,72 | 31500 | 6234,276 | 0 | 1 |
| 30118,64 | 31500 | 1381,359 | 0 | 1 |
| 32517,89 | 31500 | -1017,89 | 0 | 0 |
| 23984,78 | 31500 | 7515,22 | 0 | 1 |
| 25903,53 | 31500 | 5596,47 | 0 | 1 |
| 32423,81 | 31500 | -923,808 | 0 | 0 |
| 24429,79 | 31500 | 7070,205 | 0 | 1 |
| 22047,29 | 31500 | 9452,705 | 0 | 1 |
| 23636,18 | 31500 | 7863,823 | 0 | 1 |
| 30086,2 | 31500 | 1413,796 | 0 | 1 |
| 31114,51 | 31500 | 385,492 | 0 | 1 |
| 22638,62 | 31500 | 8861,377 | 0 | 1 |
| 23863,39 | 31500 | 7636,606 | 0 | 1 |
| 29936,78 | 31500 | 1563,219 | 0 | 1 |
| ... | ... | ... | ... | ... |
| ... | ... | ... | ... | ... |
| ... | ... | ... | ... | ... |
| ... | ... | ... | ... | ... |
| 30469,65 | 31500 | 1030,352 | 0 | 1 |
| 24665,85 | 31500 | 6834,155 | 0 | 1 |
| 30038,78 | 31500 | 1461,218 | 0 | 1 |

| | |
|-----------------|-------|
| Jumlah RNG | 11000 |
| Jumlah Berhasil | 10106 |
| Jumlah Gagal | 894 |
| PoF | 0,081 |

Lampiran C

Analisa Konsekuensi

Table 7-2—Properties of the BRD Representative Fluids

| Fluid | Molecular Weight | Density lb/ft ³ | Normal Boiling Point °F | Ambient State | Cp Gas Constant A | Cp Gas Constant B | Cp Gas Constant C | Cp Gas Constant D | Auto Ignition Temperature °F |
|------------------|------------------|----------------------------|-------------------------|---------------|-------------------|-------------------|-------------------|-------------------|------------------------------|
| C1-C2 | 23 | 5.639 | 193 | Gas | 12.3 | 1.150E-01 | -2.870E-05 | -1.300E-09 | 1,036 |
| C3-C4 | 51 | 3.610 | 6.3 | Gas | 2.632 | 0.3188 | 1.347E+04 | 1.466E-08 | 696 |
| C6-C8 | 100 | 42.702 | 210 | Liquid | -5.146 | 6.762E-01 | -3.651E-04 | 7.658E-08 | 433 |
| C9-C12 | 149 | 45.823 | 364 | Liquid | -8.5 | 1.010E+00 | -5.560E-04 | 1.180E-07 | 406 |
| C13-C16 | 205 | 47.728 | 502 | Liquid | -11.7 | 1.390E+00 | -7.720E-04 | 1.670E-07 | 396 |
| C17-C25 | 280 | 48.383 | 651 | Liquid | -22.4 | 1.940E+00 | -1.120E-03 | -2.530E-07 | 396 |
| C25+ | 422 | 56.187 | 981 | Liquid | -22.4 | 1.940E+00 | -1.120E-03 | -2.530E-07 | 396 |
| H ₂ | 2 | 4.433 | -423 | Gas | 27.1 | 9.270E-03 | -1.380E-05 | 7.650E-09 | 752 |
| H ₂ S | 34 | 61.993 | -75 | Gas | 31.9 | 1.440E-03 | 2.430E-05 | -1.180E-08 | 500 |
| HF | 20 | 60.370 | 68 | Gas | 29.1 | 6.610E-04 | -2.030E-06 | 2.500E-09 | 32,000 |
| Water | 18 | 62.3 | 212 | Liquid | 32.4 | 0.001924 | 1.05E-05 | -3.6E-07 | n/a |
| Steam | 18 | 62.3 | 212 | Gas | 32.4 | 0.001924 | 1.05E-05 | -3.6E-07 | n/a |
| Acid (low) | 18 | 62.3 | 212 | Liquid | 32.4 | 0.001924 | 1.05E-05 | -3.6E-09 | n/a |
| Acid (med.) | 18 | 62.3 | 212 | Liquid | 32.4 | 0.001924 | 1.05E-05 | -3.6E-09 | n/a |
| Acid (high) | 18 | 62.3 | 212 | Liquid | 32.4 | 0.001924 | 1.05E-05 | -3.6E-09 | n/a |
| Aromatics | 104 | 42.7314 | 293.3 | Liquid | -28.25 | 0.6159 | -4.02E-04 | 9.94E-08 | 914 |
| Styrene | 104 | 42.7314 | 293.3 | Liquid | -28.25 | 0.6159 | -4.02E-04 | 9.94E-08 | 914 |

Note: Reid, Robert C, et. al., *The Properties of Gases and Liquids*, 4th Edition, McGraw-Hill, New York, 1987.

7.3.1 Pipe Hole Size Selection

Piping uses the standard four hole sizes: $\frac{1}{4}$ -inch, 1-inch, 4-inch, and rupture, provided the diameter of the leak is less than, or equal to, the diameter of the pipe itself. For example, a 1-inch pipe can have only two hole sizes, $\frac{1}{4}$ -inch and rupture, because the largest possible choice is equivalent to the 1-inch hole size. A 4-inch pipe can have three: $\frac{1}{4}$ -inch, 1-inch, and rupture, for the same reason.

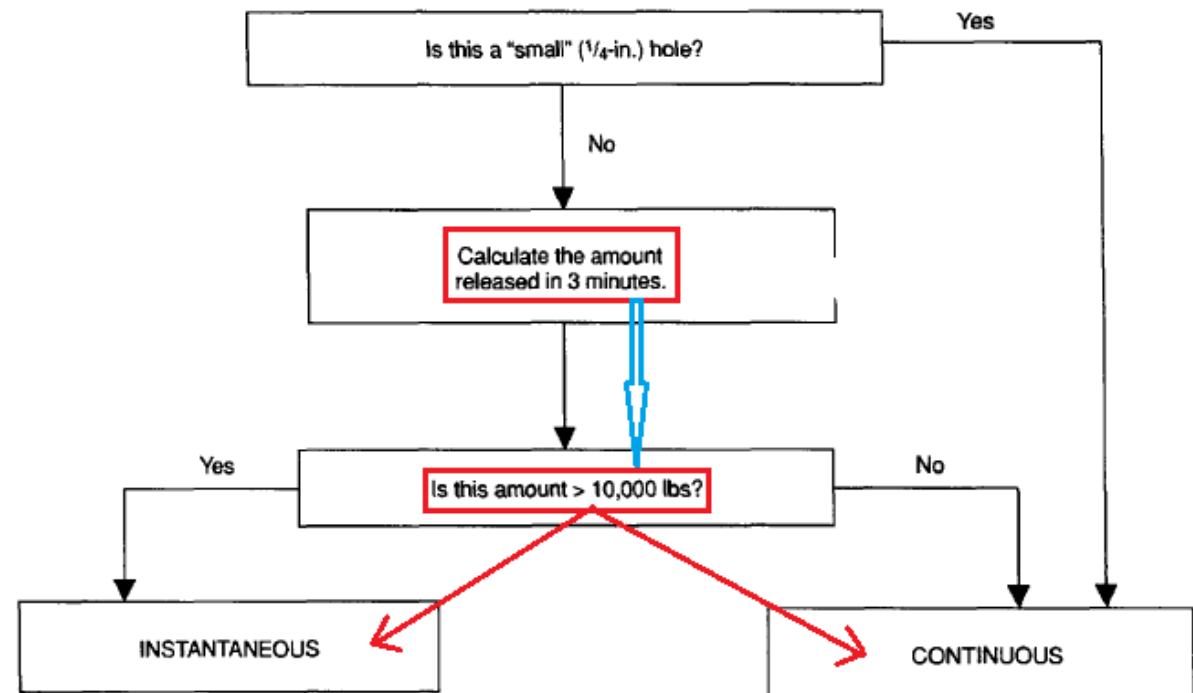


Figure 7-2—Process to Determine the Type of Release

Table 7-8—Continuous Release Consequence Equations—Auto Ignition Not Likely^a

| Material | Final Phase Gas | | Final Phase Liquid | |
|----------------------------------|---|---------------------------------------|---|---------------------------------------|
| | Area of Equipment Damage (ft ²) | Area of Fatalities (ft ²) | Area of Equipment Damage (ft ²) | Area of Fatalities (ft ²) |
| C ₁ -C ₂ | A = 43 x ^{0.98} | A = 110 x ^{0.96} | | |
| C ₃ -C ₄ | A = 49 x ^{0.98} | A = 125 x ^{0.96} | | |
| C ₅ | A = 25.2 x ^{0.98} | A = 62.1 x ^{1.00} | A = 536 x ^{0.90} | A = 1544 x ^{0.90} |
| C ₆ -C ₈ | A = 29 x ^{0.98} | A = 68 x ^{0.96} | A = 182 x ^{0.89} | A = 516 x ^{0.89} |
| C ₉ -C ₁₂ | A = 12 x ^{0.98} | A = 29 x ^{0.96} | A = 130 x ^{0.90} | A = 373 x ^{0.89} |
| C ₁₃ -C ₁₆ | | | A = 64 x ^{0.90} | A = 183 x ^{0.89} |
| C ₁₇ -C ₂₅ | | | A = 20 x ^{0.90} | A = 57 x ^{0.89} |
| C ₂₅₊ | | | A = 11 x ^{0.91} | A = 33 x ^{0.89} |
| H ₂ | A = 198 x ^{0.992} | A = 614 x ^{0.933} | | |
| H ₂ S | A = 32 x ^{1.00} | A = 52 x ^{1.00} | | |
| HF | | | | |
| Aromatics | A = 121.39 x ^{0.8911} | A = 359 x ^{0.8821} | | |
| Styrene | A = 121.39 x ^{0.8911} | A = 359 x ^{0.8821} | | |

Note: Shaded area represents cases in which equations are nonapplicable.

x = total release rate, lb/sec.

A = area, ft².

^aNot likely if process temperature is less than auto ignition temperature plus 80°F.

Table 7-9—Instantaneous Release Consequence Equations—Auto Ignition Not Likely^a

| Material | Final Phase Gas | | Final Phase Liquid | |
|----------------------------------|---|---------------------------------------|---|---------------------------------------|
| | Area of Equipment Damage (ft ²) | Area of Fatalities (ft ²) | Area of Equipment Damage (ft ²) | Area of Fatalities (ft ²) |
| C ₁ -C ₂ | A = 41 x ^{0.67} | A = 79 x ^{0.67} | | |
| C ₃ -C ₄ | A = 28 x ^{0.72} | A = 57.7 x ^{0.75} | | |
| C ₅ | A = 13.4 x ^{0.73} | A = 20.4 x ^{0.76} | A = 1.49 x ^{0.85} | A = 4.34 x ^{0.85} |
| C ₆ -C ₈ | A = 14 x ^{0.67} | A = 26 x ^{0.67} | A = 4.35 x ^{0.78} | A = 12.7 x ^{0.78} |
| C ₉ -C ₁₂ | A = 7.1 x ^{0.66} | A = 13 x ^{0.66} | A = 3.3 x ^{0.76} | A = 9.5 x ^{0.76} |
| C ₁₃ -C ₁₆ | | | A = 0.46 x ^{0.88} | A = 1.3 x ^{0.88} |
| C ₁₇ -C ₂₅ | | | A = 0.11 x ^{0.91} | A = 0.32 x ^{0.91} |
| C ₂₅₊ | | | A = 0.03 x ^{0.99} | A = 0.081 x ^{0.99} |
| H ₂ | A = 545 x ^{0.657} | A = 982 x ^{0.652} | | |
| H ₂ S | A = 148 x ^{0.63} | A = 271 x ^{0.63} | | |
| HF | | | | |
| Aromatics | A = 2.26 x ^{0.8227} | A = 10.5 x ^{0.7583} | | |
| Styrene | A = 2.26 x ^{0.8227} | A = 10.5 x ^{0.7583} | | |

Note: Shaded area represents cases in which equations are nonapplicable.

x = total release mass, lb.

A = area, ft².

^aNot likely if process temperature is less than auto ignition temperature plus 80°F.

Table B-3—Consequence Area Categories

| Consequence Category | Likelihood Weighted Average Area |
|----------------------|----------------------------------|
| A | < 10 ft ² |
| B | 10 – 100 ft ² |
| C | 100 – 1,000 ft ² |
| D | 1,000 – 10,000 ft ² |
| E | > 10,000 ft ² |

BAB V

KESIMPULAN DAN SARAN

5.1 Kesimpulan

Berikut kesimpulan yang dapat diambil berdasarkan hasil dari analisa dan pembahasan yang telah dilakukan:

1. Pembebanan yang terjadi pada dinding dalam *elbow section* yang ditinjau disebabkan karena adanya tekanan internal (P_i) dan kecepatan dari aliran fluida didalam pipa. Tekanan internal yang terjadi merupakan tekanan operasional yang berada pada rentang nilai 2400 psi sampai 3500 psi. Kecepatan aliran fluida pada dinding dalam *elbow section* meningkat akibat adanya perubahan geometri penampang alir secara drastis. Kecepatan rata-rata aliran fluida berada pada rentang 3 ft/s sampai 15 ft/s yang mengalami peningkatan pada setiap *elbow section*. Peningkatan kecepatan aliran fluida pada dinding dalam *elbow section* menyebabkan fenomena korosi-erosi internal pada dinding dalam *elbow section* cenderung lebih aktif dibandingkan dengan pada bagian pipa lurus. Oleh karenanya laju penipisan dinding dalam *elbow section* relatif lebih tinggi dibandingkan dengan pada bagian pipa lurus. Kombinasi antara tekanan operasional dan kecepatan laju korosi-erosi tersebutlah yang mempengaruhi kondisi moda kegagalan dari *elbow section* yang bersangkutan.
2. *Consequence level* untuk keempat *elbow section* adalah berada pada level B. *Likelihood category* untuk keempat *elbow section* adalah kategori 1. Tingkat risiko untuk keempat *elbow section* adalah berada pada tingkat rendah
3. Manajemen inspeksi yang paling efektif dan efisien untuk keempat *elbow section* yang dikaji adalah menggunakan metode inspeksi ultrasonic testing (U.T) dengan frekuensi inspeksi sebanyak 48 bulan (4 tahun) sekali dan luas area inspeksi kecil.

DAFTAR PUSTAKA

- API 581 Base Resource Document. 2000. *Risk Based Inspection*. American Petroleum Institute.
- API 580 Recomended Practice. 2002. *Risk Based Inspection*. American Petroleum Institute.
- Allhakaram, S. R., Zakaria, M. I., Derakhshani, M., Samadian, M., Rasaey, H. S., Razmjoo, A. 2015. "Investigation on corrosion rate a novel corrosion criterion for gas pipelines affected by dynamic star current". *Journal of Natural Gas Science and Engineering* 26 (2015) 453-460.
- DNV OS – F101. 2008. *Integrity Management of Submarine Pipeline System*. Det Norske Veritas.
- Hameed, A., Khan, F., Ahmed, S. 2016. "A risk-based inspection and maintenance interval estimation considering human error". *Process safety and environmental protection* 100 (2016) 9-21.
- Huang, Y., and Ji, D. 2008. "Experimental study on seawater-pipeine internal corrosion monitoring system". *Sensors and actuators B: Chemical*. Vol. 135 : 375-380.
- Ilman, M.N., and Kusmono. 2014. "Analysis of internal corrosion in subsea oil pipeline". *Journal of engineering failure analysis*.
- Khalajestani, M. K., Bahaari, M. R., Salehi, A., Shahbazi, S. 2015. "Predicting pressure capacity of pipe containing single defects". *Applied ocean research* 53 (2015) 15-22.
- Lassen, T. 2013. "Risk based fatigue inspection planning – state of the art". *5th fatigue design conference, fatigue design 2013*: 489-499.
- Lin, N., Lan, H. I., Xu, Y. G., Cui, Y., Barber, G. 2015. "Coupled effects between solid particles and gas velocities on erosion of elbows in natural gas pipelines". *The 7th world congress on particle technology (WCPT7)* 102 (2015) 893-903.

- Muslimu, F. A., 2012. "Analisa aliran udara pada elbow proto x-1 menggunakan CFD". *Skripsi JurusanTeknik Mesin FT UI*.
- Negara, W. P., 2007. "Perbandingan analisis pressure drop pada pipa lengkung 90° standar ANSI B36.10 dengan COSMOSfloWork2007". *Skripsi Jurusan Teknik Mesin Guna Darma*.
- Palmer, A.C., King, R.A. 2008. *Subsea Pipeline Engineering*. Oklahoma. PennWell Corporation.
- Ryu, S.T., Park, Y.S., Bae, D.H. 2011. "Nondestructive assessmentof elbow wall-thinning in a pipe system". *Procedia Engineering* 10 (2011) 2639-2644.
- Republik Indonesia. 1998. *Undang-Undang No. 84. K Tahun 1998 tentang Pedoman dan Tatacara Pemeriksaan Keselamatan Kerja atas Instalasi, Peralatan Teknik yang Dipergunakan Dalam Usaha Pertambangan Minyak dan Gas Bumi dan Pengusahaan Sumberdaya Panas Bumi*. Peraturan Menteri Pertambangan dan Energi Tahun 1998. Sekretariat Negara. Jakarta.
- Seo, J.W., Cui, Y., Mohd, M.H., Ha, Y.C., Kim, B.J., Paik, J.K. 2015. "A risk-based inspection planning method for corroded subsea pipelines". *Ocean Engineering* 109 (2015) 539-552.
- Shanbi, P., Zhaoxiong, Z. 2015. "An experimental study on the internal corrosion of a subsea multiphase pipeline". *Petroleum* (2015). S2405-6561 (15) 00011-5.
- Shabarchin, O., Tesfamariam, S. 2016. "Internal corrosion hazard assessment of oil and gas pipelines using Bayesian network model". *Journal of loss prevention in the process industries* 4239 (2016) 30025-0.
- Shinsesaz, M.R., Bajestani, M.N., Hasemi, S.J., and Shekari, E. 2013. 'comparrison of API 510 pressure vessels inspection planning with API risk-based inspection planning approach'. *International journal of pressure vessels and piping* 111-112 (2013): 202-208.
- Taufik, A. 2014. RBI dan M untuk mengelola integritas peralatan mekanik dan sistem bertekanan. Didapat dari: <http://iafmi.or.id/drupal/content/rbi-m-untuk-mengelola-integritas-peralatan-mekanik-dan-sistem-bertekanan>.

- Bai, Y., Bai, Q. 2010. *Subsea Structural Engineering*. New Jersey. Gulf Profesional Publishing.
- Zeng, L., Zhang, G.A., Guo, X.P. 2014. “Erosion-corrosion at different locations of x65 carbon steel elbow”. *Corrosion science* 85 (2014) 318-330.
- Zhang, G.A., Zeng, L., Huang, H.L., Guo, X.P. 2013. “A study of flow accelerated corrosion at elbow of carbon steel pipeline by array electrode and computational fluid dynamics simulation”. *Corrosion science* 77 (2013) 334-341.
- Zhaoyang, T., Jianfeng, L., Zongzhi, W., Jianhu, Z., and Weifeng, H. 2011. “An evaluation of maintenance strategy using risk based inspection”. *Safetey science* 49 (2011) : 852-860.

BIODATA PENULIS



Herlan, lahir di Sukabumi – Jawa Barat pada 6 Mei 1992 sebagai anak keempat dari empat bersaudara. Penulis mengawali pendidikan formalnya di SDN Cihanjawar, kemudian melanjutkan ke MTs. Nurul Huda Cihanjawar, dan SMA Negeri 1 Nagrak. Penulis menempuh pendidikan tinggi di Jurusan Teknik Kelautan, Fakultas Teknologi Kelautan, ITS – Surabaya pada tahun 2012. Selama masa perkuliahan penulis aktif dalam organisasi Himpunan Mahasiswa Teknik Kelautan (HIMATEKLA) menjabat sebagai staff Departemen Pengembangan Sumber Daya Mahasiswa pada tahun 2013-2014. Penulis juga pernah menjabat sebagai Ketua Divisi Pelatihan Departemen PSDM HIMATEKLA masa jabatan 2014-2015. Selain itu, penulis juga pernah menjabat sebagai staff Bidang Pengembangan Sumber Daya Anggota UKM KOPMA ITS pada tahun 2013-2014. Penulis juga aktif sebagai Tim Pemandu Samudra FTK sejak tahun 2013-2015. Selama proses perkuliahan penulis pernah melaksanakan program Kerja Praktek selama 2 bulan di PJIT PT. Marindotech dan menyelesaikan *project* dengan judul “*Review Platform Cinta-P Milik CNOOC SEC Ltd. untuk Keperluan Rekualifikasi dan Resertifikasi*”.

Untuk memenuhi persyaratan menjadi sarjana program studi S-1 Jurusan Teknik Kelautan ITS penulis mengambil Tugas Akhir dengan judul “*Manajemen Inspeksi Pada Elbow Section Milik PT. Pertamina EP Field Sangasanga Kalimantan Timur Akibat Internal Corrosion-Erosion Menggunakan Metode Risk Based Inspection (RBI)*”. Penulis dapat dihubungi melalui email herlansubagio@yahoo.co.id.